



TUGAS AKHIR - RC14 1501

**PERENCANAAN ALTERNATIF PERBAIKAN
LERENG JALUR TENGGARONG - SAMARINDA
(STA. 9 +071 - STA. 9 +119)**

RADITYA WIDITAMA
NRP. 3111 100 114

Dosen Pembimbing :
Prof. Ir. Noor Endah, MSc, PhD.
Putu Tantri Kumalasari, ST, MT.

Jurusan Teknik Sipil
Fakultas Teknik Sipil dan Perencanaan
Institut Teknologi Sepuluh Nopember
Surabaya 2015



FINAL PROJECT - RC14 1501

**DESIGN ALTERNATIVES OF SLOPE STABILITY
AND IMPROVEMENTS FOR TENGGARONG-
SAMARINDA ROAD CONSTRUCTION IN STA
9+071- STA 9+119)**

RADITYA WIDITAMA
NRP. 3111 100 114

Dosen Pembimbing :
Prof. Ir. Noor Endah, MSc, PhD.
Putu Tantri Kumalasari, ST, MT.

Civil Engineering Department
Faculty of Civil Engineering and Planning
Sepuluh Nopember Institute of Technology
Surabaya 2015

PERENCANAAN ALTERNATIF PERBAIKAN LERENG JALUR TENGGARONG-SAMARINDA (STA.9+071 – STA.9+119)

Nama	: Raditya Widitama
NRP	: 3111100114
Jurusan	: Teknik Sipil FTSP – ITS
Dosen Pembimbing	: Prof. Ir. Noor Endah, MSc, PhD. Putu Tantri Kumalasari, ST, MT.

Abstrak

Kota Tenggarong adalah ibukota kabupaten Kutai Kartanegara, provinsi Kalimantan Timur, Indonesia, yang berada di pulau Kalimantan. Tenggarong terbelah dua oleh sebuah sungai besar bernama sungai mahakam. Dalam menjalankan aktivitas ekonomi dan administratif, Tenggarong banyak bergantung kepada Kota Samarinda yang merupakan Ibukota provinsi Kalimantan Timur. Demi kelancaran kegiatan ekonomi dan administrasi Tenggarong, jalur penghubung Tenggarong-Samarinda yang cepat dan efektif adalah mutlak. Salah satu jalur penghubung adalah melalui perbukitan. Kelongsoran merupakan masalah yg umum terjadi pada lereng-lereng pada jalur ini. Oleh karena itu penanganan kelongsoran yang efektif sangat dibutuhkan. Penulis berniat untuk menemukan alternatif perbaikan lereng yang dapat digunakan untuk mengatasi kelongsoran yang terjadi pada sebuah lereng pada jalur ini (STA.9 +071 – STA.9 +119).

Terdapat dua pilihan perkuatan yaitu kombinasi Geotestile dan Subdrain atau Ground Anchor dan geotekstile. Geotekstile adalah sebuah produk planar yang dibuat dari material polimer yang digunakan pada tanah, batuan, bumi, atau rekayasa geoteknik lainnya yang berhubungan dengan material sebagai salah satu bagian dari man-made project, struktur, atau sistem. Ground Anchor dalam banyak hal dipergunakan untuk melawan tekanan tanah seperti turap ataupun tembok penahan

tanah. Sedangkan Subdrain berguna sebagai drainase yang berfungsi menjaga kadar air tanah seminum mungkin sehingga meningkatkan nilai SF dan memperpanjang usia perkuatan lereng. Subdrain menggunakan kerikil ayakan #4 dan Geotekstile non wovan.

Dalam perencanaan Geotekstile-Subdrain dipustuskan meletakkan subdrain pada kedalaman 6m dari permukaan tanah STA. 9+110. Desain ini membutuhkan biaya Rp. 802.278.925,00. Sedangkan pada perencanaan Grrround Anchor – Geotekstile membutuhkan biaya Rp 5.605.688.109,89. Kedua pilihan perkuatan ini diperhitungkan kembali dengan software Geoslope dan ditarik kesimpulan perkuatan akan menggunakan perencanaan Geotekstile-Subdrain yang diperkuat anchor. Desain ini membutuhkan 72 roll Geotekstile, 207 m³ kerikil, dan 19 buah anchor. Desain ini membutuhkan biaya Rp. 5.343.034.017,00

Kata kunci: *Lereng, longsor, ground anchor, geotextile, subdrain.*

DESIGN ALTERNATIVES OF SLOPE STABILITY AND IMPROVEMENTS FOR TENGGARONG-SAMARINDA ROAD CONSTRUCTION IN STA 9+071- STA 9+119.

Student Name

: Raditya Widitama

NRP

: 3111100114

Department

: Civil Engineering FTSP-ITS

Promotor

: Prof. Ir. Noor Endah, MSc, PhD.

Putu Tantri Kumalasari, ST, MT.

Abstract

Tenggarong City, which is located in Borneo Island, is the capital of Kutai Kartanegara, East Borneo, Indonesia. Tenggarong is divided by a big river named Mahakam River. In running its economic and administrative activity, Tenggarong is still dependent on Samarinda City which is the capital of East Borneo. In order to run its economic and administrative activity properly, the existence of effective and fast connector road is an absolute need. There are two road which connect Tenggarong and Samarinda. The first road is the old one which go along the side of Mahakam River. The second one is the new one which is wider and shorter than the old one. This road don't go along the edge of Mahakam River, it is laid accross hills range between Tenggarong and Samarinda. Landslide is common to happen to the slope of the hills. Therefore, the effective treatment to repair the landslide is needed. The Author is willing to find some alternatives of slope repair which can be used to repair a landslide in this road (STA.9 +71 – STA.9 +119).

There are two options, namely a combination of geotextile reinforcement and Subdrain or Ground Anchor and geotekstile. Geotekstile is a planar product made from a polymer material that is used in soil, rock, earth, or other geotechnical engineering related material as one part of a man-made project, structure, or sistem. Ground Anchor in many cases used to fight ground pressure as plaster or retaining wall. In this method of

drilling is done in the soil a good foundation consisting of a layer of sand, a layer of the gravel, a layer of fine-grained or rocks are weathered, as well as a section that resist gravity as the mixture of cement with steel cables or cement with steel rods inserted into the hole drilling results is then accompanied by a tensile force thereafter to strengthen the construction. While useful as a drainage Subdrain that serves to keep the soil moisture content of my drinking may thus increasing the value of SF and extend the life of the slope reinforcement. Subdrain using gravel sieve # 4 and non-woven geotextile.

In planning Geotextile-Subdrain decided Subdrain laid at a depth of 6 m from ground level STA. 9 + 110.. This design requires a cost of Rp. 917.490.175,00. While in the planning Ground Anchor - Geotekstile requires Rp. 5.539.153.985,15. After recalculated by geoslope it was decided that Geotextile-Subdrain option that reinforced by Ground Anchor will be used. This design requires 72 roll Geotekstile, 207 m³ of gravel, and 19 pieces of anchor. This design requires a cost of Rp. 5.343.034.017,00.

Keywords: Slope, slide, ground anchor, geotextile, subdrain.

**PERENCANAAN ALTERNATIF PERBAIKAN
LERENG JALUR TENGGARONG-SAMARINDA
(STA.9+071 – STA.9+119)**

TUGAS AKHIR

Diajukan Untuk Memenuhi Salah Satu Syarat
Memperoleh Gelar Sarjana Teknik

Pada

Bidang Studi Geoteknik

Program Studi S-1 Jurusan Teknik Sipil

Fakultas Teknik Sipil dan Perencanaan

Institut Teknologi Sepuluh Nopember Surabaya

Oleh:

RADITYA WIDITAMA

NRP. 3111 100 114

Disetujui oleh Pembimbing Tugas Akhir :

1. Prof. Ir. Noor Endah, MSc, PhD.

NIP. 195107081976032001

2. Putu Tantri Kumalasari, ST, MT.

NIP. 198611022014042004

Surabaya, Oktober 2015

DAFTAR GAMBAR

Gambar 1.1 Gambar kelongsoran yang terjadi	2
Gambar 1.2 Jalur Tenggarong-Samarinda dan lokasi proyek.....	2
Gambar 1.3 Lokasi kelongsoran	3
Gambar 2.1 Contoh Lereng	7
Gambar 2.2 Pengelompokan lereng.....	8
Gambar 2.3 Lereng tinggi tak terbatas tanpa rembesan air	12
Gambar 2.4 Lereng tinggi tak terbatas dengan rembesan air	13
Gambar 2.5 permodelan lereng tinggi tak terbatas dengan rembesan air	14
Gambar 2.6 Contoh jangkar	18
Gambar 2.7 tie-back anchor	20
Gambar 2.8 faktor daya dukung untuk keruntuhan geser setempat menurut Terzaghi.....	21
Gambar 2.9 Gaya N1 anchor yang diubah kedalam gaya V dan H	21
Gambar 2.10 Contoh penggunaan subdrain Proyek	27
Gambar 2.11 Kondisi lokasi Proyek.....	27
Gambar 3.1 Bagan Alur Pembuatan Tugas Akhir.....	31
Gambar 4.1 Layout Lokasi Titik Bor	34
Gambar 4.2 Letak titik bore-hole BH.01 dan BH.08 pada STA 9+110.	35
Gambar 4.3 Letak titik bore-hole BH.02 dan BH.07 pada STA 9+090	35
Gambar 4.4 Letak titik bore-hole BH.03 pada STA 9+075.....	36
Gambar 4.5 Perbandingan bidang kelongsoran kondisi aktual dan hasil <i>trial and error</i> geoslope pada STA 9+110..	36
Gambar 4.6 Kesimpulan Trial and Error pada potongan STA 9+110..	37
Gambar 5.1 Data input pada Model Geoslope STA 9+110.....	40
Gambar 5.2 Data input pada Model Geoslope STA 9+100.....	41
Gambar 5.3 Data input pada Model Geoslope STA 9+090.....	41
Gambar 5.4 Data input pada Model Geoslope STA 9+075.....	42
Gambar 5.5 Perbantingan data tanah saat ini dan 10 tahun lalu.	45

Gambar 5.6 Vegetasi disekitar Lereng	46
Gambar 5.7 Vegetasi disekitar kelongsoran pada STA 9+110..	47
Gambar 6.1 Acuan jarak pemasangan subdrain	56
Gambar 6.2 Pembagian area dan tampak atas pemasangan subdrain.....	57
Gambar 6.3 Letak pemasangan geotextile dan subdrain pada STA. 9+110	58
Gambar 6.4 Letak pemasangan geotextile dan subdrain pada STA. 9+100	58
Gambar 6.5 Letak pemasangan geotextile dan subdrain pada STA. 9+090	58
Gambar 6.6 Letak pemasangan geotextile dan subdrain pada STA. 9+075	59
Gambar 6.7 Ukuran pemasangan Subdrain	61
Gambar 6.8 Grouting STA. 9+110	69
Gambar 6.9 Grouting STA. 9+100	70
Gambar 6.10 Grouting STA. 9+090	71
Gambar 6.11 Grouting STA. 9+075	71
Gambar 6.12 Detail plat beton.....	73
Gambar 6.13 Gaya T prategang yang diubah tegak lurus dan sejajar pelat beton penahan	73
Gambar 6.14 Jarak pemasangan grouting.....	74
Gambar 6.15 Pembagian area dan tampak atas pemasangan Geotekstile dan Ground Anchor	74
Gambar 6.16 Letak pemasangan ground anchor dan geotextile pada STA. 9+110	75
Gambar 6.17 Letak pemasangan ground anchor dan geotextile pada STA. 9+100	76
Gambar 6.18 Letak pemasangan ground anchor dan geotextile pada STA. 9+090	76
Gambar 6.19 Letak pemasangan ground anchor dan geotextile pada STA. 9+075	76
Gambar 6.20 Detail plat beton.....	78
Gambar 6.21 Ukuran dan berat baja ulir yang beredar di pasaran	78

Gambar 6.22 Pembagian area dan tampak atas pemasangan Geotekstile dan Ground Anchor	84
Gambar 6.23 Letak pemasangan geotextile dan subdrain pada STA. 9+110 setelah diperkuat.....	85
Gambar 6.24 Letak pemasangan geotextile dan subdrain pada STA. 9+100 setelah diperkuat.....	85
Gambar 6.25 Letak pemasangan geotextile dan subdrain pada STA. 9+090 setelah diperkuat.....	86
Gambar 6.26 Letak pemasangan geotextile dan subdrain pada STA. 9+075 setelah diperkuat.....	86
Gambar 6.27 Ukuran pemasangan Subdrain	88
Gambar 6.28 Bidang longsor salah satu lereng.	91
Gambar 7.1 Ilustrasi Saluran dengan geomembran pada lereng..	95



Halaman ini sengaja dikosongkan

KATA PENGANTAR

Puji syukur kami panjatkan kepada Allah SWT, kami dapat menyelesaikan laporan tugas akhir dengan judul **Perencanaan Alternatif Perbaikan Lereng Jalur Tenggarong-Samarinda (STA.9+071 – STA.9+119)**.

Tugas Akhir ini merupakan salah satu tugas yang wajib diselesaikan oleh semua mahasiswa Program Studi S1 Teknik Sipil Fakultas Teknik Sipil dan Perencanaan Institut Teknologi Sepuluh Nopember Surabaya.

Tidak lupa kami ucapan terima kasih kepada :

1. Ibu Prof. Ir. Noor Endah M.Sc., Ph.D selaku dosen pembimbing pertama Tugas Akhir yang tidak lelah menemani penulis menyelesaikan Tugas Akhir.
2. Ibu Putu Tantri Kumalasari, S.T, M.T selaku dosen pembimbing kedua Tugas Akhir yang tidak lelah menemani penulis menyelesaikan Tugas Akhir.
3. Kedua orang tua saya yang telah mendukung dan mendoakan keberhasilan saya dalam studi.
4. Teman-teman Teknik Sipil angkatan 2011 yang telah mendukung kami dalam penulisan laporan ini.

Dalam penulisan laporan Tugas Akhir ini, kami menyadari bahwa masih ada kekurangan. Maka kritik dan saran yang bersifat membangun sangat kami harapkan demi kebaikan tugas akhir ini. Semoga laporan ini dapat memberikan manfaat bagi pembaca, penulis dan semua pihak yang terkait dalam aktivitas tugas akhir.

Surabaya, 25 september 2015

Penyusun



Halaman ini sengaja dikosongkan

DAFTAR ISI

Halaman Judul	i
<i>Title Page</i>	ii
Abstrak	iii
<i>Abstract</i>	v
Kata Pengantar	vii
Daftar Isi.....	ix
Daftar Gambar.....	xiii
Daftar Tabel.....	xv
BAB I PENDAHULUAN	1
1.1 Latar Belakang	1
1.2 Rumusan Masalah	3
1.3 Tujuan	4
1.4 Ruang Lingkup Pembahasan	4
1.5 Manfaat	4
BAB II TINJAUAN PUSTAKA	5
2.1 Tanah	5
2.2 Pengertian Lereng dan Pengelompokan	7
2.3 Faktor – faktor Penyebab Kelongsoran	8
2.4 Pengelompokan Karasteristik Tanah Terhadap Kelongsoran.....	10
2.5 Analisis Stabilitas Lereng.....	10
2.6 Analisis Stabilitas Lereng Tinggi Tak Terbatas	12
2.7 Software Geoslope.....	15
2.8 Ground Anchor	17
2.8.1 Perencanaan Jangkar	18
2.8.2 Perhitungan Panjang Grouting pada sistem perkuatan Ground Anchor	19
2.8.3 Perhitungan Daya Dukung Pelat Penahan Anchor	20
2.9 Material Geosintetik	22
2.10 <i>Behaving like Sand</i>	25
2.11 Subdrain.....	26
2.12 Kondisi Sebelum Perkuatan	27

BAB III METODOLOGI	29
3.1 Uraian Umum	29
3. Lokasi Pelaksanaan Tugas Akhir	29
3.3 Tahap Persiapan.....	29
3.4 Perencanaan Lahan Reklamasi dan Tanggulnya	29
3.5 Pengumpulan data	30
3.6 Analisa Data dan Perhitungan	30
3.7 Alur Pembuatan Tugas Akhir	31
BAB IV DATA DAN ANALISA DATA	33
4.1 Data Tanah	33
4.2 Data Tanah yang Digunakan Untuk Analisa Stabilitas	34
4.3 Data Spesifikasi Bahan Perkuatan Pada Lereng.....	37
4.3.1 Data Spesifikasi Bahan Geotextile Woven.....	37
4.3.2 Data Spesifikasi Bahan Ground Anchor.....	37
4.4 Data Spesifikasi Bahan Geomembrane untuk Pelapis Permukaan	37
4.5 Data Spesifikasi Bahan Sub-Drains.....	38
4.5.1 Data Spesifikasi Bahan Geotextile Non-Woven	38
4.5.2 Data Spesifikasi Bahan Kerikil.....	38
BAB V ANALISA GEOSLOPE DAN PENYEBAB KELONGSORAN	39
5.1 Perhitungan Stabilitas Lereng.....	39
5.2 Input Data Geoslope	40
5.2.1 Potongan STA 9+110	40
5.2.2 Potongan STA 9+100	40
5.2.3 Potongan STA 9+090	41
5.2.4 Potongan STA 9+075	42
5.3 Hasil Analisis Geoslope dan Keperluan ΔMr	42
5.4 Analisis Penyebab Kelongsoran	44

BAB VI PERHITUNGAN RENCANA PERKUATAN DAN BIAYA	49
6.1 Perhitungan Pererencanaan dengan Geotekstil dan Subdrain	49
6.1.1 Pemilihan Data Perencanaan Geotekstile	49
6.1.2 Perhitungan Pemasangan Geotektile	50
6.1.3 Memutuskan MAT yang Dipakai	54
6.1.4 Letak Pemasangan Subdrain.....	56
6.1.5 Gambar Pemasangan Geotextile dan Subdrain	57
6.1.6 Perhitungan Biaya Geotekstile dan Subdrain	59
6.2 Perhitungan Pererencanaan dengan Ground Anchor Geotekstile.....	62
6.2.1 Perencanaan Geotekstile.....	62
6.2.2 Perhitungan Pemasangan Geotextil	63
6.2.3 Perencanaan Ground Anchor.....	66
6.2.4 Perhitungan Gambar pemasangan Geotekstil dan Ground Anchor.....	74
6.2.5 Perhitungan Biaya Ground Anchor dan Geotekstil	77
6.3 Pemeriksaan Perkuatan dengan Program Geoslope	82
6.3.1 Perkuatan Geotekstile dan Subdrain.....	82
6.3.1.1 Perhitungan Gambar pemasangan Geotekstil dan Subdrain yang telah diperkuat.	84
6.3.1.2 Perhitungan Biaya Geotekstile dan Subdrain	86
6.3.2 Perkuatan Ground Anchor dan Geotekstile	89
BAB VII KESIMPULAN.....	93
7.1 Kesimpulan.....	93
7.2 Saran.....	95
DAFTAR PUSTAKA.....	xvii
LAMPIRAN	xviii

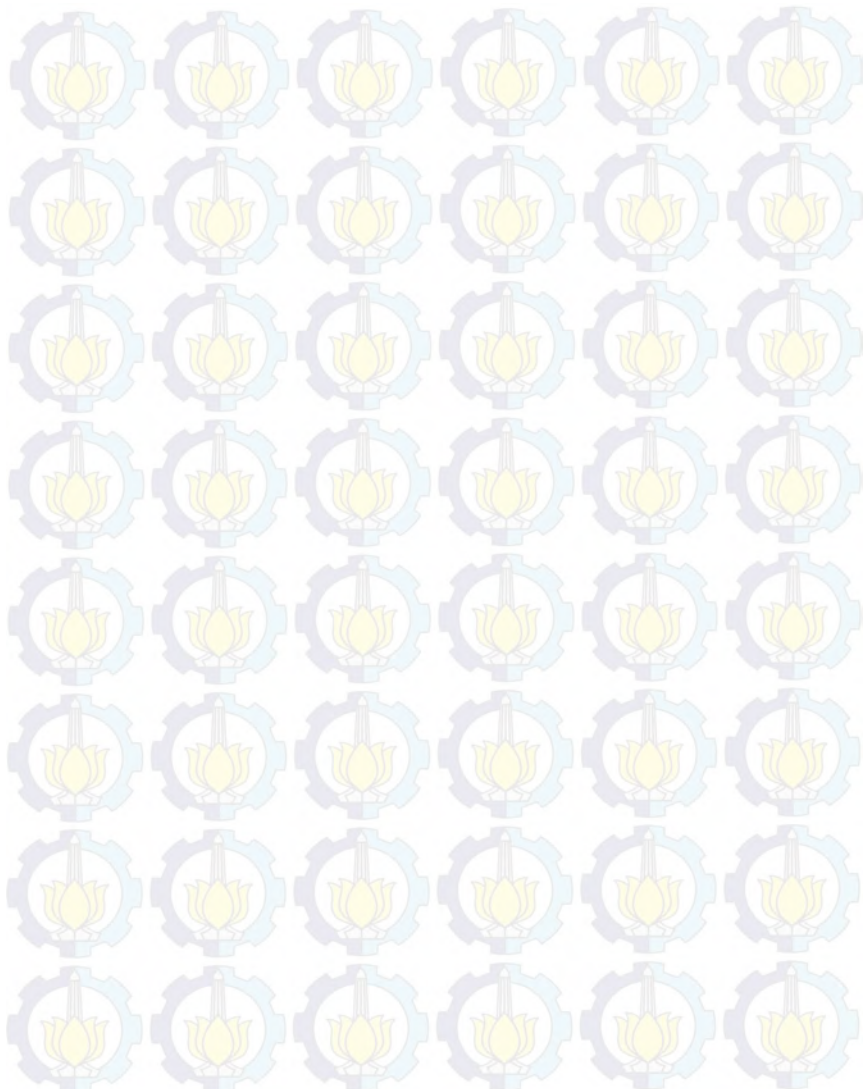


Halaman ini sengaja dikosongkan

DAFTAR TABEL

Tabel 2.1 Batasan-batasan Ukuran Golongan Tanah	6
Tabel 2.2 Nilai Faktor Geotekstil Akhir	24
Tabel 4.1 Acuan penentuan asumsi berat volume (γ) tanah.....	33
Tabel 5.1 Tabel Rekapitulasi dengan MAT: 0 m dari permukaan tanah.....	43
Tabel 5.2 Tabel hasil hitung dengan dengan cara Trial and error	45
Tabel 6.1 Tabel Analisa Geoslope dengan ΔMr dari STA 9+110 denagn tinggi MAT 0m dan 2m	49
Tabel 6.2 Tabel hasil Geoslope dan ΔMr ($SF=1,3$) dengan MAT 4m	50
Tabel 6.3 Tabel hasil Geoslope dan ΔMr ($SF=1,3$) dengan MAT 6m	50
Tabel 6.4 Tabel kebutuhan jumlah lembar geotekstile setiap 1m panjang lereng pada MAT 4m..	55
Tabel 6.5 Tabel kebutuhan jumlah lembar geotekstile setiap 1m panjang lereng pada MAT 6m	55
Tabel 6.6 Tabel kebutuhan	57
Tabel 6.7 Tabel hasil Geoslope dan ΔMr ($SF = 1,3$) dengan MAT 0m.....	62
Tabel 6.8 ΔMR komulatif Geotekstile untuk perencanaan perkuatan Ground Anchor – Geotekstile.....	66
Tabel 6.9 ΔMR komulatif Geotekstile untuk perencanaan perkuatan Ground Anchor – Geotekstile.....	67
Tabel 6.10 ΔMR komulatif Geotekstile untuk perencanaan perkuatan Ground Anchor – Geotekstile.....	68
Tabel 6.11 Perhitungan panjang grouting Grouting STA. 9+110	69
Tabel 6.12 Perhitungan panjang grouting Grouting STA. 9+100	70
Tabel 6.13 Perhitungan panjang grouting Grouting STA. 9+090	71

Tabel 6.14 Perhitungan panjang grouting Grouting STA. 9+075	72
Tabel 6.15 Panjang Grouting.....	72
Tabel 6.16 Pemasangan Geotektile	75
Tabel 6.17 Tabel Pemasangan Anchor	75
Tabel 6.18 Tabel Biaya Pemasangan Anchor	80
Tabel 6.19 Perhitungan harga setiap tipe grouting	81
Tabel 6.20 Perhitungan harga setiap grouting	81
Tabel 6.21 Hasil pemeriksaan perkuatan geotekstile dan subdrain	82
Tabel 6.22 Hasil pemeriksaan perkuatan geotekstile dan subdrain setelah geotekstile diperkuat	83
Tabel 6.23 Hasil pemeriksaan perkuatan geotekstile dan subdrain setelah diperkuat ground anchor	83
Tabel 6.24 Tabel Pemasangan Geotektile	84
Tabel 6.25 Tabel Pemasangan Anchor	85
Tabel 6.26 Perhitungan harga tipe Anchor	89
Tabel 6.27 Hasil pemeriksaan perkuatan Ground Anchor Geotekstile	90
Tabel 6.28 Hasil pemeriksaan perkuatan geotekstile dan subdrain setelah geotekstile diperkuat	91
Tabel 6.29 Hasil pemeriksaan Geoslope	92
Tabel 6.30 Tindakan yang dilakukan	92
Tabel 7.1 Kesimpulan kebutuhan perkuatan	94
Tabel 7.2 Kesimpulan kebutuhan dan biaya total.....	94
Tabel 7.3 Kesimpulan kebutuhan dan biaya total setelah diperkuat.	95



BAB I

PENDAHULUAN

1.1. Latar Belakang

Kota Tenggarong adalah ibukota Kabupaten Kutai Kartanegara, provinsi Kalimantan Timur, Indonesia. Tenggarong terbelah dua oleh sebuah sungai besar bernama sungai Mahakam. Bagian kota yang berada di pusat kota disebut kota Tenggarong. Sedangkan bagian kota yang ada di seberang Tenggarong kota disebut Tenggarong Seberang. Dalam menjalankan aktivitas ekonomi dan administratif, Tenggarong banyak bergantung kepada Kota Samarinda yang merupakan Ibukota provinsi Kalimantan Timur. Demi kelancaran kegiatan ekonomi dan administrasi Tenggarong, jalur penghubung Tenggarong-Samarinda yang cepat dan efektif adalah mutlak.

Terdapat dua jalur yang dapat digunakan sebagai penghubung antara kota Tenggarong dan Samarinda. Jalur Pertama adalah jalur lama yaitu jalur yang menyusuri pinggir sungai mahakam. Selain menghubungkan kota Tenggarong dengan Samarinda, jalur ini juga berfungsi sebagai penghubung kota Tenggarong dengan Balikpapan. Jalan pada jalur ini sempit. Kondisi perkerasan jalannya buruk dikarenakan sering dilalui oleh peralatan berat milik perusahaan pertambangan batu bara yang banyak terdapat di pinggiran sungai. Volume kendaraan pada jalur ini padat karena selain digunakan sebagai penghubung Tenggarong-Samarinda, juga digunakan untuk jalur Tenggarong-Balikpapan. Jalur ini tidak efektif sebagai penghubung Tenggarong-Samarinda.

Jalur kedua adalah jalur yang lebih baru. Jalur ini lebih lebar dan memiliki jarak tempuh yang lebih pendek daripada jalur lama. Jalur ini tidak mengikuti alur sungai tetapi banyak melalui perbukitan. Hanya saja, kelongsoran merupakan masalah yg umum terjadi pada lereng-lereng pada jalur ini. Hal ini disebabkan oleh karakteristik tanah di Kalimantan yang labil.

Kelongsoran yang terjadi pada jalur ini selalu menimbulkan gangguan seperti kemacetan bahkan penutupan jalan secara total cukup umum terjadi. Oleh sebab itu lereng tersebut harus diperkuat agar tidak ada lagi kelongsoran.



Gambar 1.1 Gambar kelongsoran yang terjadi



Gambar 1.2 Jalur Tenggarong-Samarinda dan lokasi proyek
(Sumber: Google Earth)



Gambar 1.3 Lokasi kelongsoran
(Sumber: Google Earth)

Untuk tujuan tersebut, penulis akan merencanakan Alternatif perkuatan lereng yang longsor yang terjadi di jalur Tenggarong-Samarinda pada STA.9+071 – STA.9+119 (lihat peta di Gambar 1.2). Perbaikan tanah direncanakan menggunakan kombinasi metode geotextile dan subdrain atau ground anchor.

1.2. Perumusan Masalah

Berkaitan dengan uraian yang diberikan pada latar belakang di atas, ada beberapa permasalahan yang akan dibahas dalam Tugas Akhir ini yaitu:

1. Bagaimana stabilitas dari lereng yang ada dan bagaimana kondisi tanahnya.
2. Menemukan penyebab kelongsoran dan penyebab kelongsoran tidak terjadi total pada keseluruhan lereng.
3. Bagaimana rancangan perkuatan lereng dengan menggunakan geotextile-subdrain atau ground anchor-geotekstile untuk memperkuat lereng tersebut agar tidak longsor lagi.
4. Memilih kombinasi perkuatan yang mana yang dapat memberikan hasil yang optimum dan ekonomis.

1.3. Tujuan

Penulisan Tugas Akhir ini bertujuan untuk merencanakan perbaikan lereng yang longsor pada jalur Tenggarong-Samarinda (STA.9+070 – STA.9+119) agar diperoleh sistem perkuatan yang paling optimum sehingga lereng tersebut tidak akan longsor lagi.

1.4. Lingkup Studi

Lingkup studi dalam Tugas Akhir ini adalah:

1. Data yang digunakan adalah data sekunder, meliputi:
 - *Layout* proyek
 - Data pengujian tanah lapangan (Bor Log dan SPT)
 - Data pengujian tanah di laboratorium
2. Sistem perkuatan lereng yang dipilih menggunakan kombinasi metode geotextile dan subdrain atau ground anchor dan geotextile.
3. Memperhitungkan Rencana Anggaran Biaya (RAB)
4. Tidak membahas metode pelaksanaan.

1.5. Manfaat

Apabila lereng pada jalur Tenggarong-Samarinda STA.9+070 – STA.9+119 sudah diperbaiki dengan sistem yang tepat maka kelongsoran lereng tidak akan terjadi lagi sehingga kelancaran lalu lintas pada jalur tersebut tidak akan terganggu yang berarti laju perekonomian di wilayah tersebut dapat semakin meningkat.

BAB II

TINJAUAN PUSTAKA

2.1 Tanah

Tanah dalam pandangan Teknik Sipil didefinisikan sebagai material yang terdiri dari agregat (butiran) mineral-mineral padat yang tidak tersemenisasi (terikat secara kimia) satu sama lain dan dari bahan organik yang telah melapuk (yang berpartikel padat) disertai dengan zat cair dan gas yang mengisi ruang-ruang kosong diantara partikel-partikel padat tersebut. Tanah berguna sebagai bahan bangunan pada berbagai pekerjaan teknik sipil, disamping itu tanah juga berfungsi sebagai pengukung pondasi pada bangunan (Das, 1991)

Ukuran dari partikel tanah sangat beragam dengan variasi yang cukup besar. Tanah umumnya dapat disebut:

1. Kerikil (*Gravel*)

Kerikil adalah kepingan-kepingan dari batuan yang terkadang juga mengandung partikel-partikel mineral quartz, feldspar, dan mineral-mineral lainnya

2. Pasir (*Sand*)

Sebagian besar terdiri dari mineral quartz dan feldspar. Butiran dari mineral lain mungkin masih ada pada golongan ini.

3. Lanau (*Silt*)

Sebagian besar merupakan fraksi mikroskopis (berukuran sangat kecil) dari tanah yang terdiri dari butiran-butiran quartz yang sangat halus, dan sejumlah partikel berbentuk lempengan-lempengan pipih yang merupakan pecahan dari mineral-mineral mika.

4. Lempung (*Clay*)

Sebagian besar merupakan partikel mikroskopis dan submikroskopis (tidak terlihat jelas hanya dengan mikroskop biasa) yang berbentuk lempengan-lempengan pipih yang merupakan partikel-partikel mika, mineral-

mineral lempung, dan mineral-mineral sangat halus yang lain.

Untuk menerangkan tentang tanah berdasarkan ukuran-ukuran partikelnya, beberapa organisasi telah mengembangkan *batasan-batasan ukuran golongan jenis tanah* (soil-separate-size limits). Pada tabel 2.1 ditunjukkan batasan-batasan ukuran golongan jenis tanah yang telah dikembangkan oleh Massachusetts Institute of Technology (MIT), U.S. Department of Agriculture (USDA), American Association of State Highway and Transportation Officials (AASHTO), dan U.S. Army Corps of Engineers dan U.S. Bureau of Reclamation yang kemudian menghasilkan apa yang disebut sebagai Unified Soil Classification System (USCS). Pada saat sekarang sistem unified (USCS) telah diterima seluruh dunia. Sistem ini sekarang telah dipakai pula oleh American Society and materials (ASTM).

Tabel 2.1 Batasan-batasan Ukuran Golongan Tanah

Nama Golongan	Ukuran Butiran (mm)			
	Kerikil	Pasir	Lanau	Lempung
Massachusetts Institute of Technology (MIT)	> 2	2 - 0,06	0,06 - 0,002	< 0,002
U.S. Department of Agriculture (USDA)	> 2	2 - 0,05	0,05 - 0,002	< 0,002
American Association of State Highway and Transportation Officials (AASHTO)	76,2 - 2	2 - 0,075	0,075 - 0,002	< 0,002
Unified Soil Classification System (U.S. Army Corps of Engineers, U.S. Bureau of Reclamation)	76,2 - 4,75	4,75 - 0,075	Halus (yaitu Lanau dan Lempung) <0,0075	

2.2 Pengertian Lereng dan Pengelompokan

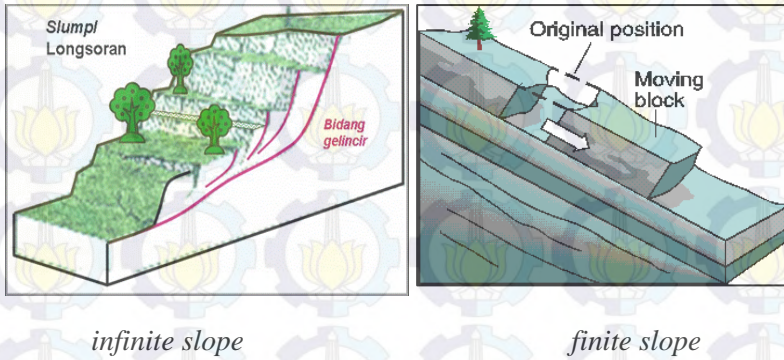
Lereng adalah sebuah permukaan tanah yang terbuka, yang berdiri membentuk sudut tertentu terhadap sumbu horisontal, atau dapat dikatakan lereng adalah permukaan tanah yang memiliki dua elevasi yang berbeda dimana permukaan tanah tersebut membentuk sudut. Dari proses terbentuknya, sebuah lereng dapat terjadi secara alamiah dan buatan manusia. Yang dimaksud dengan lereng alamiah adalah lereng yang terbentuk karena proses alam tanpa campur tangan manusia, sedangkan lereng buatan adalah lereng yang dibentuk oleh manusia seperti lereng akibat sebuah galian dan lereng akibat timbunan.



Gambar 2.1 Contoh Lereng

Perbedaan elevasi pada permukaan tanah seperti lereng dapat mengakibatkan pergerakan massa tanah dari bidang dengan elevasi yang tinggi menuju bidang dengan elevasi yang lebih rendah, pergerakan ini diakibatkan oleh gravitasi. Pergerakan massa tanah tersebut juga dapat dipengaruhi oleh air dan gaya gempa. Pergerakan atau gaya tersebut akan menghasilkan tegangan geser yang berfungsi sebagai gaya penahan dan apabila berat massa tanah yang bekerja sebagai gaya pendorong itu lebih besar dari tegangan geser tersebut maka akan mengakibatkan kelongsoran.

Lereng dapat dikelompokkan menjadi dua bagian yaitu lereng dengan tinggi terbatas (*finite slope*) dan lereng dengan tinggi tak terbatas (*infinite slope*). Lereng tinggi terbatas adalah suatu keadaan lereng bila tinggi kritis lereng (H_{cr}) mendekati tinggi lereng (Das 1985), sedangkan lereng tinggi tak terbatas adalah lereng menerus yang permukaan kelongsorannya sejajar dengan permukaan lereng, dengan kedalaman yang dangkal bila dibandingkan dengan panjang lereng (Craig 1987).



Gambar 2.2 Pengelompokan lereng

2.3 Faktor – faktor Penyebab Kelongsoran

Faktor – faktor penyebab ketidakstabilan lereng yang dapat dibagi adalah menjadi dua kelompok besar (Terzaghi,1950), antara lain :

Faktor Pengaruh Luar

Faktor ini disebabkan karena meningkatnya tegangan geser yang terjadi pada tanah sehingga faktor keamanannya menjadi turun ($FS<1$). Hal ini disebabkan karena faktor – faktor berikut :

1. Turunnya tegangan horizontal tanah, kondisi ini sering terjadi bila :
 - Kaki lereng tererosi oleh aliran sungai atau air hujan

- Akibat perbuatan manusia, adanya kegiatan galian pada lereng
2. Peningkatan tegangan vertikal tanah, hal ini disebabkan karena :
 - Air hujan yang tertahan diatas lereng
 - Berat akibat timbunan tanah para lereng
 - Berat bangunan diatas lereng
 3. Pergerakan tektonik dapat mengubah geometri lereng, bila pergerakannya membuat lereng menjadi landai maka lereng akan lebih stabil, tetapi bila pergerakannya membuat lereng menjadi terjal maka akan mengurangi kestabilan lereng.
 4. Gempa bumi, pada saat terjadi gempa bumi gelombang merambat naik dari permukaan batuan ke permukaan tanah, sebelum mencapai permukaan tanah rambatan gelombang melewati berbagai lapisan tanah sehingga menimbulkan perubahan pada tegangan tanah.

Faktor Pengaruh Dalam

Faktor ini disebabkan oleh penurunan kekuatan geser tanah, penyebabnya adalah :

1. Peningkatan kadar air yang terjadi pada tanah lempung.
2. Struktur geologi dan keadaan geometri lereng.
3. Absorpsi oleh mineral lempung yang biasanya diikuti oleh penurunan harga kohesi tanah.
4. Penyusutan tanah lempung diakibatkan oleh perubahan temperatur yang dapat menimbulkan retak susut, sehingga kohesi tanah menjadi turun dan memberikan kesempatan kepada air untuk masuk kedalam lapisan tanah.
5. Perubahan berat volume dan tekanan air pori tanah.

2.4 Pengelompokan Karakteristik Tanah Terhadap Kelongsoran

Berdasarkan karakteristiknya, tanah dapat dikelompokkan atas dua jenis yaitu :

A. Tanah tak berkohesi

Kestabilan lereng dari tanah ini ($\phi > 0$, $C=0$) tergantung atas tiga hal, yaitu :

- Sudut geser dalam (ϕ) yang diperoleh dari uji laboratorium (*triaxial* atau *direct shear*) atau secara empiris menggunakan hasil uji sondir atau SPT.
- Kelandaian lereng dinyatakan dengan sudut (β)
- Berat volume tanah (γ)

Dalam perencanaan kestabilan lereng dari tanah tak berkohesi, ada beberapa sifat penting yang perlu diperhatikan, yaitu :

- Tanah tak berkohesi mudah tererosi oleh limpasan permukaan (surface run off), sehingga geometri lereng mudah berubah.
- Tanah tak berkohesi yang jenuh air mempunyai potensi tinggi terhadap bahaya liquefaction.
- Tanah tak berkohesi yang kering mudah mengalami penurunan bila terkena beban siklik (vibrasi)

B. Tanah Berkohesi

Kestabilan lereng dari tanah ini tergantung dari beberapa hal yaitu :

- Kekuatan geser yang dinyatakan dalam (ϕ) dan (C)
- Kelandaian lereng yang dinyatakan dengan sudut (β)
- Tinggi lereng (H)
- Berat volume tanah (γ)
- Tekanan air pori tanah.

2.5 Analisis Stabilitas Lereng

Menurut Das 1985, Analisis stabilitas lereng yang dilakukan dengan cara memeriksa faktor keamanan dari lereng

yang ditinjau, dengan cara membandingkan tegangan geser yang terbentuk sepanjang permukaan bidang retak yang paling kritis dengan kekuatan geser tanahnya. Faktor keamanan didefinisikan sebagai berikut :

$$Fs = \frac{\tau f}{\tau d} \quad (2.1)$$

Keterangan :

Fs = angka keamanan rencana

τf = kekuatan tanah untuk menahan kelongsoran

τd = gaya dorong sepanjang bidang longsor

Das juga menambahkan, kekuatan tanah untuk menahan kelongsoran terdiri dari dua komponen utama yaitu kohesi dan sudut geser tanah, persamaannya sebagai berikut :

$$\tau f = c + \sigma \tan \phi \quad (2.2)$$

Keterangan :

C = kohesi

ϕ = sudut geser tanah

σ = tegangan normal rata – rata permukaan bidang longsor

Dengan demikian dapat dibentuk persamaan sebagai berikut:

$$\tau d = Cd + \sigma \tan \phi d \quad (2.3)$$

Keterangan :

Cd = kohesi

ϕd = sudut geser yang bekerja sepanjang bidang longsor

Dengan memasukkan persamaan (2.3) dan (2.2) ke persamaan (2.1) maka diperoleh persamaan (2.4) seperti berikut :

$$Fs = \frac{c + \sigma \tan \phi}{Cd + \sigma \tan \phi d} \quad (2.4)$$

Persamaan (2.4) dapat diuraikan menjadi dua persamaan yaitu persamaan (2.5) dan persamaan (2.6) sebagai berikut :

$$Fs = \frac{c}{Cd} \quad (2.5)$$

$$Fs = \frac{\sigma \cdot \tan \phi}{\sigma \cdot \tan \phi d} \quad (2.6)$$

2.6 Analisis Stabilitas Lereng Tinggi Tak Terbatas

Pada lereng tinggi tak terbatas, terdapat dua keadaan yang digunakan sebagai dasar dalam menganalisa kestabilan lereng, antara lain :

1. Stabilitas lereng tinggi tak terbatas tanpa rembesan

Untuk lereng tinggi tak terbatas tanpa rembesan air dapat diasumsikan tegangan air pori adalah 0 , sedangkan tegangan geser tanah dapat dirumuskan sebagai berikut :

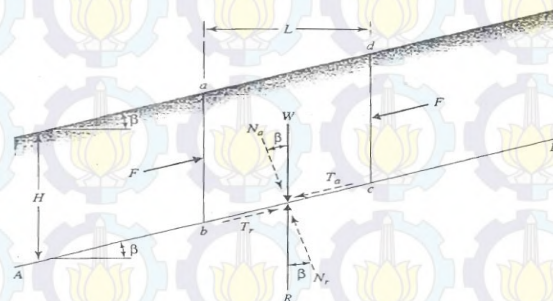
$$\tau_f = c + \sigma \tan \phi \quad (2.7)$$

Keterangan :

C = kohesi

ϕ = sudut geser tanah

σ = tegangan normal rata-rata permukaan bidang longsor



Gambar 2.3 Lereng tinggi tak terbatas tanpa rembesan air

Rumus dari faktor sepanjang bidang bc adalah sebagai berikut :

$$Fs = \frac{Ti}{Ta}$$

$$Ta = w \sin \beta$$

$$Na = Ni = w \cos \beta \text{ dimana } W = \gamma \cdot h \cdot L \cdot \cos \beta$$

$$Ti = \text{shear resistance sepanjang bidang bc}$$

$$Ti = c \cdot L + Ni \cdot \operatorname{tgn} \beta = c \cdot L + w \cos \beta \operatorname{tgn} \phi$$

$$\text{Maka, } Ti = c \cdot L + \gamma \cdot h \cdot L \cdot \cos \beta \operatorname{tgn} \phi$$

$$Fs = \frac{c.L + \gamma.h.L \cos\beta \cdot \cos\beta \cdot \operatorname{tg}n\phi}{\gamma.h.L \cos\beta \sin\beta}$$

Sehingga diperoleh rumusan faktor keamanan untuk lereng menerus tanpa rembesan sebagai berikut :

$$Fs = \frac{c + \gamma.h.\cos\beta \cdot \cos\beta \cdot \operatorname{tg}n\phi}{\gamma.h.\cos\beta \cdot \sin\beta} \quad (2.8)$$

2 Stabilitas lereng tinggi tak terbatas dengan rembesan air

Pada keadaan ini dianggap ada rembesan di dalam tanah yang permukaan air tanahnya sama dengan permukaan tanah, sehingga kekuatan geser tanahnya dapat dituliskan sebagai berikut :

$$\tau_f = c + \sigma' \tan\phi \quad (2.9)$$

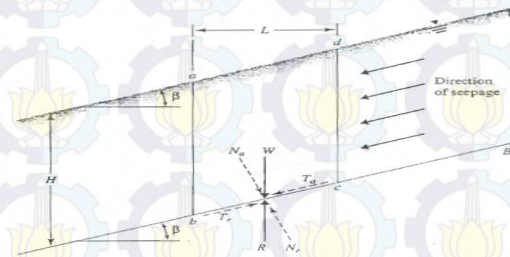
Keterangan :

τ_f = kekuatan tanah menahan kelongsoran

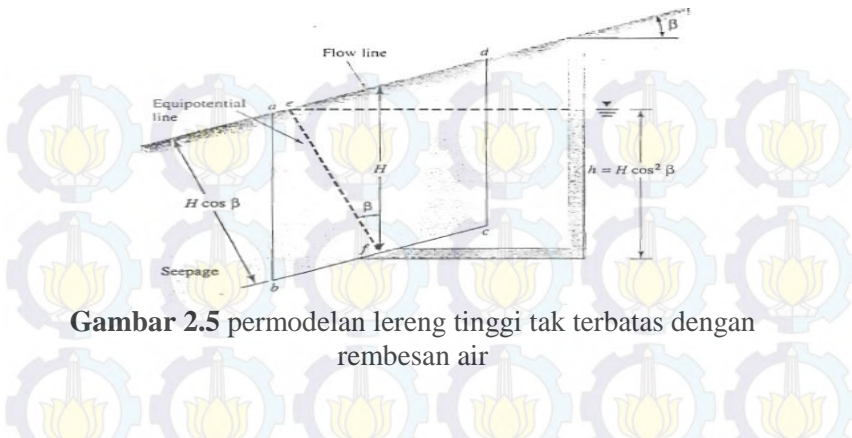
C = kohesi

ϕ = sudut geser tanah

σ' = tegangan normal efektif



Gambar 2.4 Lereng tinggi tak terbatas dengan rembesan air



Gambar 2.5 permodelan lereng tinggi tak terbatas dengan rembesan air

Dalam pias tanah pada lereng abcd (Gambar 2.4) gaya – gaya yang bekerja dapat diuraikan sebagai berikut :

- Gaya penahan = $c' \cdot L + w \cos \beta \cdot \tan \phi$
- Gaya pendorong = $T_a + F_w$

Ta adalah gaya pendorong yang diakibatkan oleh berat tanah sedangkan Fw adalah gaya pendorong yang diakibatkan oleh air.

$$T_a = \gamma' \cdot h \cdot L \cdot \sin \beta \cdot \cos \beta$$

$$F_w = \gamma_w \cdot h \cdot L \cdot \sin \beta \cdot \cos \beta$$

Faktor keamanan pada lereng menerus dengan rembesan dapat dirumuskan sebagai berikut :

$$F_s = \frac{c' \cdot L + \gamma' \cdot h \cdot L \cdot \cos \beta \cdot \cos \beta \cdot \tan \phi}{\gamma' \cdot h \cdot L \cdot \cos \beta \cdot \sin \beta + \gamma_w \cdot h \cdot L \cdot \sin \beta \cdot \cos \beta}$$

$$F_s = \frac{c' + \gamma' h \cdot \cos \beta \cdot \cos \beta \cdot \tan \phi}{\gamma' \cdot h \cdot \cos \beta \cdot \sin \beta + \gamma_w \cdot h \cdot \sin \beta \cdot \cos \beta} \quad (2.10)$$

2.7 Software Geoslope

GEO-SLOPE Office adalah sebuah paket aplikasi untuk pemodelan geoteknik dan geo-lingkungan. Software ini melingkupi SLOPE / W, SEEP / W, SIGMA / W, QUAKE/ W, TEMP / W, dan CTRAN / W. Yang sifatnya terintegrasi sehingga memungkinkan untuk menggunakan hasil dari satu produk ke dalam produk yang lain. Ini unik dan fitur yang kuat sangat memperluas jenis masalah yang dapat dianalisis dan memberikan fleksibilitas untuk memperoleh modul seperti yang dibutuhkan untuk proyek yang berbeda. SLOPE / W merupakan produk perangkat lunak untuk menghitung faktor keamanan tanah dan kemiringan batuan. Dengan SLOPE / W, kita dapat menganalisis masalah baik secara sederhana maupun kompleks dengan menggunakan salah satu dari delapan metode kesetimbangan batas untuk berbagai permukaan yang miring, kondisi tekanan pori-air, sifat tanah dan beban terkonsentrasi. Kita dapat menggunakan elemen tekanan pori air yang terbatas, tegangan statis, atau tekanan dinamik pada analisis kestabilan lereng. Kita juga dapat melakukan analisis probabilistik. Geoslope memiliki empat metode dalam melakukan perhitungan yaitu:

a. Metode Fellenius (*Ordinary*)

Metode ini menggunakan konsep *momen equilibrium* dengan bentuk kelongsoran *circular*. Metode ini tidak menggunakan perhitungan tegangan normal dan tegangan geser pada masing-masing pias irisan bidang longsor. Keunggulan dari metode ini adalah proses perhitungan untuk mendapatkan nilai SF adalah sangat mudah. Rumusan yang digunakan dalam metode ini adalah:

$$F_m = \frac{\Sigma(c'l + N'tan\phi)}{\Sigma W \cdot sin\alpha}$$

$$N' = W \cos\alpha - u l$$

Dimana:

u = tegangan air pori



l = lebar masing-masing irisan

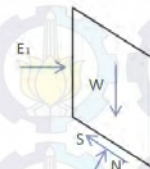
α = sudut inclinasi antara bidang longsor dengan titik berat pias irisan.

b. Metode Bishop

Metode ini menggunakan perhitungan kelongsoran *circular shear surface*. Metode ini mempertimbangkan tegangan normal interslice tetapi tidak menggunakan tegangan geser interslice. Rumusan yang digunakan dalam metode ini adalah:

$$FS = \frac{1}{\sum W \sin \alpha} \sum \left[\frac{c + \beta \tan \varphi - \frac{c \beta}{FS} \sin \alpha \cdot \tan \varphi}{m_a} \right]$$

$$m_a = \cos \alpha + \frac{\sin \alpha \tan \varphi}{FS}$$



Dimana:

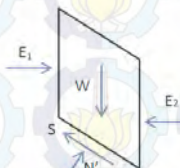
β = lebar masing-masing irisan.

α = sudut inclinasi antara bidang longsor dengan titik berat pias irisan

c. Metode Janbu

Metode ini adalah berdasarkan pada perhitungan tegangan geser pada bidang longsor circular dan perhitungan SF menggunakan metode horizontal force equilibrium. Rumusan yang digunakan adalah:

$$F_f = \frac{\sum (c'l + (N - u) \tan \varphi') \sec \alpha}{\sum W \tan \alpha + \sum \Delta E}$$



Dimana:

$\Delta E = E_2 - E_1$ = Hubungan antar tegangan normal yang terjadi pada setiap irisan pias.

d. Metode Morgenstern-Price

Metode ini menggunakan dasar rumusan force equilibrium dan momen equilibrium serta menggunakan asumsi fungsi tegangan pada masing-masing pias irisan bidang longsor.

Berdasarkan rumusan dasarnya, perbedaan tegangan pada masing-masing pias irisan bidang longsor (interslice force function) adalah bervariasi berdasarkan rumusan fungsi di bawah ini:

$$T = f(x) \cdot \lambda \cdot E$$

Dimana:

$f(x)$ = *interslice force function* yang bervariasi pada masing-masing irisan pias bidang longsornya.

λ = asumsi faktor pengaruh untuk fungsi $f(x)$

Rumusan yang digunakan dalam metode ini adalah berdasarkan *force equilibrium* (F_f) dan *momen equilibrium* (F_m).

$$F_f = \frac{\sum [(c'l + (N-u)\tan\varphi l) \sec\alpha]}{\sum (W - (T_2 - T_1)) \tan\alpha + \sum (E_2 - E_1)}$$

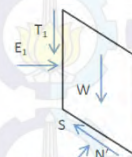
$$F_m = \frac{\sum (c'l + (N-u)\tan\varphi l)}{\sum W \sin\alpha}$$

Dimana:

u = tegangan air pori

l = lebar masing-masing irisan

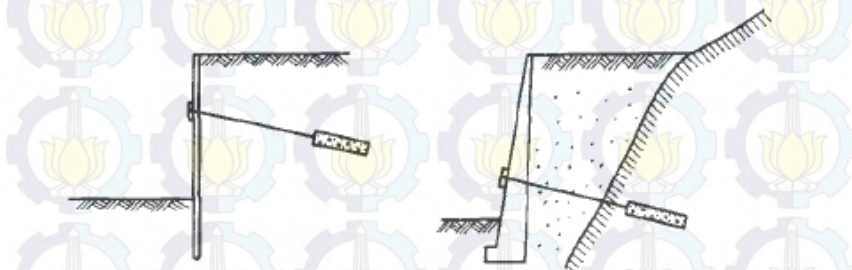
α = sudut inclinasi antara bidang longsor dengan titik berat pias irisan



2.8 Ground Anchor

Menurut (Ir.Suyono Sosrodarsono dan Kazuto Nakazawa, 2000) Metode penjangkaran tanah disebut juga dengan nama Alluvian Anchor, Ground Anchor atau Tieback Anchor, sesuatu yang dikembangkan di Eropa sekitar 20 tahun lampau. Dalam metode ini pengeboran dilakukan dalam tanah pondasi yang baik terdiri dari lapisan berpasir, lapisan berkerikil, lapisan berbutir halus ataupun batuan yang lapuk, serta suatu bagian yang menahan gaya tarik seperti campuran semen dengan kabel baja atau semen dengan batang baja dimasukkan ke dalam lubang hasil pengeboran tersebut, kemudian disertai suatu gaya tarik

setelahnya untuk memperkuat konstruksinya. Dalam banyak hal dipergunakan untuk melawan tekanan tanah seperti turap ataupun tembok penahan tanah (gambar 2.6).



Gambar 2.6 Contoh jangkar

2.8.1 Perencanaan Jangkar

Untuk keperluan perencanaan jangkar suatu penyelidikan tanah sangat penting dan jenis lapisan tanah serta tingkat kepadatannya perlu diselidiki dengan teliti.

- Mencari ΔMr yang akan dipikul oleh perkuatan ground anchor

Dalam mencari ΔMr , digunakan program bantu Geoslope yang memiliki keluaran output yaitu berupa Mr dan juga SF . Dengan menggunakan rumus:

$$SF = \frac{Mr}{Md}$$

$$Md = \frac{Mr}{SF}$$

Dengan menggunakan rumus diatas didapatkan Nilai Md (Momen Dorong) yang selanjutnya akan dikalikan dengan SF rencana , dan didapatkan nilai Mr :

$$Mr + \Delta Mr = Md \times SF \text{ rencana.}$$

Maka didapatkan ΔMr yang nantinya nilai ΔMr tersebut akan dipakai sebagai nilai momen yang akan dipikul oleh perkuatan ground anchor.

- Mencari nilai T_{max} dari perkuatan ground anchor

$$T_{max} = N \tan \delta \quad (2.11)$$

T_{max} adalah nilai maksimum yang akan dipikul oleh suatu anchor setelah terpasang, selanjutnya adalah menentukan gaya total yang diperlukan dalam tiap L jarak anchor (T_n) untuk mencegah keloangsoran.

$$T_n = \frac{\Delta M r \times L}{r} \quad (2.12)$$

Dimana: T_n = gaya total dari semua
 L = Jarak anchor
 r = jari-jari kelongsoran

Setelah T_n dihitung step selanjutnya adalah menghitung jumlah anchor dengan cara membagi gaya total (T_n) dengan kekuatan satu anchor terpasang (T_{max})

$$n = \frac{T_n}{T_{max}} \quad (2.13)$$

2.8.2 Perhitungan Panjang Grouting pada sistem perkuatan Ground Anchor

Panjang grouting ialah panjang yang akan menahan gaya stressing yang melewati garis bidang longsor. Perhitungan panjang grouting akan menggunakan SF=2. Perhitungan panjang grouting adalah (Bowles, 1997):

$$P_{ar} = \pi D L (\gamma d_2 K \tan \delta + c_a) \quad (2.14)$$

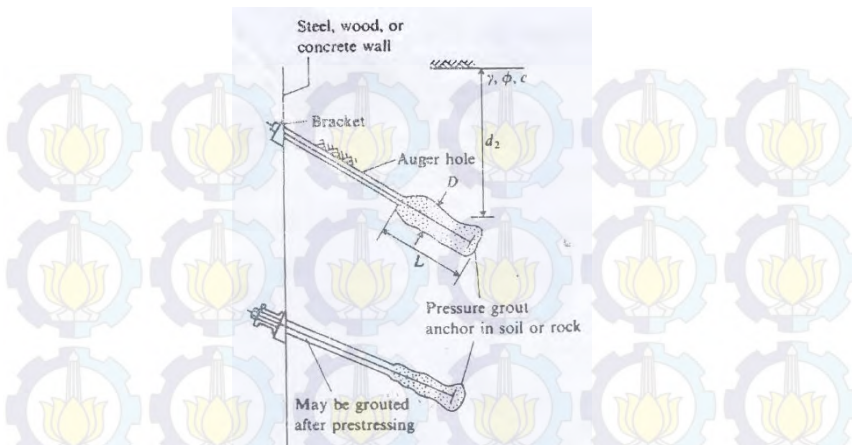
Dimana: L = Panjang Grouting

K = koefisien tanah (K_a atau K_o)

d_2 = kedalaman rata-rata grouting

c_a = adhesi semen grouting dan tanah sekitar

D = diameter rata-rata grouting (150mm – 375mm)



Gambar 2.7 tie-back anchor

2.8.3 Perhitungan Daya Dukung Pelat Penahan Anchor

Perhitungan daya dukung pelat untuk menahan gaya tarik anchor menggunakan rumus pondasi bujur sangkar dari Terzaghi sebagai berikut (Das, 1991):

$$Q_{ult} = 1.3 c' Nc' + q Nq' + 0.3 \gamma B N\gamma' \quad (2.15)$$

$$\text{Dimana: } c' = \frac{2}{3} C$$

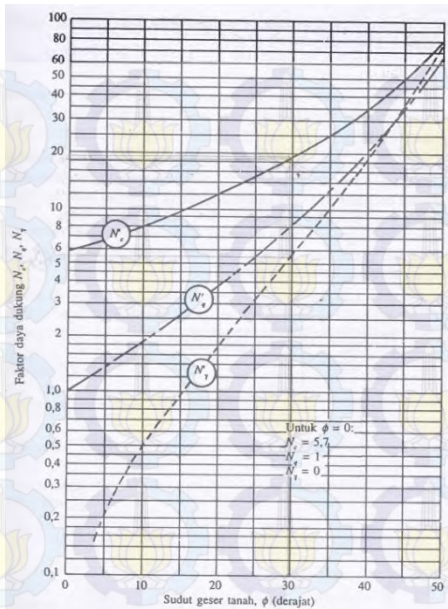
C = Kekuatan Geser

$$q = \gamma \times D$$

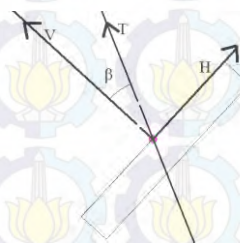
γ' = Berat Volume Tanah

B = Lebar Pondasi atau Pelat

Nc', Nq', Ny' = Faktor Daya Dukung (nilai menggunakan Gambar 2.8)



Gambar 2.8 faktor daya dukung untuk keruntuhan geser setempat menurut Terzaghi.



Gambar 2.9 Gaya T anchor yang diubah kedalam gaya V dan H

$$Qt = \frac{P}{A} + \frac{My}{I}$$

$$Qt = \frac{V}{A} + \frac{(H \times D) \times y}{I}$$

$$Qt = \frac{T \times \cos \beta}{A} + \frac{(T \times \sin \beta \times D) \times y}{I} \quad (2.16)$$

Dimana: Qt = tegangan terjadi

V = gaya tegak lurus pelat

H = gaya sejajar pelat

D = tebal pelat

$Y = \frac{1}{2} \times D$

A = luas penampang pelat

I = momen inersia pelat

T = gaya tarik anchor

B = sudut antara gaya tegak lurus pelat dengan gaya tarik anchor

2.9 Material Geosintetik

Menurut ASTM D4439, pengertian geosintetik adalah sebuah produk planar yang dibuat dari material polimer yang digunakan pada tanah, batuan, bumi, atau rekayasa geoteknik lainnya yang berhubungan dengan material sebagai salah satu bagian dari man-made project, struktur, atau sistem. Material yang digunakan untuk pembuatan geosintetik umumnya dihasilkan oleh industri plastik seperti polimer, karet, fiber-glass, dan material alam yang terkadang dipakai.

Untuk melakukan perhitungan perencanaan geotekstil, diperlukan data-data yang diperoleh dari hasil *running* program

bantu Geoslope. Adapun data yang diperlukan adalah, nilai *safety factor* (SF), momen penahan/ resisten (M_R), dan jari-jari kelongsoran (R).

1. Mencari momen dorong (M_D)

$$M_D = \frac{M_R}{SF} \quad (2.17)$$

2. Mencari ΔM_R dari FS rencana

$$\Delta M_R = SF_{rencana} M_D - M_R \quad (2.18)$$

$$SF_{rencana} = 1,3$$

3. Mencari nilai tegangan izin (T_{allow})

Pada perencanaan geotextile harus dipertimbangkan kekuatan tarik ijin dari bahan geotextile tersebut dalam menerima atau memikul gaya geser saat terjadinya kelongsoran. Rumus kekuatan bahan geotextile adalah persamaan:

$$T_{allow} = T_{ultimate} \left| \frac{1}{FS_{id} \times FS_{cr} \times FS_{cd} \times FS_{bd}} \right| \quad (2.19)$$

Dimana: $T_{ultimate}$

= tegangan ultimate pada tipe standar geotekstil

FS_{id} = faktor keamanan akibat kerusakan pada saat pemasangan

FS_{cr} = faktor keamanan akibat rangkak

FS_{cd} = faktor keamanan akibat pengaruh bahan-bahan kimia

FS_{bd} = faktor keamanan akibat pengaruh aktifitas biologi dalam tanah

FS_{id} , FS_{cr} , FS_{cd} , FS_{bd} merupakan faktor reduksi akibat pengurangan kekuatan geotextile yang besarnya dapat dilihat pada tabel berikut:

Tabel 2.2 Nilai Faktor Geotekstil Akhir

Penggunaan Geotextile	Faktor Pemasangan, FS_{id}	Faktor Rangkak, FS_{cr}	Faktor Kimia, FS_{cd}	Faktor Biologi, FS_{id}
Separation	1,1 – 2,5	1,1 – 1,2	1,0 – 1,5	1,0 – 1,2
Cushioning	1,1 – 2,0	1,2 – 1,5	1,0 – 2,0	1,0 – 1,2
Unpaved Roads	1,1 – 2,0	1,5 – 2,5	1,0 – 1,5	1,0 – 1,2
Walls	1,1 – 2,0	2,0 – 4,0	1,0 – 1,5	1,0 – 1,3
Embankments	1,1 – 2,0	2,0 – 3,0	1,0 – 1,5	1,0 – 1,3
Bearing Capacity	1,1 – 2,0	2,0 – 4,0	1,0 – 1,5	1,0 – 1,3
Slope Stabilization	1,1 – 1,5	1,5 – 2,0	1,0 – 1,5	1,0 – 1,3
Pavement Overlays	1,1 – 1,5	1,0 – 1,2	1,0 – 1,5	1,0 – 1,1
Railroads	1,5 – 3,0	1,0 – 1,5	1,5 – 2,0	1,0 – 1,2
Flexible Form	1,1 – 1,5	1,5 – 3,0	1,0 – 1,5	1,0 – 1,1
Silt Fences	1,1 – 1,5	1,5 – 2,5	1,0 – 1,5	1,0 – 1,1

4. Menghitung jumlah kebutuhan geotekstil

$$\Delta M_R \leq T_{allow} \times \sum R_i \quad (2.20)$$

Dimana: $\sum R_i$ = penjumlahan jarak pasang masing-masing geotekstil terhadap titik pusat jari-jari kelongsoran, hingga nilainya lebih besar dari ΔM_R ketika dikalikan T_{allow} .

5. Perhitungan panjang geotekstil di belakang bidang longsor (Le)

$$Le = \frac{T_{all} \times SF}{(\tau_{atas} + \tau_{bawah}) \times E} \quad (2.21)$$

$$\tau_i = Cu_i + \sigma_v \tan \theta$$

Dimana: T_{all} = kekuatan tarik yang diijinkan (tereduksi oleh faktor-faktor)

SF = faktor keamanan (rencana)

E = efisiensi (diambil $E = 0.8$)

τ_{atas} = tegangan geser antara geotextile dengan tanah di atas geotextile

τ_{bawah} = tegangan geser antara geotextile dengan tanah di bawah geotextile

C = kohesi tanah

θ = sudut tahanan geser tanah

6. Perhitungan panjang geotekstil di depan bidang longsor (L_r) didapat dengan cara bidang longsor, dan elevasi tiap pemasangan geotekstil diplot di program bantu. Kebutuhan panjang total geotekstil diperoleh dari penjumlahan panjang geotekstil di belakang dan di depan bidang longsor.

2.10 Behaving like Sand

Behaving like Sand adalah kondisi dimana tanah sudah mengalami retak-retak, baik arah horizontal maupun vertical dan diagonal. Retak-retak tersebut pada saat hujan terisi air hujan, dan kalau hujan tidak deras air hujan masuk ke dalam tanah dan kemudian mengalir ke luar di tempat-tempat lainnya yang lebih rendah. Pada kondisi hujan tidak deras ini, tidak ada peningkatan tekanan air pori yang berarti di dalam bidang keretakan. Pada saat hujan deras, air yang mengalir ke dalam retakan tanah terus bertambah, sehingga semua bidang retak menjadi penuh dengan air sampai di seluruh permukaan bidang retak. Terjadi penambahan tekanan air pori (di dalam celah keretakan) yang sangat signifikan, karena jumlah air hujan yang masuk ke dalam bidang retak lebih besar dari pada jumlah air hujan yang dapat mengalir ke luar dari celah-celah keretakan tanah tersebut.

Bidang-bidang keretakan yang hampir selalu dilalui air hujan tersebut lambat laun mengalami erosi oleh air hujan; partikel tanah yang lebih halus seperti lanau dan lempung dengan mudah terbawa oleh rembesan air hujan tersebut, sehingga pada retak •]retak tersebut hanya tertinggal butiran tanah pasir saja, juga kadang-kadang dapat tersisa fraksi kerikil. Jadi pada semua bidang keretakan yang telah terjadi, akan tertinggal lapisan pasir

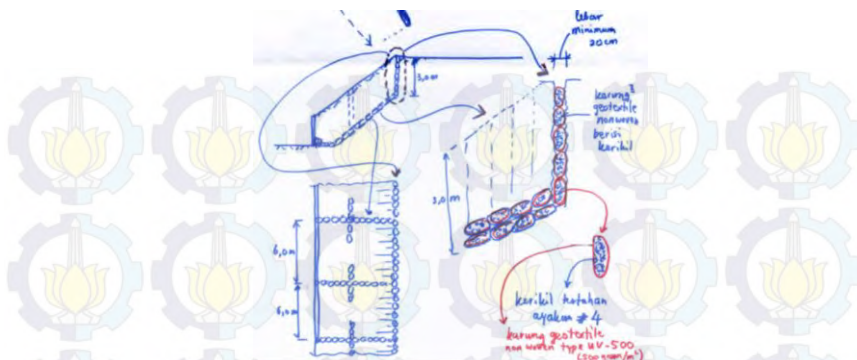
saja. Yang menentukan stabilitas lereng terhadap kelongsoran adalah adanya bidang-bidang keretakan yang sudah terisi pasir tersebut. Pada saat hujan deras, bidang-bidang keretakan terisi penuh dengan air, sehingga stabilitas lereng harus dianggap seolah-olah berkelakuan seperti tanah pasir (behaving like sand) yang dalam kondisi jenuh air.

Keretakan di dalam tanah pada tebing secara lambat laun juga merambat menjadi lebih dalam, sehingga suatu lereng alam yang sudah bertahun-tahun stabil pada suatu saat dapat mengalami kelongsoran, karena bidang keretakan sudah sangat *advanced*. Kondisi yang paling kritis adalah bila keretakan pada tebing sudah merambat sampai dapat membentuk bidang gelincir yang menerus, mulai dari puncak tebing sampai ke kaki tebing. Tentunya kondisi terkritis ini juga pada saat bidang keretakan tersebut terisi penuh dengan air, yaitu pada saat terjadinya hujan deras.

Kondisi seperti yang diterangkan di atas adalah juga penyebab mengapa kelongsoran tebing hampir semuanya terjadi pada saat hujan lebat, baik di awal, di akhir, atau kapan saja pada musim hujan, yang penting adalah hujan lebat (Mochtar, 2012).

2.11 Subdrain

Geotekstil akan ditambahkan dengan pemasangan subdrain. Subdrain berguna sebagai drainase yang berfungsi menjaga agar kadar air tanah seminum mungkin sehingga meningkatkan nilai SF dan memperpanjang usia perkuatan lereng. Subdrain menggunakan kerikil ayakan #4 dan Geotekstile non wovan.



Gambar 2.10 Contoh penggunaan subdrain

2.12 Kondisi Sebelum Perkuatan



Gambar 2.11 Kondisi lokasi Proyek

Kelongsoran yang terjadi di lokasi tampak belum begitu parah, tetapi tindakan perbaikan harus segera dilaksanakan mengingat pentingnya jalur ini. Seperti yang dapat dilihat pada Gambar 2.9 dan 2.10 lokasi dimana kelongsoran terjadi hanya ditumbuhi rumput-rumputan sedangkan disekitarnya tumbuh tumbuhan yang lebih besar.

Halaman ini sengaja dikosongkan

BAB III

METODOLOGI

3.1 Uraian Umum

Dalam perencanaan diperlukan tahapan – tahapan atau metodologi yang jelas untuk mendapatkan hasil yang ingin dicapai sesuai dengan tujuan yang ditetapkan. Sifat dan karakteristik yang ada dapat diketahui dari data – data yang didapat kemudian diolah, setelah itu dilakukan analisa untuk pemecahan masalah dari data-data tersebut.

3.2 Lokasi Pelaksanaan Tugas Akhir

Objek perencanaan untuk penulisan tugas akhir ini adalah sebuah lereng bukit yang berada di jalur penghubung Tenggarong-Samarinda, Kalimantan Timur.

3.3 Tahap Persiapan

Tahap persiapan merupakan kegiatan sebelum memulai pengumpulan data dan pengolahannya, meliputi :

1. Studi pustaka terhadap permasalahan yang ada.
2. Menentukan kebutuhan data.
3. Mendata instansi yang dapat dijadikan sebagai sumber untuk mendapatkan gambaran kondisi lapangan dan kerperluan data yang dibutuhkan lainnya.
4. Survey langsung ke lokasi untuk mengetahui kondisi lapangan.

3.4 Studi Literatur

Studi literatur dilakukan dengan memahami dan mengambil intisari dari referensi – referensi berupa jurnal, buku, maupun literatur lain yang berkaitan dengan perencanaan tugas akhir ini, yaitu :

1. Referensi konsep stabilitas lereng
2. Referensi *Beheaving like Sand*.

3. Referensi konsep perhitungan dan perencanaan penggunaan geotekstile untuk perkuatan lereng.
4. Referensi konsep perhitungan dan perencanaan penggunaan Ground Anchor untuk perkuatan lereng.

3.5 Pengumpulan Data

Data yang digunakan untuk perencanaan ini adalah data sekunder, dengan rincian sebagai berikut :

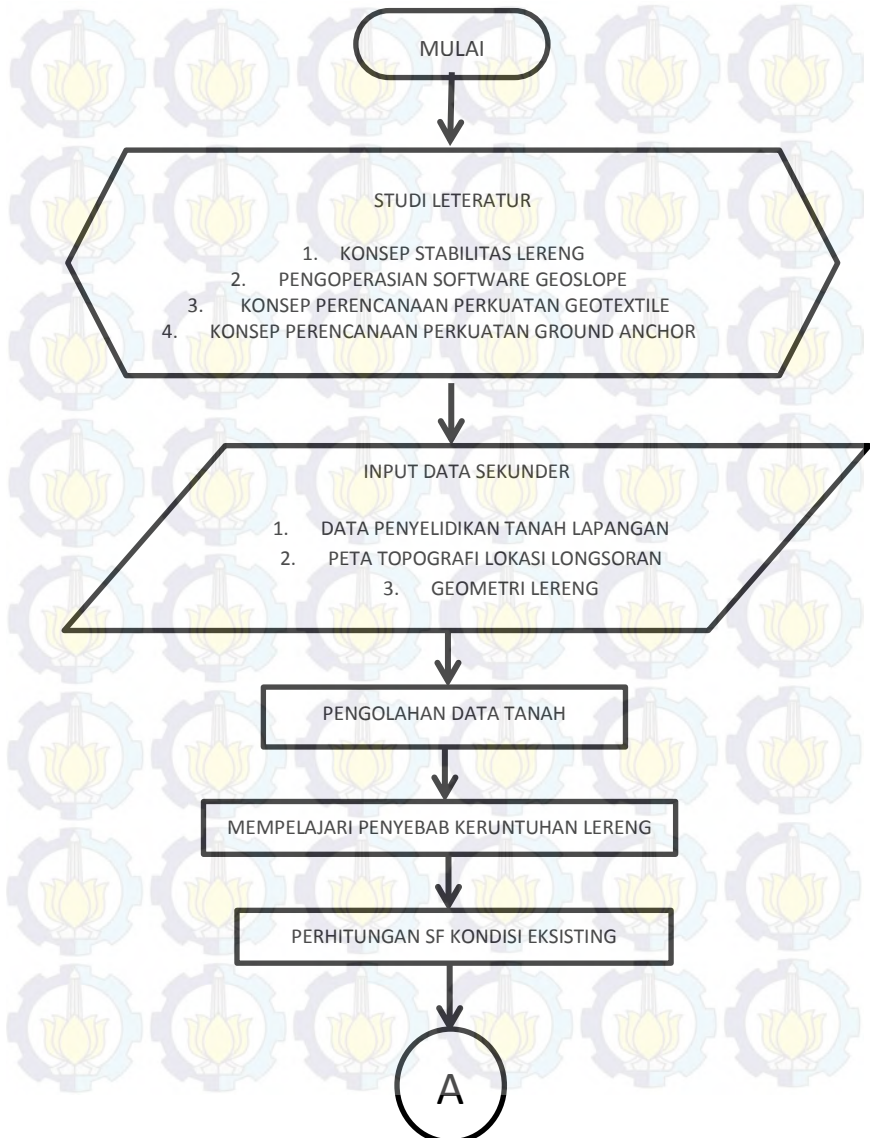
1. Peta topografi daerah ruas jalan Tenggarong-Samarinda
2. Foto-foto kelongsoran
3. Data penyelidikan tanah lokasi proyek di Jalur Tenggarong-Samarinda

3.6 Analisa Data dan Perhitungan

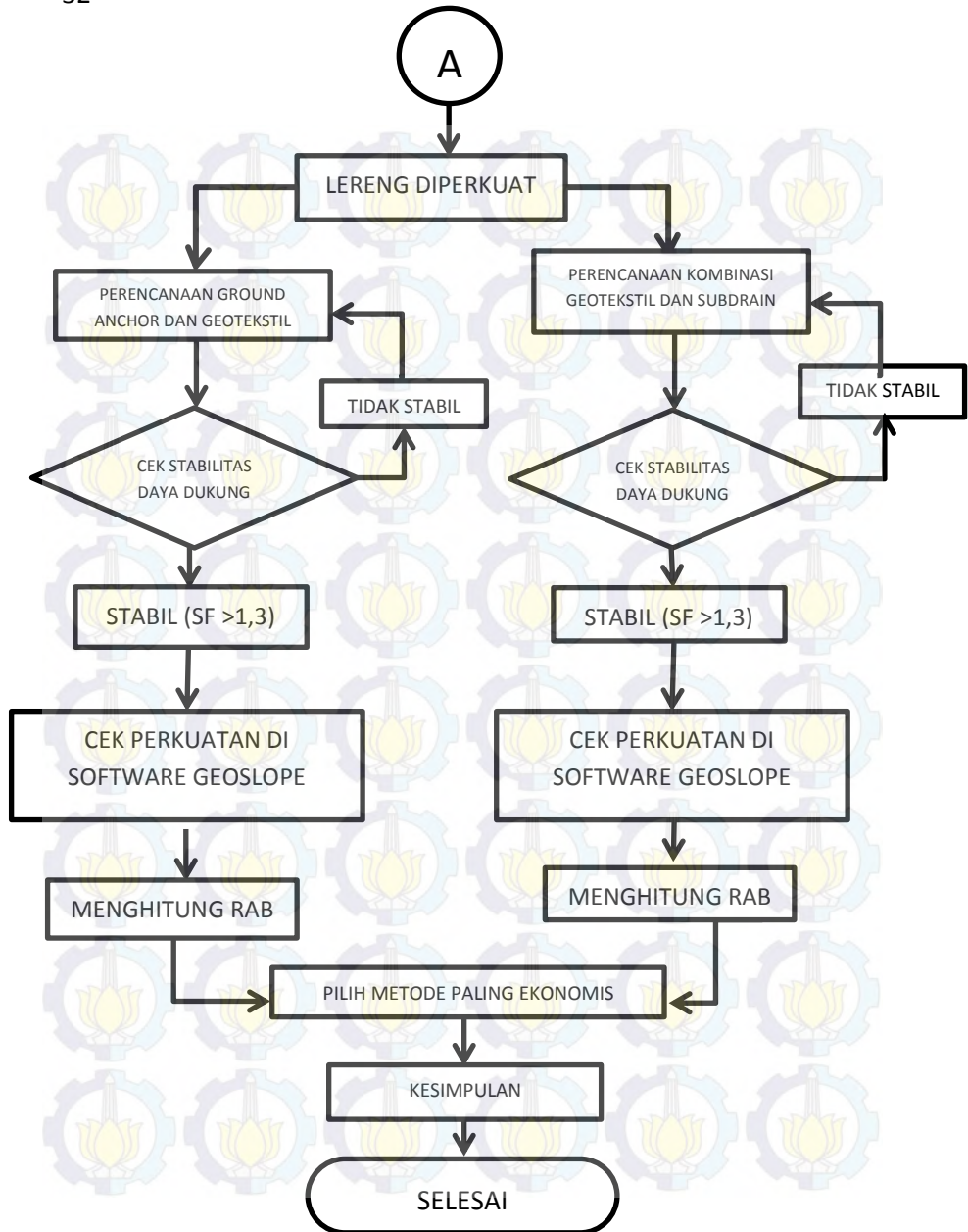
Setelah mendapat data yang di perlukan untuk perencanaan perbaikan lereng ini maka akan dilaksanakan tahapan :

1. Pengelompokan data tanah
2. Perhitungan stabilitas lereng menggunakan software bantu
3. Perencanaan perkuatan lereng longsor dengan alternatif – alternatif yang telah ditentukan yaitu Geotekstile dan subdrain, atau ground anchor - Geotekstile.

3.7 Alur Pembuatan Tugas Akhir



Gambar 3.1 Bagan Alur Pembuatan Tugas Akhir



Gambar 3.1 Bagan Alur Pembuatan Tugas Akhir

BAB IV

DATA DAN ANALISA DATA

4.1 Data Tanah

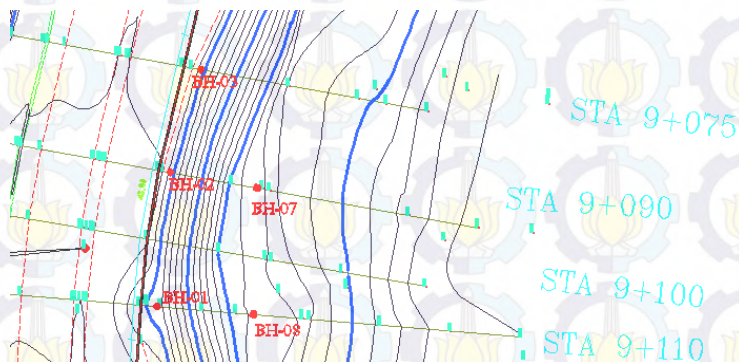
Data tanah yang digunakan pada tugas akhir ini adalah data hasil penyelidikan tanah pada proyek pembangunan *retaining wall* pada proyek Longsoran Jalur 2 Km 9+100. Karena keterbatasan data yang diperoleh dari proyek ini, penulis mengkombinasikan data tanah dari proyek kelongsoran KM 11+050 dan 12+300 dengan memperhatikan kesamaan karakteristik tanah. Data berat volume (γ) yang didapatkan dari proyek KM 11+050 dan 12+300 dapat dilihat pada Tabel 4.1.

Tabel 4.1 Acuan penentuan asumsi berat volume (γ) tanah.

Bore Hole	Depth (m)	N-SPT	Deskripsi tanah	γ (g/cm ³)
BH. 01	5	4 - 20	Warna abu-abu kehitaman	1,817
BH. 02	3	0 - 6	Tanah agak lunak, lempung kepasiran, agak kenyal, warna kuning	1,896
BH. 02	5	6 - 20	Tanah liat berbutir, lempung kepasiran, organik, kenyal/plastis dan lepas, warna abu-abu	1,876

Pada proyek Longsoran Jalur 2 Km 9+100 pengambilan sampel tanah dilakukan dengan bor dalam sebanyak 5 titik (*bore-hole*) dengan kedalaman masing-masing titik berkisar antara 30 meter hingga 12 meter. Tidak ada data pasti mengenai koordinat pengambilan tanah, sehingga lokasi tepat pengambilan data tanah untuk analisa dalam tugas akhir ini dilakukan dengan asumsi atau perkiraan. Gambar letak titik bor dapat dilihat pada

Gambar 3.1, sedangkan gambar topografi detail keseluruhan lokasi dapat dilihat pada *Lampiran 2*. Data bore ini kemudian dilengkapi lagi dengan data laboratorium hasil pengujian tanah dari proyek lain yang terletak tidak terlalu jauh dari lokasi proyek. Rekapitulasi dari data-data tersebut dapat dilihat *Lampiran 3*.



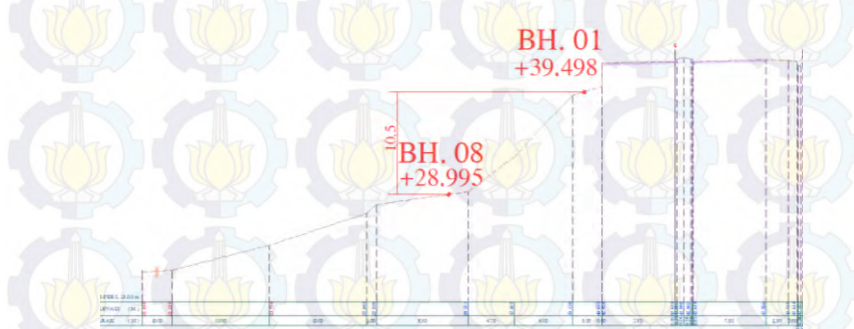
Gambar 4.1 Letak Bore hole.

4.2 Data Tanah yang Digunakan Untuk Analisa Stabilitas

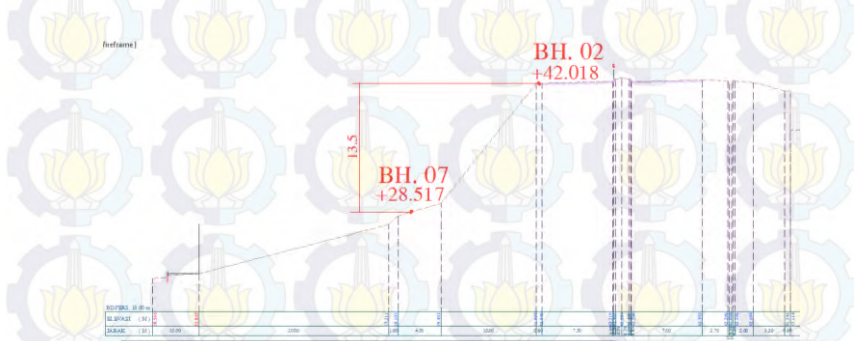
Pada tugas akhir ini, akan dilakukan analisa stabilitas untuk perkuatan pada sisi lereng yang longsor dan area-area disekitarnya. Terdapat juga sejumlah data-data tanah dari lokasi proyek lain yang digunakan untuk melengkapi parameter data tanah proyek asli yang tidak lengkap seperti berat volume (γ) dan sudut geser tanah. Semua data tanah tersebut akan digunakan dalam perhitungan analisa stabilitas lereng dengan menggunakan software Geoslope. Penjelasan mengenai lokasi kelima titik bor dalam yang dibandingkan dengan gambar geometri lereng dapat dilihat pada *Lampiran 2*.

Pada Gambar *Lampiran 2* telah diketahui bahwa BH. 01 dimulai pada elevasi +39.498, BH. 02 dimulai pada elevasi +42.018, BH. 03 dimulai pada elevasi +41.812, BH. 07 dimulai pada elevasi +28.517, dan BH. 08 dimulai pada elevasi +28.995. perbedaan elevasi tersebut semakin memperjelas lokasi

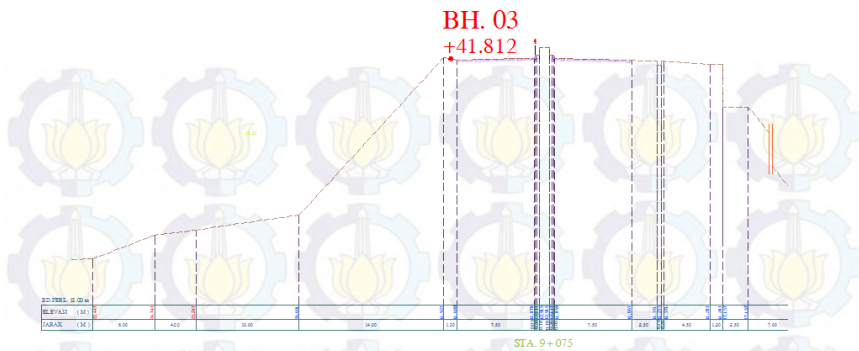
pengambilan sampel tanah. Ilustrasi yang memperlihatkan titik-titik *bore-hole* pada setiap potongan lereng dapat dilihat pada Gambar 4.2, Gambar 4.3, dan Gambar 4.4.



Gambar 4.2 Letak titik bore-hole BH.01 dan BH.08 pada STA 9+110.

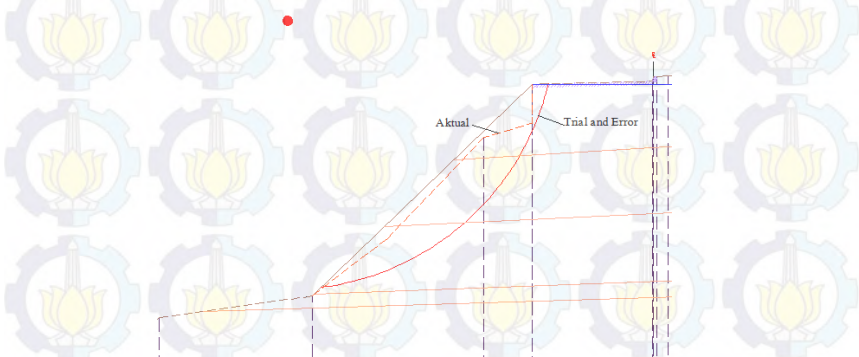


Gambar 4.3 Letak titik bore-hole BH.02 dan BH.07 pada STA 9+090.

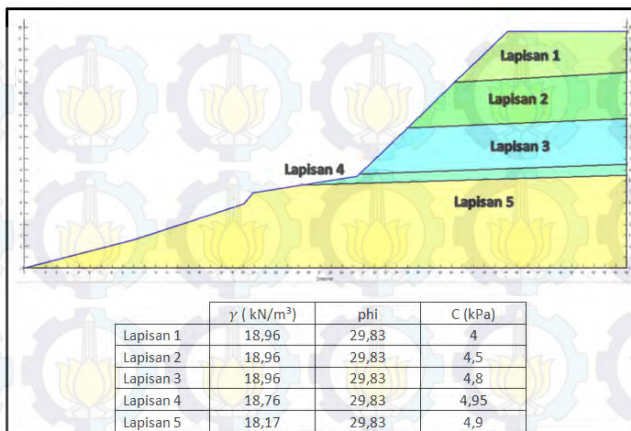


Gambar 4.4 Letak titik bore-hole BH.03 pada STA 9+075.

Beberapa parameter tanah yaitu φ , γ , dan C yang didapat penulis tidak lengkap, sehingga dalam analisa tugas akhir ini digunakan beberapa asumsi yang disesuaikan dengan kondisi di lapangan. Asumsi-asumsi tersebut dilakukan dengan metode *trial and error* dengan *software* Geoslope dilakukan hingga memperoleh bidang longsor yang mendekati kondisi nyata dilapangan. Hasil *trial and error* dapat dilihat pada Gambar 4.5. Alasan penggunaan data asumsi dengan metode *trial and error* adalah bidang longsor yang dihasilkan software mendekati kelongsoran aktual.



Gambar 4.5 Perbandingan bidang kelongsoran kondisi aktual dan hasil *trial and error* geoslope pada STA 9+110.



Gambar 4.6 Kesimpulan *Trial and Error* pada potongan STA 9+110.

Hasil *Trial and Error* ini akan digunakan juga pada analisis geoslope untuk potongan-potongan yang lainnya.

4.3 Data Spesifikasi Bahan Perkuatan Pada Lereng

4.3.1 Data Spesifikasi Bahan *Geotextile Woven*

Geotextile yang digunakan sebagai perkuatan lereng adalah geotextile woven yang disuplai oleh *Bestenindo* dengan kekuatan tarik ultimate 100kN/m berkode SG 100PU. Spesifikasi dapat dilihat pada Lampiran 4.

4.3.2 Data Spesifikasi Bahan *Ground Anchor*

Jenis *Ground Anchor* yang digunakan adalah Tieback Anchor dengan penahan berupa grouting beton yang berisi tendon dan head anchor berupa balok penahan beton.

4.4 Data Spesifikasi Bahan Geomembrane untuk Pelapis Permukaan

Geomembrane yang digunakan sebagai pelapisan permukaan lereng adalah *High Density Polypropylene (HDPE) Geomembrane*.

4.5 Data Spesifikasi Bahan *Sub-Drains*

4.5.1 Data Spesifikasi Bahan *Geotextile Non-Woven*

Bahan geosintesis yang digunakan untuk pekerjaan subdrain adalah karung *Geotextile non-woven* tipe SWN 75.

4.5.2 Data Spesifikasi Bahan Kerikil

Kerikil yang digunakan adalah kerikil dengan ukuran kerikil yang lolos ayakan #4 yaitu berukuran lebih kecil dari 4,75 mm

BAB V

ANALISA GEOSLOPE DAN PENYEBAB KELONGSORAN

5.1 Perhitungan Stabilitas Lereng

Analisa stabilitas lereng longsor dimulai dengan pemeriksaan angka keamanan lereng, yaitu dengan melakukan perhitungan tegangan geser yang terjadi pada potongan-potongan geometri lereng yang telah dipilih. Analisis stabilitas lereng dilakukan dengan bantuan software Geoslope 2007. Tujuan dari penggunaan software ini adalah memastikan nilai angka keamanan yang tepat dan sesuai dengan keadaan lapangan. Adapun proses dari analisis stabilitas dan perencanaan alternatif perbaikan perkuatan lereng longsor pada studi kasus longsoran ini adalah sebagai berikut :

- a. Perhitungan stabilitas keamanan lereng asli dengan menggunakan software Geoslope 2007 bertujuan mengetahui keadaan stabilitas eksisting pada saat setelah terjadi nya longsoran.
- b. Perencanaan alternatif perkuatan lereng dengan menggunakan hasil analisis stabilitas keamanan.

Analisis stabilitas lereng bertujuan untuk mengetahui tingkat keamanan dan bentuk bidang longsoran yang terjadi pada lereng. Adapun langkah - langkah yang dilakukan untuk menganalisis angka keamanan pada studi kasus ini adalah sebagai berikut:

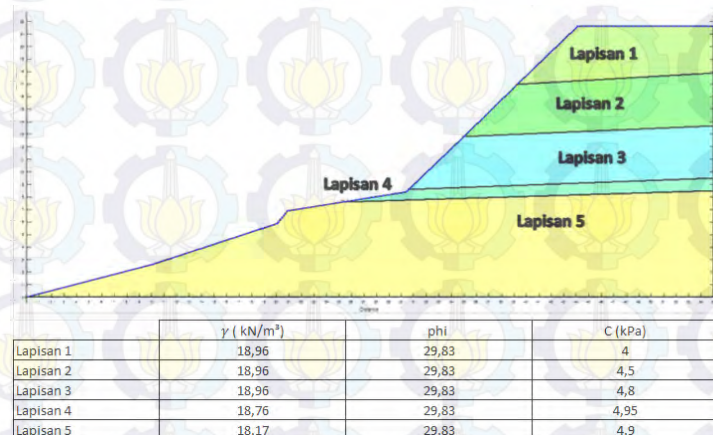
- a. Melakukan analisis angka keamanan asli dengan program bantu Geoslope, dengan memasukan parameter-parameter data tanah seperti yang terdapat pada Bab IV.
- b. Membandingkan hasil dari analisis angka keamanan dan bentuk bidang longsoran yang keamanan dan bentuk dari bidang longsoran yang dapat mewakili keadaan existing terjadinya longsoran.

- c. Mencari angka keamanan yang dihasilkan oleh berbagai kombinasi elevasi muka air tanah sebagai opsi penempatan subdrain. Elevasi muka air tanah yang dicoba adalah 2 m, 4 m, 6 m, 8 m, 10 m, 12 m dari muka tanah STA 9+110.

5.2 Input Data Geoslope

5.2.1 Potongan STA 9+110

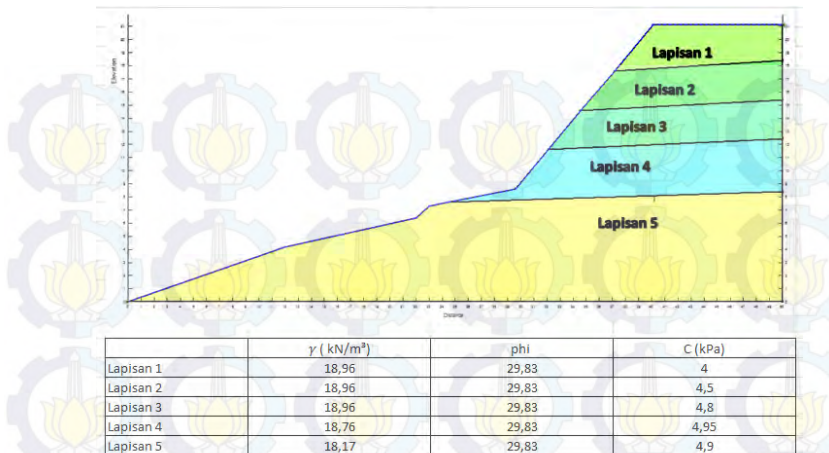
Potongan lereng pada STA 9+110 merupakan tempat terjadinya kelongsoran, oleh karena itu perhitungan *trial and error* untuk memperoleh parameter tanah dilakukan pada potongan ini. Pada potongan ini terdapat Bore hole BH. 01 dan BH. 08.



Gambar 5.1 Data input pada Model Geoslope STA 9+110

5.2.2 Potongan STA 9+100

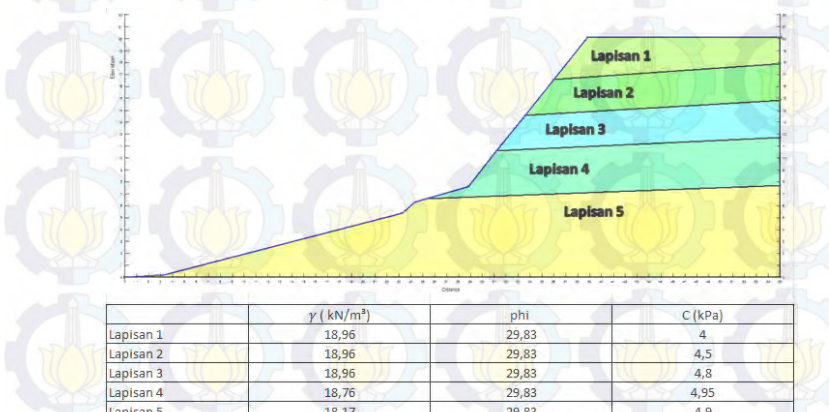
Potongan lereng pada STA 9+100 digunakan perameter tanah yang sama dengan STA 9+090 dikarenakan lebih kritis, selain itu tidak ada bore hole di potongan ini.



Gambar 5.2 Data input pada Model Geoslope STA 9+100

5.2.3 Potongan STA 9+090

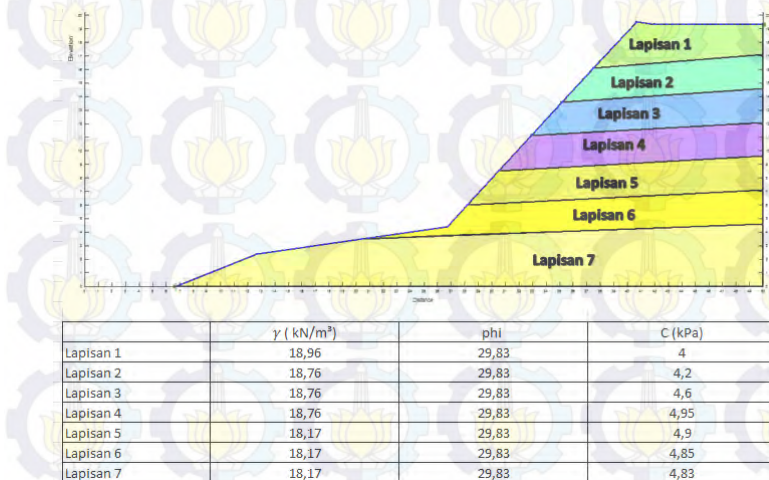
Potongan lereng pada STA 9+090 digunakan perameter tanah yang hampir sama dengan STA 9+110 dikarenakan kesamaan karakteristik tanah pada diantara keduanya. Pada potongan ini terdapat Bore hole BH. 02 dan BH. 07.



Gambar 5.3 Data input pada Model Geoslope STA 9+090

5.2.4 Potongan STA 9+075

Potongan lereng pada STA 9+075 memiliki karakteristik tanah yang berbeda dari STA yang lain. STA 9+075 didominasi oleh tanah lanau. Karena itu penentuan nilai C dilakukan secara asumsi dengan berpatokan dengan perimeter C dari STA lain.



Gambar 5.4 Data input pada Model Geoslope STA 9+075

5.3 Hasil Analisis Geoslope dan Keperluan ΔMr

Geoslope memiliki empat metode perhitungan kestabilan lereng yaitu ordinary, bishop, janbu, dan Morgenster-Price. Dalam kasus kali ini penulis tidak akan menggunakan metode janbu dikarenakan tidak menghasilkan Momen dorong (Md) dan Momen resisten (Mr). Setelah mengumpulkan seluruh hasil perhitungan berdasarkan elevasi muka air tanah dan metode perhitungan, penulis melakukan perhitungan ΔMr dengan persamaan 2.17. Hasil perhitungan dapat dilihat pada Lampiran 4.

Contoh perhitungan ΔMr

STA 9+110 (elevasi muka air tanah setara permukaan tanah)

Mr (Resisting Moment) = 4292,9 kN-m

Md (Activiting Moment) = 8564 kN-m

SF = 1,3

$$\begin{aligned}\Delta M_R &= SF_{\text{rencana}} M_D - M_R \quad (2.17) \\ &= 1,3 \cdot 8564 - 4292,9 \\ &= \mathbf{6840,3 \text{ kN-m}}\end{aligned}$$

Tabel 5.1 Tabel Rekapitulasi dengan MAT: 0 m dari permukaan tanah

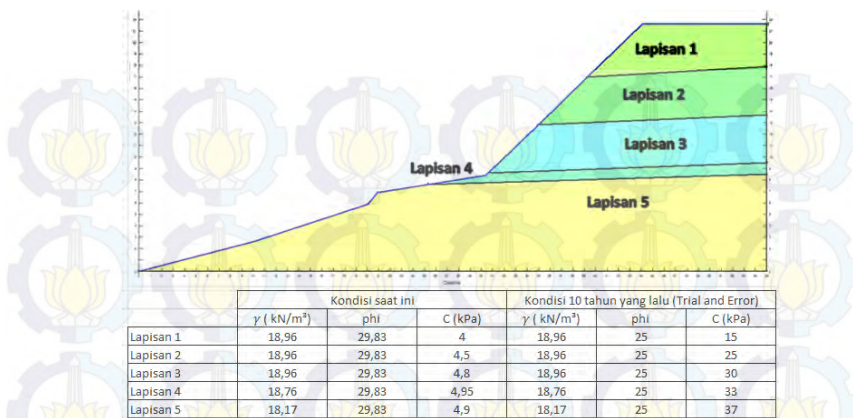
METODE	STA			
	(9+110)	(9+100)	(9+090)	(9+075)
Ordinary				
FS	0,5013	0,4495	0,4349	0,4598
Volume (m^3)	43,0814	38,397	36,012	45,426
Weight (kN)	830,71	725,58	682,12	848,24
Resisting Moment (kN-m)	4292,9	3247,9	3203,2	4670,6
Activiting Moment (kN-m)	8564	7224,7	7365	10157
ΔMr (kN-m)	6840,3	6144,21	6371,3	8533,5
Bishop				
FS	0,614	0,5702	0,5392	0,5539
Volume (m^3)	43,814	38,397	36,012	45,426
Weight (kN)	830,71	725,58	682,12	848,24
Resisting Moment (kN-m)	5257,9	4119,5	3971	5626,2
Activiting Moment (kN-m)	8564	7224,7	7365	10157
ΔMr (kN-m)	5875,3	5272,61	5603,5	7577,9
Morgenster-Price				
FS	0,6279	0,5868	0,5539	0,5712
Volume (m^3)	43,814	38,397	36,012	45,426
Weight (kN)	830,71	725,58	682,12	848,24
Resisting Moment (kN-m)	5377,1	4239,4	4079,2	5802,2
Activiting Moment (kN-m)	8564	7224,7	7365	10157
Resisting Force (kN)	262,88	231,5	206,1	249,26
Activiting Force (kN)	420,71	396,43	373,66	439,92
ΔMr (kN-m)	5756,1	5152,71	5495,3	7401,9

Dari hasil perhitungan diatas dapat ditarik kesimpulan bahwa tidak ada satupun perhitungan angka keamanan yang mencapai nilai aman yaitu $FS > 1$. Hal ini merupakan suatu hal yang perlu dicermati dan didalami mengingat sebelum longsor, lereng ini telah bertahan selama 10 tahun sejak jalur Tenggarong-Samarinda ini dibuka. Bila diperhatikan lebih cermat, potongan lereng STA 9+110 dimana kelongsoran terjadi ternyata memiliki nilai FS yang lebih tinggi dibandingkan potongan lereng yang lain.

5.4 Analisis Penyebab Kelongsoran

Telah dijelaskan pada subbab 5.3 bahwa hasil analisis geoslope memperlihatkan bahwa tidak ada satupun lereng yang aman. Hasil analisis pada lereng yang telah mengalami kelongsoran yaitu pada STA 9+110 menunjukkan bahwa lereng ini memiliki nilai angka keamanan terbaik diantara potongan lereng yang lain.

Lereng ini tidak memiliki perkuatan dan mampu bertahan selama 10 tahun sejak jalan ini dibuat. Penulis berasumsi ketika perencanaan lereng ini memiliki angka keamanan yang mencukupi, tetapi dengan semakin bertambahnya umur lereng dan tambahan beban jalan pada lereng alam ini telah menyebabkan karakteristik tanahnya berubah. Selain itu faktor ketinggian muka air tanah juga mempengaruhi stabilitas lereng. Karena penulis tidak berhasil mendapatkan data tanah dari sepuluh tahun yang lalu, penulis memutuskan untuk melakukan trial and error pada parameter tanah lereng yang longsor (STA 9+110) untuk memperoleh nilai angka keamanan asumsi yaitu satu ($FS>1$).



Gambar 5.5 Perbandingan data tanah saat ini dan 10 tahun lalu.

Tabel 5.2 Tabel hasil hitung dengan dengan cara Trial and error

Metode	STA (9+110)
Ordinary	
FS	1,016
Volume (m ³)	91,599
Weight (kN)	1.736,6
Resisting Moment (kN-m)	16162
Activiting Moment (kN-m)	15913
Bishop	
FS	1,150
Volume (m ³)	91,599
Weight (kN)	1736,6
Resisting Moment (kN-m)	18302
Activiting Moment (kN-m)	15913
Morgenster-Price	
FS	1,140
Volume (m ³)	91,599
Weight (kN)	1736,6
Resisting Moment (kN-m)	18141
Activiting Moment (kN-m)	15913
Resisting Force (kN)	898.95
Activiting Force (kN)	789.19

Pada Gambar 5.5 dapat terlihat bahwa tanah pada lereng telah mengalami penurunan nilai kohesi dan sudut geser yang signifikan. Tanah yang pada awalnya dominan lempung selama 10 tahun telah berubah seakan-akan seperti pasir. Fenomena seperti ini dapat dijelaskan dalam teori *behaving like sand*. Jadi selama 10 tahun tanah pada lereng tersebut telah mengalami keretakan dan ditambah dengan curah hujan yang cukup tinggi di kalimantan yang hampir tidak mengenal musim kemarau atau penghujan, bidang-bidang keretakan yang hampir selalu dilalui air hujan tersebut lambat laun mengalami erosi oleh air hujan, partikel tanah yang lebih halus seperti lanau dan lempung dengan mudah terbawa oleh rembesan air hujan tersebut, sehingga pada retak-retak tersebut hanya tertinggal butiran tanah pasir saja dan terkadang dapat tersisa fraksi kerikil. Teori *behaving like sand* dapat dilihat pada sub-bab 2.10.



Gambar 5.6 Vegetasi disekitar Lereng



Gambar 5.7 Vegetasi disekitar kelongsoran pada STA 9+110

Seperti yang terlihat pada Gambar 5.6 dan 5.7 kelongsoran terjadi pada daerah yang gersang atau hanya ditumbuhi rumput-rumputan. Sedangkan pada sisi lereng STA lain ditumbuhi oleh tumbuhan-tumbuhan yang lebih besar dan berakar dalam. Tumbuh-tumbuhan inilah yang menyebabkan lereng lain lebih tahan terhadap kelongsoran meskipun menurut analisis software memiliki angka keamanan yang lebih kecil.

Halaman ini sengaja dikosongkan

BAB VI

PERHITUNGAN RENCANA PERKUATAN DAN BIAYA

6.1 Perhitungan Perencanaan dengan Geotekstile dan Subdrain

6.1.1 Pemilihan Data Perencanaan Geotekstile

Pada bab sebelumnya telah dijelaskan bahwa penulis telah melakukan analisa dengan *software* Geoslope dengan beberapa pilihan ketinggian muka air tanah. Dari beberapa pilihan ketinggian muka air tanah, penulis memutuskan menggunakan pilihan muka air tanah 4m atau 6m dibawah muka tanah STA 9+110. Keputusan ini didasarkan pada pertimbangan:

- Kemudahan dalam pengerjaan karena tidak perlu menggali terlalu dalam untuk pemasangan subdrain.
- Penggalian yang tidak dalam dapat menghindari terjadinya kelongsoran pada jalur jalan disebelahnya.
- Angka keamanan pada tinggi MAT 2 meter tidak digunakan karena tidak memiliki perbedaan nilai ΔMr yang signifikan dengan MAT 0m. Rincian perbedaan hasil geoslope untuk muka air 0m dan -2m dari STA 9+110 dapat dilihat pada Tabel 6.1.

Tabel 6.1 Tabel Analisa Geoslope dengan ΔMr dari STA 9+110 dengan tinggi MAT 0m dan 2m.

METODE	Tinggi muka air	
	0	-2
Ordinary		
FS	0,5013	0,5113
Volume (m^3)	43,0814	43,801
Weight (kN)	830,71	830,47
Resisting Moment (kN-m)	4292,9	4394,1
Activiting Moment (kN-m)	8564	8560,5
$\Delta Mr (kN - m)$	6840,3	6734,55

ΔMr yang harus dicapai dapat dilihat pada tabel-tabel di bawah ini:

Tabel 6.2 Tabel hasil Geoslope dan ΔMr ($SF = 1,3$) dengan MAT 4m.

METODE	STA			
	(9+110)	(9+100)	(9+090)	(9+075)
Ordinary				
FS	0,5549	0,5192	0,5134	0,468
Volume (m^3)	34,575	30,573	26,308	48,494
Weight (kN)	655,53	577,58	498,27	905,24
Resisting Moment (kN-m)	3648,2	2967,2	2527,1	5119
Activiting Moment (kN-m)	6574,1	5715,3	4921,8	10937
ΔMr (kN – m)	4898,13	4462,69	3871,24	9099,1

Tabel 6.3 Tabel hasil Geoslope dan ΔMr ($SF = 1,3$) dengan MAT 6m.

METODE	STA			
	(9+110)	(9+100)	(9+090)	(9+075)
Ordinary				
FS	0,6203	0,5877	0,5643	0,5113
Volume (m^3)	34,567	30,574	30,046	48,5
Weight (kN)	655,37	577,6	568,61	905,36
Resisting Moment (kN-m)	4075,3	3358,8	2614,3	5593,5
Activiting Moment (kN-m)	6569,8	5715,5	4633	10939
ΔMr (kN – m)	4465,44	4071,35	3408,6	8627,2

6.1.2 Perhitungan Pemasangan Geotektile

Pada bab 4 telah dijelaskan bahwa penulis Menggunakan geotekstile bertipe SG 100PU yang memiliki kuat tarik ultimate 100 kN/m dan jarak antar layer (Sv) direncanakan sebesar 0.3 m . Untuk mengetahui detail perhitungan dapat dilihat dari contoh perhitungan dibawah ini:

Data tanah lapisan 1 (STA 9+110)

$$\gamma = 18,96 \text{ (kN/m}^3\text{)}$$

$$\phi = 29,83$$

$$C = 4 \text{ kPa}$$

$$Sv = 0,3 \text{ m}$$

$$\Delta MR \text{ rencana} = 4898,13 \text{ kNm}$$

Perhitungan T allow

Penggunaan Geotextile	Faktor Pemasangan, FS _{id}	Faktor Rangkak, FS _{cr}	Faktor Kimia, FS _{cd}	Faktor Biologi, FS _{id}
Slope Stabilization	1,1 – 1,5	1,5 – 2,0	1,0 – 1,5	1,0 – 1,3

$$T_{allow} = T_{ultimate} \left[\frac{1}{FS_{id} \times FS_{cr} \times FS_{cd} \times FS_{bd}} \right] \quad (2.18)$$

$$T_{ultimate} = 100 \text{ kN/m (SG 100PU)}$$

Ditetapkan:

$$FS_{id} = 1,2$$

$$FS_{cd} = 1,1$$

$$FS_{cr} = 1,6$$

$$FS_{bd} = 1,1$$

$$T_{allow} = 100 \left\lfloor \frac{1}{1,2x1,6x1,1x1,1} \right\rfloor = 43,044 kN/m$$

Penjelasan Tabel Perhitungan pada Lampiran 5

No Layer	Hi	H	Ti	$\tan \theta$	C
	m	m	m		kN/m ²
	(a)	(b)	(c)	(d)	(e)
Lapisan 2	1	5,7	0,3	8,4	0,573
	2	5,4	0,6	8,1	0,573
					4,5

- (a) Hi = kedalaman layer ke permukaan tanah
- (b) H = Jarak layer ke subdrain
- (c) Ti = Jarak horizontal layer ke titik pusat kelongsoran
- (d) $\tan(29,83) = 0,573$
- (e) $C = 4,5 \text{ kN/m}^2$

σv	Ka	σh	$\tau 1$	$\tau 2$	Le	Le pakai
kN/m ²		kN/m ²	kN/m ²	kN/m ²	m	m
(f)	(g)	(h)	(i)	(j)	(k)	(l)
108,072	0,579	68,403	66,469	66,469	0,637	1
102,384	0,579	65,107	63,207	63,207	0,670	1

- (f) $\sigma v = (a) \times \gamma = 5.7 \times 18,96 = 108,72 \text{ kN/m}^2$
- (g) $Ka = \tan^2(45 - \phi/2) = \tan^2(45 - 29,83/2) = 0,579$
- (h) $\sigma h = (f) \times (g) + q \times (g)$, $q = 10 \text{ kN/m}^2$ (beban lalu lintas)
- (i) $\tau 1 = C1 + (f) \tan \phi 1 = 4,5 + 108,72 \times 0,579 = 66,469 \text{ kN/m}^2$ (tanah diatas geotekstile)
- (j) $\tau 2 = C2 + (f) \tan \phi 2 = 4,5 + 108,72 \times 0,579 = 66,469 \text{ kN/m}^2$ (tanah diatas geotekstile)

$$(k) Le = \frac{T_{all} \times SF}{(\tau_{atas} + \tau_{bawah}) \times E} \quad Sv = 0,3 \text{ m}$$

Le minimal = 1 meter

- (l) Panjang Le yang dipasang

Lo	Lr	L
m	m	m
(m)	(n)	(o)
1	3,3	6
1	3,2	6

- (m) $Lo \geq 1\text{m}$ maka dipakai $Lo = 1 \text{ m}$

(n) Lr panjang geotekstile didepan bidang kelongsoran
Didapat dengan bantuan *software* geoslope.

- (o) $L = (l) + (m) + (n)$, panjang total geotekstile pada layer tersebut

Jumlah	ΔMR	ΔMR	L total
Lembar		komulatif	m
p	(q)	(r)	(s)
2	723,14	723,14	12
1	348,66	1071,80	6
1	335,74	1407,54	5
1	322,83	1730,37	5
1	309,92	2040,29	5
1	297,00	2337,29	5
1	284,09	2621,38	5
1	271,18	2892,56	5
1	258,26	3150,83	4
1	245,35	3396,18	4
1	232,44	3628,62	5
1	219,52	3848,14	5

1	206,61	4054,75	5
1	193,70	4248,45	4
1	180,79	4429,24	4
1	167,87	4597,11	5
1	154,96	4752,07	5
1	142,05	4894,11	6
Panjang Total			95

- (p) Jumlah lembar geotektile pada layer tersebut
- (q) $\Delta MR = (p) \times Tallow \times (c)$
- (r) Komulatif jumlah seluruh ΔMR pada lapisan tersebut dan lapisan diatasnya.
- (s) $L_{total} = (p) \times (m)$

$$\Delta MR \text{ rencana} = 4465,44 \text{ kNm} < \Delta MR \text{ kumulatif} = 4894,11 \text{ kNm}$$

Perencanaan memenuhi

Pada perhitungan diatas diketahui bahwa ΔMR komulatif sampai dengan layer kedelapanbelas memiliki nilai 4894,11 kNm yang menandakan desain bisa digunakan.

Selain geotektile perkuatan, lereng juga diperkuat oleh geotekstile praktis yang dipasang sepanjang 1,5 meter dan $Sv = 1$ meter. Geotekstile praktis berguna menghindari gerusan air di bagian lereng yang tidak dilindungi geotekstile perkuatan.

Tabel dari seluruh hasil perhitungan dapat dilihat pada Lampiran 5.

6.1.3 Pengaruh Tinggi Muka Air terhadap Jumlah Kebutuhan Perkuatan

Berdasarkan hasil perhitungan kebutuhan geotekstile pada pilihan MAT 4 m dan 6 m didapatkan kebutuhan jumlah lembar geotekstile setiap 1m panjang lereng tertera pada tabel-tabel berikut:

Tabel 6.4 Tabel kebutuhan jumlah lembar geotekstile setiap 1m panjang lereng pada MAT -4m.

No Layer	STA			
	9+110	9+100	9+090	9+075
1	3	3	2	4
2	2	3	2	4
3	2	3	2	4
4	2	2	2	4
5	2	2	2	4
6	2	2	2	4
7	2	2	2	4
8	2	2	2	4
9	2	2	2	4
10	2	2	2	3
11	2	2	1	-
Total	23	25	21	39

Tabel 6.5 Tabel kebutuhan jumlah lembar geotekstile setiap 1m panjang lereng pada MAT -6m.

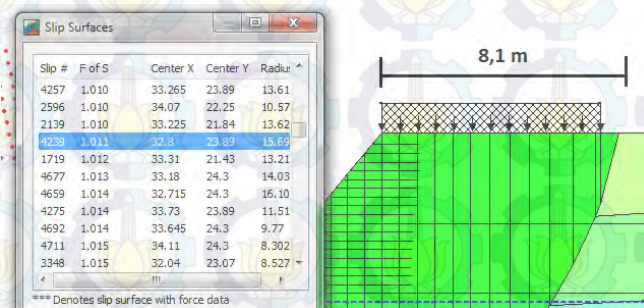
No Layer	STA			
	9+110	9+100	9+090	9+075
1	2	2	2	2
2	1	1	2	2
3	1	1	2	2
4	1	1	2	2
5	1	1	2	2
6	1	1	2	2
7	1	1	2	2
8	1	1	2	2
9	1	1	1	2
10	1	1	1	2
11	1	1	1	2
12	1	1	1	2
13	1	1	1	2
14	1	1	1	2
15	1	1	1	1
16	1	1	1	1
17	1	1	1	-
18	1	1	-	-
Total	19	19	25	30

Pada Tabel 6.4 terlihat bahwa jika kita menggunakan MAT 4m dibawah muka tanah jumlah lembar geotekstile yang dipakai tiap layernya adalah 4 lembar pada STA.9+075. Penggunaan 3 lembar Geotekstile atau lebih pada satu layer lebih baik dihindari karena dalam melakukan perhitungan penulis hanya menggunakan rumus daya lekat antara geotekstil dan tanah. Selain itu dapat dilihat bahwa pilihan MAT -6m membutuhkan total lembaran yang lebih sedikit dibandingkan pilihan MAT -4m. Berdasarkan kesimpulan ini penulis memutuskan pilihan desain geotekstile untuk MAT -4m dibawah muka tanah tidak akan dipakai dalam perencanaan ini, pilihan desain geotekstile untuk MAT -6m dibawah muka tanah yang akan dipakai.

6.1.4 Letak Pemasangan Subdrain

Subdrain berfungsi sebagai penjaga MAT agar sesuai dengan perencanaan. Kenaikan MAT dapat terjadi pada musim hujan. Maka dari itu direncanakan letak pemasangan subdrain agar MAT tidak terjadi kenaikan.

Dasar subdrain diletakan 6 meter dibawah muka tanah STA 9+110 atau elevasi +36.454 pada seluruh area perencanaan. Subdrain juga sampai 8,1 meter dari bibir lereng untuk mengamankan wilayah SF=1 seperti yang terlihat pada Gambar 6.1.



Gambar 6.1 Acuan jarak pemasangan subdrain.

6.1.5 Gambar pemasangan Geotekstil dan Subdrain

Pemasangan setiap desain geotekstil dibagi dalam 9 area. Gambar pembagian area dan tampak atas pemasangan subdrain dpt dilihat pada Gambar 6.2.



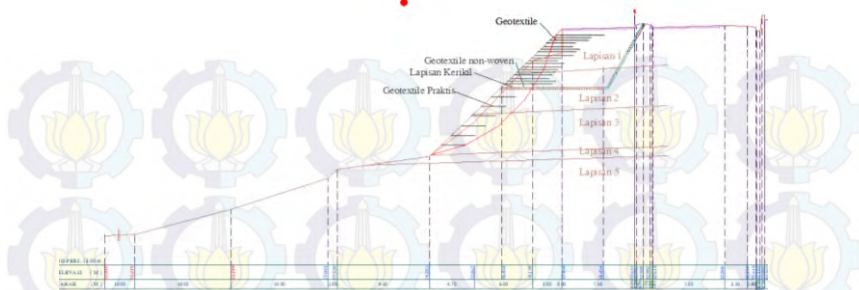
Gambar 6.2 Pembagian area dan tampak atas pemasangan subdrain.

Pembagian area bertujuan membedakan desain pemasangan yang akan diterapkan pada tiap-tiap area. Disain yang digunakan pada tiap area akan dijelaskan pada Tabel 6.6.

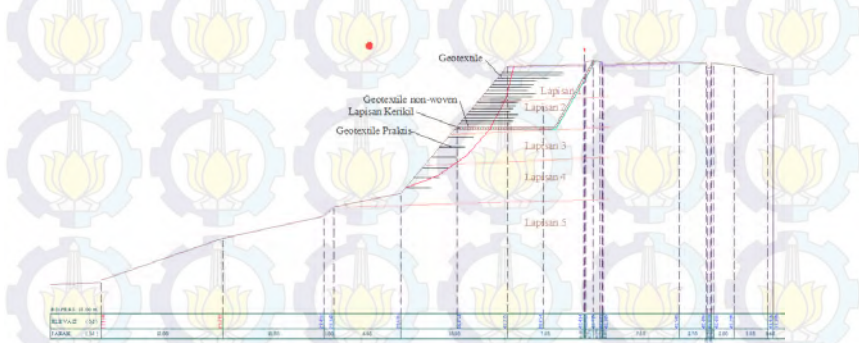
Tabel 6.6 Tabel kebutuhan

Desain	Area
STA. 9+110	1 & 2
STA. 9+100	3 & 4
STA. 9+090	5 & 6
STA. 9+075	7, 8, & 9

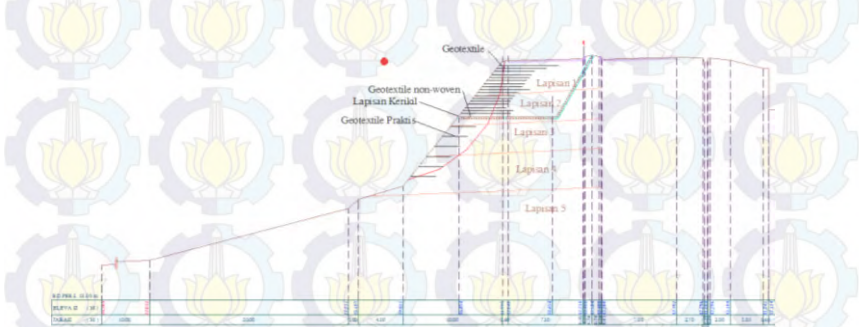
Subdrain dipasang melebar pada elevasi +36.454 dan dikeluarkan melalui saluran pembuangan yang telah direncanakan. Gambar 5.18 menjelaskan mengenai gambar pemasangan geotextile dan letak pemasangan subdrain.



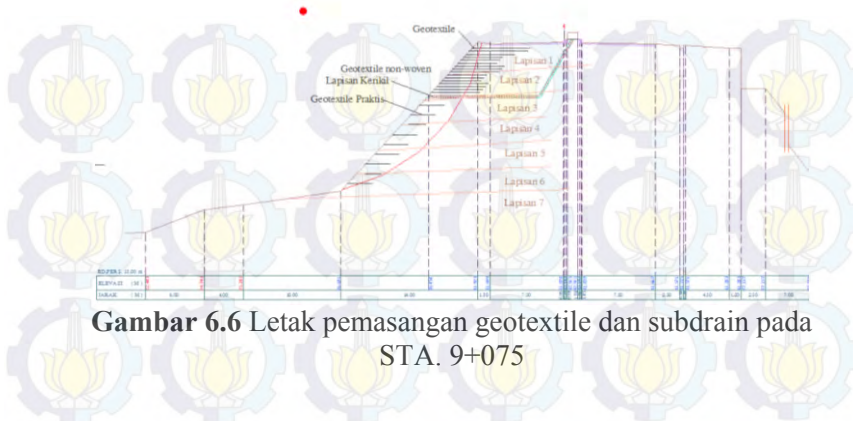
Gambar 6.3 Letak pemasangan geotextile dan subdrain pada STA. 9+110



Gambar 6.4 Letak pemasangan geotextile dan subdrain pada STA. 9+100



Gambar 6.5 Letak pemasangan geotextile dan subdrain pada STA. 9+090



Gambar 6.6 Letak pemasangan geotextile dan subdrain pada STA. 9+075

6.1.6 Perhitungan Biaya Geotekstile dan Subdrain

Geotekstile yang disediakan oleh suplier berbentuk rool dengan ukuran $5,25 \times 52$ meter seharga Rp. 24.500.000,- tidak termasuk PPN 10%. Perhitungan kebutuhan dan harga dapat dilihat pada perhitungan dibawah ini:

Geotektile perkuatan

Untuk memenuhi perkuatan pada semua bagian lereng, penulis melakukan perhitungan berdasarkan Tabel 6.5. Untuk mengetahui panjang total untuk setiap desain dapat dilihat di Lampiran 5 dan panjang L setiap area dihitung dengan *AutoCad*.

(Desain STA 9+110)

$$\text{Panjang} = 95 \text{ m}$$

$$L \text{ area } 1 \& 2 = 5,18 + 5,19 = 10.37 \text{ m}$$

$$\text{Luas} = 95 \times 10.37 = 958,15 \text{ m}^2$$

(Desain STA 9+100)

$$\text{Panjang} = 107 \text{ m}$$

$$L \text{ area } 3 \& 4 = 5,32 + 5,22 = 10.54 \text{ m}$$

$$\text{Luas} = 107 \times 10.54 = 1127,78 \text{ m}^2$$

(Desain STA 9+090)

$$\text{Panjang} = 133\text{m}$$

$$\text{L area } 5 \& 6 = 5,27 + 5,24 = 10,51\text{m}$$

$$\text{Luas} = 133 \times 10,51 = 1397,83 \text{ m}^2$$

(Desain STA 9+075)

$$\text{Panjang} = 170 \text{ m}$$

$$\text{L area } 7, 8, \& 9 = 5,01 + 5,02 + 5,54 = 15,57 \text{ m}$$

$$\text{Luas} = 170 \times 15,57 = 2646,9 \text{ m}^2$$

$$\text{Luas Total} = 958,15 + 1127,78 + 1397,83 + 2646,9 = 6130,66 \text{ m}^2$$

Geotektile Praktis

(Desain STA 9+110)

$$\text{Panjang} = 1,5 \text{ m} \times 6 = 9 \text{ m}$$

$$\text{L area } 1 \& 2 = 5,18 + 5,19 = 10,37\text{m}$$

$$\text{Luas} = 9 \times 10,37 = 93,33 \text{ m}^2$$

(Desain STA 9+100)

$$\text{Panjang} = 1,5 \text{ m} \times 6 = 9 \text{ m}$$

$$\text{L area } 3 \& 4 = 5,32 + 5,22 = 10,54\text{m}$$

$$\text{Luas} = 9 \times 10,54 = 94,86 \text{ m}^2$$

(Desain STA 9+090)

$$\text{Panjang} = 1,5 \text{ m} \times 6 = 9 \text{ m}$$

$$\text{L area } 5 \& 6 = 5,27 + 5,24 = 10,51\text{m}$$

$$\text{Luas} = 9 \times 10,51 = 94,51 \text{ m}^2$$

(Desain STA 9+075)

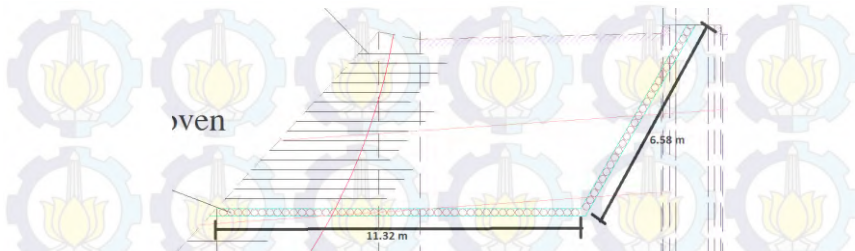
$$\text{Panjang} = 1,5 \text{ m} \times 9 = 13,5 \text{ m}$$

$$\text{L area } 7, 8, \& 9 = 5,01 + 5,02 + 5,54 = 15,57 \text{ m}$$

$$\text{Luas} = 13,5 \times 15,57 = 210,2 \text{ m}^2$$

$$\text{Luas Total} = 93,33 + 94,86 + 94,51 + 210,2 = 492,9 \text{ m}^2$$

Geotektile Subdrain (Woven & Non-Woven)



Gambar 6.7 Ukuran pemasangan Subdrain

$$\text{Lebar Total} = 11.32 \text{ m} + 6.58 \text{ m} = 17.90 \text{ m}$$

$$\begin{aligned}\text{Panjang (L) Perkuatan} &= 5,18 + 5,19 + 5,32 + 5,22 + 5,27 + 5,24 \\ &\quad + 5,01 + 5,02 + 5,54 = 46,99 \text{ m}\end{aligned}$$

$$\text{Luas Total} = 17,90 \text{ m} \times 46,99 \text{ m} \times 2 \text{ sisi} = 1682,24 \text{ m}^2$$

Kebutuhan dan Biaya Geotextile

$$\text{Kebutuhan} = \frac{6130,66 + 492,9 + 1682,24}{5,25 \times 52} = 30,4 \text{ roll} \approx 31 \text{ roll}$$

$$\text{Biaya} = 31 \times \text{Rp. } 24.500.000,- = \text{Rp. } 795.500.000,-$$

$$\begin{aligned}\text{Biaya} + \text{PPN} &= 795.500.000 + 10\% \times 795.500.000 \\ &= \underline{\text{Rp. } 835.450.000,-}\end{aligned}$$

Kebutuhan dan Biaya Kerikil

Berdasarkan Harga Dasar Satuan Bahan Kabupaten Kutai Kartanegara yang bisa dilihat pada Lampiran 1, harga Agregat Pecah Mesin 0-5 mm adalah Rp. 485.000,- per 1m³.

$$\text{Tebal Subdrain} = 0,2 \text{ m}$$

$$\text{Volume kebutuhan kerikil} = 0,2 \times 17,90 \times 47,25 = 169,155 \text{ m}^3$$

$$\text{Biaya} = 169,15 \times \text{Rp. } 485.000,- = \underline{\text{Rp. } 82.040.175,-}$$

Biaya Total

$$\text{Biaya} = 835.450.000 + 82.040.175 = \textbf{Rp. } 917.490.175,-$$

6.2 Perhitungan Perencanaan dengan Ground Anchor Geotekstile

6.2.1 Perencanaan Geotekstile

Pada bab sebelumnya telah dijelaskan bahwa penulis telah melakukan analisa dengan *software* Geoslope dengan beberapa pilihan ketinggian muka air tanah. Namun dalam perencanaan Ground Anchor – geotekstile ini, penulis memutuskan hanya menggunakan pilihan muka air tanah 0m dibawah muka tanah STA 9+110 karena tidak menggunakan Subdrain. Hasil perhitungan geoslope dan ΔMr dapat dilihat pada Tabel 6.6. Penulis juga memutuskan mengkombinasikan Ground Anchor dengan Geotekstile. Keputusan ini didasarkan pada pertimbangan:

- Mencegah gerusan oleh aliran air yang berasal dari jalanan yang berada di puncak lereng. Gerusan permukaan tanah oleh aliran air ini harus dipertimbangkan secara masak karena dapat mengurangi efektifitas perkuatan Ground Anchor.
- Karena kualitas tanah lereng yang dirasa kurang baik, penulis berharap penggunaan Geotekstile dapat mengurangi gaya dan jumlah anchor yang digunakan.

Tabel 6.7 Tabel hasil Geoslope dan ΔMr ($SF = 1,3$) dengan MAT 0m.

METODE	STA			
	(9+110)	(9+100)	(9+090)	(9+075)
Ordinary				
FS	0,5013	0,4495	0,4349	0,4609
Volume (m ³)	43,0814	38,397	36,012	45,426
Weight (kN)	830,71	725,58	682,12	848,24
Resisting Moment (kN-m)	4292,9	3247,9	3203,2	4716,5
Activiting Moment (kN-m)	8564	7224,7	7365	10232
ΔMr (kN-m)	6840,3	6144,21	6371,3	8585,1

6.2.2 Perhitungan Pemasangan Geotextil

Pada bab 4 telah dijelaskan bahwa penulis Menggunakan geotekstile bertipe SG 100PU yang memiliki kuat tarik ultimate 100 kN/m. Untuk mengetahui detail perhitungan dapat dilihat dari contoh perhitungan dibawah ini:

Data tanah lapisan 1 (STA 9+110)

$$\gamma = 18,96 \text{ (kN/m}^3\text{)}$$

$$\phi = 29,83$$

$$C = 4 \text{ kPa}$$

$$S_v = 0,3 \text{ m}$$

$$\Delta M R \text{ rencana} = 4898,13 \text{ kNm}$$

Perhitungan T allow

Penggunaan Geotextile	Faktor Pemasangan, FS_{id}	Faktor Rangkak, FS_{cr}	Faktor Kimia, FS_{cd}	Faktor Biologi, FS_{id}
Slope Stabilization	1,1 – 1,5	1,5 – 2,0	1,0 – 1,5	1,0 – 1,3

$$T_{allow} = T_{ultimate} \left[\frac{1}{FS_{id} x FS_{cr} x FS_{cd} x FS_{bd}} \right] \quad (2.18)$$

$$T_{ultimate} = 100 \text{ kN/m (SG 100PU)}$$

Ditetapkan:

$$FS_{id} = 1,2 \quad FS_{cd} = 1,1$$

$$FS_{cr} = 1,6 \quad FS_{bd} = 1,1$$

$$T_{allow} = 100 \left\lfloor \frac{1}{1,2x1,6x1,1x1,1} \right\rfloor = 43,044 kN/m$$

Penjelasan Tabel yang ada pada lampiran 6

	No layer	Hi m	H m	Ti m	$\tan \theta$	C kn/m ²
		(a)	(b)	(c)	(d)	(e)
	Lapisan tanah 1	1	3,8	0,2	6,8	0,573
	2	3,5	0,5	6,5	0,573	4

- (a) $Hi = \text{kedalaman layer ke permukaan tanah}$
- (b) $H = \text{Jarak layer ke subdrain}$
- (c) $Ti = \text{Jarak horizontal layer ke titik pusat kelongsoran}$
- (d) $\tan(29,83) = 0,573$
- (e) $C = 4 \text{ kN/m}^2$

σv kN/m ²	Ka (f)	σh kN/m ² (g)	$\tau 1$ kN/m ² (h)	$\tau 2$ kN/m ² (i)	Le m (k)	Le pakai m (l)
72,048	0,579	47,533	45,312	45,312	0,77	1
66,36	0,579	44,238	42,051	42,051	0,83	1

$$(f) \sigma v = (a) \times \gamma = 3.8 \times 18,96 = 72,048 \text{ kN/m}^2$$

$$(g) Ka = \tan^2(45 - \phi/2) = \tan^2(45 - 29,83/2) = 0,579$$

$$(h) \sigma h = (f) \times (g) + q \times (g), q = 10 \text{ kN/m}^2 \text{ (bebani lalu lintas)}$$

$$(i) \tau 1 = C1 + (f) \tan \phi 1 = 4,5 + 72,048 \times 0,579 = 45,312 \text{ kN/m}^2 \text{ (tanah diatas geotekstile)}$$

$$(j) \tau 2 = C2 + (f) \tan \phi 2 = 4,5 + 72,048 \times 0,579 = 45,312 \text{ kN/m}^2 \text{ (tanah diatas geotekstile)}$$

$$(k) Le = \frac{T_{all} \times SF}{(\tau_{atas} + \tau_{bawah}) \times E} \quad Sv = 0,3 \text{ m}$$

Le minimal = 1 meter

- (l) Panjang Le yang dipasang

Lo	Lr	L
m	m	m
(m)	(n)	(o)
1	3	5
1	2,9	5

- (m) $Lo \geq 1\text{m}$ maka dipakai $Lo = 1\text{ m}$

- (n) Lr panjang geotekstile didepan bidang kelongsoran
Didapat dengan bantuan *software* geoslope.

- (o) $L = (l) + (m) + (n)$, panjang total geotekstile pada layer tersebut

Jumlah	ΔMR	ΔMR	L total
Lembar		komulatif	(m)
(p)	(q)	(r)	(s)
2	585,399	585,399	10
1	279,787	865,186	5
1	266,873	1132,059	5
1	253,960	1386,019	5
1	241,047	1627,066	6
1	228,134	1855,200	6
1	215,220	2070,420	6
1	202,307	2272,727	5
1	189,394	2462,121	5
1	176,481	2638,602	6
1	163,567	2802,169	6
Panjang Total			65

- (p) Jumlah lembar geotekstile pada layer tersebut
- (q) $\Delta MR = (p) \times Tallow \times (c)$
- (r) Komulatif jumlah seluruh ΔMR pada lapisan tersebut dan lapisan diatasnya.
- (s) $L_{total} = (p) \times (m)$

$$\Delta MR \text{ kumulatif} = 2802,169 \text{ kNm}$$

Pada perhitungan diatas diketahui bahwa ΔMR komulatif sampai dengan layer kesebelas memiliki nilai 2802,169 kNm yang akan digunakan untuk mengurangi ΔMR yang dipikul oleh anchor. ΔMR komulatif dari perencanaan geotekstile pada STA lain dapat dilihat pada Tabel 6.8.

Tabel 6.8 ΔMR komulatif Geotekstile untuk perencanaan perkuatan Ground Anchor – Geotekstile.

STA	ΔMR Komulatif
9+110	2802,17
9+100	2537,88
9+090	2722,54
9+075	2350,21

6.2.3 Perencanaan Ground Anchor

Perencanaan Ground Anchor menggunakan acuan ΔMR yang telah dikurangi oleh ΔMR Geotekstile. Momen resistance tambahan untuk perkuatan Anchor dapat dilihat pada Tabel 6.9.

Tabel 6.9 ΔMR komulatif Geotekstile untuk perencanaan perkuatan Ground Anchor – Geotekstile.

Momen Resistance	STA			
	(9+110)	(9+100)	(9+090)	(9+075)
ΔMr (kN-m)	6840,3	6144,21	6371,3	8585,1
ΔMr (kN-m) Geotekstile	2802,17	2537,88	2722,54	2350,21
ΔMr (kN-m) Ground Anchor	4038,13	3606,33	3648,76	6234,89

Perhitungan jumlah Ground Anchor

Pada perkuatan lereng ini direncanakan Ground Anchor akan dipasang setiap 2.6 meter dan nilai N (gaya prategang tegak lurus bidang longsor) adalah 400kN (40 ton). Berikut ini adalah perhitungan jumlah ground anchor pada potongan-potongan lereng.

Hitung gaya ketika terpasang. Karena tanah diseluruh lereng memiliki nilai φ yang sama maka nilai T_{max} ini berlaku diseluruh lereng:

$$N = 400 \text{ kN}$$

$$\varphi = 29,28^\circ$$

$$T_{max} = N \tan \delta \quad (2.11)$$

$$= 400 \cdot \tan (29,28)$$

$$= 224,29 \text{ kN}$$

Hitung gaya total dan jumlah yang diperlukan dalam tiap 2.6 jarak anchor pada potongan-potongan lereng dapat dilihat pada Tabel 6.10.

Tabel 6.10 ΔMR komulatif Geotekstile untuk perencanaan perkuatan Ground Anchor – Geotekstile

STA	ΔMr Ground Anchor	L	r	Tn	T max	n
	(kN-m)	(m)	(m)	(kN)	(kN)	
9+110	4038,13	2,6	16,7	628,69	224,29	3
9+100	3606,33	2,6	15,13	619,73	224,29	3
9+090	3648,76	2,6	15,84	598,91	224,29	3
9+075	6234,89	2,6	18,45	878,63	224,29	4

Contoh perhitungan STA. 9+110

$$Tn = \frac{\Delta Mr \times l}{r} \quad (2.12)$$

$$= \frac{3803,8417 \times 2,6}{16,17} = 628,69 \text{ kN}$$

$$n = \frac{Tn}{T \text{ max}} \quad (2.13)$$

$$= \frac{628,69}{224,29} = 2,8 \approx 3 \text{ buah}$$

Perhitungan Panjang Grouting

Menentukan panjang Grouting (L) yaitu dengan menggunakan persamaan 2.14. Namun karena rumus ini tidak dapat menentukan panjang grouting secara langsung maka penulis memutuskan akan menetapkan panjang grouting terlebih dahulu, lalu mencari kemampuan tariknya. Dalam perencanaan panjang grouting ini diputuskan menggunakan SF=2 dan menggunakan 2 grouting pada setiap titik anchor. Bila kemampuan tariknya (P ar) lebih besar dua kali T maka panjang grouting tersebut memenuhi.

Anchor memiliki 2 grouting, maka:

$$T = \frac{N}{2} = \frac{400}{2} = 200 \text{ kN}$$

T = Gaya yang diberikan pada tiap grouting

SF = 2, maka:

$$SF = \frac{P_{ar}}{T}$$

$$P_{ar} = \pi D L (\gamma d_2 K \tan \delta + c_a)$$

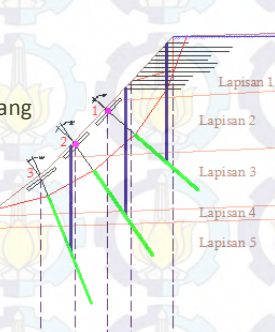
Bila: $P_{ar} \geq 2 \cdot T$ (OK)

STA. 9+110

Biru: acuan σ_v

Hijau: Grouting belakang bidang longsor

2 grouting pada tiap anchor



Gambar 6.8 Grouting STA. 9+110

Tabel 6.11 Perhitungan panjang grouting Grouting STA. 9+110

No Anchor	x (m)	c (kN/m ²)	Ca (kN/m ²)	φ derajat	Ka	σ_v (kN/m ²)	$\tan \varphi$	A (m ²)	P _{ar} (kN)	T (kN)	Kontrol
	(a)	(b)	(c)	(d)	(e)	(f)	(g)	(h)	(i)	(j)	
1	6	4,65	3,255	29,83	0,579	163,056	0,573	7,071	406,044	200	OK
2	7	4,88	3,418	29,83	0,579	161,729	0,573	8,250	471,428	200	OK
3	8	4,88	3,418	29,83	0,579	137,460	0,573	9,429	462,763	200	OK

D grouting = 375 mm

- (a) x = panjang grouting dibelakang bidang longsor.
- (b) c = rata-rata nilai kohesi dari tanah disekitar grouting di belakang longsor.
- (c) Ca = 0,7 x (b)

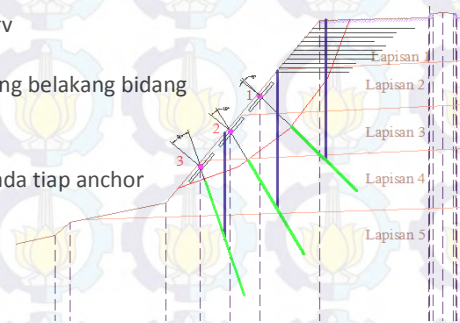
- (d) Nilai φ dari tanah disekitar grouting di belakang longsor.
- (e) $K_a = \tan^2(45 - \phi/2) = \tan^2(45 - 29,83/2) = 0,579$
- (f) σ_v = tegangan vertikal tanah pada kedalaman rata-rata grouting dengan mengacu pada Gambar 6.8.
- (g) $\tan(29,83) = 0,573$
- (h) $A = \pi x (\frac{0,375}{2})^2 x (a)$
- (i) P_{ar} = Kuat tarik Grouting
- (j) $T = 200 \text{ kN}$
- (k) Kontrol: (i) $\geq 2 \times (j)$ (OK)

STA. 9+100

Biru: acuan σ_v

Hijau: Grouting belakang bidang longsor

2 grouting pada tiap anchor



Gambar 6.9 Grouting STA. 9+100

Tabel 6.12 Perhitungan panjang grouting Grouting STA. 9+100

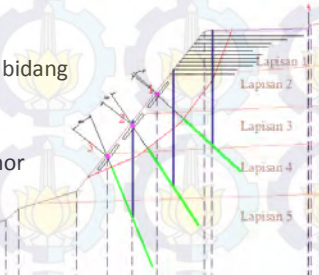
No	x	c	Ca	φ	Ka	σ_v	$\tan \varphi$	A	P _{ar}	T	Kontrol
Anchor	(m)	(kN/m ²)	(kN/m ²)	derajat		(kN/m ²)		(m ²)	(kN)	(kN)	
	(a)	(b)	(c)	(d)	(e)	(f)	(g)	(h)	(i)	(j)	(k)
1	6	4,65	3,255	29,83	0,579	178,603	0,573	7,071	442,5647	400	OK
2	7	4,93	3,448	29,83	0,579	170,830	0,573	8,250	496,6096	400	OK
3	8	4,93	3,448	29,83	0,579	133,289	0,573	9,429	449,9738	400	OK

D grouting = 375 mm

STA. 9+090Biru: acuan σ_v

Hijau: Grouting belakang bidang longsor

2 grouting pada tiap anchor

**Gambar 6.10** Grouting STA. 9+090**Tabel 6.13** Perhitungan panjang grouting Grouting STA. 9+090

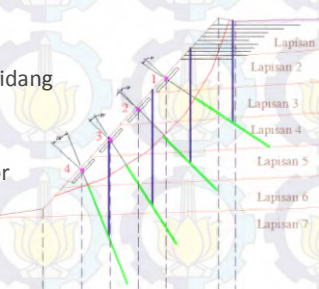
No Anchor	x (m)	c (kN/m ²)	Ca (kN/m ²)	φ derajat	Ka	σ_v (kN/m ²)	$\tan \varphi$	A (m ²)	P ar (kN)	T (kN)	Kontrol
	(a) (m)	(b) (kN/m ²)	(c) (kN/m ²)	(d)	(e)	(f)	(g)	(h)	(i)	(j)	
1	6	4,875	3,413	29,83	0,579	169,313	0,573	7,071	421,85486	400	OK
2	7	4,93	3,448	29,83	0,579	173,105	0,573	8,250	502,84494	400	OK
3	8	4,88	3,418	29,83	0,579	139,356	0,573	9,429	468,7016	400	OK

$$D_{grouting} = 375 \text{ mm}$$

STA. 9+075Biru: acuan σ_v

Hijau: Grouting belakang bidang longsor

2 grouting pada tiap anchor

**Gambar 6.11** Grouting STA. 9+075

Tabel 6.14 Perhitungan panjang grouting Grouting STA. 9+075

No Anchor	x	c	Ca	φ	Ka	σ_v	$\tan \varphi$	A	P ar	T	Kontrol
	(m)	(kN/m2)	(kN/m2)	derajat	(kN/m2)	(m2)	(kN)	(kN)			
	(a)	(b)	(c)	(d)	(e)	(f)	(g)	(h)	(i)	(j)	(k)
1	7	4,775	3,343	29,83	0,579	147,904	0,573	8,250	432,914	400	OK
2	6	4,90	3,430	29,83	0,579	164,984	0,573	7,071	411,809	400	OK
3	7	4,86	3,402	29,83	0,579	161,350	0,573	8,250	470,254	400	OK
4	8	4,84	3,388	29,83	0,579	134,821	0,573	9,429	454,213	400	OK

D grouting = 375 mm

Dengan hasil tersebut panjang grouting total dapat ditetapkan dengan bantuan program AutoCad untuk mengukur panjang grouting yang ada di bidang longsor. Panjang grouting total pada semua grouting dapat dilihat pada Tabel 6.15.

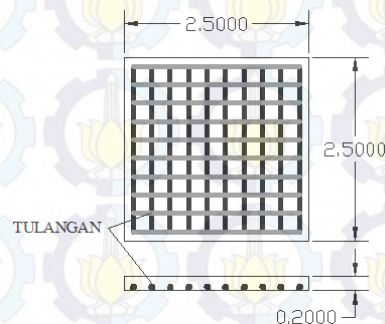
Tabel 6.15 Panjang Grouting

No.Anchor	STA.			
	9+110	9+100	9+090	9+075
	(m)	(m)	(m)	(m)
1	9	9,5	9	10
2	10	10	9,5	9,5
3	10	9,5	9,5	10
4	-	-	-	10

Perencanaan Plat Beton

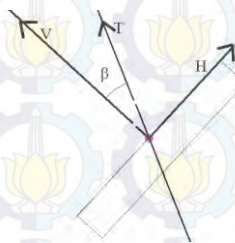
Setelah merencanakan jumlah anchor (n) dan panjang grouting (L), direncanakan pelat beton penahan agar daya dukung dari pelat beton mampu untuk menahan gaya tarik dari anchor tersebut. Dengan menggunakan daya dukung pondasi dangkal Tezhagi yaitu dengan persamaan 2.15 direncanakan pelat dengan tebal 0.2 meter, dimensi pelat 2,5 x 2,5 meter (Gambar 6.12). Seluruh tanah di lereng memiliki nilai sudut geser = 0° . Dikarenakan nilai sudut geser = 0 maka berdasarkan grafik faktor

daya dukung (Gambar 2.8) maka nilai $N_c = 18$, $N_q = 8$ dan $N_y = 5.5$ dan $q = \gamma' \text{ tanah} \times \text{tebal}$ dengan $SF = 2.5$. Letak ground ancor tertanam 0.4m dari permukaan tanah.



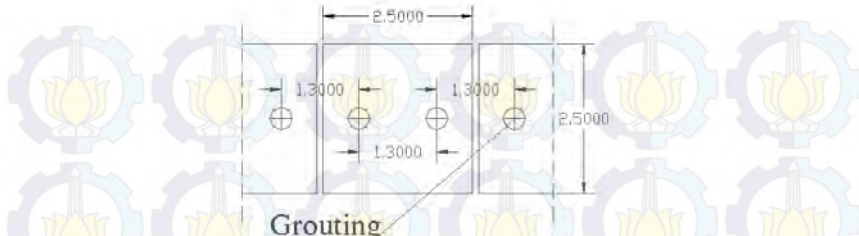
Gambar 6.12 Detail plat beton.

Nilai T anchor tersebut tidak tegak lurus dengan pelat beton terdapat sudut sebesar β , maka gaya T anchor tersebut di tersebut diubah menjadi gaya V (tegak lurus pelat) dan H (sejajar pelat) (Gambar 6.13):



Gambar 6.13 Gaya T prategang yang diubah tegak lurus dan sejajar pelat beton penahan

Jarak tiap grouting dapat dilihat pada Gambar 6.14.

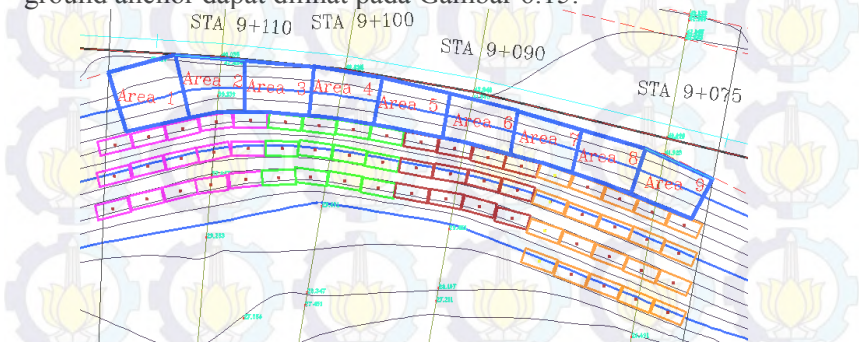


Gambar 6.14 Jarak pemasangan grouting.

Tabel-Tabel perhitungan keseluruhan plat dapat dilihat pada Lampiran 6.

6.2.4 Perhitungan Gambar pemasangan Geotekstil dan Ground Anchor

Pemasangan setiap desain geotekstil dibagi dalam 9 area sedangkan Ground anchor dipasang setiap 2,6 meter. Gambar pembagian area dan tampak atas pemasangan geotekstile dan ground anchor dapat dilihat pada Gambar 6.15.



Gambar 6.15 Pembagian area dan tampak atas pemasangan Geotekstile dan Ground Anchor.

Pembagian area bertujuan membedakan desain pemasangan yang akan diterapkan pada tiap-tiap area. Desain Geotekstile yang digunakan pada tiap area akan dijelaskan pada Tabel 6.16. Sedangkan perbedaan warna pada gambar anchor bertujuan untuk

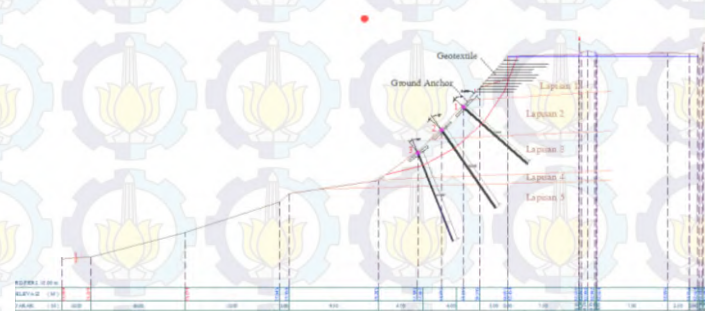
membedakan desain pemasangan anchor. Desain Anchor yang digunakan pada tiap area akan dijelaskan pada Tabel 6.17

Tabel 6.16 Tabel Pemasangan Geotektile

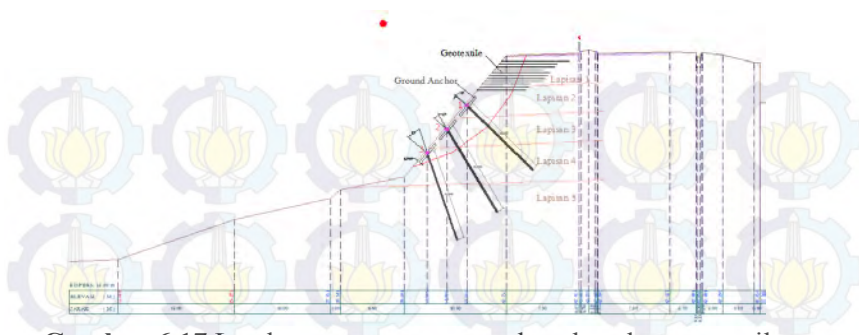
Desain	Area
STA. 9+110	1 & 2
STA. 9+100	3 & 4
STA. 9+090	5 & 6
STA. 9+075	7, 8, & 9

Tabel 6.17 Tabel Pemasangan Anchor

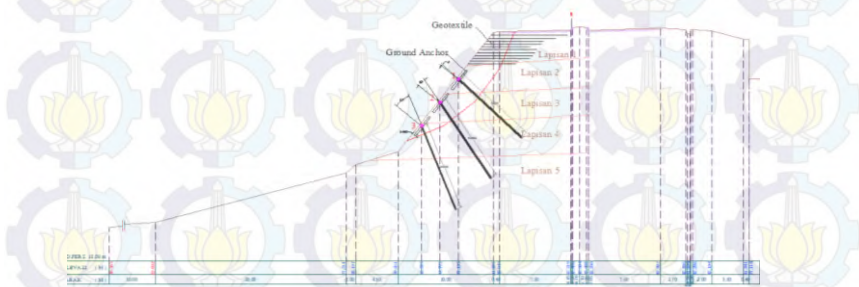
Desain	Warna
STA. 9+110	UNGU
STA. 9+100	HIJAU
STA. 9+090	MERAH
STA. 9+075	KUNING



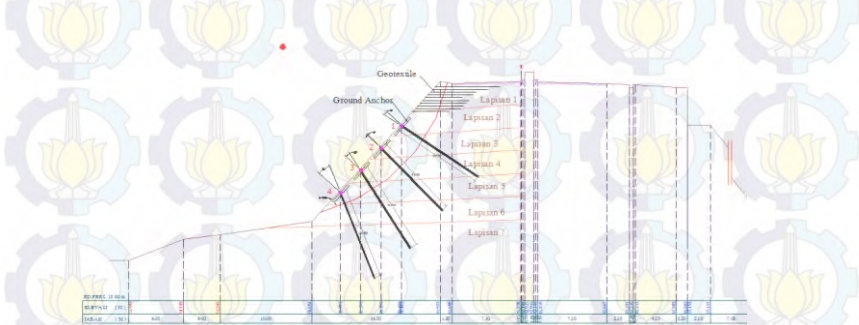
Gambar 6.16 Letak pemasangan ground anchor dan geotextile pada STA. 9+110



Gambar 6.17 Letak pemasangan ground anchor dan geotextile pada STA. 9+100



Gambar 6.18 Letak pemasangan ground anchor dan geotextile pada STA. 9+090



Gambar 6.19 Letak pemasangan ground anchor dan geotextile pada STA. 9+075

6.2.5 Perhitungan Biaya Ground Anchor dan Geotekstil

Geotekstil

Geotekstile yang disediakan oleh suplier berbentuk rool dengan ukuran 5,25 x 52 meter seharga Rp. 24.500.000,- tidak termasuk PPN 10%, spesifikasi Geotekstile dapat dilihat pada Lampiran 5.

Untuk memenuhi perkuatan pada semua bagian lereng, penulis melakukan perhitungan berdasarkan Tabel 6.15. Untuk mengetahui panjang total untuk setiap desain dapat dilihat di Lampiran 6 dan panjang L setiap area dihitung dengan *AutoCad*.

(Desain STA 9+110)

$$\text{Panjang} = 65 \text{ m}$$

$$L \text{ area } 1 \& 2 = 5,18 + 5,19 = 10,37 \text{ m}$$

$$\text{Luas} = 65 \times 10,37 = 674,05 \text{ m}^2$$

(Desain STA 9+100)

$$\text{Panjang} = 74 \text{ m}$$

$$L \text{ area } 3 \& 4 = 5,32 + 5,22 = 10,54 \text{ m}$$

$$\text{Luas} = 74 \times 10,54 = 779,96 \text{ m}^2$$

(Desain STA 9+090)

$$\text{Panjang} = 77 \text{ m}$$

$$L \text{ area } 5 \& 6 = 5,27 + 5,24 = 10,51 \text{ m}$$

$$\text{Luas} = 77 \times 10,51 = 809,27 \text{ m}^2$$

(Desain STA 9+075)

$$\text{Panjang} = 72 \text{ m}$$

$$L \text{ area } 7, 8, \& 9 = 5,01 + 5,02 + 5,54 = 15,57 \text{ m}$$

$$\text{Luas} = 72 \times 15,57 = 1121,04 \text{ m}^2$$

$$\text{Luas Total} = 674,05 + 779,96 + 809,27 + 1121,04 = 3384,32 \text{ m}^2$$

Kebutuhan dan Biaya Geotextile

$$\text{Kebutuhan} = \frac{3384,32}{5,25 \times 52} = 12,4 \text{ roll} \approx 13 \text{ roll}$$

$$\text{Biaya} = 13 \times \text{Rp. } 24.500.000,- = \text{Rp. } 318.500.000,-$$

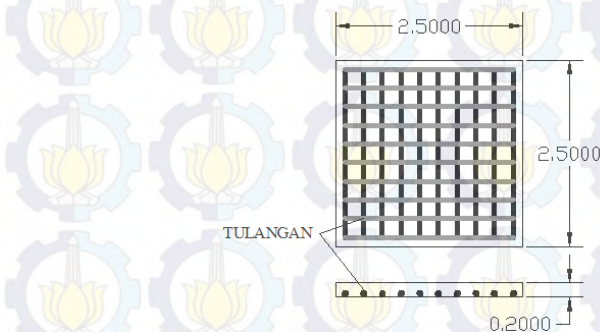
$$\text{Biaya} + \text{PPN} = 318.500.000 + 10\% \times 318.500.000$$

= Rp. 350.350.000,00

Ground Anchor

Dalam perhitungan biaya Ground anchor ini ada tiga item yang digunakan sebagai acuan yaitu plat, prestress wire, dan semen grouting. Dengan berdasarkan hasil perencanaan, dapat ditarik kesimpulan terdapat tiga tipe kedalaman grouting yang digunakan yaitu 9 m; 9,5m; dan 10 m.

Biaya Plat



Gambar 6.20 Detail plat beton.

TABEL BESI BETON ULR		
DEFORMED BARS		
BESI BETON ULR	10 mm x 12 mtrs	7.40 kg
BESI BETON ULR	13 mm x 12 mtrs	12.48 kg
BESI BETON ULR	16 mm x 12 mtrs	18.96 kg
BESI BETON ULR	19 mm x 12 mtrs	26.76 kg
BESI BETON ULR	22 mm x 12 mtrs	35.76 kg
BESI BETON ULR	25 mm x 12 mtrs	46.20 kg
BESI BETON ULR	29 mm x 12 mtrs	62.28 kg
BESI BETON ULR	32 mm x 12 mtrs	75.72 kg

Gambar 6.21 Ukuran dan berat baja ulir yang beredar di pasaran
(sumber: architecturebanten.blogspot.co.id)

Bersumber pada Daftar Harga Satuan Bahan Kabupaten Kutai Kartanegara (dapat dilihat pada Lampiran 6) didapatkan data sebagai berikut:

Beton K-175 = Rp. 1.803.374,09 / m³

Baja Tulangan (Ulir) D32 = Rp. 12.880,00 / kg

Perhitungan Biaya Beton:

$$\text{Volum Beton} = 2,5 \times 2,5 \times 0,2 = 1,25 \text{ m}^3$$

$$\text{Biaya beton} = 2,5 \times 1.803.374,09 = \underline{\text{Rp}2.254.217,61}$$

Perhitungan Biaya Tulangan:

$$\text{Panjang 1 tulangan} = 2,25\text{m} \times 20$$

$$\text{Total panjang Tulangan 1 plat} = 2,25 \times 20 = 45\text{m}$$

$$\text{Jumlah Baja} = \frac{45}{12} = 3,75 \text{ buah} \approx 4 \text{ buah}$$

$$\text{Biaya tulangan} = 4 \times 75,72 \times 12.880 = \underline{\text{Rp. 3.901.094,4}}$$

$$\text{Biaya 1 plat} = \text{Rp}2.254.217,61 + 3.901.094,4 = \underline{\text{Rp 5.911.493,61}}$$

Biaya Prestress Wire

Perencanaan ini menggunakan kabel yang disuplai sebuah suplier asal China benama *Daqiang*. Data tentang harga bersumber dari iklan *Daqiang* yang tercantum di sebuah situs jual-beli bernama [Alibaba.com](#). Dari iklan tersebut didapatkan spesifikasi (Lampiran 6) dan data sebagai berikut :

Kabel ASTM A416, kelas 270, Diameter 15.24 mm

Harga = US\$ 700 / ton

$$= 700 \times \text{Rp. } 14.600,00 \text{ (Kurs 23/09/2015)}$$

$$= \text{Rp. } 10.220.000,00 / \text{ton}$$

$$\text{Luas Penampang} = 140 \text{ mm}^2$$

$$\text{Berat} = 1102 \text{ g/m} = 1,102 \times 10^{-3} \text{ ton/m}$$

Perhitungan Biaya 1 bundel wire:

Direncanakan dalam preestress akan digunakan 1 bundel kabel yang terdiri dari 3 kabel.

Tabel 6.18 Tabel biaya pemasangan Prestress Wire

Tipe Grouting	Berat 1 bundel	Biaya tiap ton	Biaya tiap Tipe
m	ton/m		
(a)	(b)	(c)	(d)
9	0,003306	Rp10.220.000,00	Rp304.085,88
9,5	0,003306	Rp10.220.000,00	Rp320.979,54
10	0,003306	Rp10.220.000,00	Rp337.873,20

(a) Tipe dan panjang grouting

(b) Berat 1 bundel = $3 \times 1,102 \times 10^{-3} = 3,306 \times 10^{-3} \text{ ton/m}$

(c) Biaya tiap ton = Rp. 10.220.000,00 / ton

(d) Biaya tiap Tipe = (a) x (b) x (c)

Biaya Grouting

Grout Fluidifier yang disediakan oleh suplier NORMET berbentuk Bag dengan berat 15kg seharga Rp. 32.000,- / kg tidak termasuk PPN 10%, spesifikasi Grout Fluidifier dapat dilihat pada Lampiran 6.

Perhitungan Biaya Grouting:

$$D = 375 \text{ mm}$$

$$D \text{ 1bundel} = 3 \times 140 = 420 \text{ mm}^2$$

$$\text{Luas Penampang} = \pi \times \left(\frac{375}{2}\right)^2 - 420 = 110026,6 \text{ mm}^2 = 0.11 \text{ m}^2$$

Tabel 6.19 Perhitungan harga setiap tipe grouting

Tipe Grouting	Luas Penampang	γ beton	Harga / kg	Harga tiap tipe
m	m ²	kg/m ³		
9	0,11	2400	Rp32.000,00	Rp76.050.397,48
9,5	0,11	2400	Rp32.000,00	Rp80.275.419,56
10	0,11	2400	Rp32.000,00	Rp84.500.441,65

Perhitungan Pemasangan Ground Anchor

Tabel 6.20 Perhitungan harga tipe Anchor

Tipe Anchor	Biaya				jumlah per tipe	Total
	Plat	Kabel (x 2)	Grouting (x2)	biaya 1 titik		
	(a)	(b)	(c)	(d)	(e)	(f)
9	Rp5.911.493,61	Rp608.171,76	Rp152.100.794,96	Rp158.620.460,34	9	Rp1.427.584.143,03
9,5	Rp5.911.493,61	Rp641.959,08	Rp160.550.839,13	Rp167.104.291,82	21	Rp3.509.190.128,25
10	Rp5.911.493,61	Rp675.746,40	Rp169.000.883,29	Rp175.588.123,31	29	Rp5.092.055.575,88
					Biaya Total	Rp10.028.829.847,17

(d) Biaya untuk 1 tipe angkur tiap titik = (a) + (b) + (c)

(e) Jumlah Tipe kedalaman Anchor

(f) = (d) x (e)

Dengan ditemukannya biaya total Geotekstile dan Ground Anchor, Biaya total untuk kombinasi Ground Anchor – Geotekstile dapat dihitung.

Biaya Total = Biaya Geotekstile + Biaya Ground Anchor

$$= Rp. 350.350.000,00 + Rp. 10.028.829.847,17$$

$$= \underline{\underline{Rp. 10.379.179.847,17}}$$

6.3 Pemeriksaan Perkuatan dengan Program Geoslope

6.3.1 Perkuatan Geotekstile dan Subdrain

Setelah mendesain perkuatan yang dibutuhkan secara manual tahap selanjutnya adalah melakukan pemeriksaan perkuatan tersebut dengan bantuan program Geoslope. Bila desain memiliki angka keamanan (SF) yang memadai maka desain akan digunakan. Tetapi bila angka keamanan (SF) belum memenuhi maka akan dilakukan perubahan desain. Hasil pemeriksaan perkuatan geotekstile dan subdrain dengan program Geoslope dapat dilihat pada Tabel 6.21.

Tabel 6.21 Hasil pemeriksaan perkuatan geotekstile dan subdrain

STA	Metode	SF
9 +110	Ordinary	0,707
	Bishop	0,767
	Morgenster-Price	0,771
9+100	Ordinary	0,747
	Bishop	0,774
	Morgenster-Price	0,769
9+090	Ordinary	0,694
	Bishop	0,719
	Morgenster-Price	0,713
9+075	Ordinary	0,654
	Bishop	0,679
	Morgenster-Price	0,673

Pada Tabel 6.21 dapat disimpulkan bahwa perkuatan belum mampu menghasilkan angka keamanan yang memadai. Karena itu perkuatan akan ditingkatkan dengan memperpanjang geotekstile dan menambah jumlah lembar geotekstile. Tabel rincian perkuatan geotekstile dan gambar bidang longsor dapat dilihat pada Lampiran 7.

Tabel 6.22 Hasil pemeriksaan perkuatan geotekstile dan subdrain setelah geotekstile diperkuat

STA	Metode	SF
9+110	Ordinary	0,799
	Bishop	0,848
	Morgenster-Price	0,842
9+100	Ordinary	1,430
	Bishop	1,444
	Morgenster-Price	1,442
9+090	Ordinary	1,079
	Bishop	1,210
	Morgenster-Price	1,215
9+075	Ordinary	0,638
	Bishop	0,700
	Morgenster-Price	0,697

Pada Tabel 6.22 dapat disimpulkan bahwa perkuatan yang diterapkan pada STA. 9+110, 9+090, dan 9+075 belum mampu menghasilkan angka keamanan yang memadai. Karena itu perkuatan akan ditambahkan dengan anchor. Penambahan anchor hanya akan diterapkan pada STA. 9+110, 9+090, dan 9+075. Desain anchor yang digunakan akan menerapkan design yang telah ditetapkan pada perkuatan Geotekstile-Anchor.

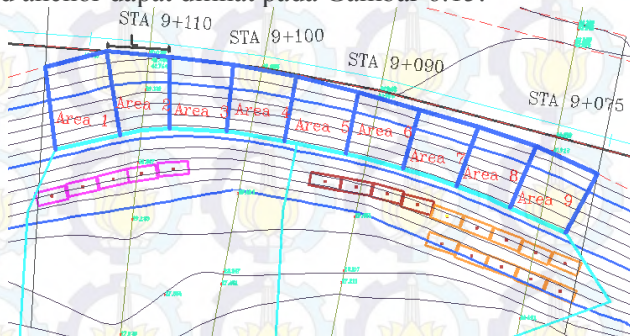
Tabel 6.23 Hasil pemeriksaan perkuatan geotekstile dan subdrain setelah diperkuat ground anchor

STA	Metode	SF
9+110	Ordinary	1,18
	Bishop	1,24
	Morgenster-Price	1,22
9+090	Ordinary	1,221
	Bishop	1,399
	Morgenster-Price	1,402
9+075	Ordinary	1,12
	Bishop	1,15
	Morgenster-Price	1,14

Pada Tabel 6.22 dapat disimpulkan bahwa perkuatan yang diterapkan pada STA. 9+110, 9+090, dan 9+075 telah aman dan mampu diaplikasikan.

6.3.1.1 Perhitungan Gambar pemasangan Geotekstil dan Subdrain yang telah diperkuat.

Pemasangan setiap desain geotekstil dibagi dalam 9 area sedangkan Ground anchor dipasang setiap 2,6 meter. Gambar pembagian area dan tampak atas pemasangan geotekstile dan ground anchor dapat dilihat pada Gambar 6.15.



Gambar 6.22 Pembagian area dan tampak atas pemasangan Geotekstile dan Ground Anchor.

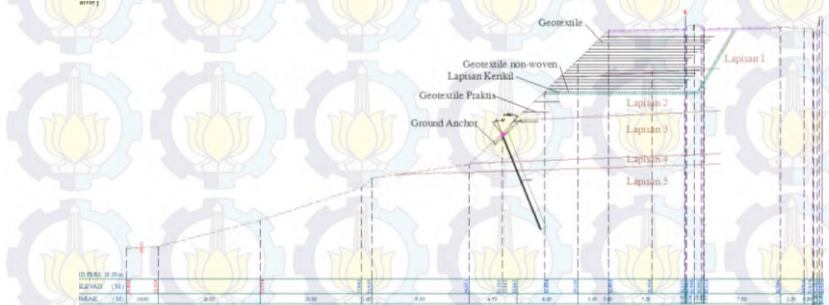
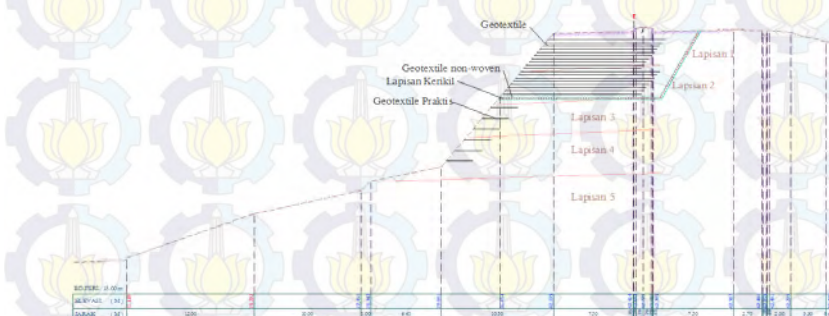
Pembagian area bertujuan membedakan desain pemasangan yang akan diterapkan pada tiap-tiap area. Desain Geotekstile yang digunakan pada tiap area akan dijelaskan pada Tabel 6.24. Sedangkan perbedaan warna pada gambar anchor bertujuan untuk membedakan desain pemasangan anchor. Desain Anchor yang digunakan pada tiap area akan dijelaskan pada Tabel 6.25

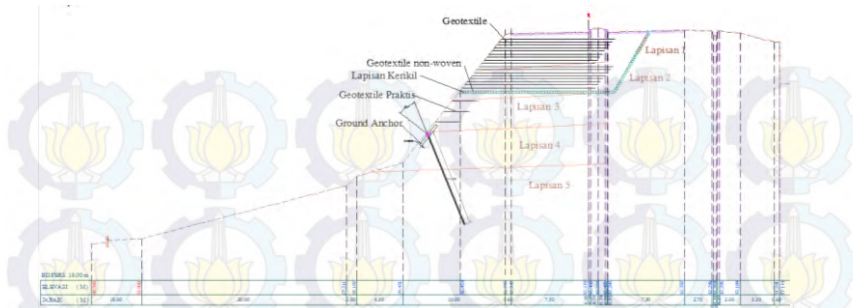
Tabel 6.24 Tabel Pemasangan Geotektile

Desain	Area
STA. 9+110	1 & 2
STA. 9+100	3 & 4
STA. 9+090	5 & 6
STA. 9+075	7, 8, & 9

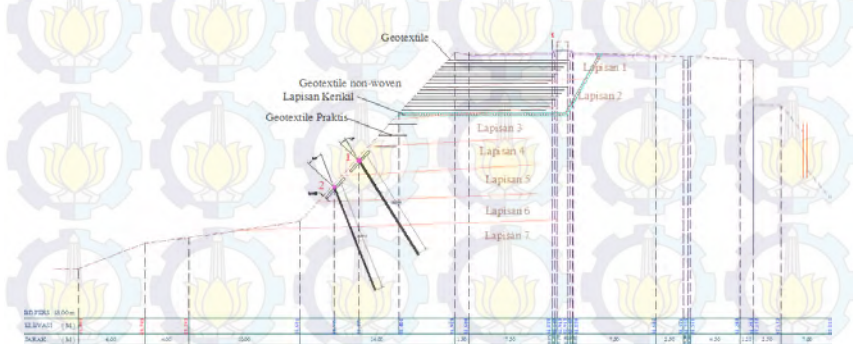
Tabel 6.25 Tabel Pemasangan Anchor

Desain	Warna
STA. 9+110	UNGU
STA. 9+100	-
STA. 9+090	MERAH
STA. 9+075	KUNING

**Gambar 6.23 Letak pemasangan geotextile dan subdrain pada STA. 9+110 setelah diperkuat****Gambar 6.24 Letak pemasangan geotextile dan subdrain pada STA. 9+100 setelah diperkuat**



Gambar 6.25 Letak pemasangan geotextile dan subdrain pada STA. 9+090 setelah diperkuat



Gambar 6.26 Letak pemasangan geotextile dan subdrain pada STA. 9+075 setelah diperkuat

6.3.1.2 Perhitungan Biaya Geotekstile dan Subdrain

Geotekstile yang disediakan oleh suplier berbentuk rool dengan ukuran $5,25 \times 52$ meter seharga Rp. 24.500.000,- tidak termasuk PPN 10%. Perhitungan kebutuhan dan harga dapat dilihat pada perhitungan dibawah ini:

Geotektile perkuatan

Untuk memenuhi perkuatan pada semua bagian lereng, penulis melakukan perhitungan berdasarkan Tabel yang terdapat pada Lampiran 7.

(Desain STA 9+110)

Panjang = 344 m

L area 1 & 2 = $5,18 + 5,19 = 10,37\text{m}$

Luas = $344 \times 10,37 = 3567,28 \text{ m}^2$

(Desain STA 9+100)

Panjang = 334 m

L area 3 & 4 = $5,32 + 5,22 = 10,54\text{m}$

Luas = $334 \times 10,54 = 3625,76 \text{ m}^2$

(Desain STA 9+090)

Panjang = 332m

L area 5 & 6 = $5,27 + 5,24 = 10,51\text{m}$

Luas = $332 \times 10,51 = 3489,32 \text{ m}^2$

(Desain STA 9+075)

Panjang = 416 m

L area 7, 8, & 9 = $5,01 + 5,02 + 5,54 = 15,57 \text{ m}$

Luas = $416 \times 15,57 = 6477,12 \text{ m}^2$

Luas Total = $3567,28 + 3625,76 + 3489,32 + 6477,12 = 17159 \text{ m}^2$

Geotektile Praktis

(Desain STA 9+110)

Panjang = $1.5 \text{ m} \times 3 = 4,5 \text{ m}$

L area 1 & 2 = $5,18 + 5,19 = 10,37\text{m}$

Luas = $4,5 \times 10,37 = 46,67 \text{ m}^2$

(Desain STA 9+100)

Panjang = $1.5 \text{ m} \times 6 = 9 \text{ m}$

L area 3 & 4 = $5,32 + 5,22 = 10,54\text{m}$

Luas = $9 \times 10,54 = 94,86 \text{ m}^2$

(Desain STA 9+090)

Panjang = $1.5 \text{ m} \times 3 = 4,5 \text{ m}$

L area 5 & 6 = $5,27 + 5,24 = 10,51\text{m}$

Luas = $4,5 \times 10,51 = 47,26 \text{ m}^2$

(Desain STA 9+075)

Panjang = $1.5 \text{ m} \times 3 = 4,5 \text{ m}$

L area 7, 8, & 9 = $5,01 + 5,02 + 5,54 = 15,57 \text{ m}$

$$\text{Luas} = 4,5 \times 15,57 = 70,07 \text{ m}^2$$

$$\text{Luas Total} = 46,67 + 94,86 + 47,26 + 70,07 = 258,9 \text{ m}^2$$

Geotektile Subdrain (Woven & Non-Woven)



Gambar 6.27 Ukuran pemasangan Subdrain

$$\text{Lebar Total} = 15 \text{ m} + 6.9 \text{ m} = 21.90 \text{ m}$$

$$\begin{aligned} \text{Panjang (L) Perkuatan} &= 5,18 + 5,19 + 5,32 + 5,22 + 5,27 + 5,24 \\ &\quad + 5,01 + 5,02 + 5,54 = 46,99 \text{ m} \end{aligned}$$

$$\text{Luas Total} = 21,9 \text{ m} \times 46,99 \text{ m} \times 2 \text{ sisi} = 2058,16 \text{ m}^2$$

Kebutuhan dan Biaya Geotextile

$$\text{Kebutuhan} = \frac{17159+258,9+2058,16}{5,25 \times 52} = 71.3 \text{ roll} \approx 72 \text{ roll}$$

$$\text{Biaya} = 72 \times \text{Rp. } 24.500.000,- = \text{Rp. } 1.764.000.000,-$$

$$\begin{aligned} \text{Biaya} + \text{PPN} &= 1.764.000.000 + 10\% \times 1.764.000.000 \\ &= \underline{\text{Rp. } 1.940.400.000, -} \end{aligned}$$

Kebutuhan dan Biaya Kerikil

Berdasarkan Harga Dasar Satuan Bahan Kabupaten Kutai Kartanegara yang bisa dilihat pada Lampiran 1, harga Agregat Pecah Mesin 0-5 mm adalah Rp. 485.000,- per 1m³.

Tebal Subdrain = 0,2 m

Volume kebutuhan kerikil = $0.2 \times 21.90 \times 47.25 = 207 \text{ m}^3$

Biaya = $207 \times \text{Rp. } 485.000,- = \underline{\text{Rp. } 100.395.000,-}$

Ground Anchor

Dalam perhitungan biaya Ground anchor ini ada tiga item yang digunakan sebagai acuan yaitu plat, prestress wire, dan semen grouting. Dengan berdasarkan hasil perencanaan, dapat ditarik kesimpulan terdapat tiga tipe kedalaman grouting yang digunakan yaitu 9 m; 9,5m; dan 10 m.

Tabel 6.26 Perhitungan harga tipe Anchor

Tipe Anchor	Biaya				jumlah per tipe	Total
	Plat	Kabel (x 2)	Grouting (x2)	biaya 1 titik		
	(a)	(b)	(c)	(d)	(e)	(f)
9,5	Rp5.911.493,61	Rp641.959,08	Rp160.550.839,13	Rp167.104.291,82	4	Rp668.417.167,29
10	Rp5.911.493,61	Rp675.746,40	Rp169.000.883,29	Rp175.588.123,31	15	Rp2.633.821.849,60
					Biaya Total	Rp3.302.239.016,88

Biaya Total

Biaya = $1.940.400.000 + 100.395.000 + 3.302.239.017$
 $= \underline{\text{Rp. } 5.343.034.017,-}$

6.3.2 Perkuatan Ground Anchor dan Geotekstile

Setelah mendesain perkuatan yang dibutuhkan secara manual tahap selanjutnya adalah melakukan pemerikasaan perkuatan tersebut dengan bantuan program Geoslope. Bila desain memiliki angka keamanan (SF) yang memadai maka desain akan digunakan. Tetapi bila angka keamanan (SF) belum memenuhi maka akan dilakukan perubahan desain. Hasil

pemeriksaan perkuatan Ground Anchor Geotekstile dengan program Geoslope dapat dilihat pada Tabel 6.21.

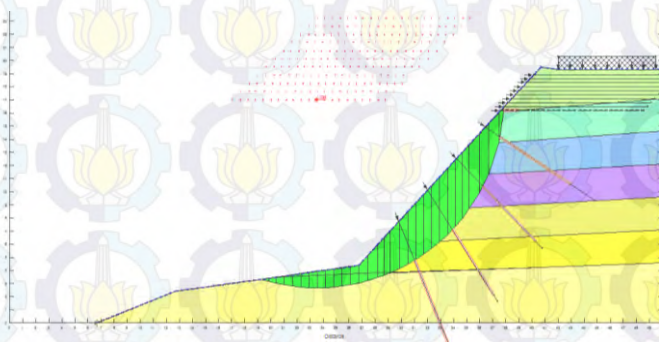
Tabel 6.27 Hasil pemeriksaan perkuatan Ground Anchor Geotekstile

STA	Metode	SF
9 +110	Ordinary	0,821
	Bishop	1,008
	Morgenster-Price	1,009
9+100	Ordinary	0,743
	Bishop	0,944
	Morgenster-Price	0,954
9+090	Ordinary	0,897
	Bishop	1,078
	Morgenster-Price	1,071
9+075	Ordinary	0,757
	Bishop	0,946
	Morgenster-Price	0,955

Pada Tabel 6.27 dapat disimpulkan bahwa perkuatan belum mampu menghasilkan angka keamanan yang memadai. Karena itu perkuatan akan ditingkatkan dengan memperpanjang geotekstile dan menambah jumlah lembar geotekstile. Tabel rincian perkuatan geotekstile dan gambar bidang longsor dapat dilihat pada Lampiran 8.

Tabel 6.28 Hasil pemeriksaan perkuatan geotekstile dan subdrain setelah geotekstile diperkuat

STA	Metode	SF
9 +110	Ordinary	1,087
	Bishop	1,189
	Morgenster-Price	1,183
9+100	Ordinary	0,924
	Bishop	1,150
	Morgenster-Price	1,157
9+090	Ordinary	1,074
	Bishop	1,315
	Morgenster-Price	1,313
9+075	Ordinary	1,032
	Bishop	1,096
	Morgenster-Price	1,098



Gambar 6.28 Bidang longsor salah satu lereng.

Pada Tabel 6.28 dapat disimpulkan bahwa perkuatan yang diterapkan belum mampu menghasilkan angka keamanan yang memadai. Sedangkan Gambar 6.28 menggambarkan bahwa kelongsoran akan terjadi pada bagian yang diperkuat *Ground Anchor* saja. Penambahan gaya pada anchor tidak dapat dilakukan karena kondisi tanah yang tidak memungkinkan. Berdasarkan hal

tersebut penulis menarik kesimpulan bahwa opsi perkuatan ini tidak dapat digunakan dalam perkuatan lereng. Ringkasan pengecekan dengan Geoslope dapat dilihat pada Tabel 6.29 dan Tabel 6.30.

Tabel 6.29 Hasil pemeriksaan Geoslope

Tipe perkuatan	STA	Geoslope	
		SF terkritis	Keterangan
Geotekstile - Subdrain	9+110	0,707	Not OK
	9+100	0,747	Not OK
	9+090	0,694	Not OK
	9+075	0,654	Not OK
Ground Anchor - Geotekstile	9+110	0,821	Not OK
	9+100	0,743	Not OK
	9+090	0,897	Not OK
	9+075	0,757	Not OK

Tabel 6.30 Tindakan yang dilakukan

Tipe perkuatan	STA	Tindak lanjut 1			Tindak lanjut 2		
		Tindakan	SF terkritis	Keterangan	Tindakan	SF terkritis	Keterangan
Geotekstile - Subdrain	9+110	memperpanjang Geotekstile	0,799	Not OK	Dianchor	1,182	OK
	9+100		1,43	OK	Tidak perlu	1,43	OK
	9+090		1,079	Not OK	Dianchor	1,221	OK
	9+075		0,638	Not OK	Dianchor	1,115	OK
Ground Anchor - Geotekstile	9+110		1,087	Not OK	Penambahan Gaya pada anchor tidak memungkinkan		
	9+100		0,924	Not OK			
	9+090		1,074	Not OK			
	9+075		1,032	Not OK			

Pada pemeriksaan dengan program Geoslope ini $SF > 1,1$ dianggap cukup baik untuk digunakan.

BAB VII

KESIMPULAN

7.1 Kesimpulan

Dalam perencanaan Tugas Akhir ini didapatkan beberapa kesimpulan yaitu :

1. Lereng berada dalam kondisi yang tidak baik. Dari hasil analisis program Geoslope terhadap potongan-potongan tak ada satupun yang mencapai kondisi ideal ($SF \geq 1$).
2. Dari hasil *trial and error* dapat terlihat bahwa tanah pada lereng telah mengalami penurunan nilai kohesi dan sudut geser yang signifikan. Tanah yang pada awalnya dominan lempung selama 10 tahun telah berubah seakan-akan seperti pasir. Fenomena seperti ini dapat dijelaskan dalam teori *behaving like sand*. Jadi selama 10 tahun tanah pada lereng tersebut telah mengalami keretakan dan ditambah dengan curah hujan yang cukup tinggi di kalimantan yang hampir tidak mengenal musim kemarau atau penghujan, bidang-bidang keretakan yang hampir selalu dilalui air hujan tersebut lambat laun mengalami erosi oleh air hujan, partikel tanah yang lebih halus seperti lanau dan lempung dengan mudah terbawa oleh rembesan air hujan tersebut, sehingga pada retak-retak tersebut hanya tertinggal butiran tanah pasir saja dan terkadang dapat tersisa fraksi kerikil. Hal inilah yang membuat tanah di lereng tersebut berpiraluh seperti pasir (*behaving like sand*). Kelongsoran terjadi pada daerah yang gersang atau hanya ditumbuhi rumput-rumputan. Sedangkan pada sisi lereng STA lain ditumbuhi oleh tumbuhan-tumbuhan yang lebih besar dan berakar dalam. Tumbuhan-tumbuhan inilah yang menyebabkan lereng lain lebih tahan terhadap kelongsoran meskipun menurut analisis software memiliki angka keamanan yang lebih kecil.
3. Dalam perencanaan perkuatan lereng ini didapatkan hasil sebagai berikut:

Tabel 7.1 Kesimpulan kebutuhan perkuatan

Alternatif Perencanaan	Kebutuhan	
	Nama	Jumlah
Geotekstil - Subdrain	Geotekstil	16 - 18 lapisan
	Subdrain	6 m bawah muka tanah
Ground Anchor - Geotekstil	Ground Anchor	3 - 4 buah (tiap 2,6m)
	Geotekstil	10 - 11 lapisan

Hasil perhitungan secara manual ini diinput kembali dalam software Geoslope. Hasilnya perkuatan harus ditingkat untuk meningkatkan keamanan lereng, tambahan perkuatan tersebut:

- a. Geotekstil – Subdrain: menambah panjang dan jumlah lembar geotekstile pada setiap lapisan. Penambahan Ground Anchor pada STA. 9+110, 9+090, dan 9+075.
- b. Ground Anchor – Geotekstil: menambah panjang dan jumlah lembar geotekstile pada setiap lapisan. Penambahan tegangan pada Ground Anchor tidak memungkinkan.
4. Dari hasil perhitungan biaya kedua pilihan perkuatan didapatkan hasil:
- 5.

Tabel 7.2 Kesimpulan kebutuhan dan biaya total

Alternatif Perencanaan	Kebutuhan			Biaya Total
	Nama	Jumlah	Biaya	
Geotekstil - Subdrain	Geotekstil	31 roll	Rp. 835.450.000,00	Rp. 917.490.175,00
	Kerikil	169,15 m ³	Rp. 82.040.175,00	
Ground Anchor - Geotekstil	Ground Anchor	59 buah	Rp. 10.028.829.847,17	Rp. 10.379.179.847,17
	Geotekstil	13 roll	Rp. 350.350.000,00	

Pada perhitungan manual ini pilihan perkuatan Geotekstil-Subdrain memiliki biaya paling ekonomis dibandingkan perkuatan Ground Anchor – Geotekstile dengan nilai biaya **Rp. 917.490.175,00**. Namun setelah dilakukan perhitungan ulang dengan menggunakan software

Geoslope, disimpulkan bahwa perlu ditambahkan tambahan perkuatan menjadi:

Tabel 7.3 Kesimpulan kebutuhan dan biaya total setelah diperkuat

Alternatif Perencanaan	Kebutuhan			Biaya Total
	Nama	Jumlah	Biaya	
Geotekstil – Subdrain (ditambah Anchor)	Geotekstil	72 roll	Rp. 1.940.400.000,00	Rp. 5.343.034.017,00
	Kerikil	207 m ²	Rp. 100.395.000,00	
	Ground Anchor	19 buah	Rp. 3.302.239.016,00	

Sedangkan perkuatan Ground Anchor – Geotekstil tidak mampu dilakukan karena kondisi tanah. Berdasarkan perhitungan ini penulis memutuskan menggunakan menggunakan pilihan Geotekstil – Subdrain yang telah diperkuat dengan Ground Anchor. Perkuatan ini memiliki biaya Rp. 5.343.034.017,00.

7.2 Saran

Dalam perencanaan Tugas Akhir ini penulis berkesimpulan air merupakan faktor yang sangat berpengaruh pada kelongsoran lereng. Karena itu penulis menyarankan seluruh lereng pada jalur Tenggarong – Samarinda untuk dipasang saluran dengan *geomembran* sebagai management air supaya meminimalisir rembesan air yang masuk ke tanah yang dapat menyebabkan berkurangnya stabilitas lereng.

Saluran dengan geomembran

Rembesan air

Gambar 7.1 Ilustrasi Saluran dengan *geomembran* pada lereng.

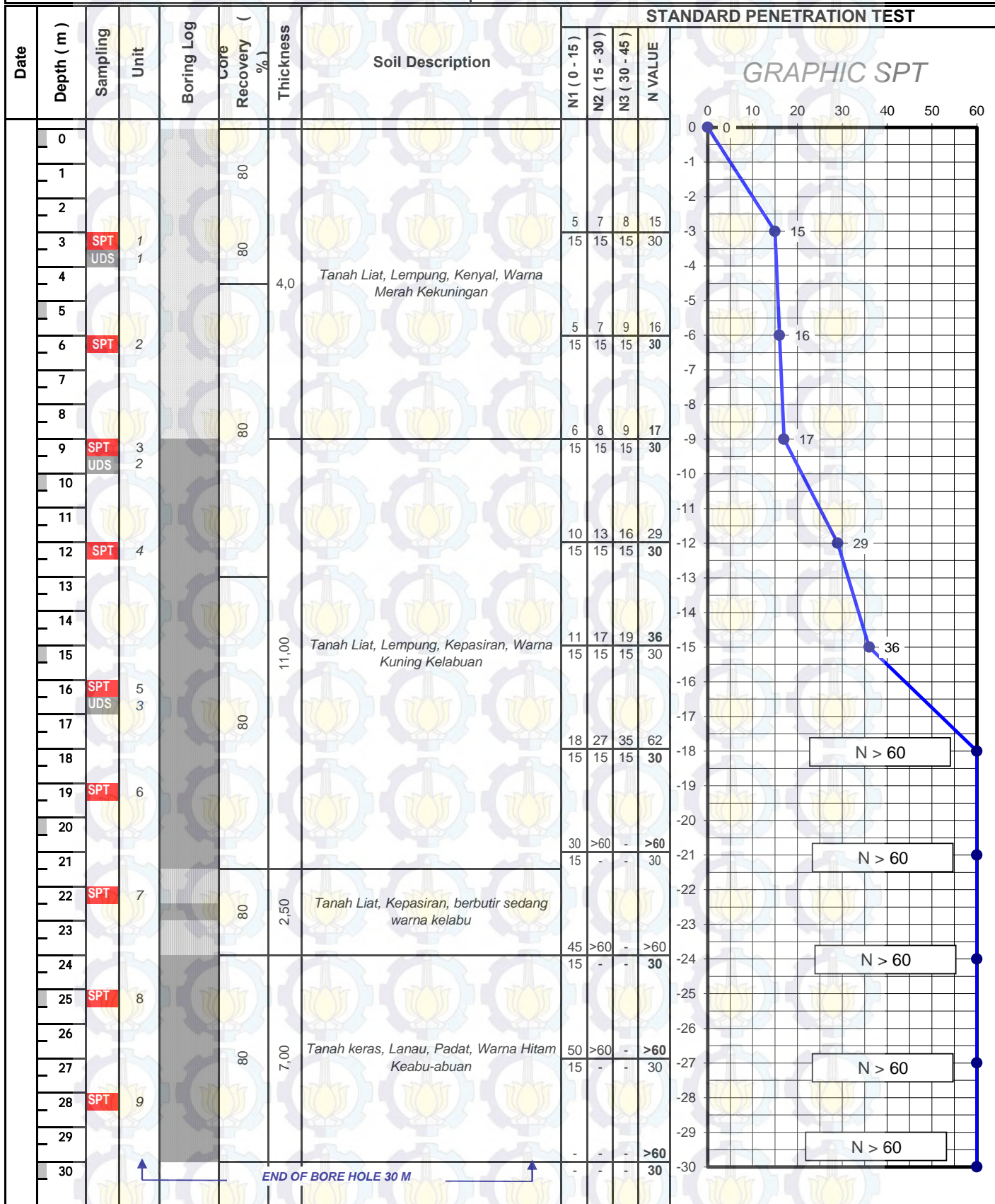
Halaman ini sengaja dikosongkan

DAFTAR PUSTAKA

- Bowles, Joseph. E. 1997. *FOUNDATION ANALYSIS AND DESIGN*. New York: The McGraw-Hill Companies, Inc.
- Cahyono, Aries Suyandra Eko. 2014. *Perencanaan Perbaikan Lereng Longsor pada Jalan Gunung Gumitar Ruas jalan Banyuwangi-Jember*. Fakultas Teknik Sipil dan Perencanaan, Jurusan Teknik Sipil, Institut Teknologi Sepuluh Nopember, Surabaya.
- Das, Braja. M. 1985. *Mekanika Tanah: Prinsip-prinsip Rekayasa Geoteknik, Jilid 2*. Diterjemahkan oleh Noor Endah dan Indrasurya B. Mochtar. Jakarta: Penerbit Erlangga
- Koerner, Robert M. 1997. *Designing with Geosynthetics*. New Jersey: Prentice-Hall, Inc.
- Mochtar, Noor Endah. 2012. *Modul Ajar Metode Perbaikan Tanah*. Surabaya: Jurusan Teknik Sipil FTSP-ITS.
- Mochtar, Indrasurya. 2012. *EVALUASI MASALAH KELONGSORAN TEBING PADA RSUD KOTA BALIKPAPAN*. Laboratorium Mekanika Tanah dan Batuan Fakultas Teknik Sipil dan Perencanaan, Jurusan Teknik Sipil, Institut Teknologi Sepuluh Nopember, Surabaya.

BORING LOG EXPLORATION
PERENCANAAN TEKNIS DAN DED PENANGANAN LONGSORAN JALAN 2 JALUR

BOR TYPE	: Rotary Core Drilling	LOCATION	: Jalan 2 Jalur KM 9+000, Tenggarong Seberang
BORE HOLE NO.	: BH. - 01	BOR MASTER	: Ruspiansyah
GROUNG ELEVATION	: Existing	DATA STARTED	: 05 Desember 2013
GROUND WATER ELEVATION	: -	DATA FINISHED	:

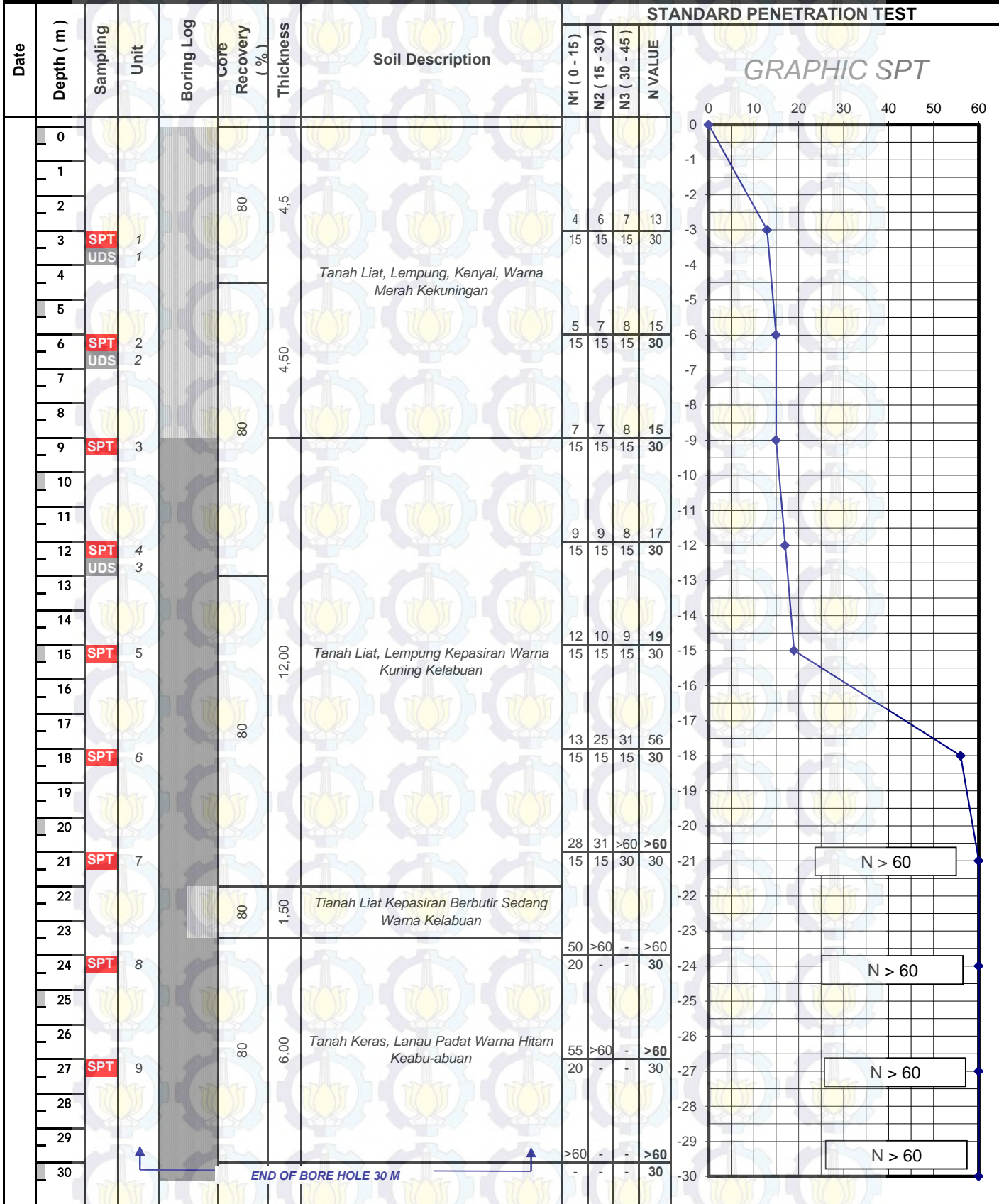


LEGEND	UDS	Pengambilan Sampel Tabung	M'd		Pr	Sheet : 1 of 1
	SPT	Pengujian SPT	D'r		Tg	
			C'h		Kd	

BORING LOG EXPLORATION

PERENCANAAN TEKNIS DAN DED PENANGANAN LONGSORAN JALAN 2 JALUR

BOR TYPE	: Rotary Core Driling	LOCATION	: Jalan 2 Jalur KM 9+000, Tenggarong Seberang
BORE HOLE NO.	: BH. 02	BOR MASTER	: Ruspiansyah
GROUNG ELEVATION	: Eksisting	DATA STARTED	: 05 Desember 2013
GROUND WATER ELEVATION	: -	DATA FINISHED	:

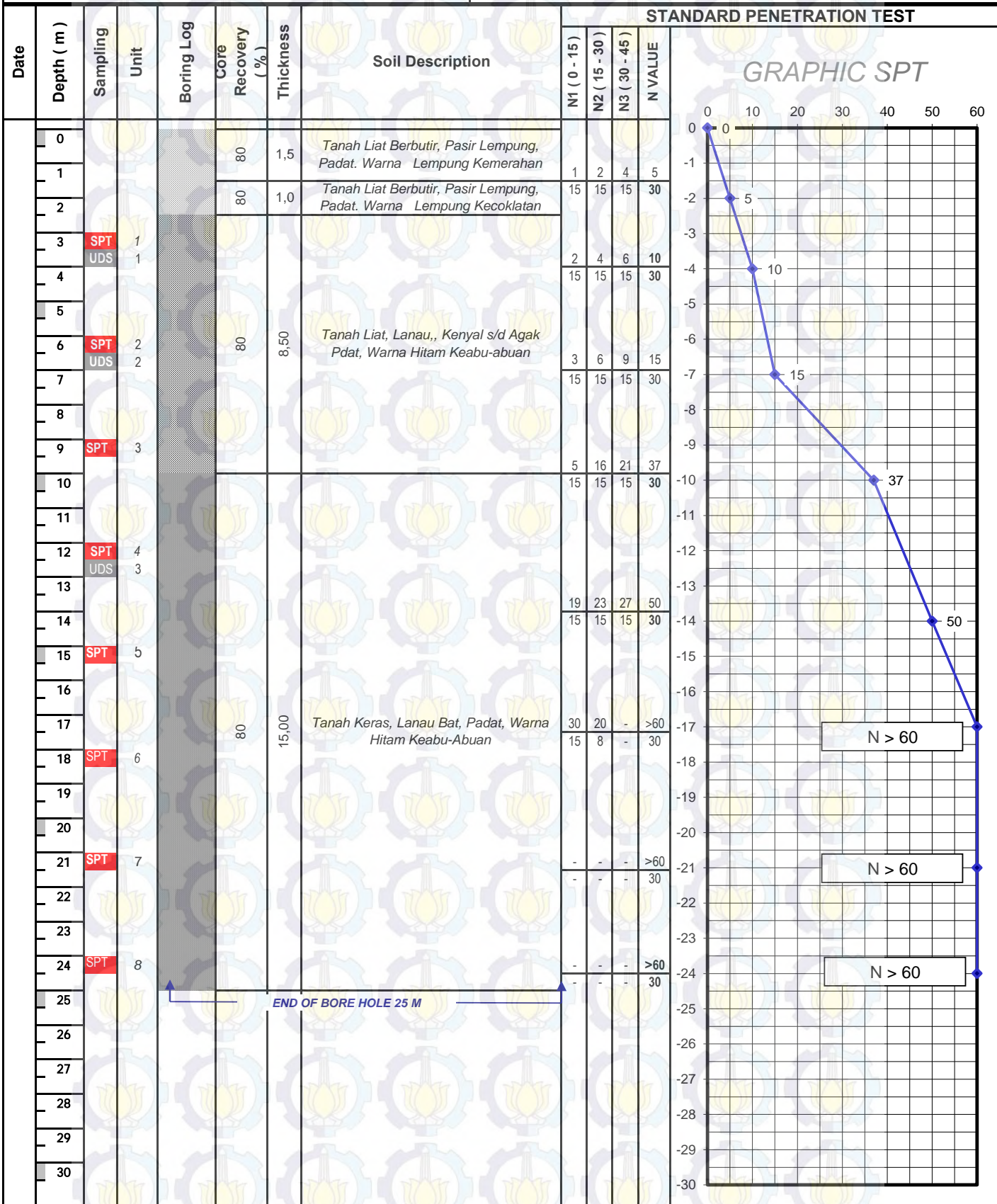


LEGEND	UDS	Pengambilan Sampel Tabung	M'd	Pr	Sheet : 1 of 1
	SPT	Pengujian SPT	D'r	Tg	
			C'h	Kd	

BORING LOG EXPLORATION

PERENCANAAN TEKNIS DAN DED PENANGANAN LONGSORAN JALAN 2 JALUR

BOR TYPE	: Rotary Core Drilling	LOCATION	: Jalan 2 Jalur KM 9+000, Tenggarong Seberang
BORE HOLE NO.	: BH. -03	BOR MASTER	: Tomi
GROUNG ELEVATION	: Eksisting	DATA STARTED	: 05 Desember 2013
GROUND WATER ELEVATION	: -	DATA FINISHED	:

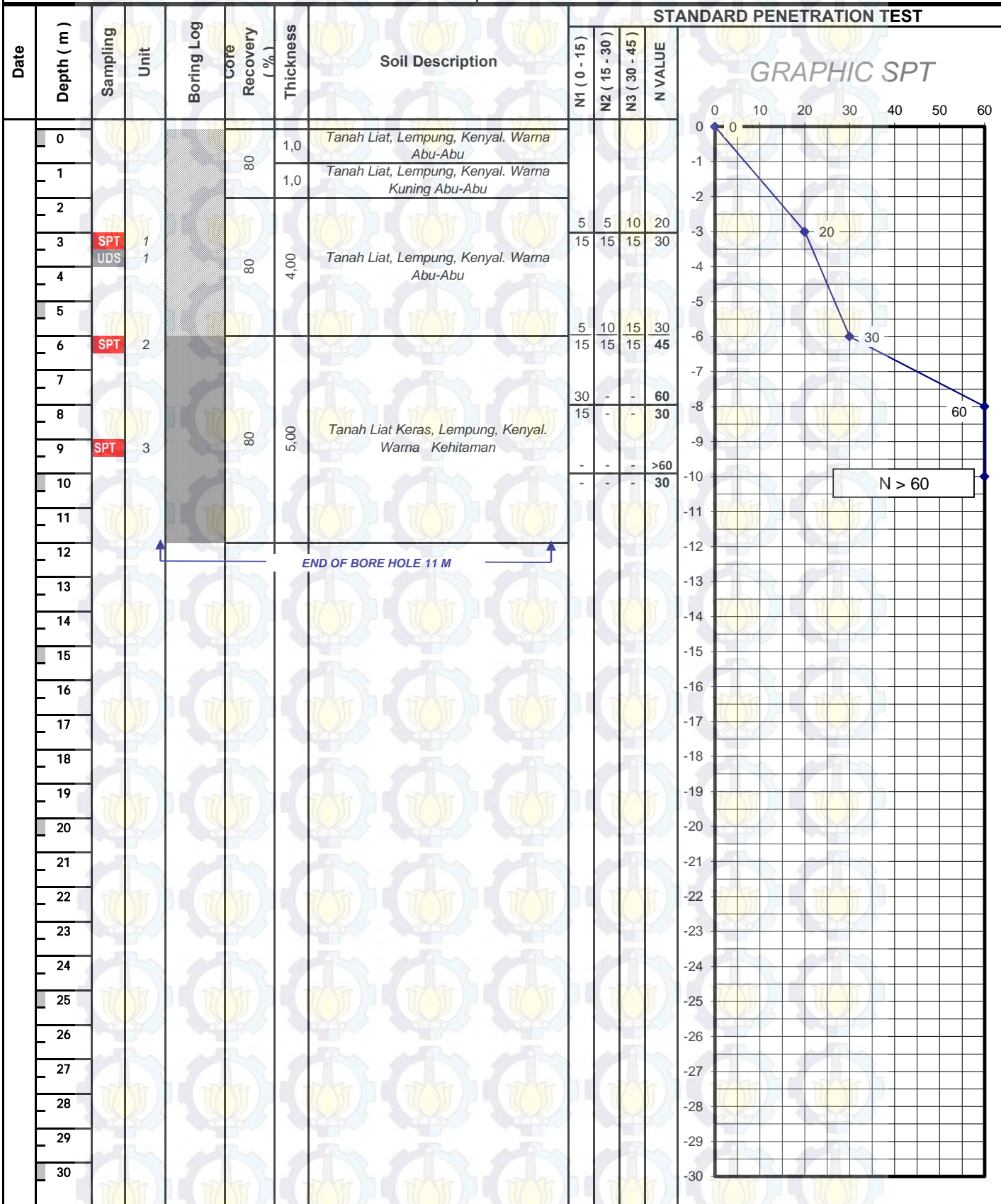


LEGEND	UDS	Pengambilan Sampel Tabung	M'd	Pr	Sheet : 1 of 1
	SPT	Pengujian SPT	D'r	Tg	
			C'h	Kd	

BORING LOG EXPLORATION

PERENCANAAN TEKNIS DAN DED PENANGANAN LONGSORAN JALAN 2 JALUR

BOR TYPE	: Rotary Core Driling	LOCATION	: Jalan 2 Jalur KM 9+000, Tenggarong Seberang
BORE HOLE NO.	: BH. - 07	BOR MASTER	: Tomi
GROUNG ELEVATION	: Eksisting	DATA STARTED	: 07 Desember 2013
GROUND WATER ELEVATION	: -	DATA FINISHED	:

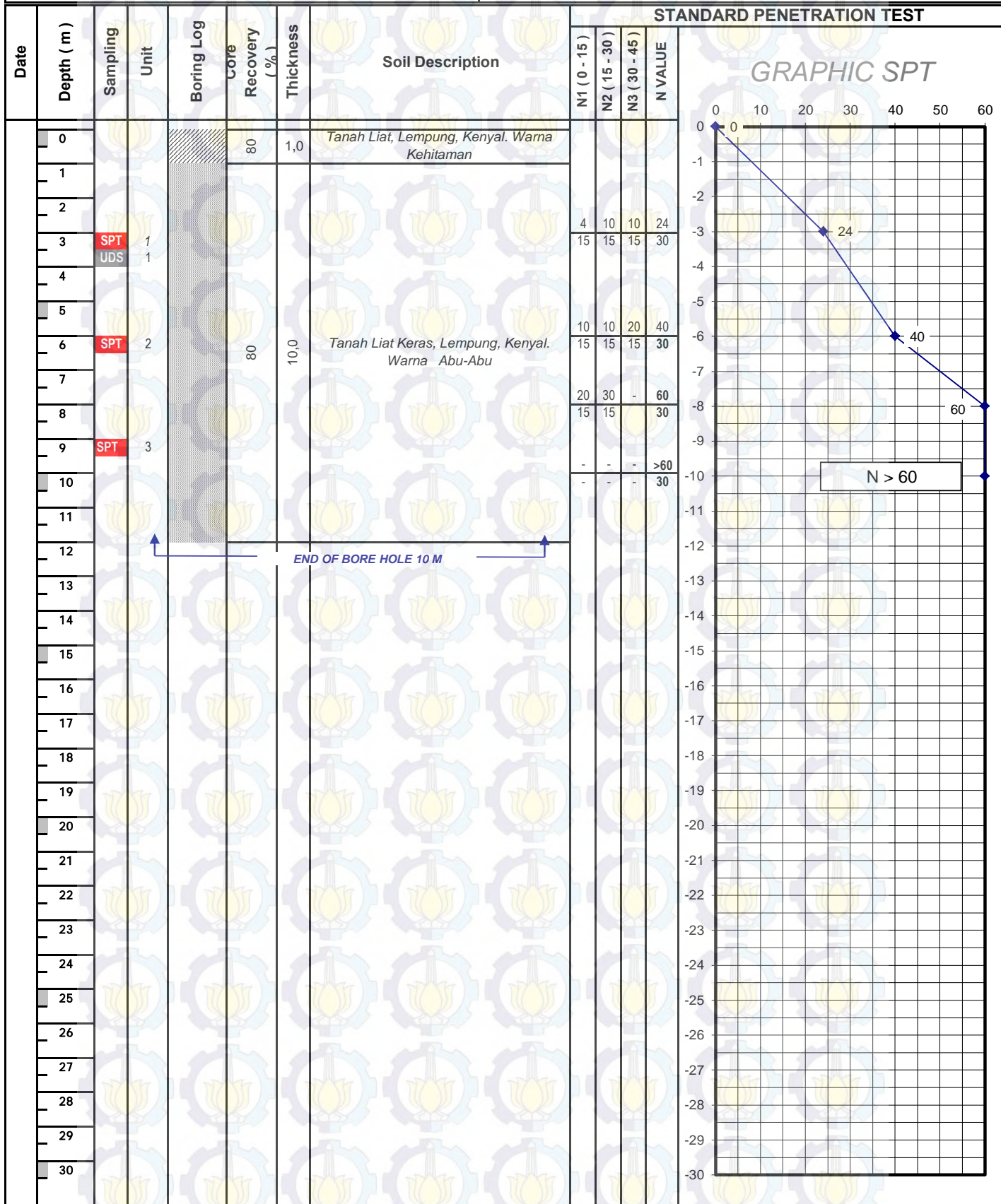


LEGEND	Pengambilan Sampel Tabung	M'd	Pr	Sheet : 1 of 1
	Pengujian SPT	D'r	Tg	
		C'h	Kd	

BORING LOG EXPLORATION

PERENCANAAN TEKNIS DAN DED PENANGANAN LONGSORAN JALAN 2 JALUR

BOR TYPE	: Rotary Core Driling	LOCATION	: Jalan 2 Jalur KM 9+000, Tenggarong Seberang
BORE HOLE NO.	: BH. - 08	BOR MASTER	: Nandang
GROUNG ELEVATION	: Eksisiting	DATA STARTED	: 07 Desember 2013
GROUND WATER ELEVATION	: -	DATA FINISHED	:



LEGEND	UDS	Pengambilan Sampel Tabung	M'd	Pr	Sheet : 1 of 1
	SPT	Pengujian SPT	D'r	Tg	
			C'h	Kd	



NATIONAL EDUCATION DEPARTEMENT
STATE POLYTECHNIC OF SAMARINDA
CIVIL ENGINEERING DEPARTEMENT

UNIT WEIGHT TEST (γ)

Description Of Soil : Tanah Lempung kepasiran Test No. : _____
Project Location : Penanganan Longsoran Jalan 2 Jalur Date : Desember 2013
Sample No. : Tenggarong Seberang Tested By : Suryadi
 : 01 Boring No. : -
 : 6.0 meter Depth : 6.0 meter

No.	Soil Specimen	Unit	Sample - 1	Sample - 2
1	Mold/Ring No.	-	1	2
2	Weight of Mold/Ring (W1)	gram	57,670	57,670
3	Weight Of Mold/Ring + Soil (W2)	gram	175,300	176,720
4	Weight Of Soil (W3 = W2 - W1)	gram	117,630	119,050
5	Diameter Of Mold/Ring	cm	6,330	6,330
6	Length Of Mold/Ring	cm	2,000	2,000
7	Volume Of Mold/Ring	cm ³	62,400	62,400
8	Unit Weight (γ)	gram/cm ³	1,885	1,908
9	Average Of Unit Weight (γ)	gram/cm ³	1,896	

Remarks :

$$\gamma = \frac{\text{Weight Of Soil}}{\text{Volume Of Soil}}$$

$$\gamma = 1,896 \text{ gram/cm}^3$$

DATA ALTERNATIF, PROYEK KM 11

BORING LOG EXPLORATION

PENANGGULANGAN LONGSORAN JALAN

BOR TYPE : Rotary Core Drilling			LOCATION : Jalan Jalur 2 Tenggarong Seberang		
BORE HOLE NO. : BH. 01 (KM 11+050)			BOR MASTER : Jajang		
GROUND ELEVATION : On Site / Existing			DATE STARTED : 4 Juni 2014		
GROUND WATER ELEV. : -			DATE FINISHED : 5 Juni 2014		
STANDARD PENETRATION TEST					
Date	Sampling	Unit	Boring Log	Core Recovery (%)	Soil Description
0					
1	SPT 1	1		90	Tanah Kuning
2	SPT 2	2			
3	SPT 3	3			
4	SPT 4	4			
5	SPT 5	5			
6	SPT 6	6			
7	SPT 7	7			
8	SPT 8	8			
9	SPT 9	9			
10	SPT 10	10			
11	SPT 11	11			
12	SPT 12	12			
13	SPT 13	13			
14	SPT 14	14			
15	SPT 15	15			
16	SPT 16	16			
17	SPT 17	17			
18	SPT 18	18			
19	SPT 19	19			
20	SPT 20	20			
21	SPT 21	21			
22	SPT 22	22			
23	SPT 23	23			
24	SPT 24	24			
25	SPT 25	25			
26	SPT 26	26			
27	SPT 27	27			
28	SPT 28	28			
29	SPT 29	29			
30	SPT 30	30			
END OF BORE HOLE 36.5 M					
GRAPHIC SPT					
STANDARD PENETRATION TEST					
Note :			SPT	Pengambilan Sampel Tabung	Sheet : 1 of 1
			SPT	Pengujian SPT	

BORING LOG EXPLORATION

PENANGGULANGAN LONGSORAN JALAN

BOR TYPE	Rotary Core Drilling	LOCATION	Jalan Jalur 2 Tenggarong Seberang
BORE HOLE NO.	BH. 02 (KM 11+050)	BOR MASTER	Jajang
GROUND ELEVATION	On Site / Existing	DATE STARTED	06 Juni 2014
GROUND WATER ELEV.	—	DATE FINISHED	07 Juni 2014

Date	Depth (m)	Sampling	Unit	Boring Log	Core Recovery (%)	Time	Thickness	Soil Description			STANDARD PENETRATION TEST		
								N1 (0 - 15)	N2 (15 - 30)	N3 (30 - 45)	N VALUE		
	0												
	1												
	2	SPT	1	1	90	06 Juni 2014	4.5	Tanah Agak Lunak, Lempung Kepasiran, Agak Kenyal, Warna Kuning	1	1	2	3	
	3								15	15	15	30	
	4	SPT	2	2	80				1	2	4	6	
	5								15	15	15	30	
	6	SPT	3	3	80				2	3	5	8	
	7								15	15	15	30	
	8	SPT	4	4	80	06 Juni 2014	9.0	Tanah Liat Berbutir, Lempung Kepasiran, Organik, Kenyal/Plastis dan Lepas, Warna Abu-abu	2	5	8	13	
	9								15	15	15	30	
	10	SPT	5	5	80				3	4	10	14	
	11								15	15	15	30	
	12	SPT	6	6	80				3	5	13	18	
	13								15	15	15	30	
	14	SPT	7	7	80	07 Juni 2014	5.5	Tanah Liat, Lempung/Lanau, Organik, Padat, Warna Hitam Kecoklatan	4	6	15	21	
	15								15	15	15	30	
	16	SPT	8	8	80				4	8	17	25	
	17								15	15	15	30	
	18	SPT	9	9	80				5	10	18	28	
	19								15	15	15	30	
	20	SPT	10	10	80				5	11	19	30	
	21								15	15	15	30	
	22	SPT	11	11	80				6	12	20	32	
	23								15	15	15	30	
	24	SPT	12	12	80				6	12	21	33	
	25								15	15	15	30	
	26	SPT	13	13	70		3.5	Tanah Keras, Lempung/Lanau, Organik, Padat, Warna Abu-abu	8	15	22	37	
	27								15	15	15	30	
	28	SPT	14	14	70				8	18	24	42	
	29								15	15	15	30	
	30												

STANDARD PENETRATION TEST

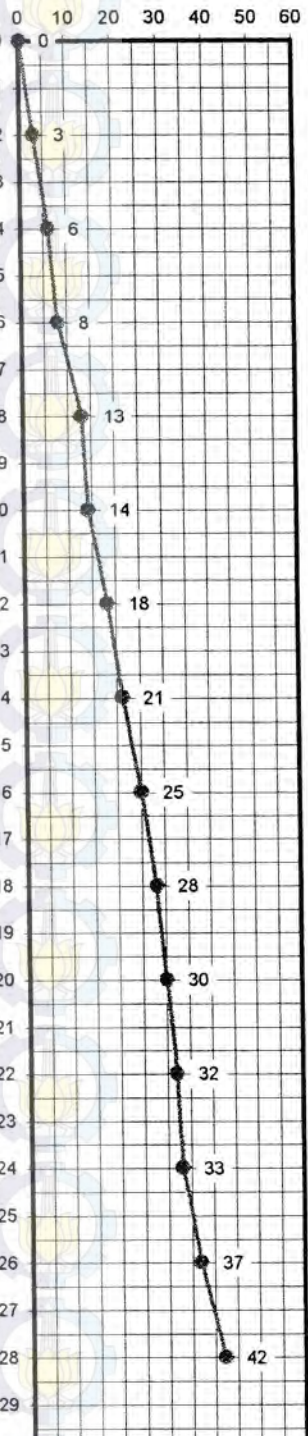
UDS
SPT

Pengambilan Sampel Tabung
Pengujian SPT

Sheet :
1 of 1

Note :

GRAPHIC SPT



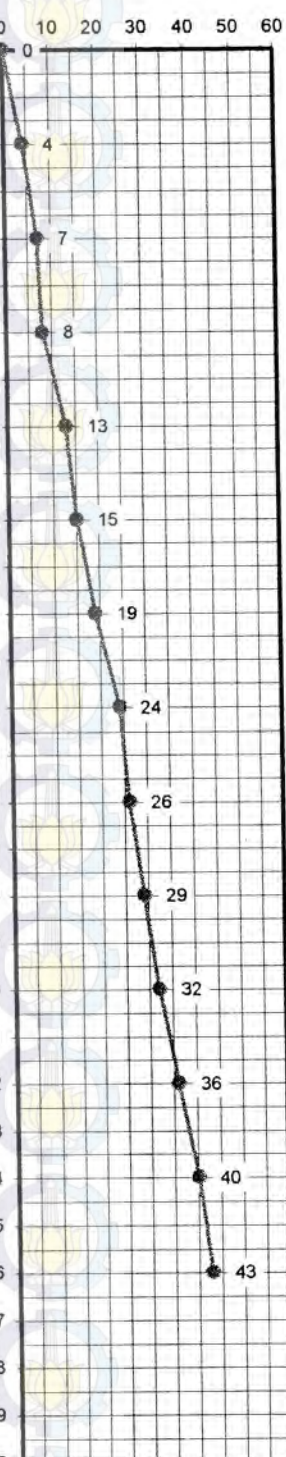
BORING LOG EXPLORATION

PENANGGULANGAN LONGSORAN JALAN

BOR TYPE	: Rotary Core Drilling	LOCATION	: Jalan Jalur 2 Tenggarong Seberang
BORE HOLE NO.	: BH. 03 (KM 11+050)	BOR MASTER	: Jajang
GROUND ELEVATION	: On Site / Existing	DATE STARTED	: 08 Juni 2014
GROUND WATER ELEV.	: —	DATE FINISHED	: 09 Juni 2014

Date	Depth (m)	Sampling	Unit	Boring Log	Core Recovery (%)	Time	Thickness	Soil Description				STANDARD PENETRATION TEST			
								N1 (0 - 15)	N2 (15 - 30)	N3 (30 - 45)	N VALUE	N1 (0 - 15)	N2 (15 - 30)	N3 (30 - 45)	N VALUE
0															
1															
2		SPT	1		90		6.0	Tanah Lunak, Lempung Organik, Lemah-Agak Kenyal, Warna Hitam	1	2	2	4			
3									15	15	15	30			
4		SPT	2		90		6.0		2	2	5	7			
5									15	15	15	30			
6		SPT	3		90		6.0		2	3	5	8			
7									15	15	15	30			
8		SPT	4		90		7.0	Tanah Liat, Lempung Organik, Kenyal/Plastis, Warna Abu-abu Kehitaman	3	5	8	13			
9									15	15	15	30			
10		SPT	5		90		7.0		4	5	10	15			
11									15	15	15	30			
12		SPT	6		90		7.0		5	7	17	24			
13									15	15	15	30			
14		SPT	7		90		7.0		6	10	19	29			
15									15	15	15	30			
16		SPT	8		80		7.0	Tanah Liat, Lempung, Kenyal/Plastis, Warna Abu-abu	7	12	24	36			
17									15	15	15	30			
18		SPT	9		80		7.0		8	14	29	43			
19									15	15	15	30			
20		SPT	10		80		6.0	Tanah Keras, Lempung/Lenau, Organik, Padat, Warna Hitam	9	15	15	30			
21									15	15	15	30			
22		SPT	11		80		6.0		10	15	15	30			
23									15	15	15	30			
24		SPT	12		80		6.0		11	15	15	30			
25									15	15	15	30			
26		SPT	13		80		6.0		12	15	15	30			
27									15	15	15	30			
28									15	15	15	30			
29									15	15	15	30			
30									15	15	15	30			

GRAPHIC SPT



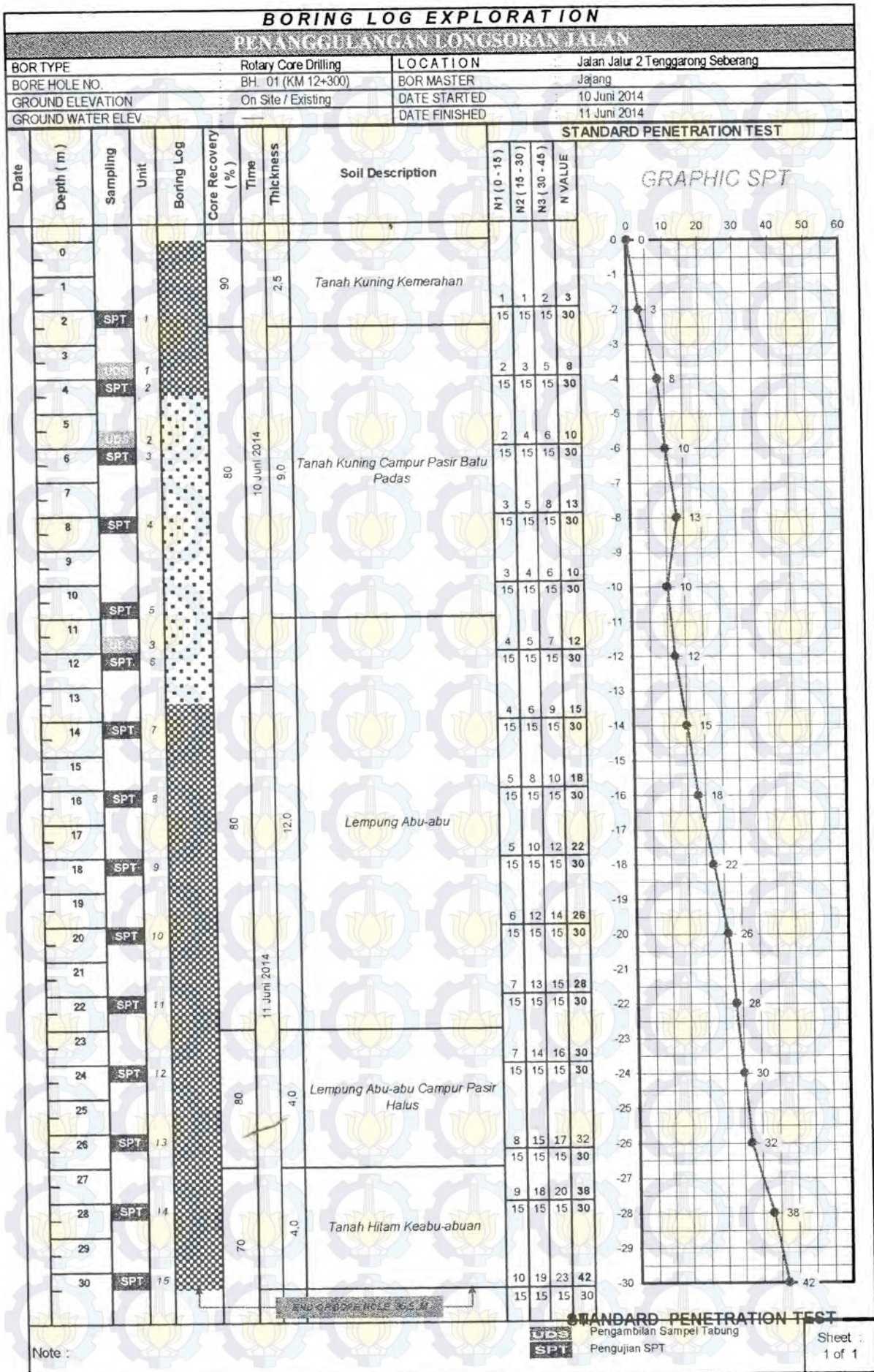
STANDARD PENETRATION TEST

Pengambilan Sampel Tabung

Pengujian SPT

Note :

Sheet 1 of 1



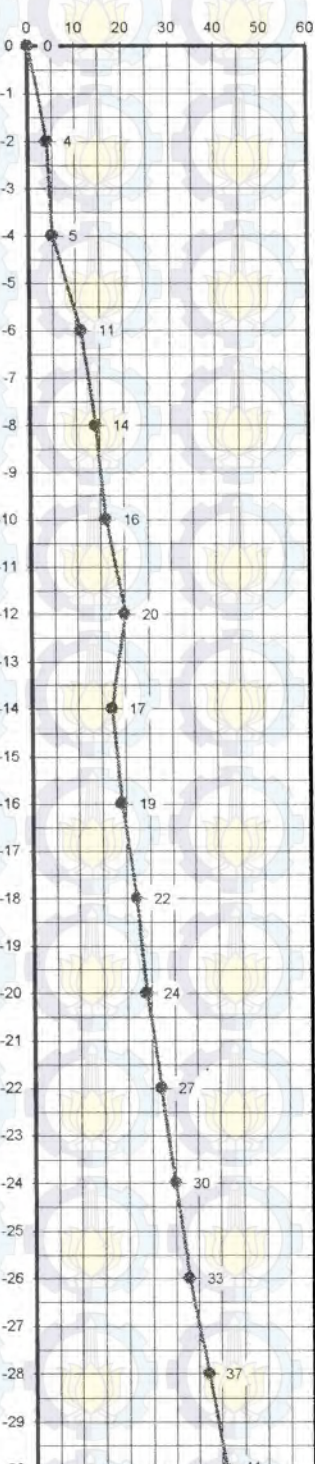
BORING LOG EXPLORATION
PENANGKUTAN LONGSORAN JALAN

BOR TYPE	Rotary Core Drilling	LOCATION	Jalan Jalur 2 Tenggarong Seberang
BORE HOLE NO.	BH. 02 (KM 12+300)	BOR MASTER	Jajang
GROUND ELEVATION	On Site / Existing	DATE STARTED	12 Juni 2014
GROUND WATER ELEV.		DATE FINISHED	13 Juni 2014

Date	Depth (m)	Sampling	Unit	Boring Log	Core Recovery (%)	Time	Thickness	Soil Description			STANDARD PENETRATION TEST		
								N1 (0 - 15)	N2 (15 - 30)	N3 (30 - 45)	N VALUE		
0													
1													
2		SPT	1										
3													
4		SPT	2										
5													
6		SPT	3										
7													
8		SPT	4										
9													
10		SPT	5										
11													
12		SPT	6										
13													
14		SPT	7										
15													
16		SPT	8										
17													
18		SPT	9										
19													
20		SPT	10										
21													
22		SPT	11										
23													
24		SPT	12										
25													
26		SPT	13										
27													
28		SPT	14										
29													
30		SPT	15										

STANDARD PENETRATION TEST

GRAPHIC SPT



STANDARD PENETRATION TEST

SPT Pengambilan Sampel Tabung

SPT Pengujian SPT

Note :

Sheet 1
1 of 1

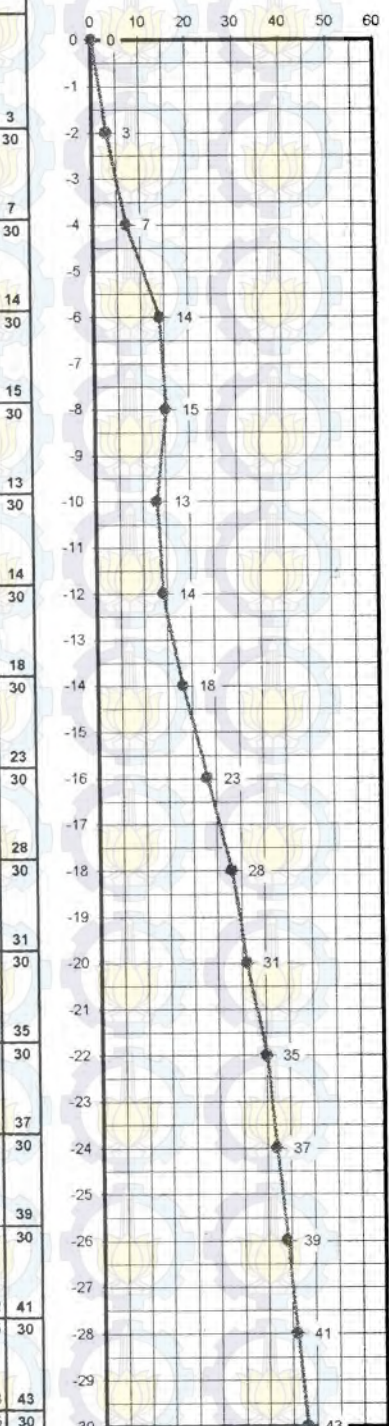
BORING LOG EXPLORATION

PENANGGULANGAN LONGSORAN JALAN

BOR TYPE	Rotary Core Drilling	LOCATION	Jalan Jatur 2 Tenggarong Seberang
BORE HOLE NO.	BH. 03 (KM 12+300)	BOR MASTER	Jajang
GROUND ELEVATION	On Site / Existing	DATE STARTED	14 Juni 2014
GROUND WATER ELEV.		DATE FINISHED	15 Juni 2014

Date	Depth (m)	Sampling	Unit	Boring Log	Core Recovery (%)	Time	Thickness	Soil Description			STANDARD PENETRATION TEST		
								N1 (0 - 15)	N2 (15 - 30)	N3 (30 - 45)	N VALUE		
	0												
	1												
	2	SPT	1										
	3		2										
	4	SPT	2										
	5		3										
	6	SPT	3										
	7		4										
	8	SPT	4										
	9		5										
	10	SPT	5										
	11		6										
	12	SPT	6										
	13		7										
	14	SPT	7										
	15		8										
	16	SPT	8										
	17		9										
	18	SPT	9										
	19		10										
	20	SPT	10										
	21		11										
	22	SPT	11										
	23		12										
	24	SPT	12										
	25		13										
	26	SPT	13										
	27		14										
	28	SPT	14										
	29		15										
	30	SPT	15										
END OF BOREHOLE 3338													

GRAPHIC SPT



STANDARD PENETRATION TEST

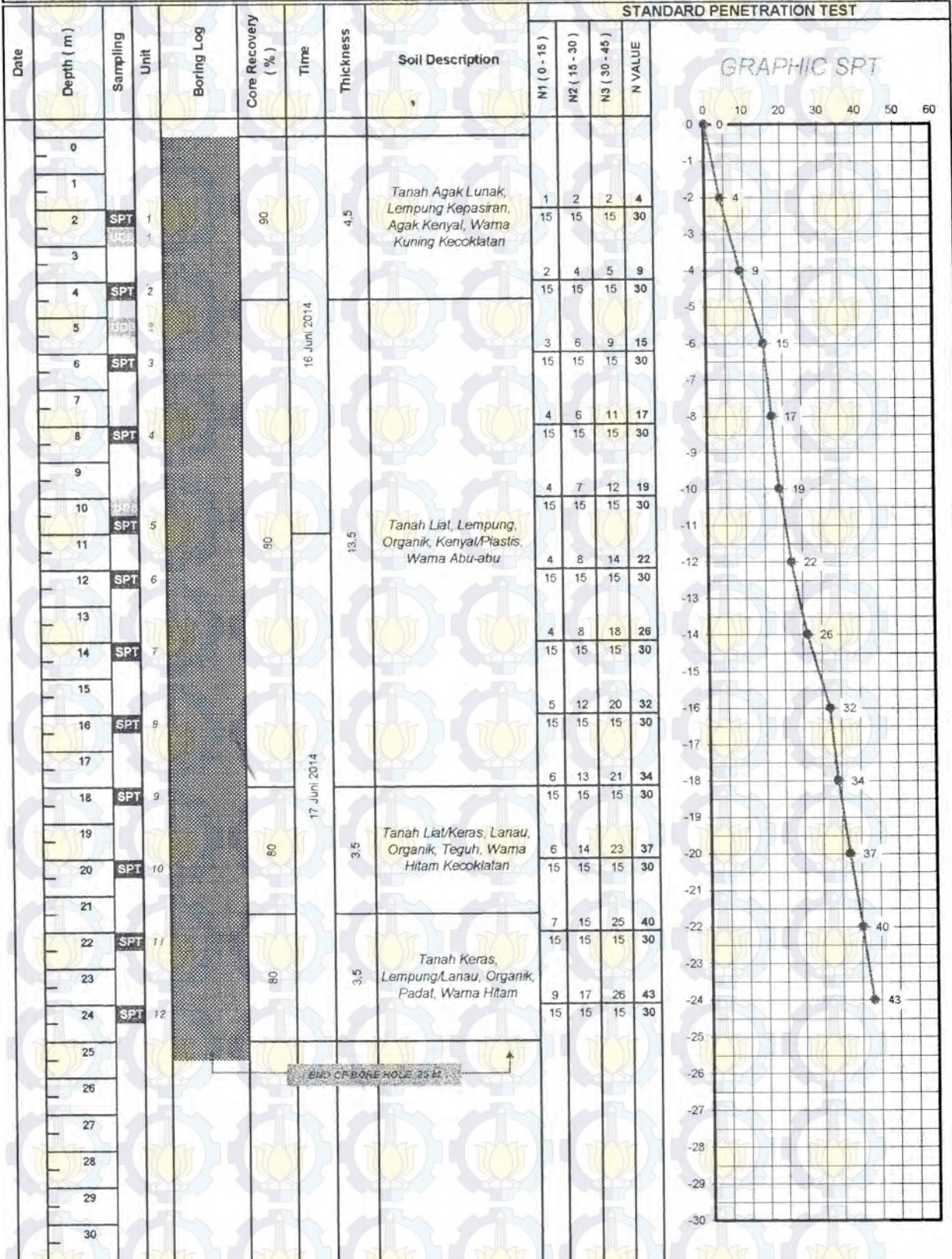
SPT Pengambilan Sampel Tabung
SPT Pengujian SPT

Sheet :
1 of 1

Note :

BORING LOG EXPLORATION
PENANGKULANGAN LONGSORAN JALAN

BOR TYPE	Rotary Core Drilling	LOCATION	Jalan Jalur 2 Tenggarong Seberang
BORE HOLE NO.	BH. 04 (KM 12+300)	BOR MASTER	Jajang
GROUND ELEVATION	On Site / Existing	DATE STARTED	16 Juni 2014
GROUND WATER ELEV.		DATE FINISHED	17 Juni 2014


STANDARD PENETRATION TEST

 Pengambilan Sampel Tabung
Pengujian SPT

 Sheet 1
of 1

Note :

UNIT WEIGHT TEST (γ)

Description Of Soil		Test No.		
		Date	: Juli 2014	
Project Location Sample No.		Tested By	: Work Team	
		Boring No	: BH. 01	
		Depth	: 3.0 meter	
No.	Soil Specimen	Unit	Sample - 1	Sample - 2
1	MoldRing No.	-	1	2
2	Weight of MoldRing (W1)	gram	57,670	57,670
3	Weight Of MoldRing + Soil (W2)	gram	169,750	169,932
4	Weight Of Soil (W3 = W2 - W1)	gram	112,080	112,262
5	Diameter Of MoldRing	cm	6,330	6,330
6	Length Of MoldRing	cm	2,000	2,000
7	Volume Of MoldRing	cm ³	62,400	62,400
8	Unit Weight (γ)	gram/cm ³	1,796	1,796
9	Average Of Unit Weight (γ)	gram/cm ³	1,796	

Remarks :

$$\gamma = \frac{\text{Weight Of Soil}}{\text{Volume Of Soil}}$$

$$\gamma = 1,796 \text{ gram/cm}^3$$

UNIT WEIGHT TEST (γ)

Description Of Soil		Test No.		
		Date	: Juli 2014	
Project Location Sample No.		Tested By	: Work Team	
		Boring No	: BH. 01	
		Depth	: 5.0 meter	
No.	Soil Specimen	Unit	Sample - 1	Sample - 2
1	MoldRing No.	-	1	2
2	Weight of MoldRing (W1)	gram	57,670	57,670
3	Weight Of MoldRing + Soil (W2)	gram	170,144	171,930
4	Weight Of Soil (W3 = W2 - W1)	gram	112,474	114,260
5	Diameter Of MoldRing	cm	6,330	6,330
6	Length Of MoldRing	cm	2,000	2,000
7	Volume Of MoldRing	cm ³	62,400	62,400
8	Unit Weight (γ)	gram/cm ³	1,802	1,831
9	Average Of Unit Weight (γ)	gram/cm ³	1,817	

Remarks :

$$\gamma = \frac{\text{Weight Of Soil}}{\text{Volume Of Soil}}$$

$$\gamma = 1,817 \text{ gram/cm}^3$$

UNIT WEIGHT TEST (γ)

Description Of Soil		Test No.		
		Date	: Juli 2014	
Project Location Sample No.		Tested By	: Work Team	
		Boring No	: BH. 01	
		Depth	: 10.0 meter	
No.	Soil Specimen	Unit	Sample - 1	Sample - 2
1	MoldRing No.	-	1	2
2	Weight of MoldRing (W1)	gram	57,670	57,670
3	Weight Of MoldRing + Soil (W2)	gram	169,800	167,100
4	Weight Of Soil (W3 = W2 - W1)	gram	112,130	109,430
5	Diameter Of MoldRing	cm	6,330	6,330
6	Length Of MoldRing	cm	2,000	2,000
7	Volume Of MoldRing	cm ³	62,400	62,400
8	Unit Weight (γ)	gram/cm ³	1,797	1,754
9	Average Of Unit Weight (γ)	gram/cm ³	1,775	

Remarks :

$$\gamma = \frac{\text{Weight Of Soil}}{\text{Volume Of Soil}}$$

$$\gamma = 1,775 \text{ gram/cm}^3$$

UNIT WEIGHT TEST (γ)

Description Of Soil	Test No.			
Project Location Sample No.	Date			
Penanganan Longsoran Jalan (Lokasi 2) Jalan Tenggarong Seberang-Samarinda	Juli 2014			
Tested By Boring No. Depth	Work Team BH. 02 3.0 meter			
No.	Soil Specimen	Unit	Sample - 1	Sample - 2
1	MoldRing No.	-	9	10
2	Weight of MoldRing (W1)	gram	57,670	57,670
3	Weight Of MoldRing + Soil (W2)	gram	175,300	176,720
4	Weight Of Soil (W3 = W2 - W1)	gram	117,630	119,050
5	Diameter Of MoldRing	cm	6,330	6,330
6	Length Of MoldRing	cm	2,000	2,000
7	Volume Of MoldRing	cm ³	62,400	62,400
8	Unit Weight (γ)	gram/cm ³	1,885	1,908
9	Average Of Unit Weight (γ)	gram/cm ³	1,896	

Remarks :

$$\gamma = \frac{\text{Weight Of Soil}}{\text{Volume Of Soil}}$$

$$\gamma = 1,896 \text{ gram/cm}^3$$

UNIT WEIGHT TEST (γ)

Description Of Soil	Test No.			
Project Location Sample No.	Date			
Penanganan Longsoran Jalan (Lokasi I) Jalan Tenggarong Seberang-Samarinda	Juli 2014			
Tested By Boring No. Depth	Work Team BH. 02 5.0 meter			
No.	Soil Specimen	Unit	Sample - 1	Sample - 2
1	MoldRing No.	-	9	10
2	Weight of MoldRing (W1)	gram	57,670	57,670
3	Weight Of MoldRing + Soil (W2)	gram	173,790	175,700
4	Weight Of Soil (W3 = W2 - W1)	gram	116,120	118,030
5	Diameter Of MoldRing	cm	6,330	6,330
6	Length Of MoldRing	cm	2,000	2,000
7	Volume Of MoldRing	cm ³	62,400	62,400
8	Unit Weight (γ)	gram/cm ³	1,881	1,892
9	Average Of Unit Weight (γ)	gram/cm ³	1,876	

Remarks :

$$\gamma = \frac{\text{Weight Of Soil}}{\text{Volume Of Soil}}$$

$$\gamma = 1,876 \text{ gram/cm}^3$$

UNIT WEIGHT TEST (γ)

Description Of Soil	Test No.			
Project Location Sample No.	Date			
Penanganan Longsoran Jalan (Lokasi I) Jalan Tenggarong Seberang-Samarinda	Juli 2014			
Tested By Boring No. Depth	Work Team BH. 02 10.0 meter			
No.	Soil Specimen	Unit	Sample - 1	Sample - 2
1	MoldRing No.	-	11	12
2	Weight of MoldRing (W1)	gram	57,670	57,670
3	Weight Of MoldRing + Soil (W2)	gram	180,700	180,350
4	Weight Of Soil (W3 = W2 - W1)	gram	123,030	122,680
5	Diameter Of MoldRing	cm	6,330	6,330
6	Length Of MoldRing	cm	2,000	2,000
7	Volume Of MoldRing	cm ³	62,400	62,400
8	Unit Weight (γ)	gram/cm ³	1,972	1,966
9	Average Of Unit Weight (γ)	gram/cm ³	1,969	

Remarks :

$$\gamma = \frac{\text{Weight Of Soil}}{\text{Volume Of Soil}}$$

$$\gamma = 1,969 \text{ gram/cm}^3$$

DIRECT SHEAR TEST

Project : Penanganan Longsoran Jalan (Lokasi I)
 Location : Jalan Tenggarong Seberang-Samarinda
 Sample No. : BH. 01
 Sample Depth : 3.0 meter

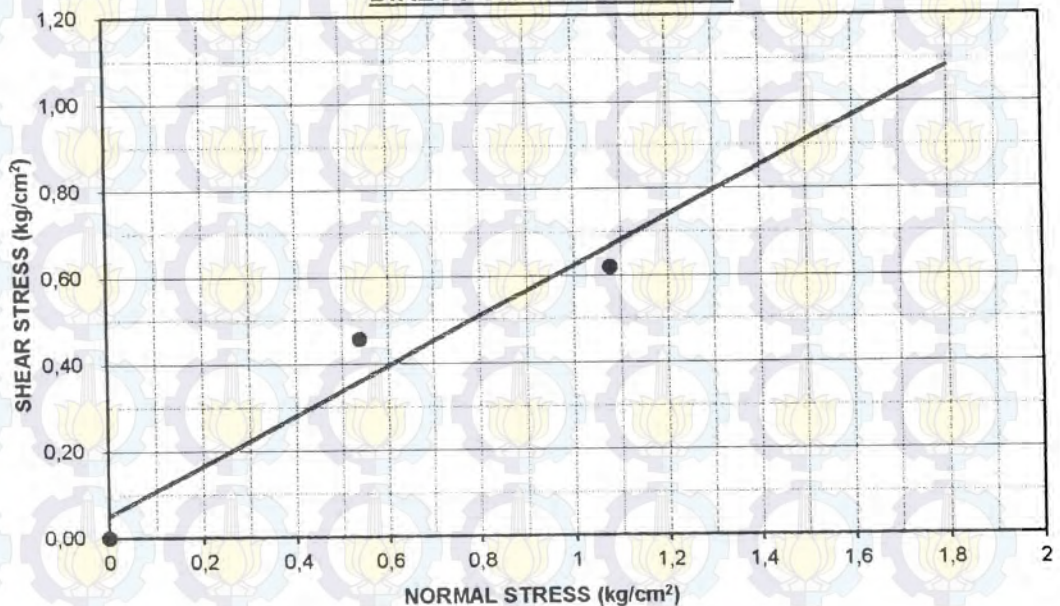
Tested By : Team
 Checked By : Suryadi
 Diameter : 6,32 cm
 Thickness : 1.96 cm

Elapsed Time (Minute)	Displacement (mm)	Load (1)		Load (2)		Load (3)		Normal Stress N/A (kg/cm²)	Shear Stress P/A (kg/cm²)
		16,90	kg	33,80	kg	50,70	kg		
		Proving Ring Dial	Shear Force	Proving Ring Dial	Shear Force	Proving Ring Dial	Shear Force		
1	125	2,70	1,02	11,70	7,14	23,60	14,28	(1)	(1)
2	250	6,10	4,08	15,70	9,18	26,00	16,32		
3	375	9,80	5,10	17,90	10,20	30,40	18,36	0,539	0,455
4	500	14,50	8,16	23,50	14,28	34,80	20,40		
5	625	18,20	11,22	26,70	16,32	38,00	23,46	(2)	(2)
6	750	21,40	13,26	29,50	17,34	41,00	25,50		
7	875	24,20	14,28	31,60	19,38	41,60	25,50	1,078	0,618
8	1000	23,20	14,28	31,00	19,38	40,40	24,48		
9	1125								
10	1250								
11	1375								
12	1500								

$$C = 0,05 \text{ kg/cm}^2$$

$$\theta = 29,83^\circ$$

DIRECT SHEAR GRAPHICS



DIRECT SHEAR TEST

Project : Penanganan Longsoran Jalan (Lokasi I)
 Location : Jalan Tenggarong Seberang-Samarinda
 Sample No. : BH. 01
 Sample Depth : 5.0 meter

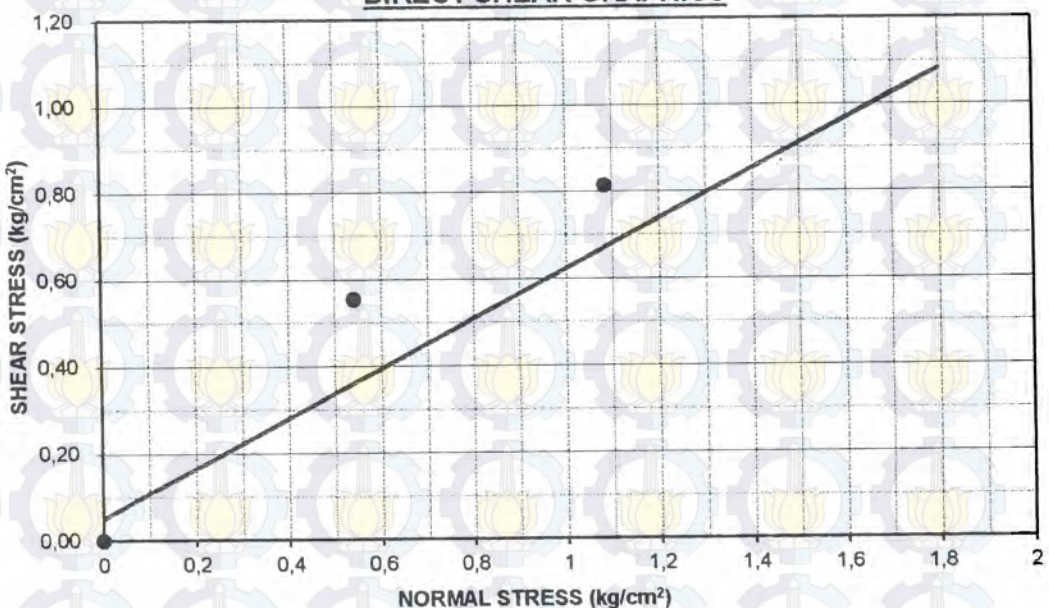
Tested By : Team
 Checked By : Suryadi
 Diameter : 6,32 cm
 Thickness : 1.96 cm

Elapsed Time (Minute)	Displacement (mm)	Load (1)		Load (2)		Load (3)		Normal Stress N/A (kg/cm ²)	Shear Stress P/A (kg/cm ²)
		17,00 kg	17,00 kg	34,00 kg	34,00 kg	51,00 kg	51,00 kg		
		Proving Ring Dial	Shear Force	Proving Ring Dial	Shear Force	Proving Ring Dial	Shear Force		
1	125	1,40	1,02	12,00	7,14	23,80	14,28	(1)	(1)
2	250	6,20	4,08	16,00	10,20	29,40	17,34		
3	375	10,00	6,12	22,60	13,26	37,70	22,44	0,542	0,553
4	500	17,20	10,20	29,10	17,34	44,80	26,52		
5	625	25,00	15,30	35,20	21,42	48,00	29,58	(2)	(2)
6	750	29,50	17,34	42,60	25,50	51,40	31,62		
7	875	26,90	16,32	42,20	25,50	51,40	31,62	1,084	0,813
8	1000								
9	1125								
10	1250								
11	1375								
12	1500								

$$C = 0,05 \text{ kg/cm}^2$$

$$\Theta = 29,83^\circ$$

DIRECT SHEAR GRAPHICS



DIRECT SHEAR TEST

Project : Penanganan Longsoran Jalan (Lokasi I)
 Location : Jalan Tenggarong Seberang-Samarinda
 Sample No. : BH. 01
 Sample Depth : 10.0 meter

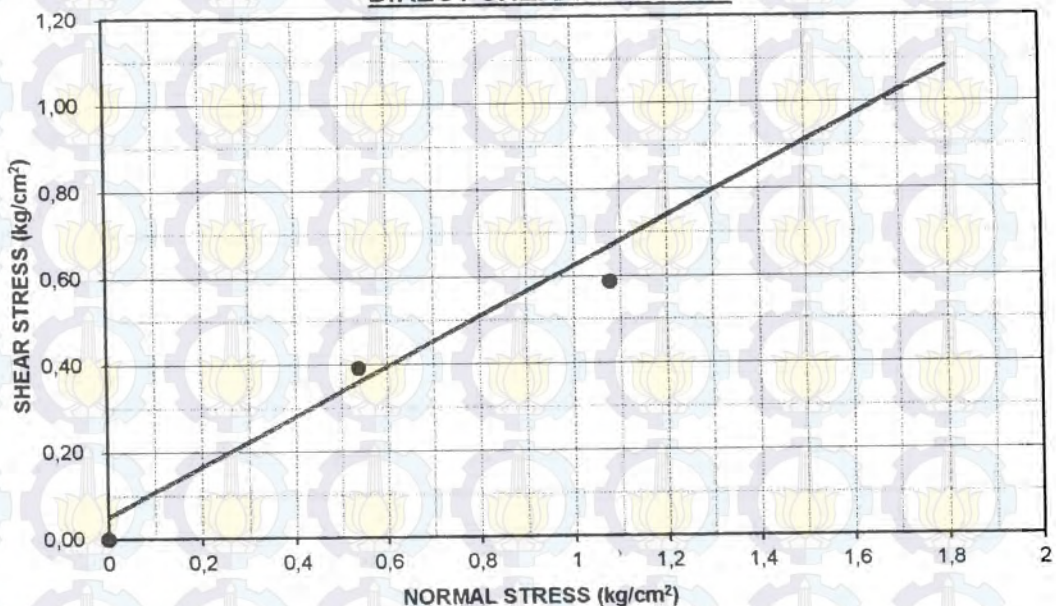
Tested By : Team
 Checked By : Suryadi
 Diameter : 6,32 cm
 Thickness : 1.96 cm

Elapsed Time (Minute)	Displacement (mm)	Load (1)		Load (2)		Load (3)		Normal Stress N/A (kg/cm²)	Shear Stress P/A (kg/cm²)
		16,90 kg	Proving Ring Dial	33,80 kg	Shear Force	50,70 kg	Proving Ring Dial		
1	125	1,60	1,02	7,80	4,08	16,00	10,20	(1)	(1)
2	250	4,00	2,04	11,70	7,14	18,60	11,22		
3	375	6,80	4,08	14,10	8,16	22,00	13,26	0,539	0,390
4	500	9,30	5,10	16,90	10,20	25,70	15,30		
5	625	11,30	7,14	21,00	13,26	30,10	18,36	(2)	(2)
6	750	16,43	10,20	25,00	15,30	34,60	20,40		
7	875	19,50	11,22	28,70	17,34	38,90	23,46		
8	1000	20,50	12,24	30,60	18,36	41,00	25,50		
9	1125	19,90	11,22	29,30	17,34	40,40	24,48		
10	1250								
11	1375								
12	1500								

$$C = 0,05 \text{ kg/cm}^2$$

$$\Theta = 29,83^\circ$$

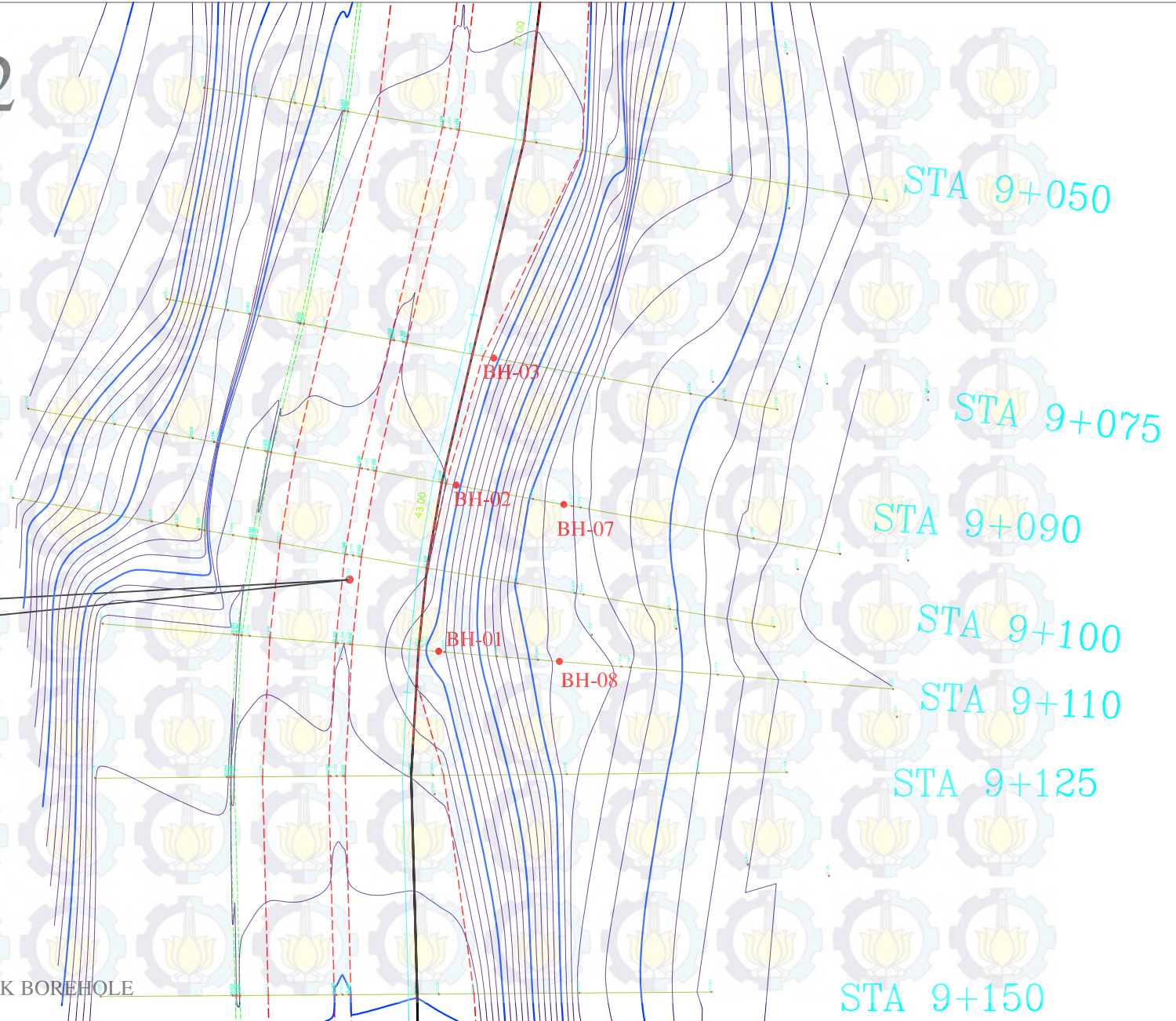
DIRECT SHEAR GRAPHICS

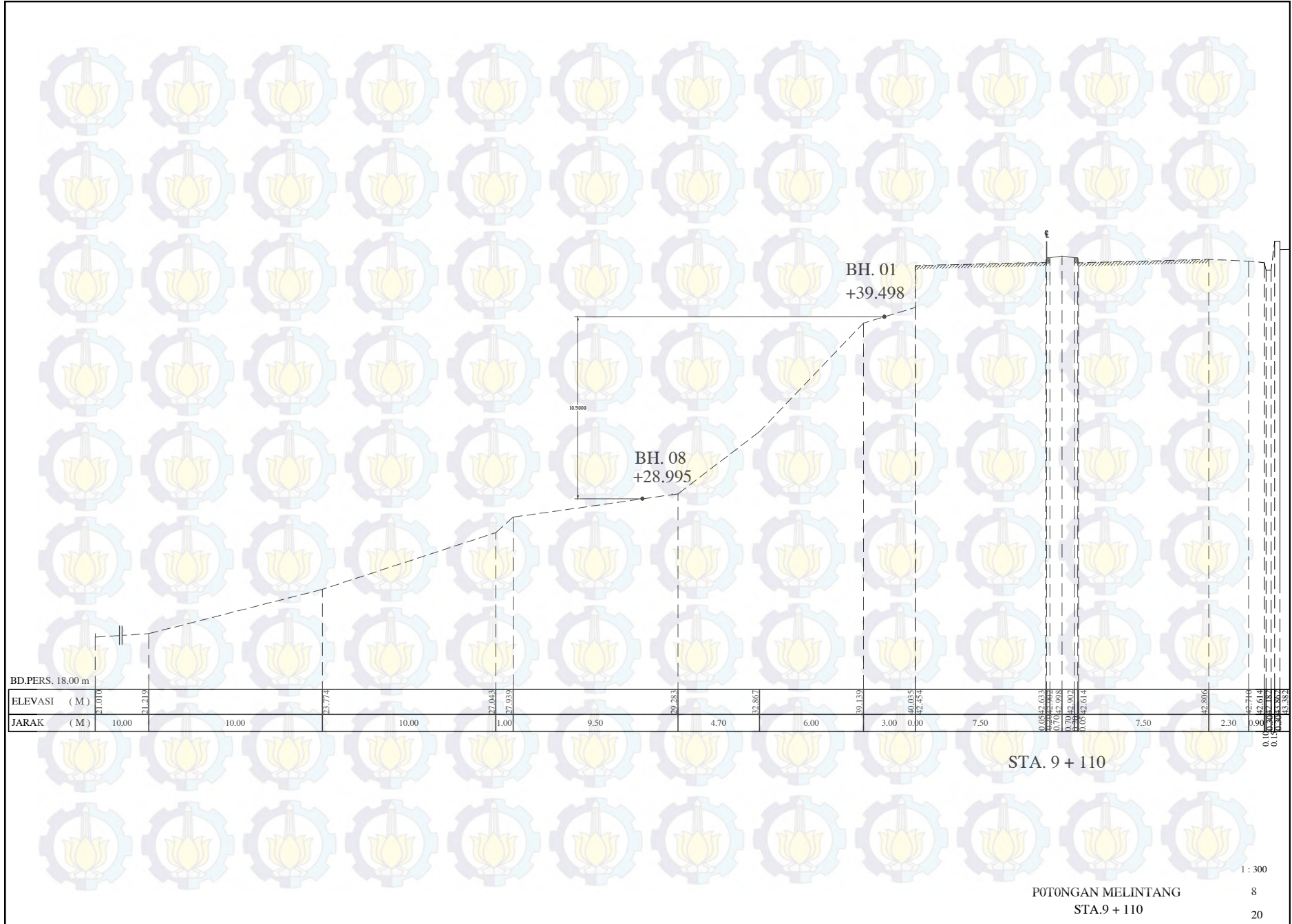


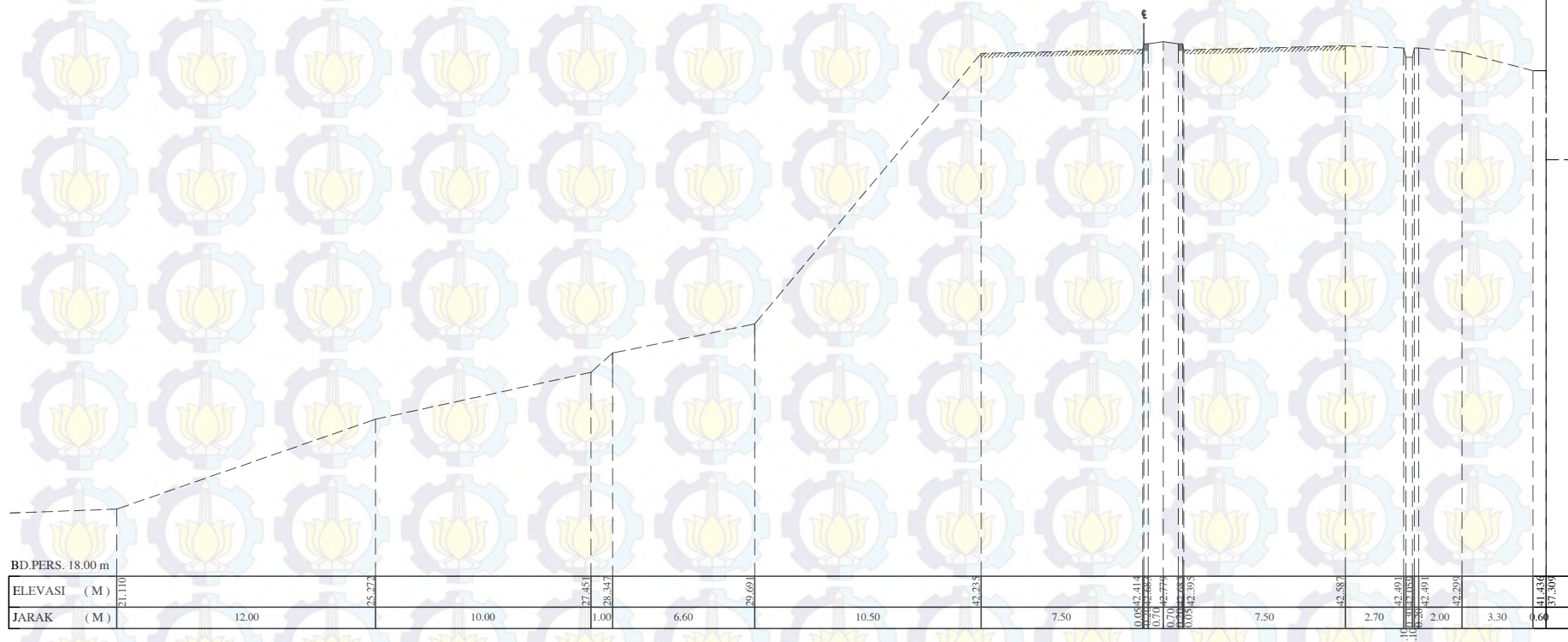
LAMPIRAN 2

BM 1
X = 507 305.818
Y = 9 952 800.645
Z = + 43.318

TOPOGRAFI PROYEK DAN ASUMSI LETAK TITIK BOREHOLE







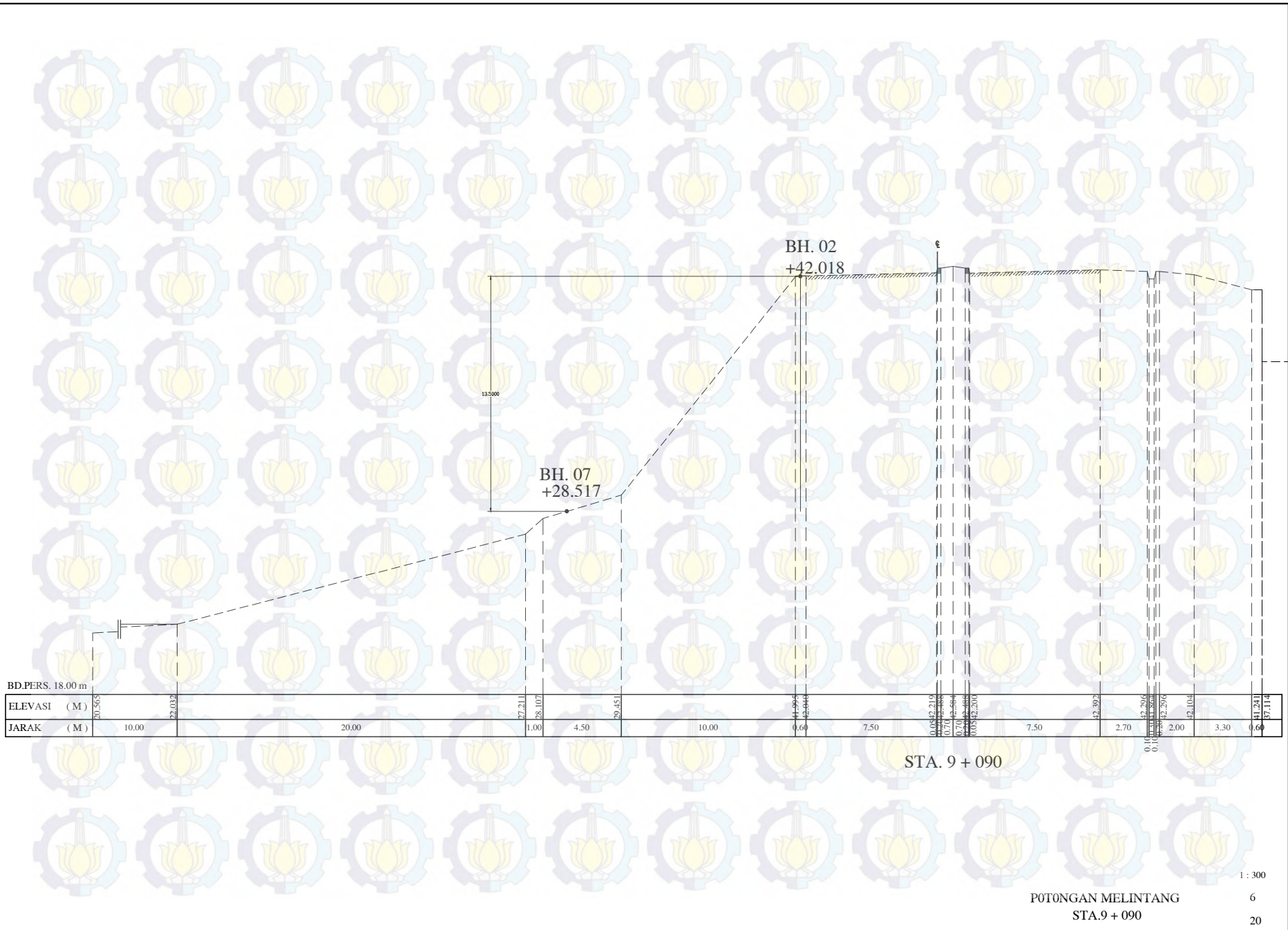
STA. 9 + 100

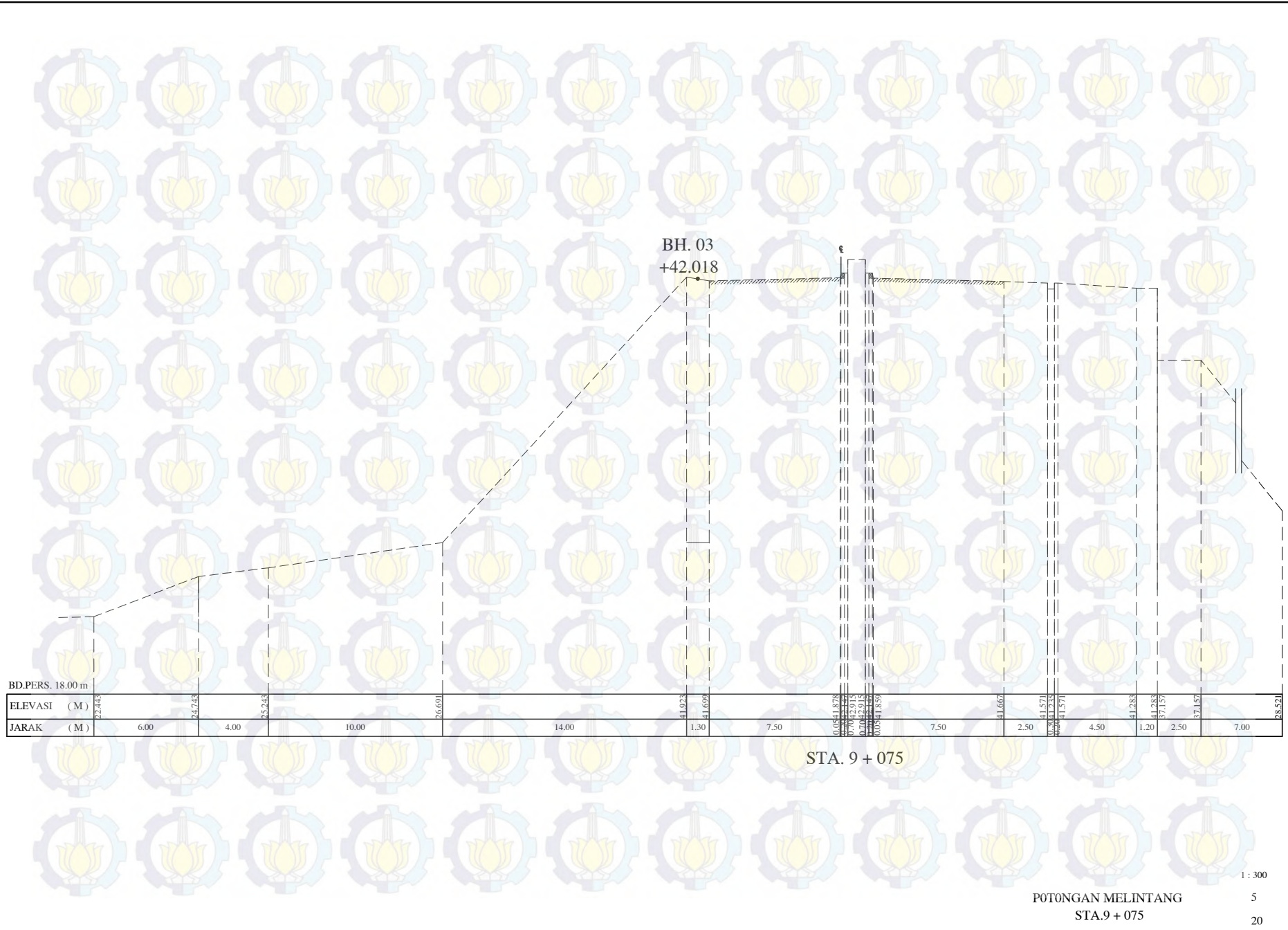
POTONGAN MELINTANG
STA.9 + 100

1 : 300

7

20





Lampiran 3

BH. 01						BH. 02					
Depth (m)	N-value	Soil Description	γ (g/cm3)	phi	C (kPa) *	Depth (m)	N-value	Soil Description	γ (g/cm3)	phi	C (kPa) #
0	0					0	0				
0,5	2,5					0,5	2,2				
1	5					1	4,3				
1,5	7,5					1,5	6,5				
2	10					2	8,7				
2,5	12,5					2,5	10,8				
3	15					3	13				
3,5	15,2					3,5	13,6				
4	15,3					4	14,1				
4,5	15,7	Tanah Liat, Lempung, Kenyal, Warna Merah	1,896	29,93	4,5	4,5	14,7	Tanah Liat, Lempung, Kenyal, Warna Merah Kekuningan	1,896	29,83	4,5
5	15,7					5	15,2				
5,5	15,8					5,5	15,8				
6	16					6	15				
6,5	16,2					6,5	15				
7	16,3					7	15				
7,5	16,5					7,5	15				
8	16,7					8	15				
8,5	16,8					8,5	15				
9	17					9	15				
9,5	19					9,5	16,7				
10	21				4,95	10	18,4				
10,5	23					10,5	20				
11	25					11	21,8				
11,5	27					11,5	23,5				
12	29					12	17				
12,5	30,2					12,5	18,3				
13	31,3					13	19,6				
13,5	32,5					13,5	20,9				
14	33,7					14	22,2				
14,5	34,8					14,5	23,5				
15	36					15	19				
15,5	40	Tanah Liat, Lempung, Kepasiran, Warna Kuning	1,876	29,93		15,5	22,5	Tanah Liat, Lempung Kepasiran Warna Kuning Keabuan	1,876	29,83	
16	44					16	26,1				
16,5	48					16,5	29,6				
17	52					17	33,1				
17,5	56					17,5	36,6				
18	60					18	56				
18,5	60					18,5	56,				
19	60					19	57,3				
19,5	60					19,5	58				
20	60					20	58,7				
20,5	60					20,5	59,3				
21	60					21	60				
21,5	60					21,5	60				
22	60	Tanah Liat, Kepasiran, berbutir sedang warna kelabu				22	60	Tanah Liat			
22,5	60					22,5	60	Kepasiran Berbutir Sedang Warna			
23	60					23	60				
23,5	60					23,5	60				
24	60					24	60				
24,5	60					24,5	60				
25	60					25	60				
25,5	60					25,5	60				
26	60					26	60				
26,5	60	Tanah keras, Lanau, Padat,				26,5	60				
27	60	Warna Hitam				27	60				
27,5	60	Keabu-abuan				27,5	60				
28	60					28	60				
28,5	60					28,5	60				
29	60					29	60				
29,5	60					29,5	60				
30	60					30	60				

Catatan:

* Hasil Trial and Error software Geoslope pada potongan STA 9+110

Mengikuti nilai C dari BH. 01

BH. 03					
Depth (m)	N-value	Soil Description	γ (g/cm3)	phi	C (kPa) "
0	0	Tanah Liat Berbutir,			
0,5	1,3	Pasir Lempung,			
1	2,5	Padat. Warna			
1,5	3,8	Lempung Kemerahan			
2	5	Tanah Liat Berbutir,			
2,5	6,9	Pasir Lempung,			
3	8,8				
3,5	10,8				
4	10				
4,5	10,2				
5	10,3				
5,5	10,5				
6	10,7	Tanah Liat, Lanau,,			
6,5	10,8	Kenyal s/d Agak			
7	15	Pdat, Warna Hitam			
7,5	15,5	Keabu-abuan			
8	15,9				
8,5	16				
9	16,9				
9,5	17,4				
10	37				
10,5	39				
11	40				
11,5	42				
12	44				
12,5	45				
13	47				
13,5	49				
14	50				
14,5	52,6				
15	55,2				
15,5	57,8				
16	60,3				
16,5	62,9				
17	60,0	Tanah Keras, Lanau			
17,5	60,0	Bat, Padat, Warna			
18	60,0	Hitam Keabu-Abuan			
18,5	60,0				
19	60,0				
19,5	60,0				
20	60,0				
20,5	60,0				
21	60,0				
21,5	60,0				
22	60,0				
22,5	60,0				
23	60,0				
23,5	60,0				
24	60,0				
24,5	60,0				
25	60,0				

BH. 07					
Depth (m)	N-value	Soil Description	γ (g/cm3)	phi	C (kPa) #
0	0	Tanah Liat, Lempung,			
0,5	3,3	Kenyal. Warna Abu-			
1	6,7	Abu			
1,5	10,0	Tanah Liat, Lempung,			
2	13,3	Kenyal. Warna Kuning			
2,5	16,7	Abu-Abu			
3	20	Tanah Liat, Lempung,			
3,5	20,6	Kenyal. Warna Abu-			
4	21,1	Abu			
4,5	22	Tanah Liat, Lempung,			
5	22,2	Kenyal. Warna Abu-			
5,5	22,8	Abu			
6	30	Tanah Liat Keras,			
6,5	30,2	Lempung, Kenyal.			
7	30,3	Warna Kehitaman			
7,5	30,5				
8	60				
8,5	60				
9	60				
9,5	60				
10	60				
10,5	60				
11	60				
11,5	60				
12	60				

Catatan:

Mengikuti nilai C dari BH. 08

" asumsi dengan memperhatikan nilai C dari BH. 01

BH. 08					
Depth (m)	N-value	Soil Description	γ (g/cm3)	phi	C (kPa) *
0	0	Tanah Liat,			
0,5	4,0	Lempung, Kenyal.			
1	8,0	Warna Kehitaman			
1,5	12,0				
2	16,0				
2,5	20,0				
3	24				
3,5	26,7				
4	29,3				
4,5	32				
5	34,7				
5,5	37,3				
6	40	Tanah Liat Keras,	1,817	29,83	
6,5	45,0	Lempung, Kenyal.			
7	50,0	Warna Abu-Abu			
7,5	55,0				
8	60				
8,5	60				
9	60				
9,5	60				
10	60				
10,5	60				
11	60				
11,5	60				
12	60				

Catatan:

* Hasil Trial and Error software Geoslope pada potongan STA 9+110

LAMPIRAN 4

STA. 9+110

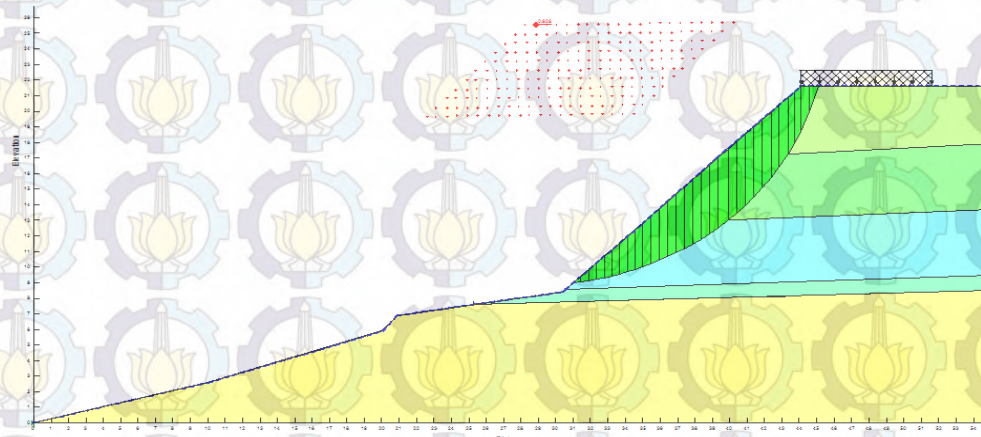
METODE	Tinggi muka air							
	0	-2	-4	-6	-8	-10	-12	-13,2
Ordinary								
FS	0,5013	0,5113	0,5549	0,6203	0,7039	0,794	0,8697	0,8869
Volume (m ³)	43,0814	43,801	34,575	34,567	31,525	37,739	37,739	34,723
Weight (kN)	830,71	830,47	655,53	655,37	597,7	715,52	715,52	658,34
Resisting Moment (kN-m)	4292,9	4394,1	3648,2	4075,3	4075,2	5886,5	6448,2	6077,1
Activiting Moment (kN-m)	8564	8560,5	6574,1	6569,8	5789,8	7414,1	7414	6852
ΔMr (kN-m)	6840,3	6734,55	4898,13	4465,44	3451,54	3751,83	3190	2830,5
Bishop								
FS	0,614	0,601	0,6327	0,6816	0,751	0,8476	0,9375	0,961
Volume (m ³)	43,814	43,801	34,575	34,567	31,525	37,739	37,739	34,723
Weight (kN)	830,71	830,47	655,53	655,37	597,7	715,52	715,52	658,34
Resisting Moment (kN-m)	5257,9	5223,2	4159,2	4477,8	4347,9	6284,1	6950,3	6585
Activiting Moment (kN-m)	8564	8560,5	6574,1	6569,8	5789,8	7414,1	7414	6852
ΔMr (kN-m)	5875,3	5905,45	4387,13	4062,94	3178,84	3354,23	2687,9	2322,6
Morgenster-Price								
FS	0,6279	0,6251	0,6385	0,6792	0,7489	0,8423	0,93	0,9527
Volume (m ³)	43,814	43,801	34,575	34,567	31,525	37,739	37,739	34,723
Weight (kN)	830,71	830,47	655,53	655,37	597,7	715,52	715,52	658,34
Resisting Moment (kN-m)	5377,1	5351,4	4197,8	4462,2	4336	6244,7	6894,8	6528
Activiting Moment (kN-m)	8564	8560,5	6574,1	6569,8	5789,8	7414,1	7414	6852
Resisting Force (kN)	262,88	256,83	203,44	206,85	204,89	275,93	309,15	296,6
Activiting Force (kN)	420,71	413,33	315,87	306,37	274,59	329,85	335	313,32
ΔMr (kN-m)	5756,1	5777,25	4348,53	4078,54	3190,74	3393,63	2743,4	2379,6

SF =

1,3

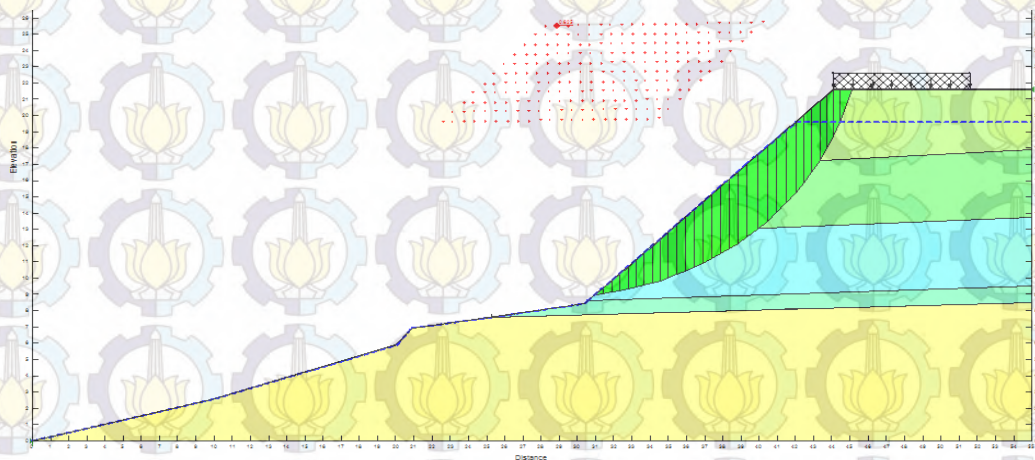
$$\Delta Mr = (SF \text{ ren. } Md) - Mr$$

STA. 9+110



Metode	SF
Ordinary	0,5013
Bishop	0,614
Morgenster-Price	0,6279

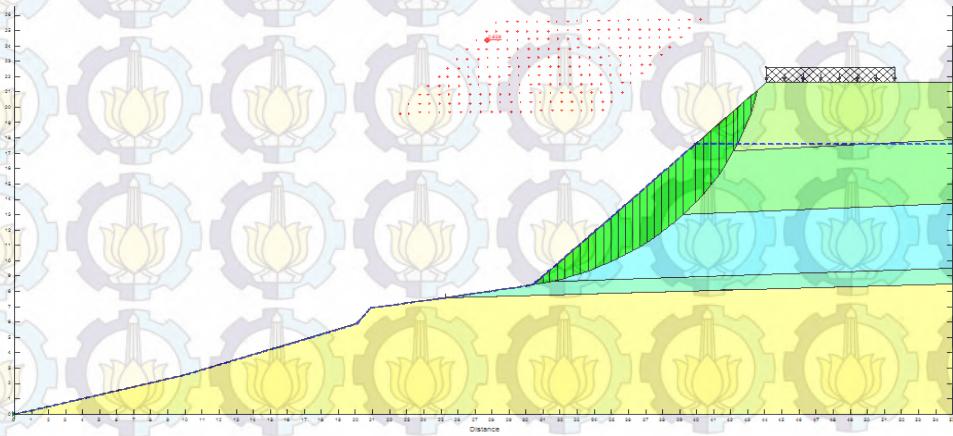
STA. 9+110



Bidang Longsor untuk MAT -2m

Metode	SF
Ordinary	0,5113
Bishop	0,601
Morgenster-Price	0,6251

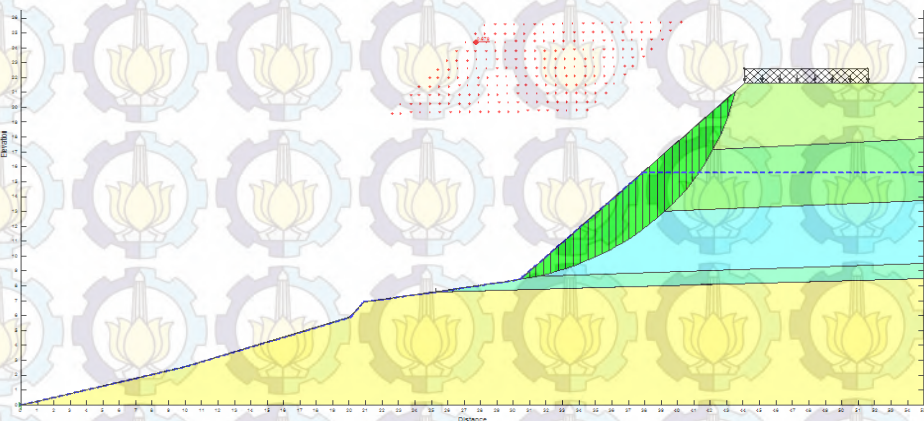
STA. 9+110



Bidang Longsor untuk MAT -4m

Metode	SF
Ordinary	0,5549
Bishop	0,6327
Morgenster-Price	0,6385

STA. 9+110



Metode	SF
Ordinary	0,6203
Bishop	0,6816
Morgenster-Price	0,6792

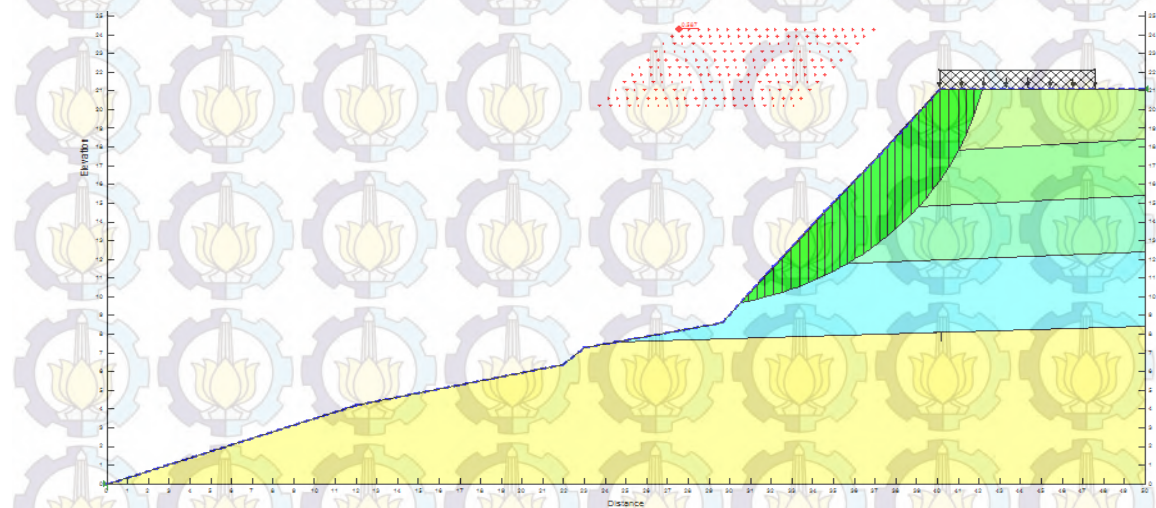
STA. 9+100

METODE	Tinggi muka air							
	0	-2	-4	-6	-8	-10	-12	-13,2
Ordinary								
FS	0,4495	0,4753	0,5192	0,5877	0,6696	0,7436	0,7977	0,7984
Volume (m ³)	38,397	31,953	30,573	30,574	30,569	37,46	30,568	30,568
Weight (kN)	725,58	603,71	577,58	577,6	577,5	707,83	577,84	577,49
Resisting Moment (kN-m)	3247,9	2845,9	2967,2	3358,8	3826,1	5269,9	4558,2	4562,1
Activiting Moment (kN-m)	7224,7	5988,1	5715,3	5715,5	5714,3	7087,2	5714	5714,12
ΔMr (kN-m)	6144,21	4938,63	4462,69	4071,35	3602,49	3943,46	2870	2866,26
Bishop								
FS	0,5702	0,5672	0,596	0,6467	0,7252	0,8133	0,8752	0,8761
Volume (m ³)	38,397	31,953	30,573	30,574	30,569	37,46	30,568	30,568
Weight (kN)	725,58	603,71	577,58	577,6	577,5	707,83	577,84	577,49
Resisting Moment (kN-m)	4119,5	3396,3	3406,2	3696,1	4143,9	5764,2	5000,7	5006,1
Activiting Moment (kN-m)	7224,7	5988,1	5715,3	5715,5	5714,3	7087,2	5714	5714,2
ΔMr (kN-m)	5272,61	4388,23	4023,69	3734,05	3284,69	3449,16	2427,5	2422,36
Morgenster-Price								
FS	0,5868	0,5818	0,6015	0,6463	0,72	0,8055	0,8649	0,8658
Volume (m ³)	38,397	31,953	30,573	30,574	30,569	37,46	30,568	30,568
Weight (kN)	725,58	603,71	577,58	577,6	577,5	707,83	577,84	577,49
Resisting Moment (kN-m)	4239,4	3484	3437,5	3693,7	4114,1	5708,8	4942,1	4947,3
Activiting Moment (kN-m)	7224,7	5988,1	5715,3	5715,5	5714,3	7087,2	5714	5714,2
Resisting Force (kN)	231,5	184,46	176,36	180,09	196,69	274,4	244,37	244,7
Activiting Force (kN)	396,43	318,87	288,58	278,86	275,7	343,64	283,22	283,31
ΔMr (kN-m)	5152,71	4300,53	3992,39	3736,45	3314,49	3504,56	2486,1	2481,16

$$SF = 1,3$$

$$\Delta Mr = (SF \text{ ren. Md}) - Mr$$

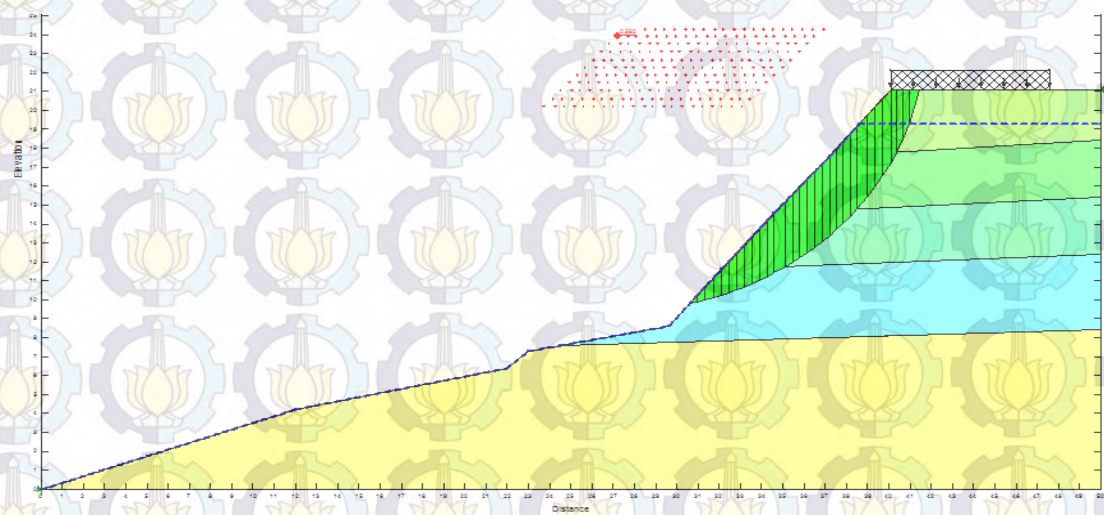
STA. 9+100



Bidang Longsor untuk MAT 0m

Metode	SF
Ordinary	0,4495
Bishop	0,5702
Morgenster-Price	0,5868

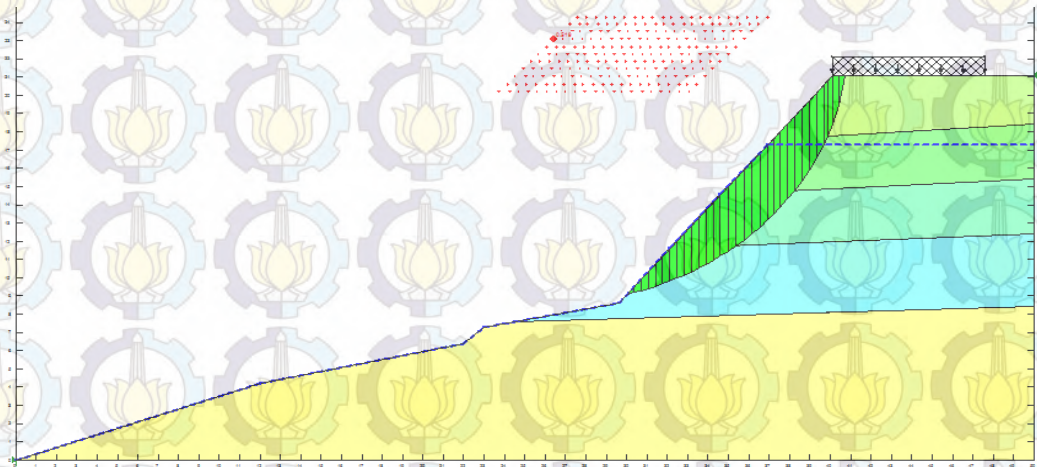
STA. 9+100



Bidang Longsor untuk MAT -2m

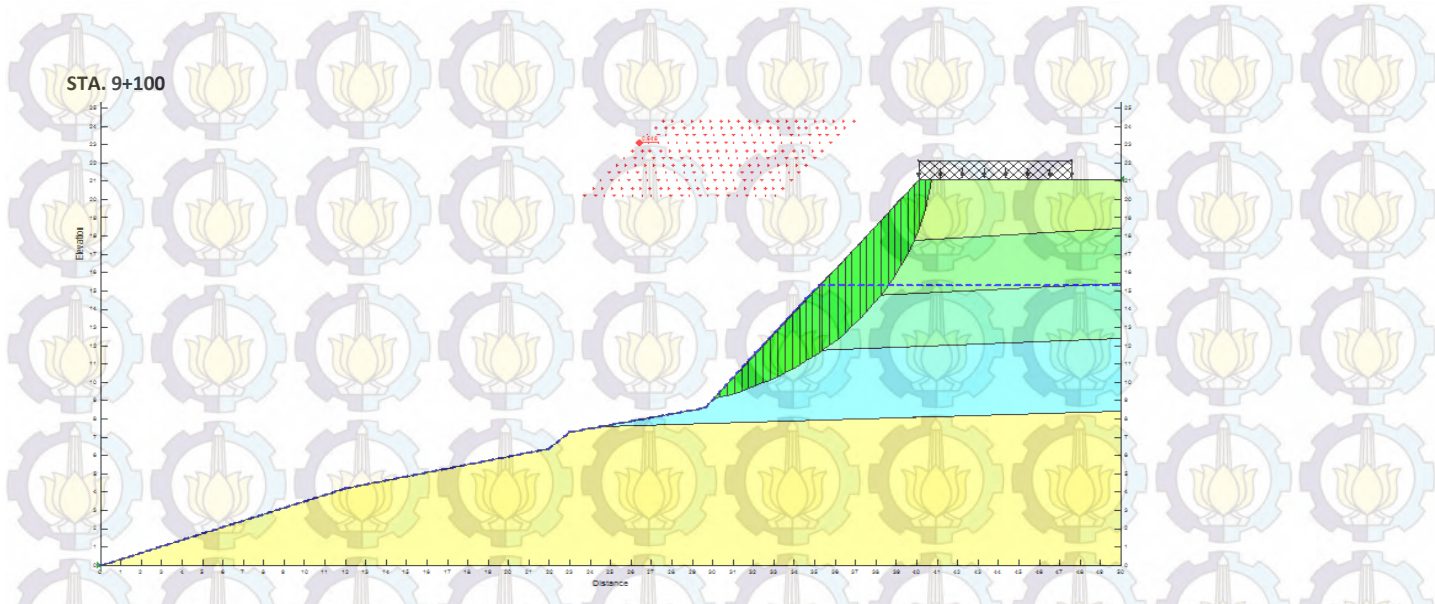
Metode	SF
Ordinary	0,4753
Bishop	0,5672
Morgenster-Price	0,5818

STA. 9+100



Bidang Longsor untuk MAT -4m

Metode	SF
Ordinary	0,5192
Bishop	0,596
Morgenster-Price	0,6015



Metode	SF
Ordinary	0,5877
Bishop	0,6467
Morgenster-Price	0,6463

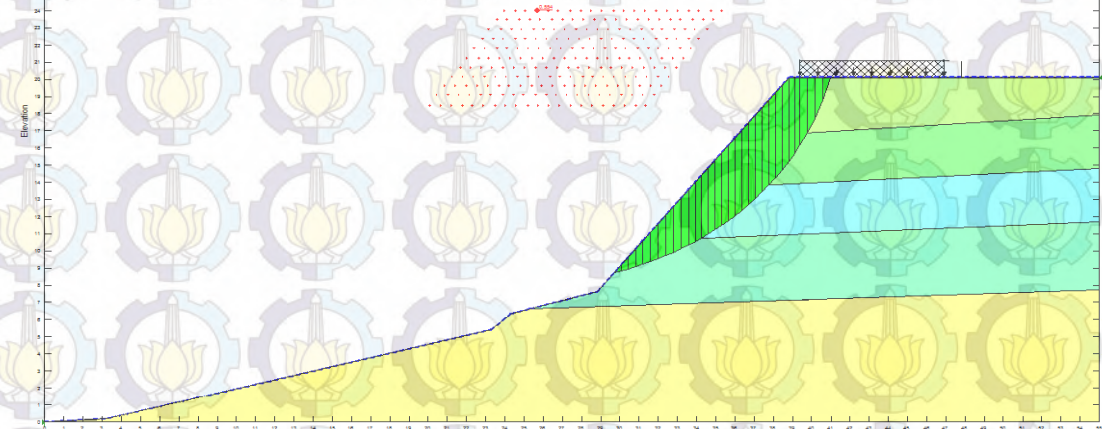
STA. 9+090

METODE	Tinggi muka air							
	0	-2	-4	-6	-8	-10	-12	-13,2
Ordinary								
FS	0,4349	0,4732	0,5134	0,5643	0,6515	0,7324	0,7772	0,7772
Volume (m ³)	36,012	28,386	26,308	30,046	30,045	33,212	28,404	28,404
Weight (kN)	682,12	537,8	498,27	568,61	586,6	628,81	538,14	538,14
Resisting Moment (kN-m)	3203,2	2811	2527,1	2614,3	3018,5	4298,5	4620,4	4620,4
Activiting Moment (kN-m)	7365	5940,5	4921,8	4633	4632,8	5868,8	5945	5945
ΔMr (kN-m)	6371,3	4911,65	3871,24	3408,6	3004,14	3330,94	3108,1	3108,1
Bishop								
FS	0,5392	0,5502	0,5795	0,625	0,7025	0,7962	0,8392	0,8392
Volume (m ³)	36,012	28,386	26,308	30,046	30,045	33,212	28,404	28,404
Weight (kN)	682,12	537,8	498,27	568,61	586,6	628,81	538,14	538,14
Resisting Moment (kN-m)	3971	3268,6	2852	2895,6	3254,8	4672,8	4989	4989
Activiting Moment (kN-m)	7365	5940,5	4921,8	4633	4632,8	5868,8	5945	5945
ΔMr (kN-m)	5603,5	4454,05	3546,34	3127,3	2767,84	2956,64	2739,5	2739,5
Morgenster-Price								
FS	0,5539	0,5578	0,5799	0,6272	0,699	0,788	0,8286	0,8286
Volume (m ³)	36,012	28,386	26,308	30,046	30,045	33,212	28,404	28,404
Weight (kN)	682,12	537,8	498,27	568,61	586,6	628,81	538,14	538,14
Resisting Moment (kN-m)	4079,2	3313,4	2854,3	2905,9	3238,5	4624,8	4926,1	4926,1
Activiting Moment (kN-m)	7365	5940,5	4921,8	4633	4632,8	5868,8	5945	5945
Resisting Force (kN)	206,1	157,83	143,51	168,64	182,09	234,71	222,43	222,43
Activiting Force (kN)	373,66	283,77	247,81	268,11	262,22	301,36	269,27	269,27
ΔMr (kN-m)	5495,3	4409,25	3544,04	3117	2784,14	3004,64	2802,4	2802,4

$$SF = 1,3$$

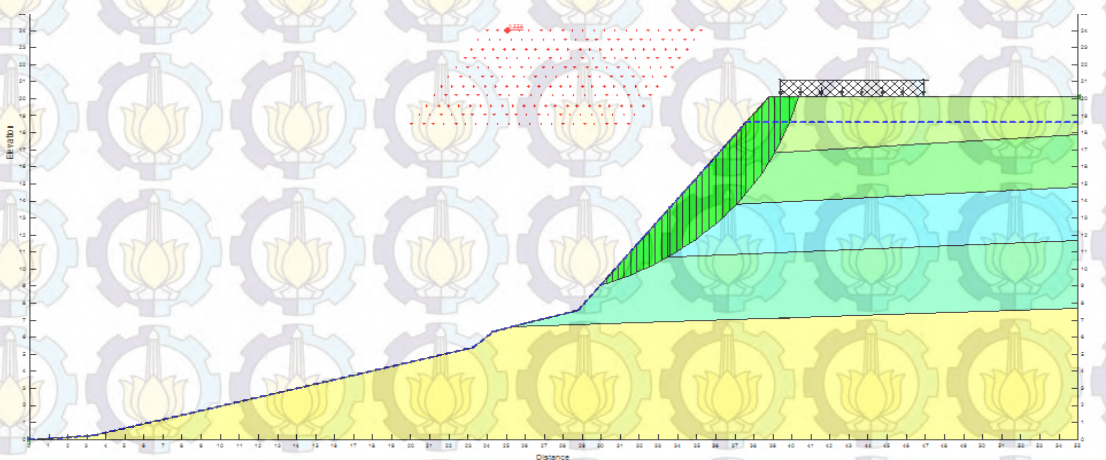
$$\Delta Mr = (SF \text{ ren. } Md) - Mr$$

STA. 9+090



Metode	SF
Ordinary	0,4349
Bishop	0,5392
Morgenster-Price	0,5539

STA. 9+090



Bidang Longsor untuk MAT -2m

Metode	SF
Ordinary	0,4732
Bishop	0,5502
Morgenster-Price	0,5578

STA. 9+090

Elevation

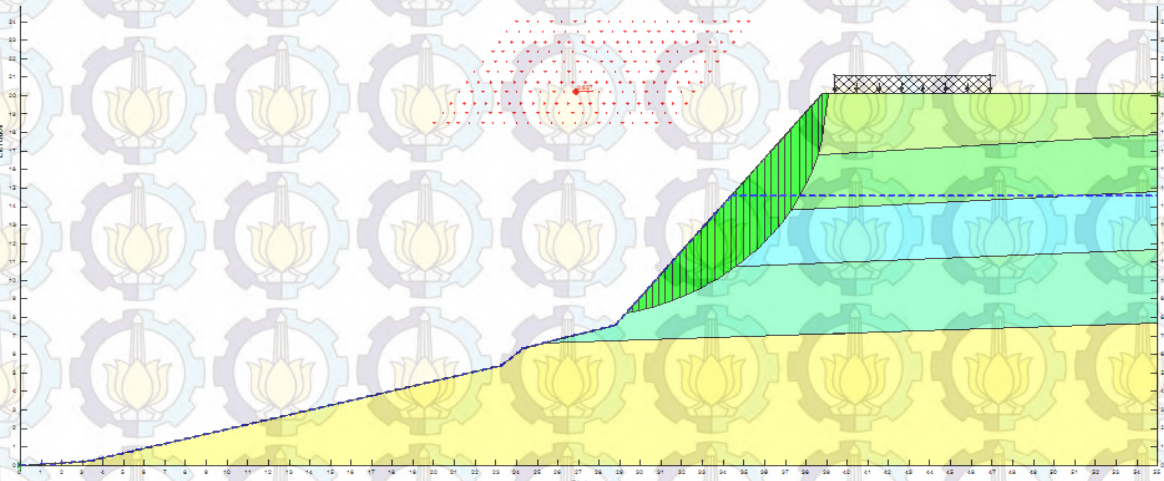


Bidang Longsor untuk MAT -4m



Metode	SF
Ordinary	0,5134
Bishop	0,5795
Morgenster-Price	2854,3

STA. 9+090



Bidang Longsor untuk MAT -6m

Metode	SF
Ordinary	0,5643
Bishop	0,625
Morgenster-Price	0,6272

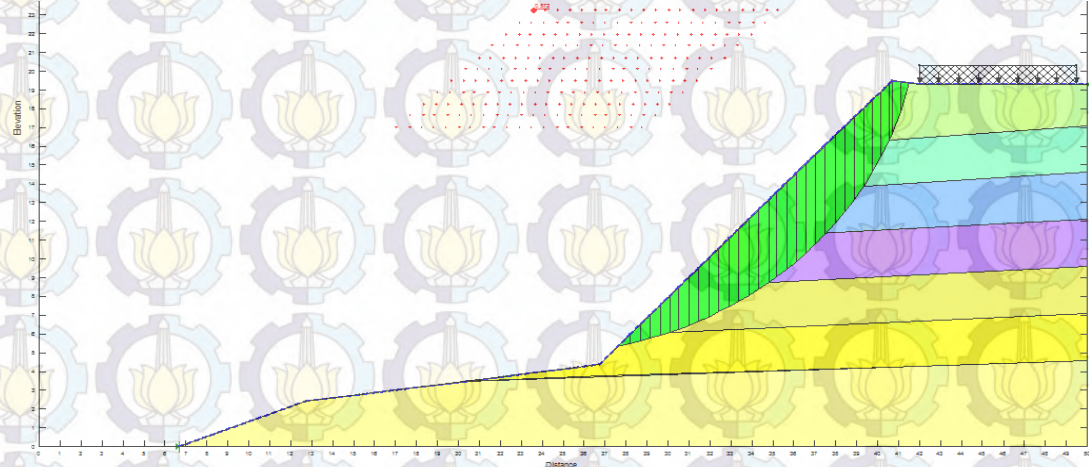
STA. 9+075

METODE	Tinggi muka air							
	0	-2	-4	-6	-8	-10	-12	-13,2
Ordinary								
FS	0,4609	0,4552	0,468	0,5113	0,5664	0,6378	0,7135	0,7525
Volume (m ³)	45,426	45,418	48,494	48,5	34,224	31,065	48,494	48,495
Weight (kN)	848,24	849,31	905,24	905,36	639,4	579,99	905,25	905,26
Resisting Moment (kN-m)	4716,5	4620,7	5119	5593,5	3818,2	3571,8	7803,9	8230,2
Activiting Moment (kN-m)	10232	10151	10937	10939	6740,9	5600,4	10937	10938
ΔMr (kN-m)	8585,1	8575,6	9099,1	8627,2	4944,97	3708,72	6414,2	5989,2
Bishop								
FS	0,5547	0,5471	0,5498	0,5777	0,6238	0,6833	0,7665	0,8126
Volume (m ³)	45,426	45,418	48,494	48,5	34,224	31,065	48,494	48,495
Weight (kN)	854,33	849,31	905,24	905,36	639,4	579,99	905,25	905,26
Resisting Moment (kN-m)	5675,5	5553	6013,6	6319,2	4205,3	3826,9	8383,9	8887,4
Activiting Moment (kN-m)	10232	10151	10937	10939	6740,9	5600,4	10937	10938
ΔMr (kN-m)	7626,1	7643,3	-5871,42	7901,5	4557,87	3453,62	5834,2	5332
Morgenster-Price								
FS	0,5717	0,5644	0,5633	0,5822	0,6207	0,6811	0,7607	0,8054
Volume (m ³)	45,426	45,418	48,494	48,5	34,224	31,065	48,494	48,495
Weight (kN)	848,33	849,31	905,24	905,36	639,4	579,99	905,25	905,26
Resisting Moment (kN-m)	5849,8	5729,2	6161	6368,7	4184,2	3814,6	8319,5	8809,3
Activiting Moment (kN-m)	10232	10151	10937	10939	6740,9	5600,4	10937	10938
Resisting Force (kN)	251,17	246,24	255,66	256,66	187,56	182,78	320,52	342,29
Activiting Force (kN)	442,89	439,52	456,61	437,77	304,65	269,65	425,47	429,09
ΔMr (kN-m)	7451,8	7467,1	8057,1	7852	4578,97	3465,92	5898,6	5410,1

$$SF = 1,3$$

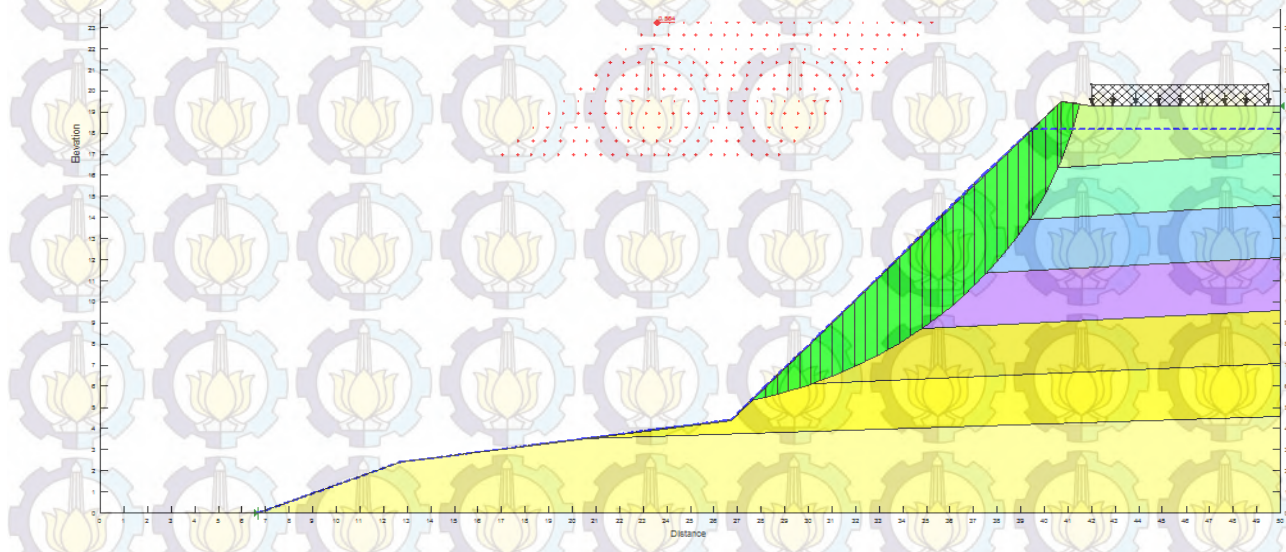
$$\Delta Mr = (SF \text{ ren. } Md) - Mr$$

STA. 9+075



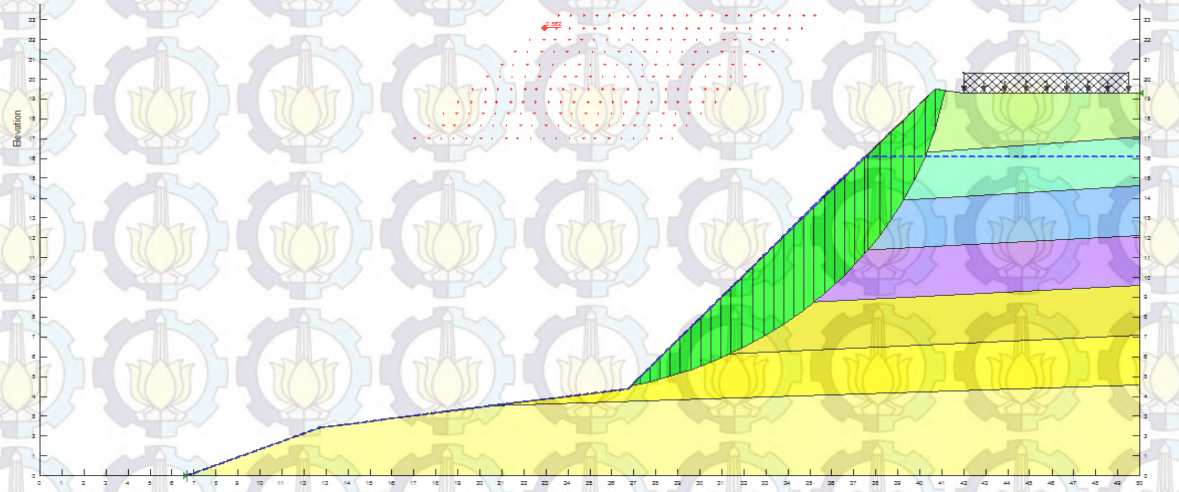
Metode	SF
Ordinary	0,4609
Bishop	0,5547
Morgenster-Price	0,5717

STA. 9+075



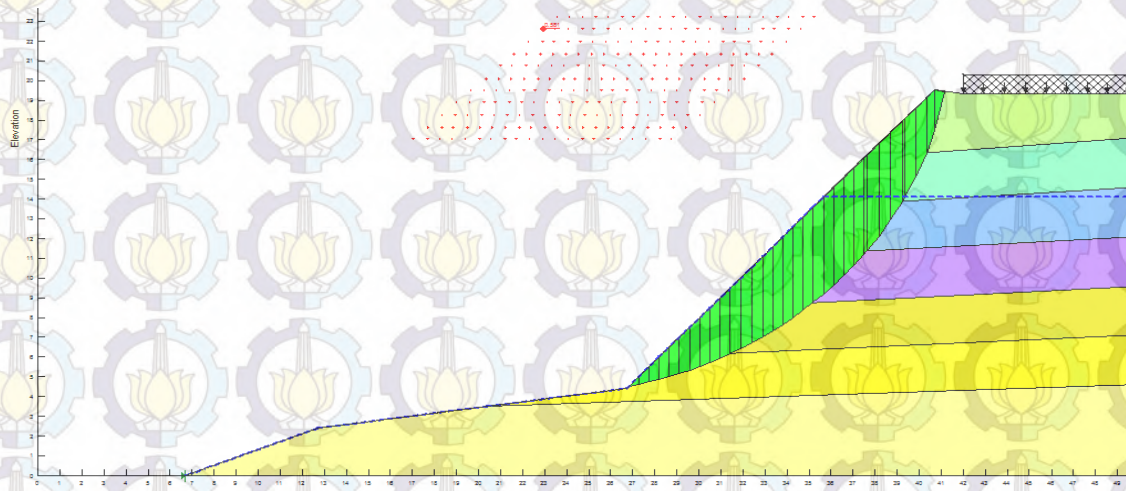
Metode	SF
Ordinary	0,4552
Bishop	0,5471
Morgenster-Price	0,5644

STA. 9+075



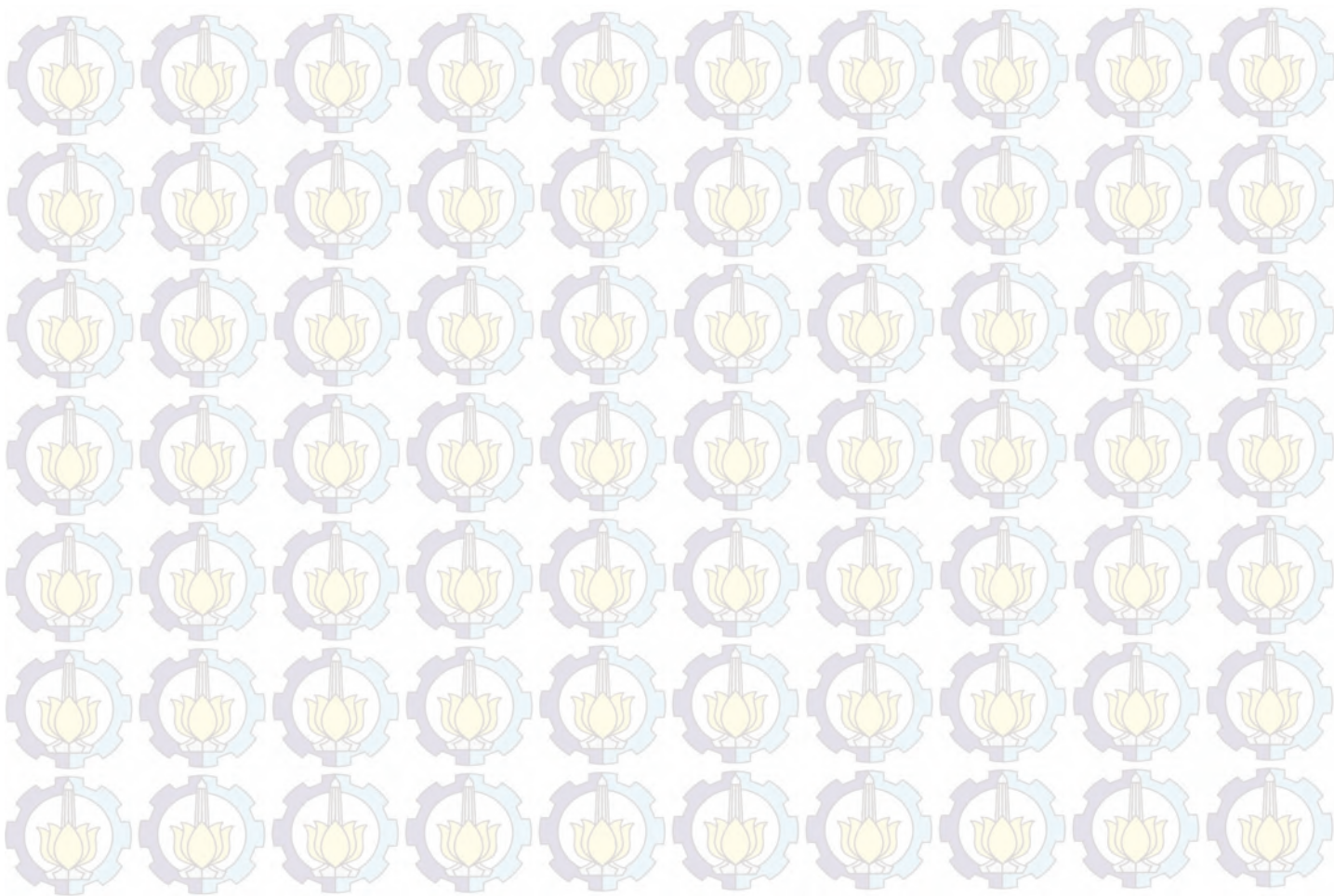
Metode	SF
Ordinary	0,468
Bishop	0,5498
Morgenster-Price	0,5633

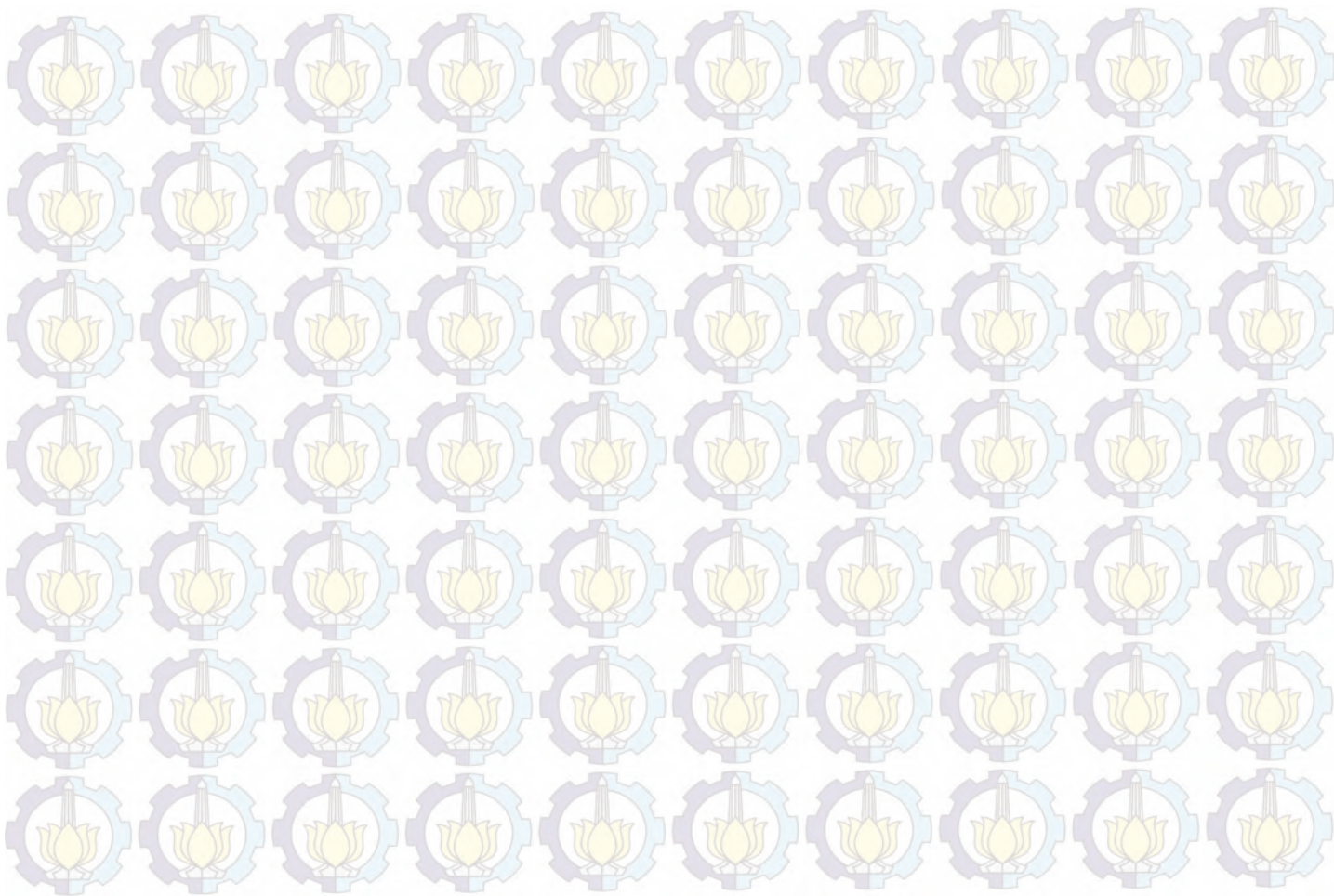
STA. 9+075

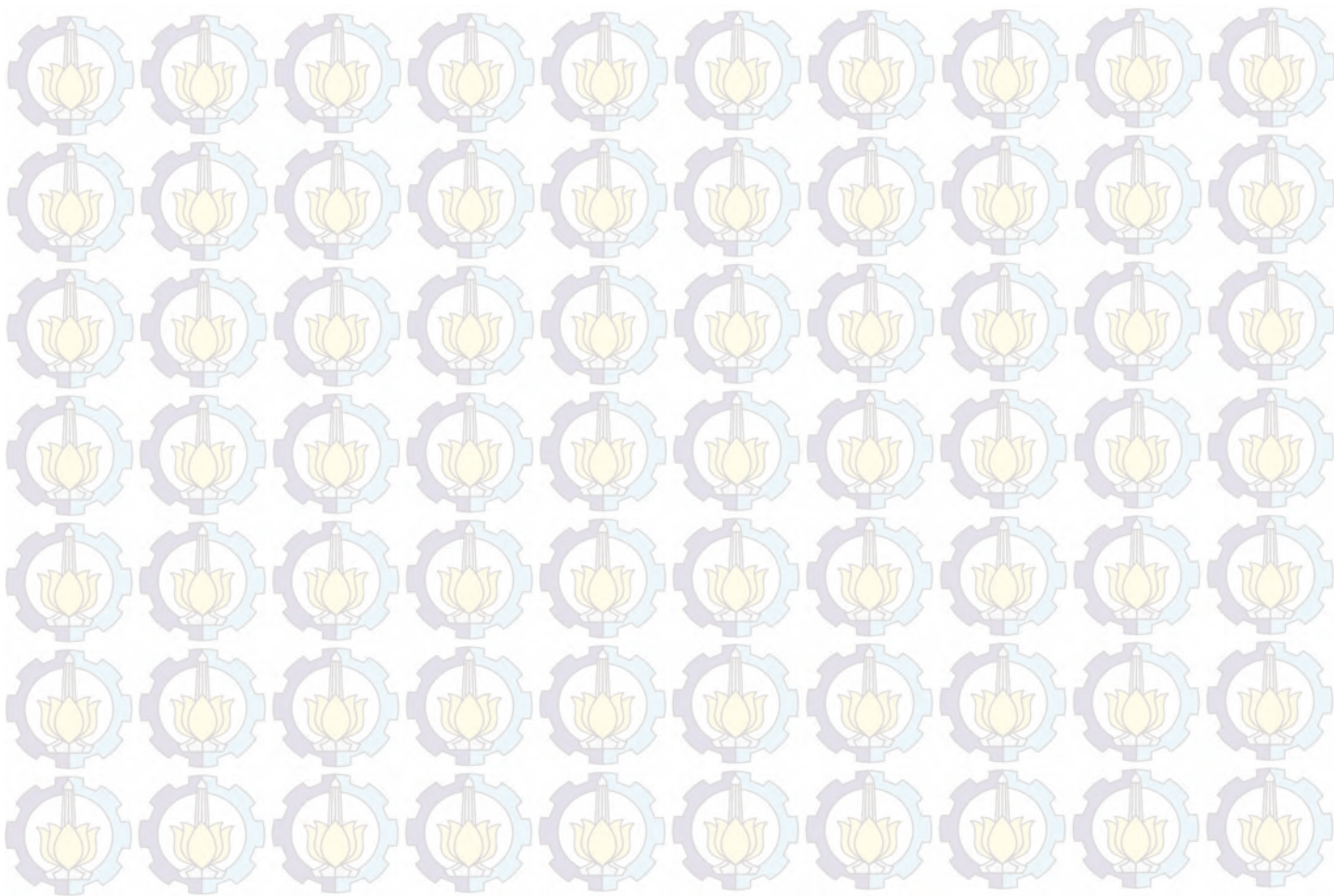


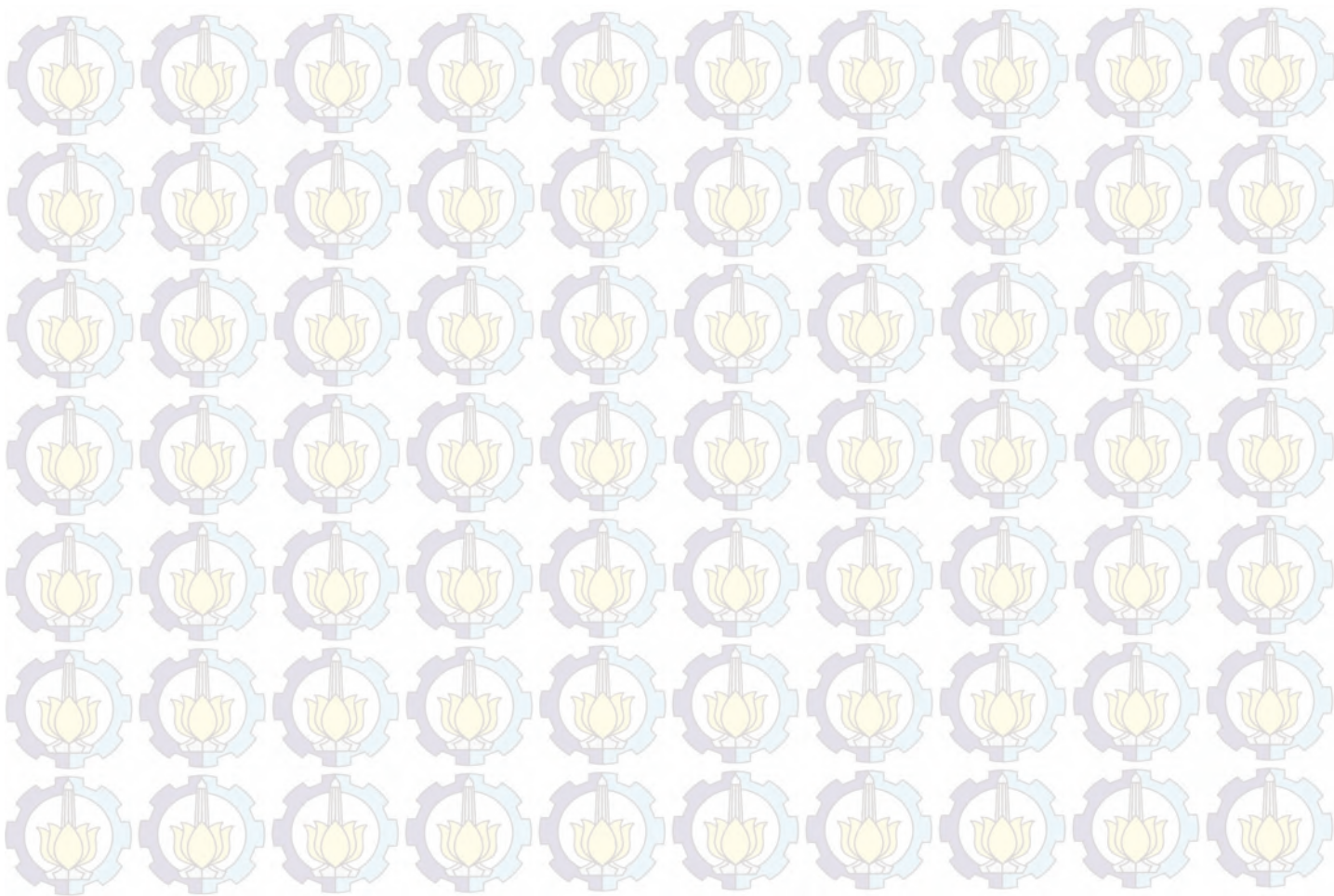
Bidang Longsor untuk MAT -6m

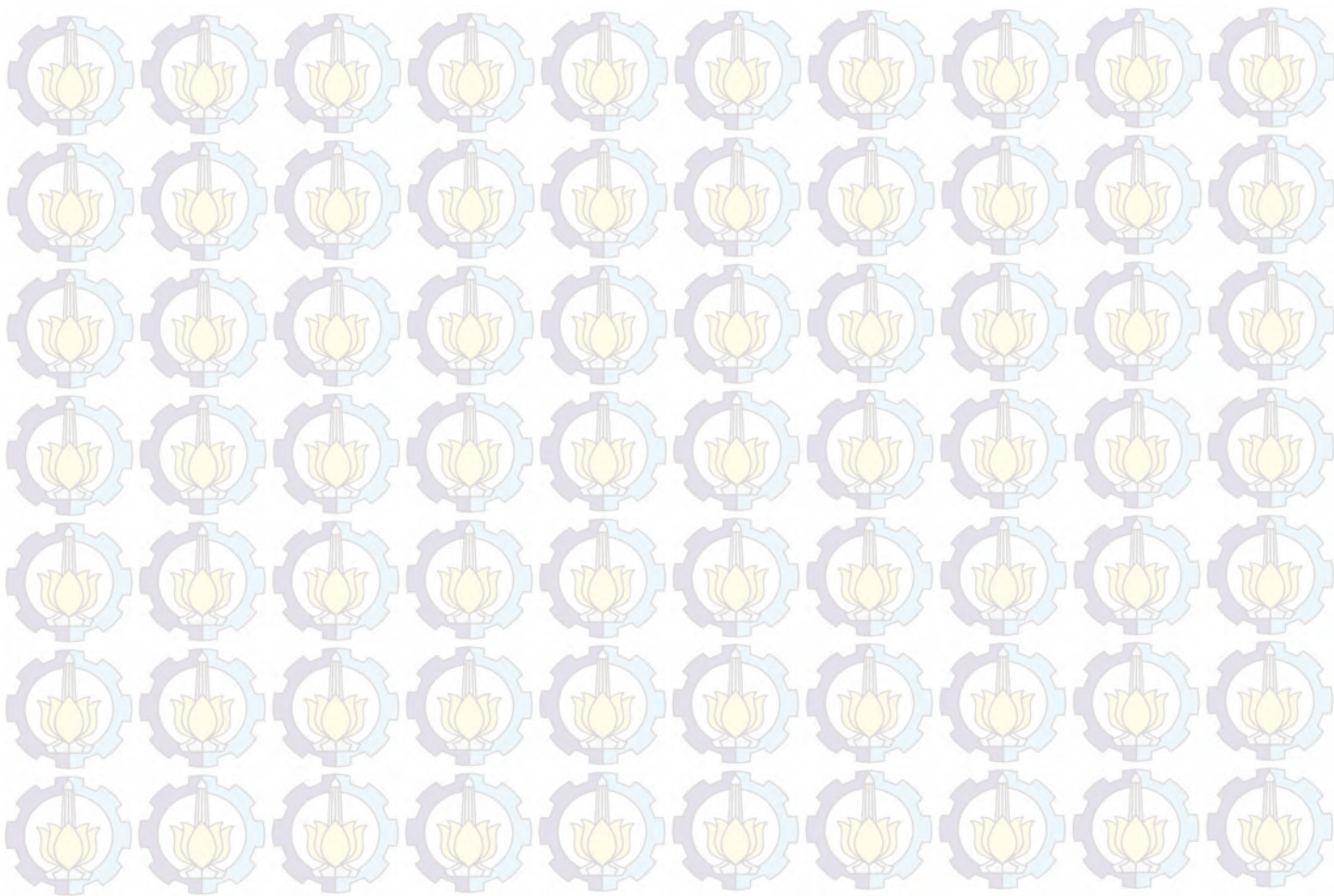
Metode	SF
Ordinary	0,5113
Bishop	0,5777
Morgenster-Price	0,5822

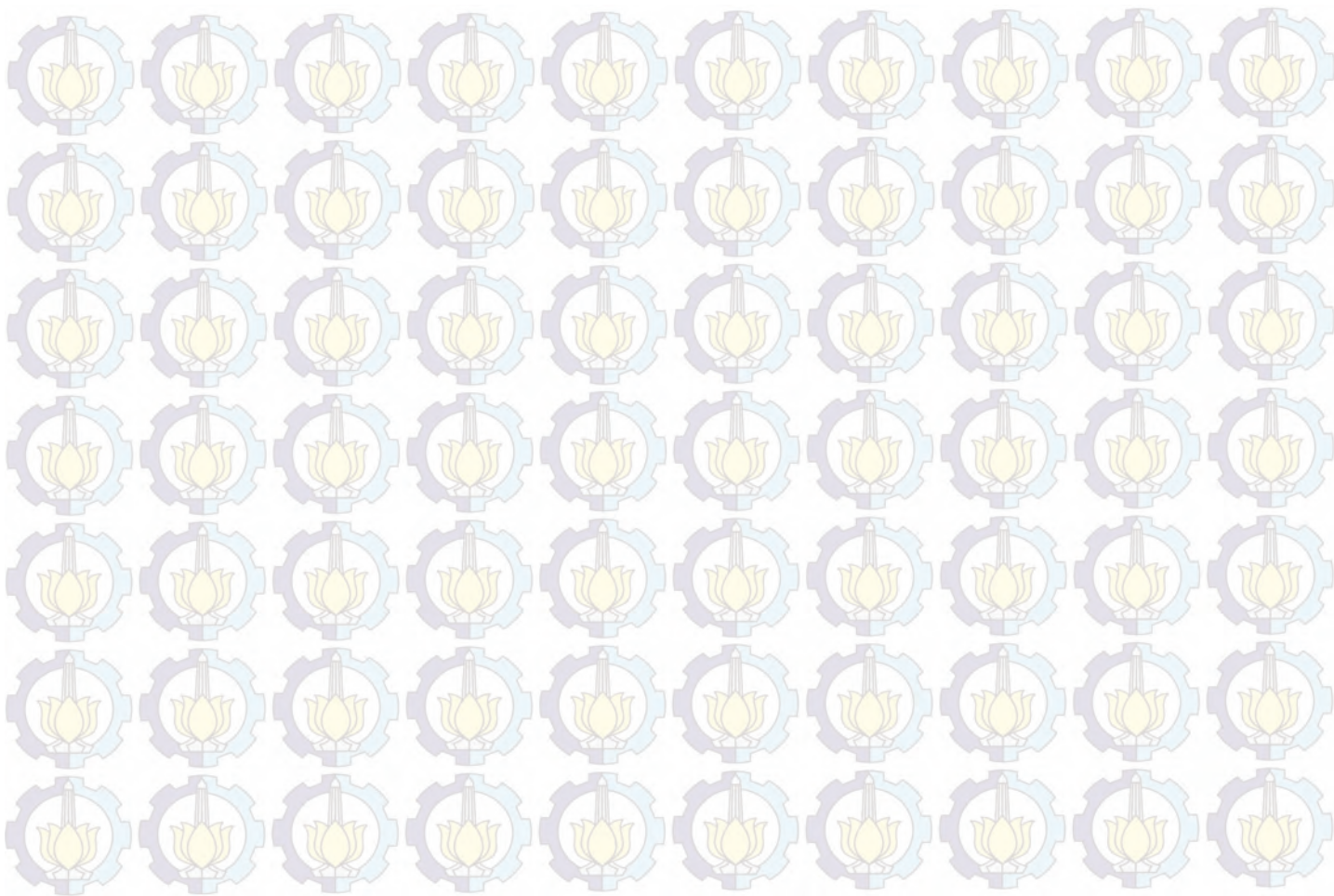


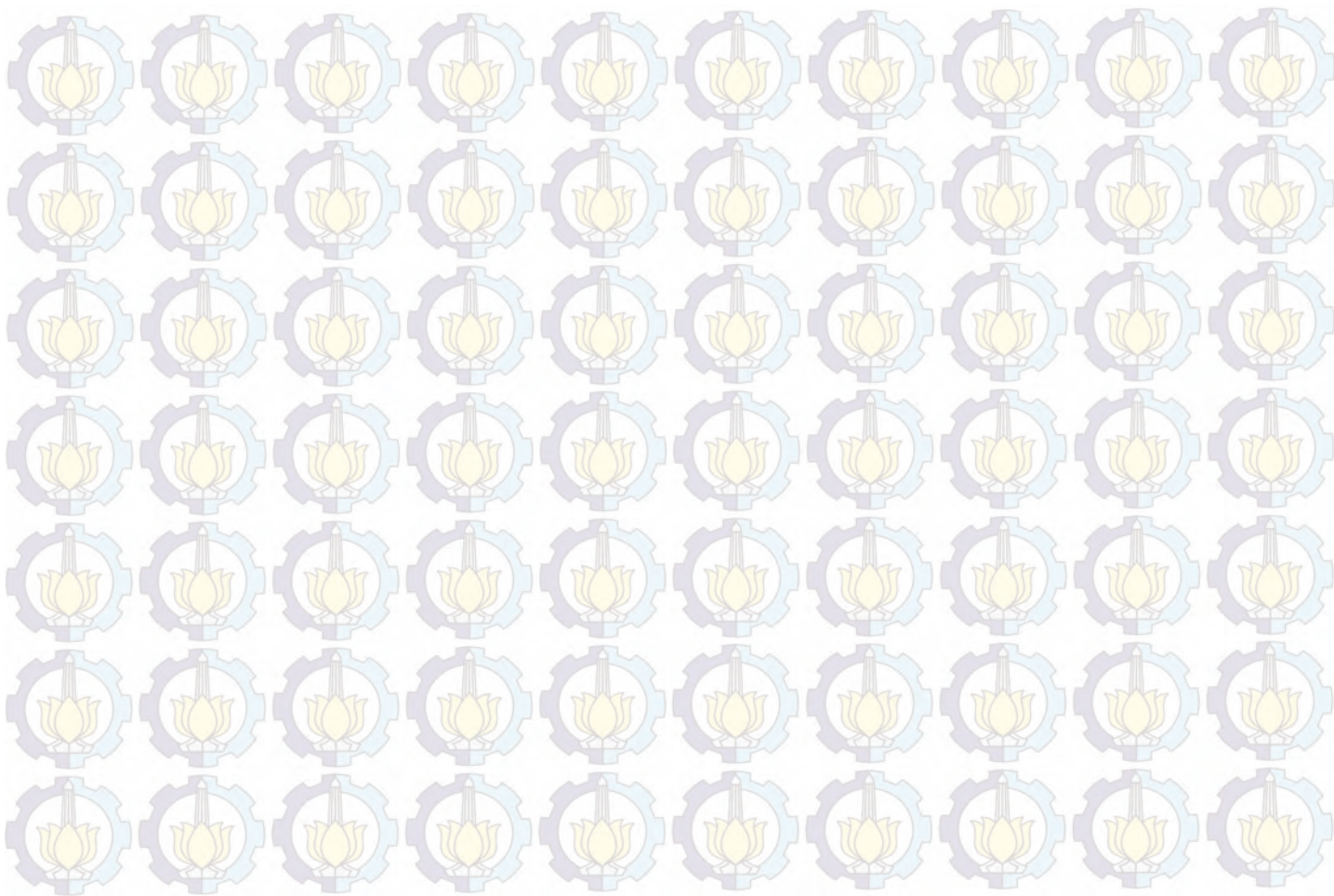


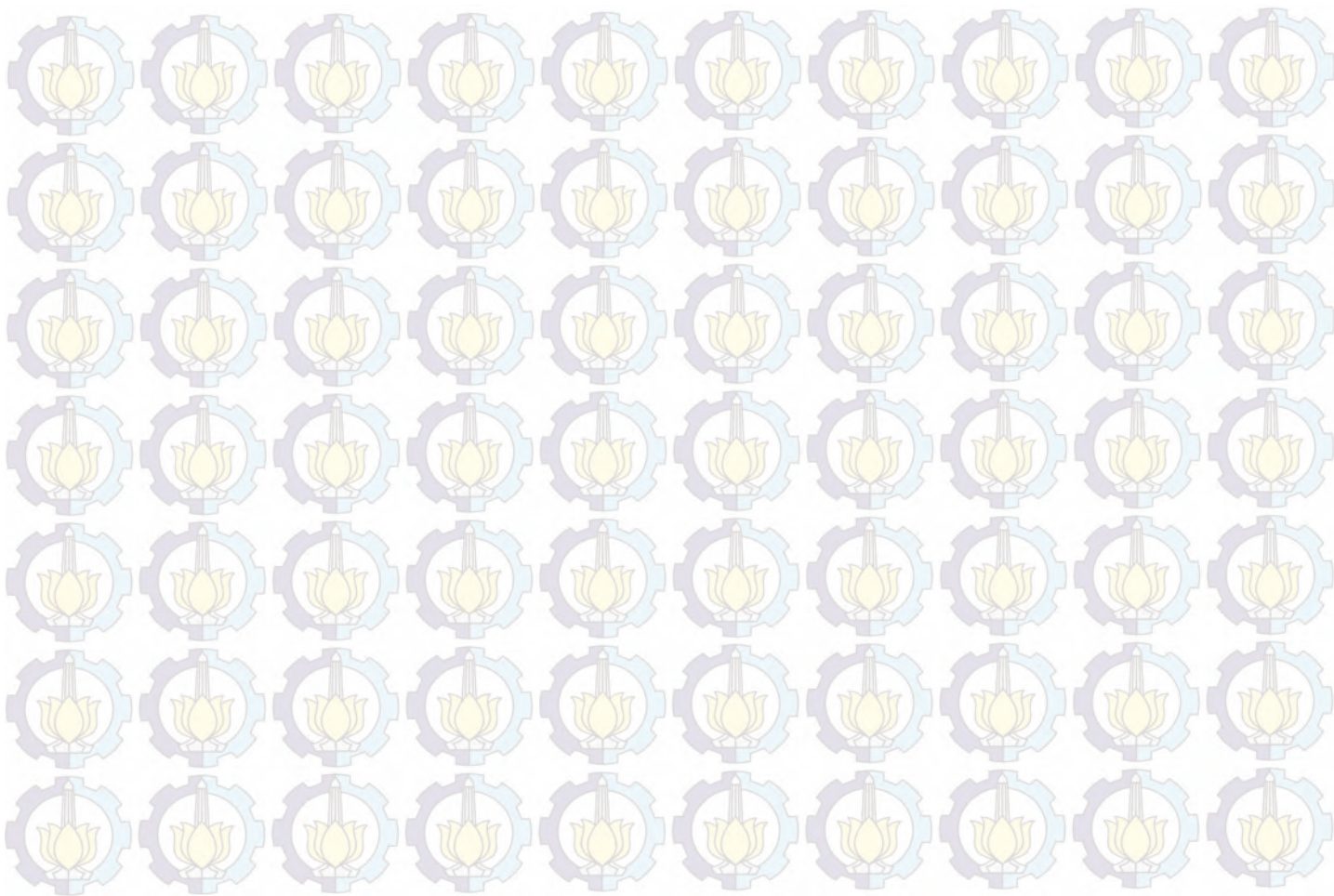


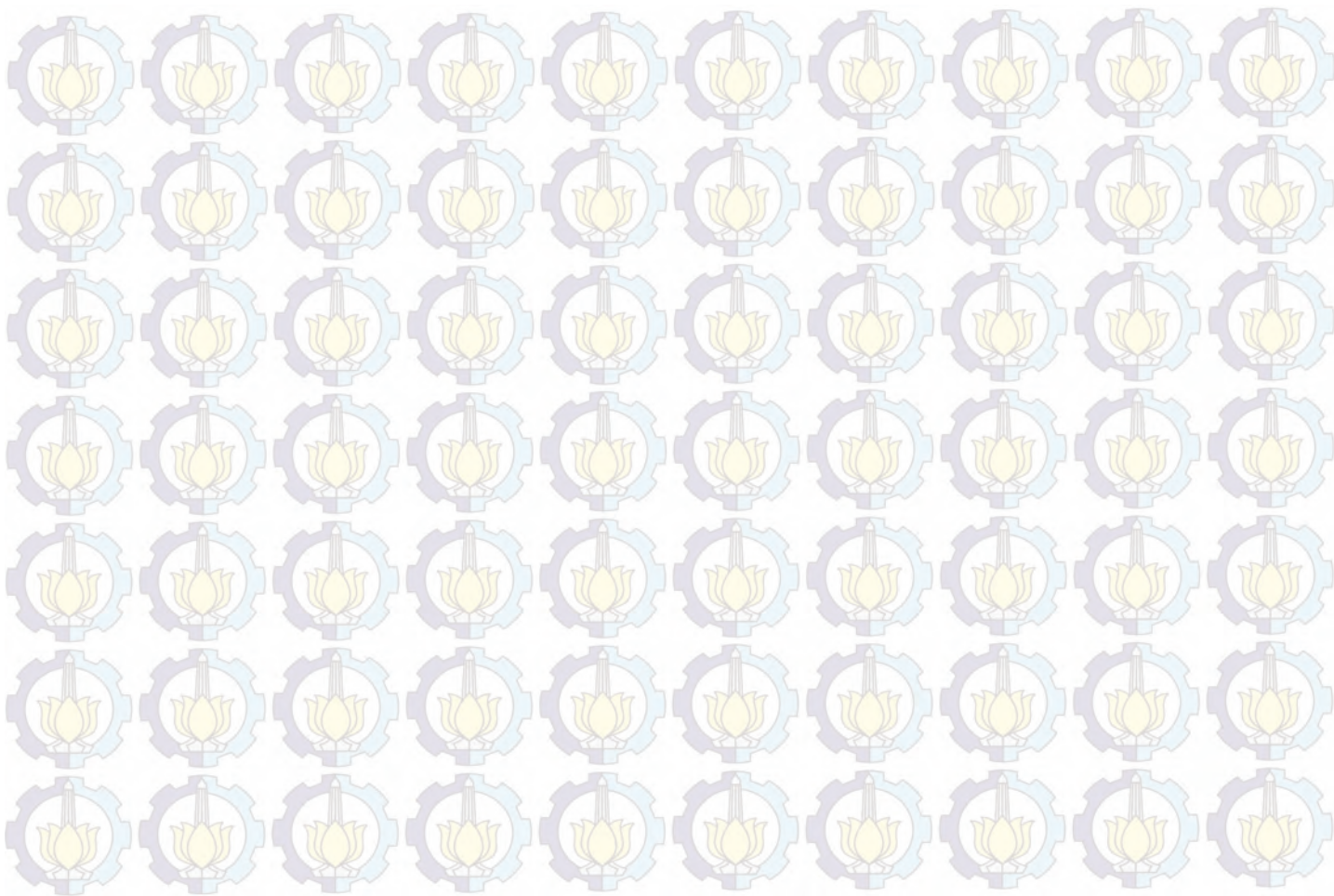


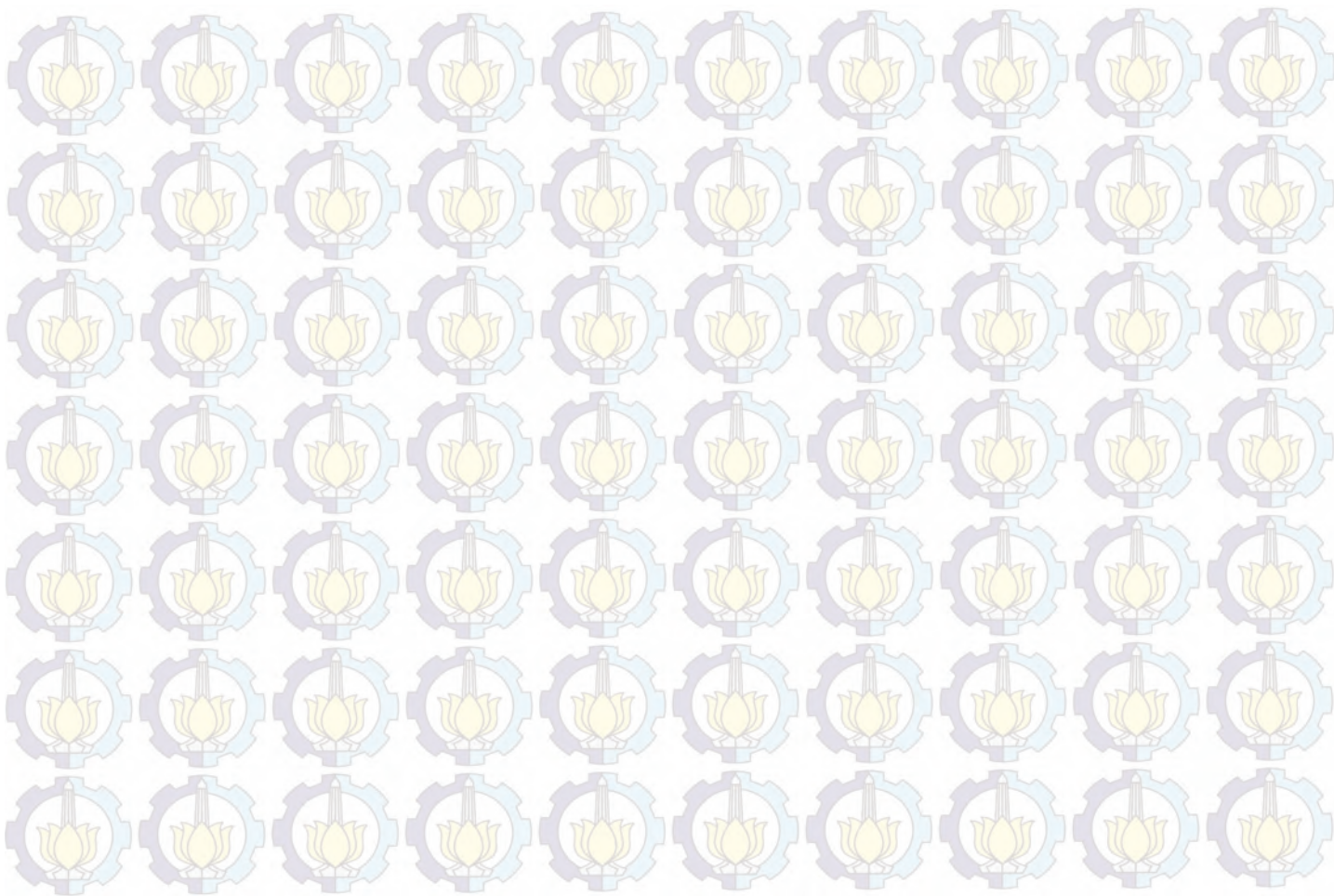


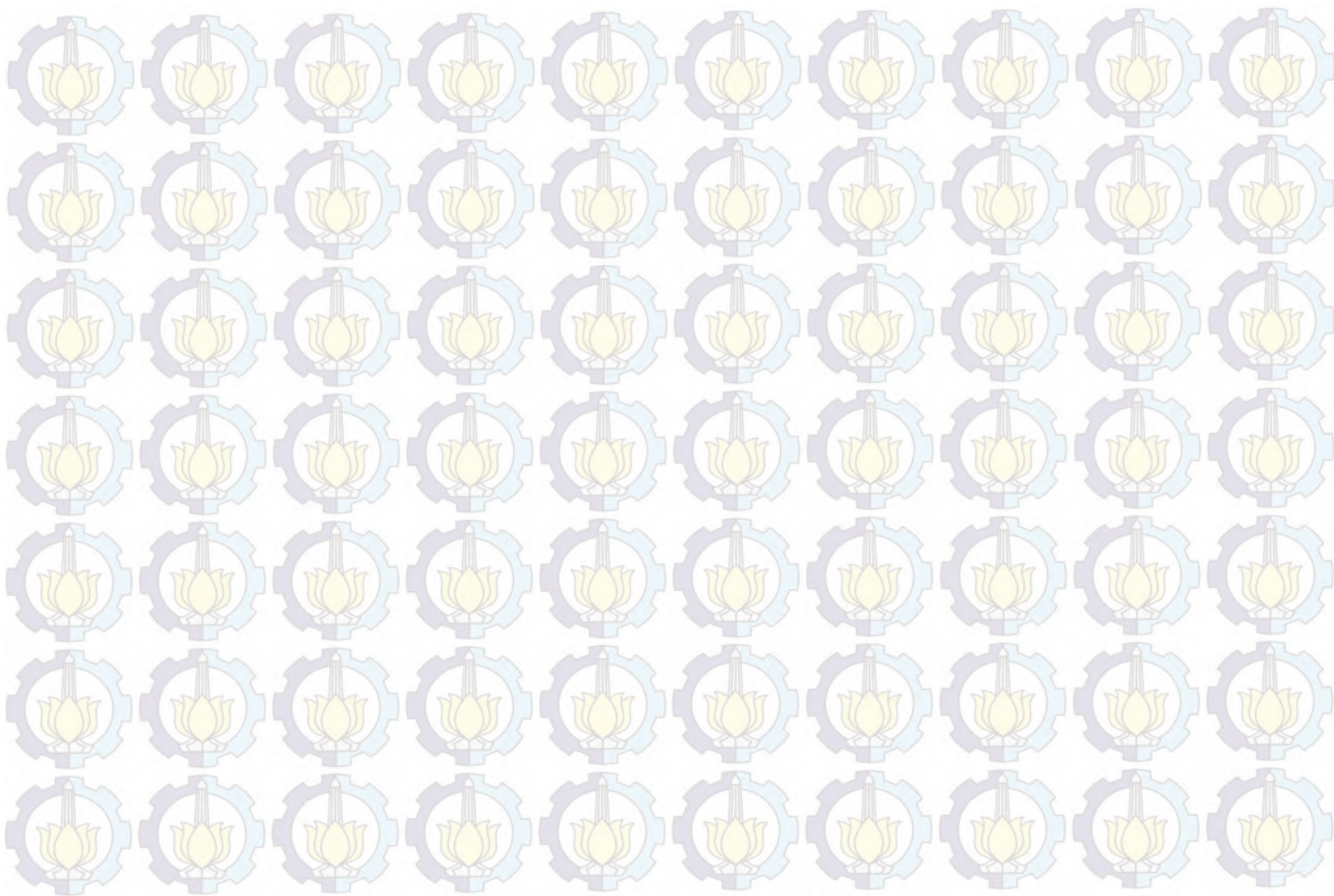


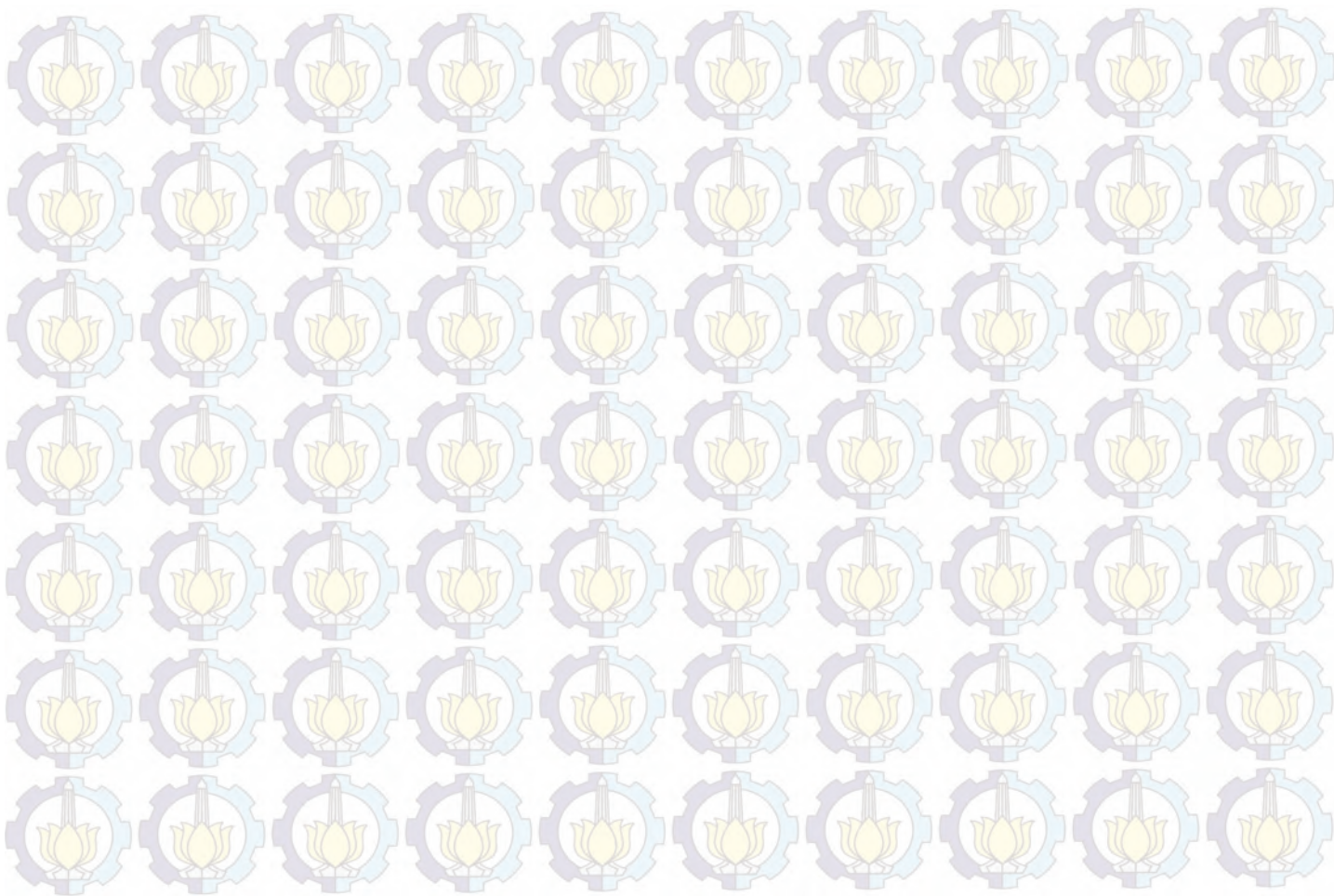


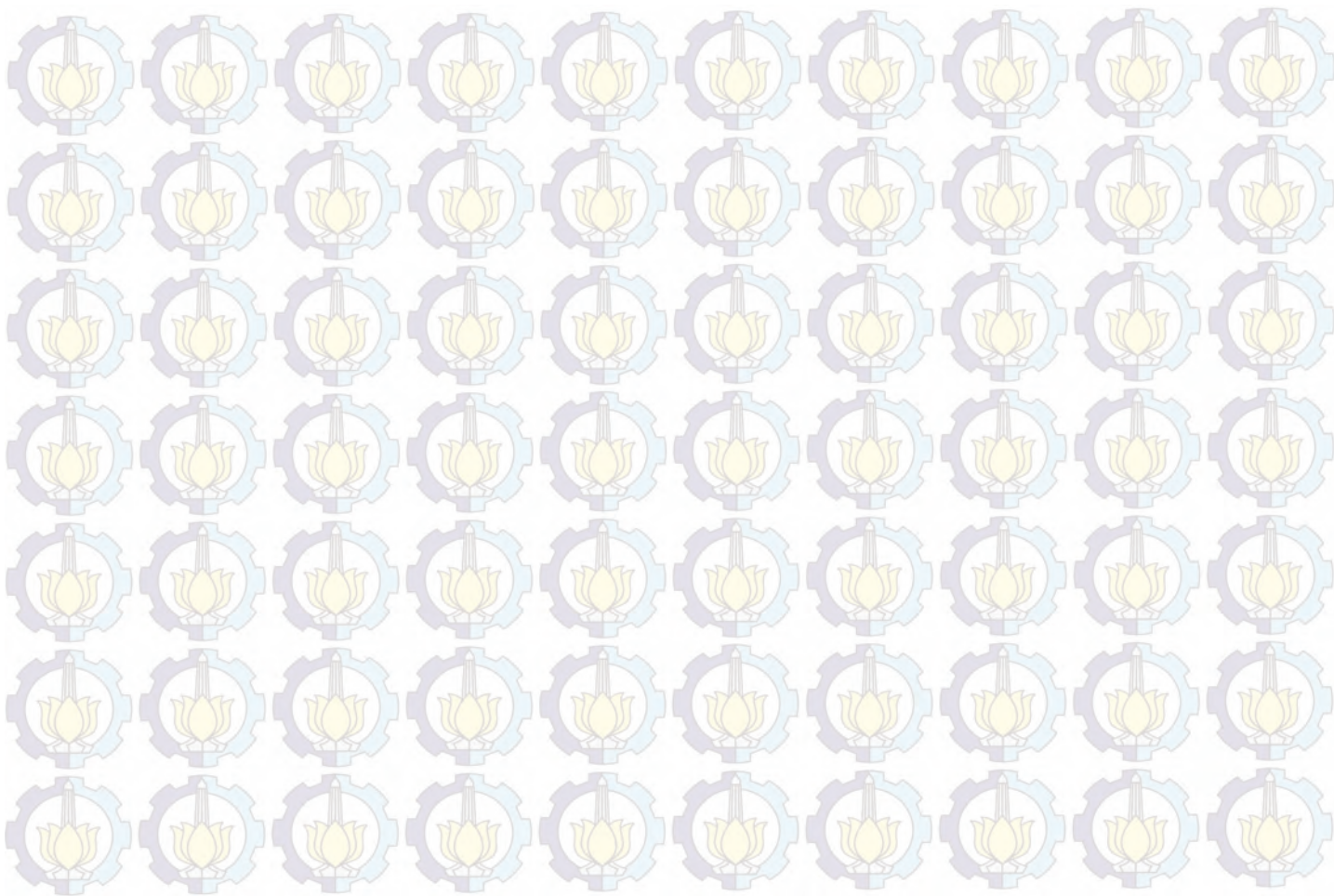


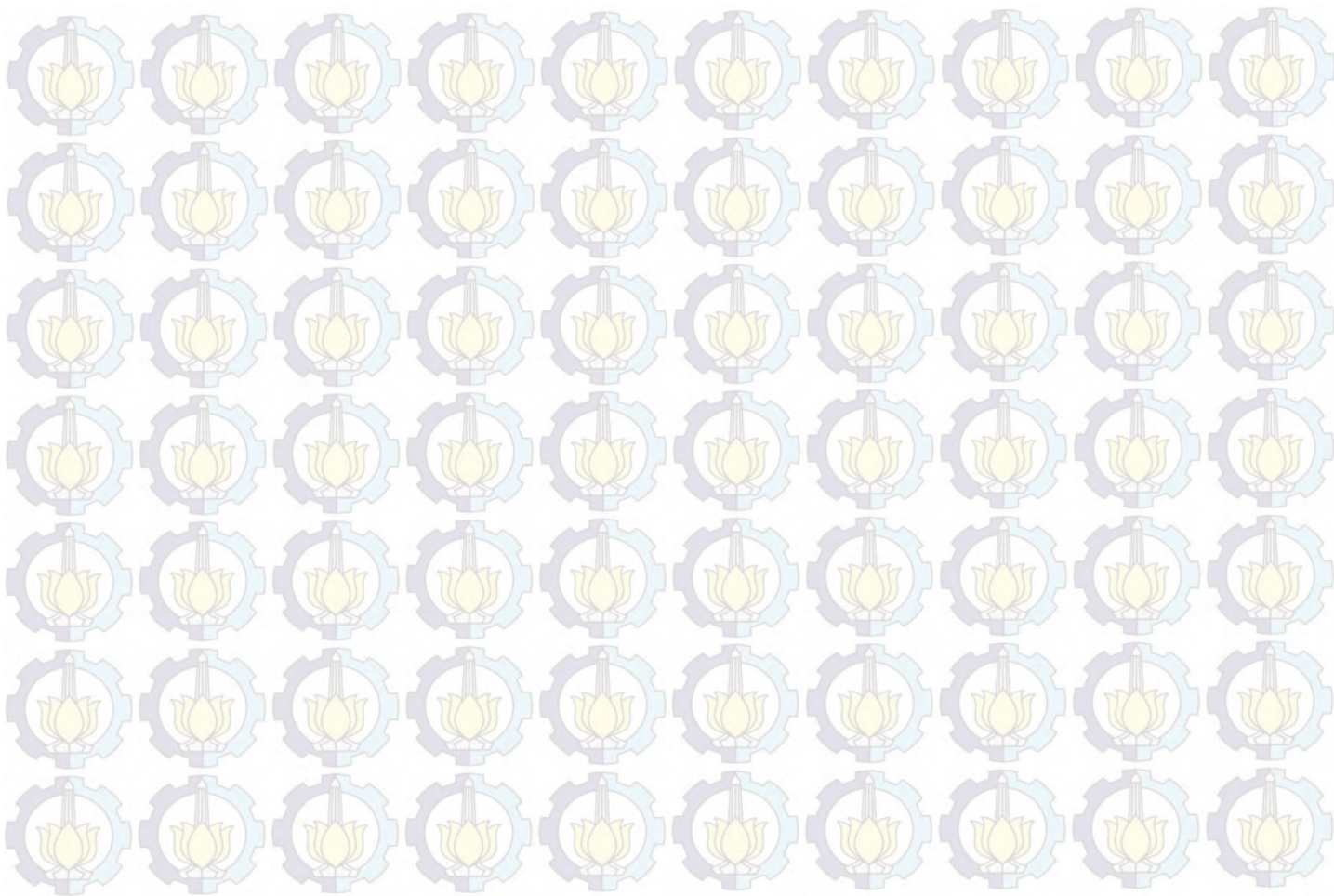


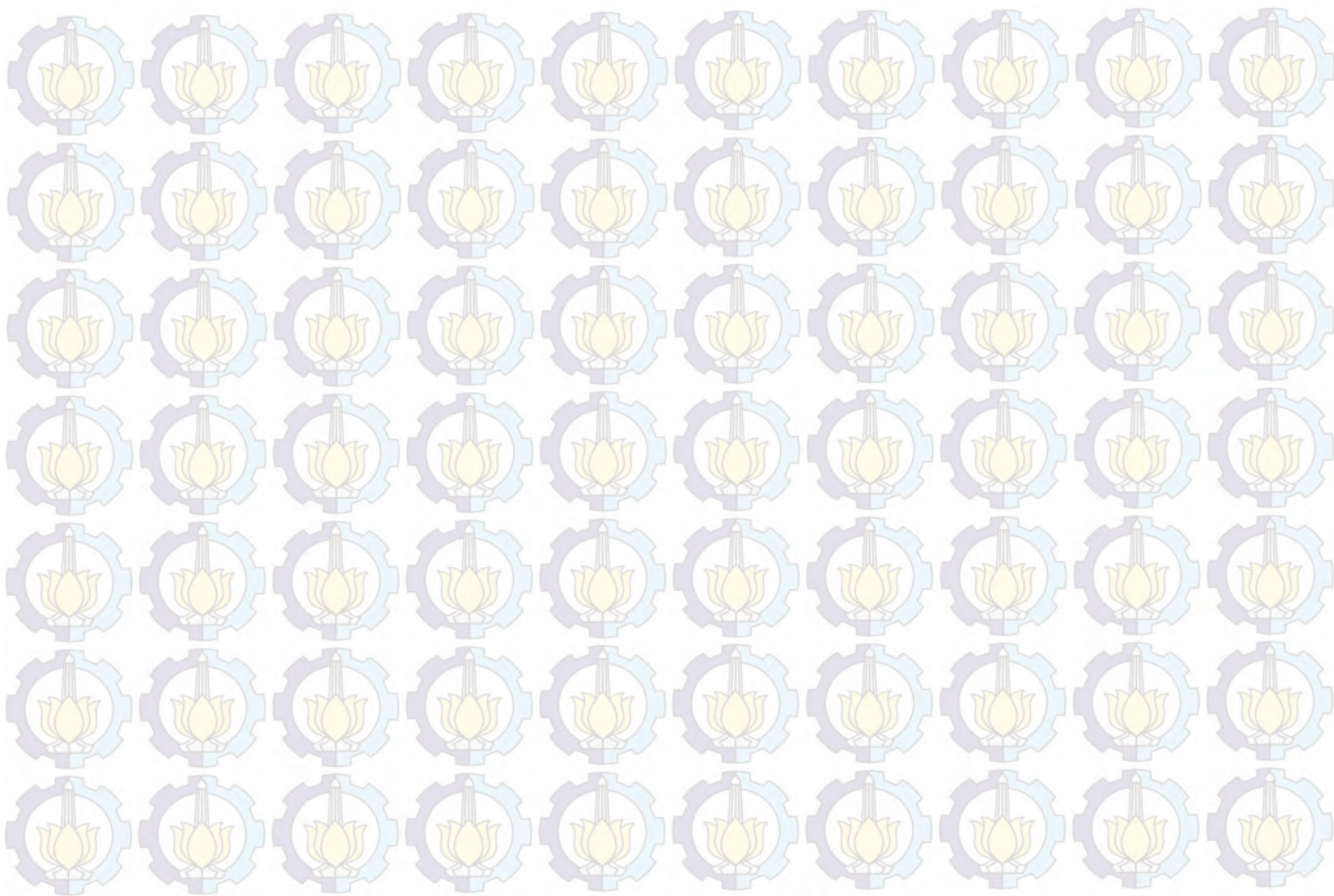


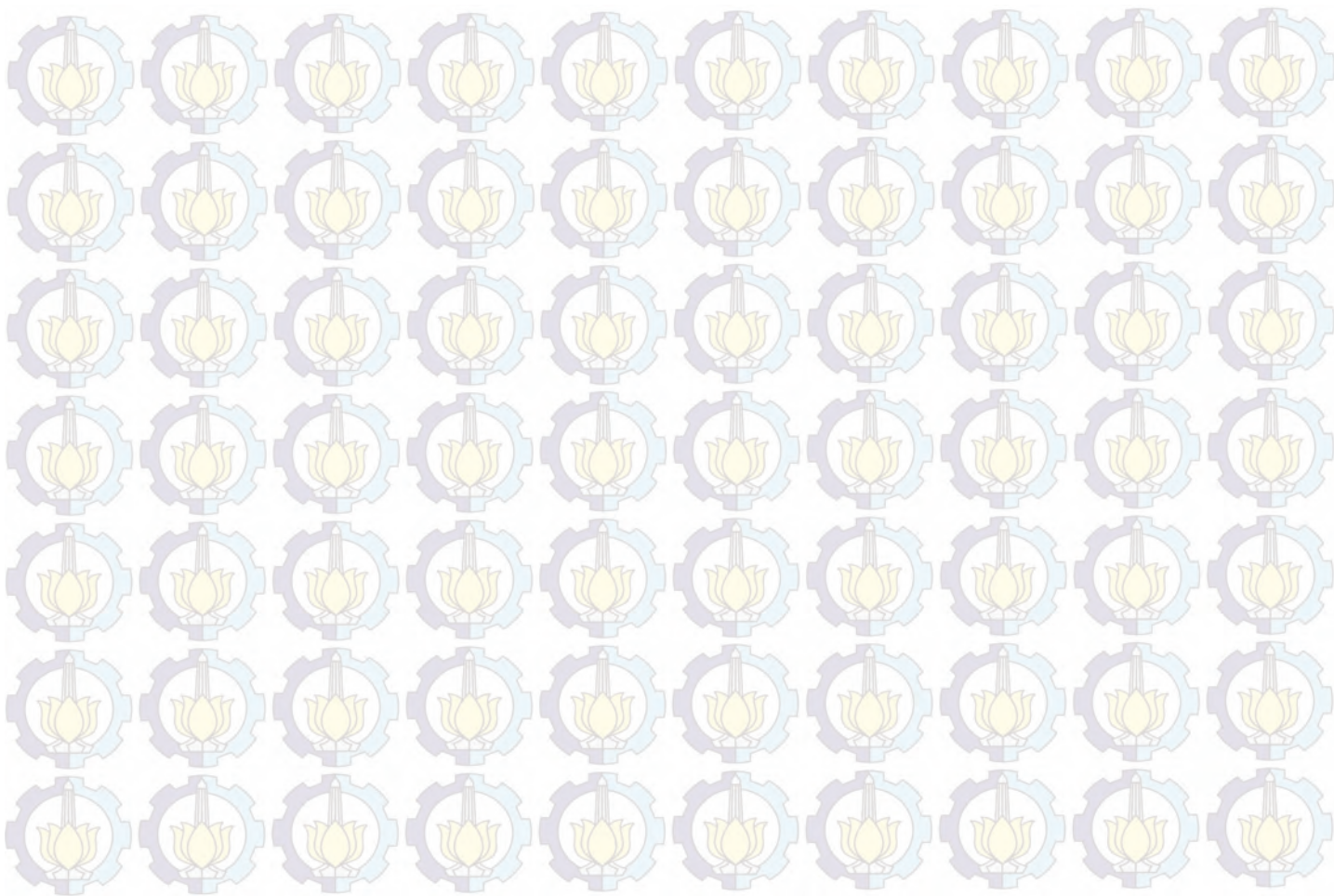












Lampiran 5: Geotekstile

STA. 9+110 mat (-4)

Lapisan tanah 1

No Layer	Hi	H	Ti	$\tan \theta$	C	σ_v	Ka	σ_h	τ_1	τ_2	le
	m	m	m		kN/m ²	kN/m ²		kN/m ²	kN/m ²	kN/m ²	m
	(a)	(b)	(c)	(d)	(e)	(f)	(g)	(h)	(i)	(j)	(k)
1	3,8	0,2	6,5	0,573401	4	72,048	0,579	47,533	45,312	45,312	0,772
2	3,5	0,5	6,2	0,573401	4	66,36	0,579	44,238	42,051	42,051	0,832
3	3,2	0,8	5,9	0,573401	4	60,672	0,579	40,942	38,789	38,789	0,902
4	2,9	1,1	5,6	0,573401	4	54,984	0,579	37,647	35,528	35,528	0,984
5	2,6	1,4	5,3	0,573401	4	49,296	0,579	34,352	32,266	32,266	1,084
6	2,3	1,7	5	0,573401	4	43,608	0,579	31,057	29,005	29,005	1,206
7	2	2	4,7	0,573401	4	37,92	0,579	27,761	25,743	25,743	1,359
8	1,7	2,3	4,4	0,573401	4	32,232	0,579	24,466	22,482	22,482	1,556
9	1,4	2,6	4,1	0,573401	4	26,544	0,579	21,171	19,220	19,220	1,820
10	1,1	2,9	3,8	0,573401	4	20,856	0,579	17,876	15,959	15,959	2,191
11	0,8	3,2	3,5	0,573401	4	15,168	0,579	14,581	12,697	12,697	2,754

STA. 9+100

mat (-4)

Lapisan tanah 1

No	Hi	H	Ti	$\tan \theta$	C	σv	Ka	σh	$\tau 1$	$\tau 2$	Le
Layer	m	m	m		kN/m ²	kN/m ²		kN/m ²	kN/m ²	kN/m ²	m
	(a)	(b)	(c)	(d)	(e)	(f)	(g)	(h)	(i)	(j)	(k)
1	3,6	0,2	5,6	0,573401	4,5	68,256	0,579	45,336	43,638	43,638	0,801
2	3,3	0,5	5,3	0,573401	4,5	62,568	0,579	42,041	40,377	40,377	0,866
3	3	0,8	5	0,573401	4	56,88	0,579	38,746	36,615	36,615	0,955
4	2,7	1,1	4,7	0,573401	4	51,192	0,579	35,450	33,354	33,354	1,049
5	2,4	1,4	4,4	0,573401	4	45,504	0,579	32,155	30,092	30,092	1,162
6	2,1	1,7	4,1	0,573401	4	39,816	0,579	28,860	26,831	26,831	1,303
7	1,8	2	3,8	0,573401	4	34,128	0,579	25,565	23,569	23,569	1,484
8	1,5	2,3	3,5	0,573401	4	28,44	0,579	22,269	20,308	20,308	1,722
9	1,2	2,6	3,2	0,573401	4	22,752	0,579	18,974	17,046	17,046	2,052
10	0,9	2,9	2,9	0,573401	4	17,064	0,579	15,679	13,785	13,785	2,537
11	0,6	3,2	2,6	0,573401	4	11,376	0,579	12,384	10,523	10,523	3,324

STA 9+090

mat (-4)

Lapisan tanah 1

No	Hi	H	Ti	$\tan \theta$	C	σv	Ka	σh	$\tau 1$	$\tau 2$	Le
Layer	m	m	m		kN/m ²	kN/m ²		kN/m ²	kN/m ²	kN/m ²	m
	(a)	(b)	(c)	(d)	(e)	(f)	(g)	(h)	(i)	(j)	(k)
1	3,3	0,2	5,8	0,573401	4,5	62,568	0,579	42,041	40,377	40,377	0,866
2	3	0,5	5,5	0,573401	4	56,88	0,579	38,746	36,615	36,615	0,955
3	2,7	0,8	5,2	0,573401	4	51,192	0,579	35,450	33,354	33,354	1,049
4	2,4	1,1	4,9	0,573401	4	45,504	0,579	32,155	30,092	30,092	1,162
5	2,1	1,4	4,6	0,573401	4	39,816	0,579	28,860	26,831	26,831	1,303
6	1,8	1,7	4,3	0,573401	4	34,128	0,579	25,565	23,569	23,569	1,484
7	1,5	2	4	0,573401	4	28,44	0,579	22,269	20,308	20,308	1,722
8	1,2	2,3	3,7	0,573401	4	22,752	0,579	18,974	17,046	17,046	2,052
9	0,9	2,6	3,4	0,573401	4	17,064	0,579	15,679	13,785	13,785	2,537
10	0,6	2,9	3,1	0,573401	4	11,376	0,579	12,384	10,523	10,523	3,324
11	0,3	3,2	2,8	0,573401	4	5,688	0,579	9,089	7,262	7,262	4,816

STA 9+075

mat (-4)

No	Hi	H	Ti	$\tan \theta$	C	σv	Ka	σh	$\tau 1$	$\tau 2$	Le	
Layer	m	m	m		kN/m ²	kN/m ²		kN/m ²	kN/m ²	kN/m ²	m	
	(a)	(b)	(c)	(d)	(e)	(f)	(g)	(h)	(i)	(j)	(k)	
Lapisan 1	1	3	0,2	6,8	0,573401	4,2	56,28	0,579	38,398	36,471	36,471	0,959
	2	2,7	0,5	6,5	0,573401	4,2	50,652	0,579	35,138	33,044	33,244	1,055
	3	2,4	0,8	6,2	0,573401	4	45,024	0,579	31,877	29,817	29,817	1,173
	4	2,1	1,1	5,9	0,573401	4	39,396	0,579	28,617	26,590	26,590	1,315
	5	1,8	1,4	5,6	0,573401	4	33,768	0,579	25,356	23,363	23,363	1,497
	6	1,5	1,7	5,3	0,573401	4	28,14	0,579	22,096	20,136	20,136	1,737
	7	1,2	2	5	0,573401	4	22,512	0,579	18,835	16,908	16,908	2,068
	8	0,9	2,3	4,7	0,573401	4	16,884	0,579	15,575	13,681	13,681	2,556
	9	0,6	2,6	4,4	0,573401	4	11,256	0,579	12,314	10,454	10,454	3,345
	10	0,3	2,9	4,1	0,573401	4	5,628	0,579	9,054	7,227	7,227	4,839

Lampiran 5

Geotekstile

STA. 9+110

mat (-6)

Lapisan 2

Lapisan 1

No Layer	Hi m	H m	Ti m	$\tan \theta$	C kN/m ²	σ_v kN/m ²	Ka	ϕ_h kN/m ²	τ_1 kN/m ²	τ_2 kN/m ²	Le m
	(a) (b)	(b) (c)	(c) (d)	(d) (e)	(e) (f)	(f) (g)	(g) (h)	(h) (i)	(i) (j)	(j) (k)	
1	5,7	0,3	8,4	0,5734	4,5	108,072	0,579	68,403	66,469	66,469	0,526
2	5,4	0,6	8,1	0,5734	4,5	102,384	0,579	65,107	63,207	63,207	0,553
3	5,1	0,9	7,8	0,5734	4,5	96,696	0,579	61,812	59,946	59,946	0,583
4	4,8	1,2	7,5	0,5734	4,5	91,008	0,579	58,517	56,684	56,684	0,617
5	4,5	1,5	7,2	0,5734	4,5	85,32	0,579	55,222	53,423	53,423	0,655
6	4,2	1,8	6,9	0,5734	4,5	79,632	0,579	51,927	49,661	50,161	0,701
7	3,9	2,1	6,6	0,5734	4	73,944	0,579	48,631	46,400	46,400	0,754
8	3,6	2,4	6,3	0,5734	4	68,256	0,579	45,336	43,138	43,138	0,811
9	3,3	2,7	6	0,5734	4	62,568	0,579	42,041	39,877	39,877	0,877
10	3	3	5,7	0,5734	4	56,88	0,579	38,746	36,615	36,615	0,955
11	2,7	3,3	5,4	0,5734	4	51,192	0,579	35,450	33,354	33,354	1,049
12	2,4	3,6	5,1	0,5734	4	45,504	0,579	32,155	30,092	30,092	1,162
13	2,1	3,9	4,8	0,5734	4	39,816	0,579	28,860	26,831	26,831	1,303
14	1,8	4,2	4,5	0,5734	4	34,128	0,579	25,565	23,569	23,569	1,484
15	1,5	4,5	4,2	0,5734	4	28,44	0,579	22,269	20,308	20,308	1,722
16	1,2	4,8	3,9	0,5734	4	22,752	0,579	18,974	17,046	17,046	2,052
17	0,9	5,1	3,6	0,5734	4	17,064	0,579	15,679	13,785	13,785	2,537
18	0,6	5,4	3,3	0,5734	4	11,376	0,579	12,384	10,523	10,523	3,324

STA. 9+100

mat (-6)

Lapisan 1
Lapisan 2

No	Hi	H	Ti	$\tan \theta$	C	σ_v	Ka	σ_h	τ_1	τ_2	Le
Layer	m	m	m		kN/m2	kN/m2		kN/m2	kN/m2	kN/m2	m
	(a)	(b)	(c)	(d)	(e)	(f)	(g)	(h)	(i)	(j)	(k)
1	5,5	0,3	7,5	0,5734	4,5	104,28	0,579	66,206	64,294	64,294	0,544
2	5,2	0,6	7,2	0,5734	4,5	98,592	0,579	62,911	61,033	61,033	0,573
3	4,9	0,9	6,9	0,5734	4,5	92,904	0,579	59,615	57,771	57,771	0,605
4	4,6	1,2	6,6	0,5734	4,5	87,216	0,579	56,320	54,510	54,510	0,642
5	4,3	1,5	6,3	0,5734	4,5	81,528	0,579	53,025	51,248	51,248	0,682
6	4	1,8	6	0,5734	4,5	75,84	0,579	49,730	47,987	47,987	0,729
7	3,7	2,1	5,7	0,5734	4,5	70,152	0,579	46,434	44,725	44,725	0,782
8	3,4	2,4	5,4	0,5734	4,5	64,464	0,579	43,139	41,464	41,464	0,843
9	3,1	2,7	5,1	0,5734	4,5	58,776	0,579	39,844	37,702	38,202	0,922
10	2,8	3	4,8	0,5734	4	53,088	0,579	36,549	34,441	34,441	1,015
11	2,5	3,3	4,5	0,5734	4	47,4	0,579	33,254	31,179	31,179	1,122
12	2,2	3,6	4,2	0,5734	4	41,712	0,579	29,958	27,918	27,918	1,253
13	1,9	3,9	3,9	0,5734	4	36,024	0,579	26,663	24,656	24,656	1,418
14	1,6	4,2	3,6	0,5734	4	30,336	0,579	23,368	21,395	21,395	1,635
15	1,3	4,5	3,3	0,5734	4	24,648	0,579	20,073	18,133	18,133	1,929
16	1	4,8	3	0,5734	4	18,96	0,579	16,777	14,872	14,872	2,352
17	0,7	5,1	2,7	0,5734	4	13,272	0,579	13,482	11,610	11,610	3,012
18	0,4	5,4	2,4	0,5734	4	7,584	0,579	10,187	8,349	8,349	4,189

Le pakai m	Lo m	Lr m	L m	Jumlah Lembar	ΔMR	ΔMR komulatif	L total m
(l) (m)	(m)	(n)	(o)	(p)	(q)	(r)	(s)
1	1	3,3	6	2	645,66	645,66	12
1	1	3,3	6	1	309,92	955,58	6
1	1	3,1	6	1	297,00	1252,58	6
1	1	3,1	6	1	284,09	1536,67	6
1	1	2,9	5	1	271,18	1807,85	5
1	1	2,8	5	1	258,26	2066,12	5
1	1	2,7	5	1	245,35	2311,47	5
1	1	2,5	5	1	232,44	2543,90	5
1	1	2,4	5	1	219,52	2763,43	5
2	1	2,3	6	1	206,61	2970,04	6
2	1	2,2	6	1	193,70	3163,74	6
2	1	1,9	5	1	180,79	3344,52	5
2	1	1,8	5	1	167,87	3512,40	5
2	1	1,6	5	1	154,96	3667,36	5
2	1	1,5	5	1	142,05	3809,40	5
3	1	1,2	6	1	129,13	3938,53	6
4	1	1,1	7	1	116,22	4054,75	7
5	1	0,9	7	1	103,31	4158,06	7
Panjang Total					107		

STA. 9+090

mat (-6)

Lapisan 1
Lapisan 2

No	Hi	H	Ti	$\tan \theta$	C	σv	Ka	σh	$\tau 1$	$\tau 2$	Le
Layer	m	m	m		kN/m2	kN/m2		kN/m2	kN/m2	kN/m2	m
	(a)	(b)	(c)	(d)	(e)	(f)	(g)	(h)	(i)	(j)	(k)
1	5,2	0,3	5,2	0,5734	4,5	98,592	0,579	62,911	61,033	61,033	0,573
2	4,9	0,6	4,9	0,5734	4,5	92,904	0,579	59,615	57,771	57,771	0,605
3	4,6	0,9	4,6	0,5734	4,5	87,216	0,579	56,320	54,510	54,510	0,642
4	4,3	1,2	4,3	0,5734	4,5	81,528	0,579	53,025	51,248	51,248	0,682
5	4	1,5	4	0,5734	4,5	75,84	0,579	49,730	47,987	47,987	0,729
6	3,7	1,8	3,7	0,5734	4,5	70,152	0,579	46,434	44,725	44,725	0,782
7	3,4	2,1	3,4	0,5734	4,5	64,464	0,579	43,139	41,464	41,464	0,843
8	3,1	2,4	3,1	0,5734	4,5	58,776	0,579	39,844	37,702	38,202	0,922
9	2,8	2,7	2,8	0,5734	4	53,088	0,579	36,549	34,441	34,441	1,015
10	2,5	3	2,5	0,5734	4	47,4	0,579	33,254	31,179	31,179	1,122
11	2,2	3,3	2,2	0,5734	4	41,712	0,579	29,958	27,918	27,918	1,253
12	1,9	3,6	1,9	0,5734	4	36,024	0,579	26,663	24,656	24,656	1,418
13	1,6	3,9	1,6	0,5734	4	30,336	0,579	23,368	21,395	21,395	1,635
14	1,3	4,2	1,3	0,5734	4	24,648	0,579	20,073	18,133	18,133	1,929
15	1	4,5	1	0,5734	4	18,96	0,579	16,777	14,872	14,872	2,352
16	0,7	4,8	0,7	0,5734	4	13,272	0,579	13,482	11,610	11,610	3,012
17	0,4	5,1	0,4	0,5734	4	7,584	0,579	10,187	8,349	8,349	4,189

Le pakai	Lo	Lr	L	Jumlah	ΔMR	ΔMR	L total
m	m	m	m	Lembar		komulatif	m
(l)	(m)	(n)	(o)	(p)	(q)	(r)	(s)
1	1	3,3	6	2	447,66	447,66	12
1	1	3,1	6	2	421,83	869,49	12
1	1	3	5	2	396,01	1265,50	10
1	1	2,9	5	2	370,18	1635,67	10
1	1	2,8	5	2	344,35	1980,03	10
1	1	2,7	5	2	318,53	2298,55	10
1	1	2,5	5	2	292,70	2591,25	10
1	1	2,3	5	2	266,87	2858,13	10
2	1	2,1	6	1	120,52	2978,65	6
2	1	2	5	1	107,61	3086,26	5
2	1	1,8	5	1	94,70	3180,96	5
2	1	1,6	5	1	81,78	3262,74	5
2	1	1,4	5	1	68,87	3331,61	5
2	1	1,1	5	1	55,96	3387,57	5
3	1	1	5	1	43,04	3430,61	5
4	1	0,7	6	1	30,13	3460,74	6
5	1	0,5	7	1	17,22	3477,96	7
Panjang Total					133		

STA. 9+075

mat (-6)

Lapisan 2
Lapisan 1

No	Hi	H	Ti	$\tan \theta$	C	σv	Ka	σh	$\tau 1$	$\tau 2$	Le
Layer	m	m	m		kN/m2	kN/m2		kN/m2	kN/m2	kN/m2	m
	(a)	(b)	(c)	(d)	(e)	(f)	(g)	(h)	(i)	(j)	(k)
1	4,9	0,3	8,8	0,5734	4,2	91,924	0,579	59,048	56,909	56,909	0,615
2	4,6	0,6	8,5	0,5734	4,2	86,296	0,579	55,787	53,682	53,682	0,651
3	4,3	0,9	8,2	0,5734	4,2	80,668	0,579	52,527	50,455	50,455	0,693
4	4	1,2	7,9	0,5734	4,2	75,04	0,579	49,266	47,228	47,228	0,741
5	3,7	1,5	7,6	0,5734	4,2	69,412	0,579	46,006	44,001	44,001	0,795
6	3,4	1,8	7,3	0,5734	4,2	63,784	0,579	42,745	40,774	40,774	0,858
7	3,1	2,1	7	0,5734	4,2	58,156	0,579	39,485	37,547	37,547	0,931
8	2,8	2,4	6,7	0,5734	4,2	52,528	0,579	36,224	34,320	34,320	1,019
9	2,5	2,7	6,4	0,5734	4,2	46,9	0,579	32,964	30,893	31,093	1,128
10	2,2	3	6,1	0,5734	4	41,272	0,579	29,703	27,665	27,665	1,264
11	1,9	3,3	5,8	0,5734	4	35,644	0,579	26,443	24,438	24,438	1,431
12	1,6	3,6	5,5	0,5734	4	30,016	0,579	23,182	21,211	21,211	1,649
13	1,3	3,9	5,2	0,5734	4	24,388	0,579	19,922	17,984	17,984	1,945
14	1	4,2	4,9	0,5734	4	18,76	0,579	16,662	14,757	14,757	2,370
15	0,7	4,5	4,6	0,5734	4	13,132	0,579	13,401	11,530	11,530	3,033
16	0,4	4,8	4,3	0,5734	4	7,504	0,579	10,141	8,303	8,303	4,212

Le pakai	Lo	Lr	L	Jumlah	ΔMR	ΔMR	L total
m	m	m	m	Lembar		komulatif	m
(l)	(m)	(n)	(o)	(p)	(q)	(r)	(s)
1	1	3,6	6	2	757,58	757,58	12
1	1	3,4	6	2	731,75	1489,33	12
1	1	3,3	6	2	705,92	2195,25	12
1	1	3,1	6	2	680,10	2875,34	12
1	1	3	5	2	654,27	3529,61	10
1	1	2,8	5	2	628,44	4158,06	10
1	1	2,7	5	2	602,62	4760,67	10
2	1	2,5	6	2	576,79	5337,47	12
2	1	2,3	6	2	550,96	5888,43	12
2	1	2,2	6	2	525,14	6413,57	12
2	1	2	5	2	499,31	6912,88	10
2	1	1,7	5	2	473,48	7386,36	10
2	1	1,5	5	2	447,66	7834,02	10
3	1	1,3	6	2	421,83	8255,85	12
4	1	1,1	7	1	198,00	8453,86	7
5	1	0,9	7	1	185,09	8638,95	7
					Panjang Total		170

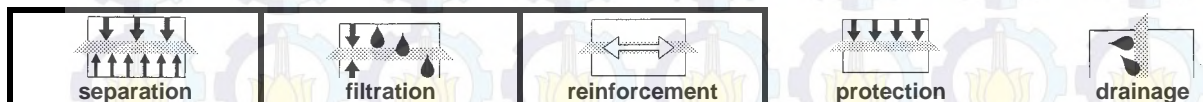
SG 100P/100PU

Woven polypropylene geotextile made of slit film tapes

Technical data sheet according to internal specifications TF: version 06 dd. 01/02/08



1137-CPD-601
10



	test method	value	tolerance
Mechanical properties			
Tensile strength MD	EN ISO 10319	100 kN/m	- 9,5 kN/m
Tensile strength CD		100 kN/m	- 9,5 kN/m
Elongation MD	EN ISO 10319	15 %	+/- 3,5 %
Elongation CD		8 %	+/- 1,8 %
Static puncture resistance – CBR	EN ISO 12236	10 kN	- 2 kN
Dynamic perforation resistance – cone drop	EN 918	10 mm	+ 2 mm
Hydraulic properties			
Water permeability normal to the plane	EN ISO 11058	25×10^{-3} m/s	- $7,5 \times 10^{-3}$ m/s
Water flow normal to the plane		25 l/m ² .s	- 7,5 l/m ² .s
Characteristic opening size	EN ISO 12956	250 µm	+/- 75,0 µm
Physical properties			
Thickness under 2 kPa	EN 964/1	1,53 mm	+/- 0,30 mm
Weight	EN 965	465 g/m ²	+/- 46 g/m ²
Composition	100% polypropylene woven geotextile, UV stabilized		

Durability	• predicted to be durable for a minimum of 25 years in natural soil with $4 < \text{pH} < 9$ and soil temperatures $< 25^\circ\text{C}$.
------------	---

roads EN 13249:2000	railways EN 13250:2000	foundations & retaining walls EN 13251:2000	drainage systems EN 13252:2000	erosion control systems EN 13253:2000
reservoirs & dams EN 13254:2000	canals EN 13255:2000	tunnels & underground structures EN 13256:2000	solid waste EN 13257:2000	liquid waste EN 13265:2000

1. This geotextile is intended for use in both functions & applications highlighted with a bold border.
2. It is the responsibility of all users to satisfy themselves that the above data is current.
3. Roll dimensions are 5,25 m x 100/200 m. Other dimensions on demand.
4. Bonar Technical Fabrics reserves the right to alter product specifications without prior notice. It is the responsibility of all users to satisfy themselves that the above data is current.
5. Although not guaranteed, these results do to the best of our knowledge offer a true and accurate record of the product's performance.
6. Bonar Technical Fabrics cannot accept responsibility for the performance of these products as the conditions of use are beyond our control.



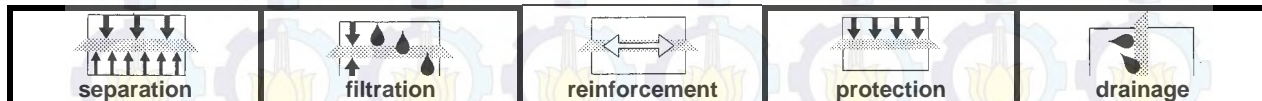
SNW 75

Superior needle punched non-woven polypropylene geotextile

Technical data sheet according to internal specifications TF: version 4 dd. 24/10/2008
Accompanying documents CE marking: version 4 dd. 24/10/2008



1137-CPD-615
10

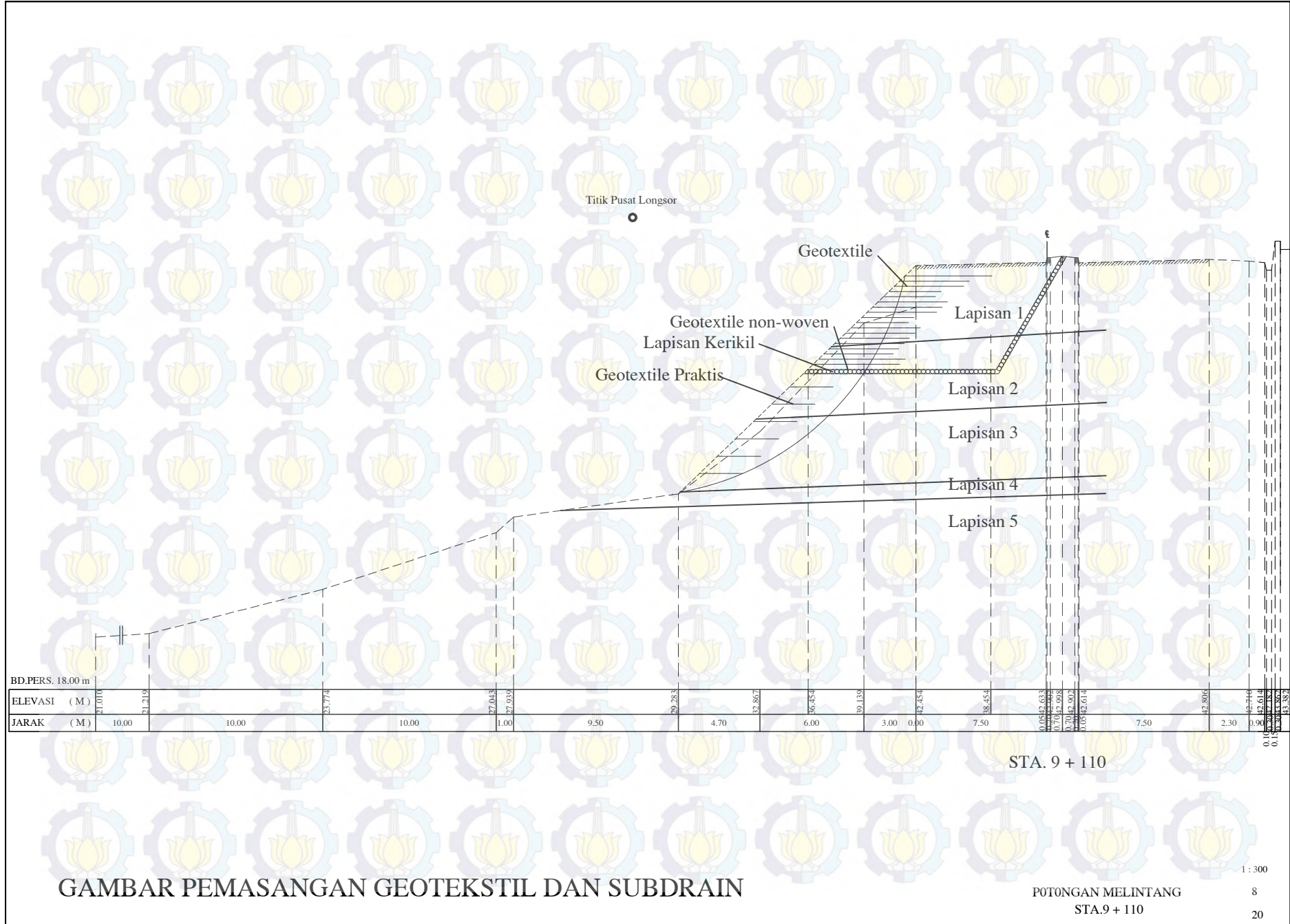


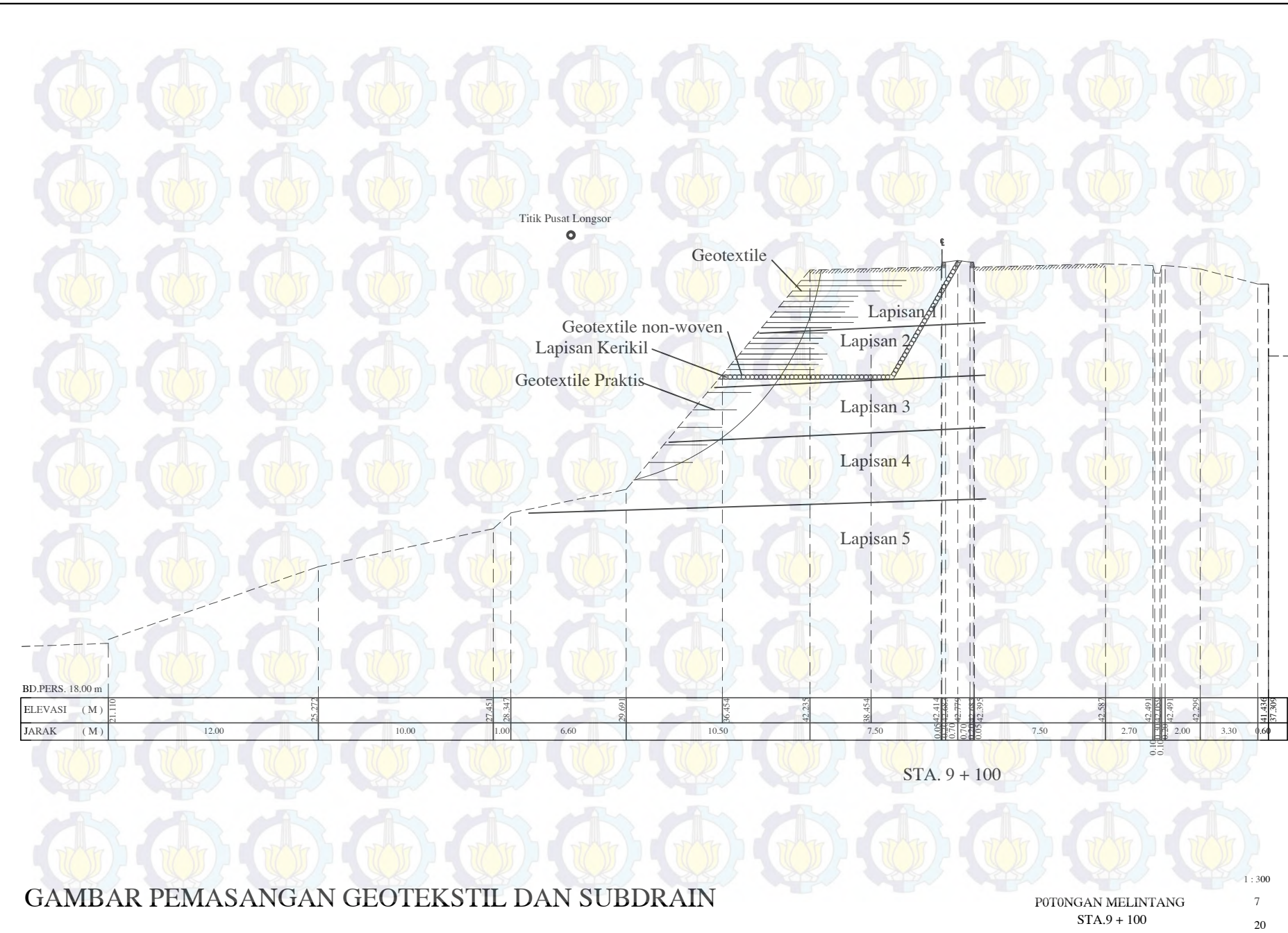
	test method	value	tolerance
Mechanical properties			
Tensile strength MD	EN ISO 10319	43 kN/m	- 5,6 kN/m
Tensile strength CD		43 kN/m	- 5,6 kN/m
Elongation MD	EN ISO 10319	65 %	+/- 14,95 %
Elongation CD		65 %	+/- 14,95 %
Static puncture resistance – CBR	EN ISO 12236	7,4 kN	- 1,50 kN
Dynamic perforation resistance – cone drop	EN ISO 13433	5 mm	+ 1,00 mm
Protection efficiency	EN ISO 14574	750 N	- 150 N
Hydraulic properties			
Water permeability normal to the plane	EN ISO 11058	42 x10-3 m/s	- 13 x10-3 m/s
Water flow normal to the plane		42 l/m².s	- 13 l/m².s
Water flow capacity in the plane 20 kPa	EN ISO 12958	8,5x10-6 m²/s	- 10% log q
Characteristic opening size	EN ISO 12956	70 µm	+/- 21,00 µm
Physical properties			
Thickness under 2 kPa	EN ISO 9863-1	4 mm	+/- 0,80 mm
Weight	EN ISO 9864	600 g/m²	+/- 60 g/m²
Composition	100 % polypropylene non-woven geotextile		

Durability	<ul style="list-style-type: none"> predicted to be durable for a minimum of 25 years in natural soil with $4 < \text{pH} < 9$ and soil temperatures $< 25^\circ\text{C}$.
------------	---

roads EN 13249:2000	railways EN 13250:2000	foundations & retaining walls EN 13251:2000	drainage systems EN 13252:2000	erosion control systems EN 13253:2000
reservoirs & dams EN 13254:2000	canals EN 13255:2000	tunnels & under-ground structures EN 13256:2000	solid waste EN 13257:2000	liquid waste EN 13265:2000

- This geotextile is intended for use in both functions & applications highlighted with a bold border.
- It is the responsibility of all users to satisfy themselves that the above data is current.
- Roll dimensions are 5,25 m x 50 m. Other dimensions on demand.
- Bonar Technical Fabrics reserves the right to alter product specifications without prior notice. It is the responsibility of all users to satisfy themselves that the above data is current.
- Although not guaranteed, these results do to the best of our knowledge offer a true and accurate record of the product's performance.
- Bonar Technical Fabrics cannot accept responsibility for the performance of these products as the conditions of use are beyond our control.

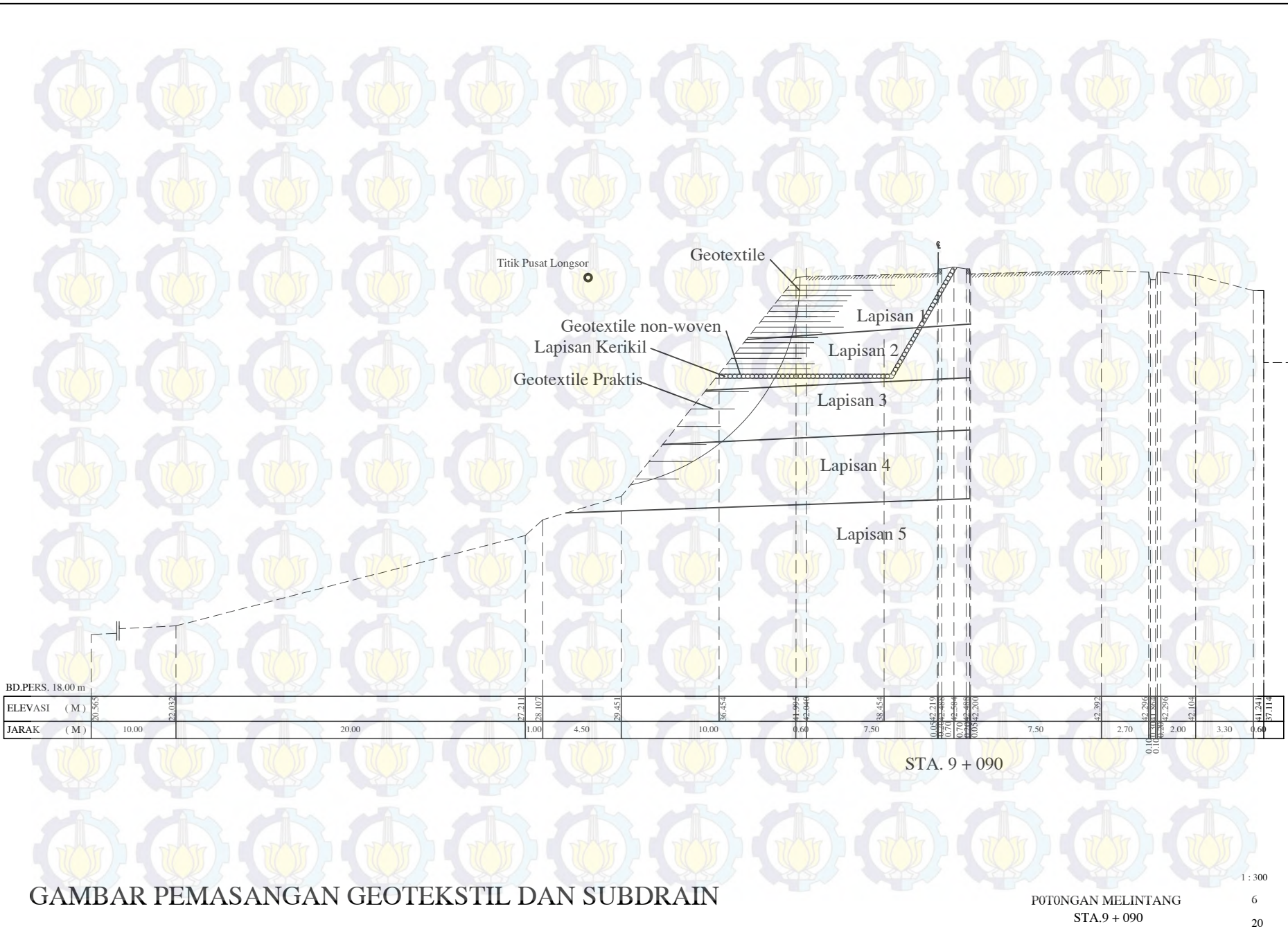


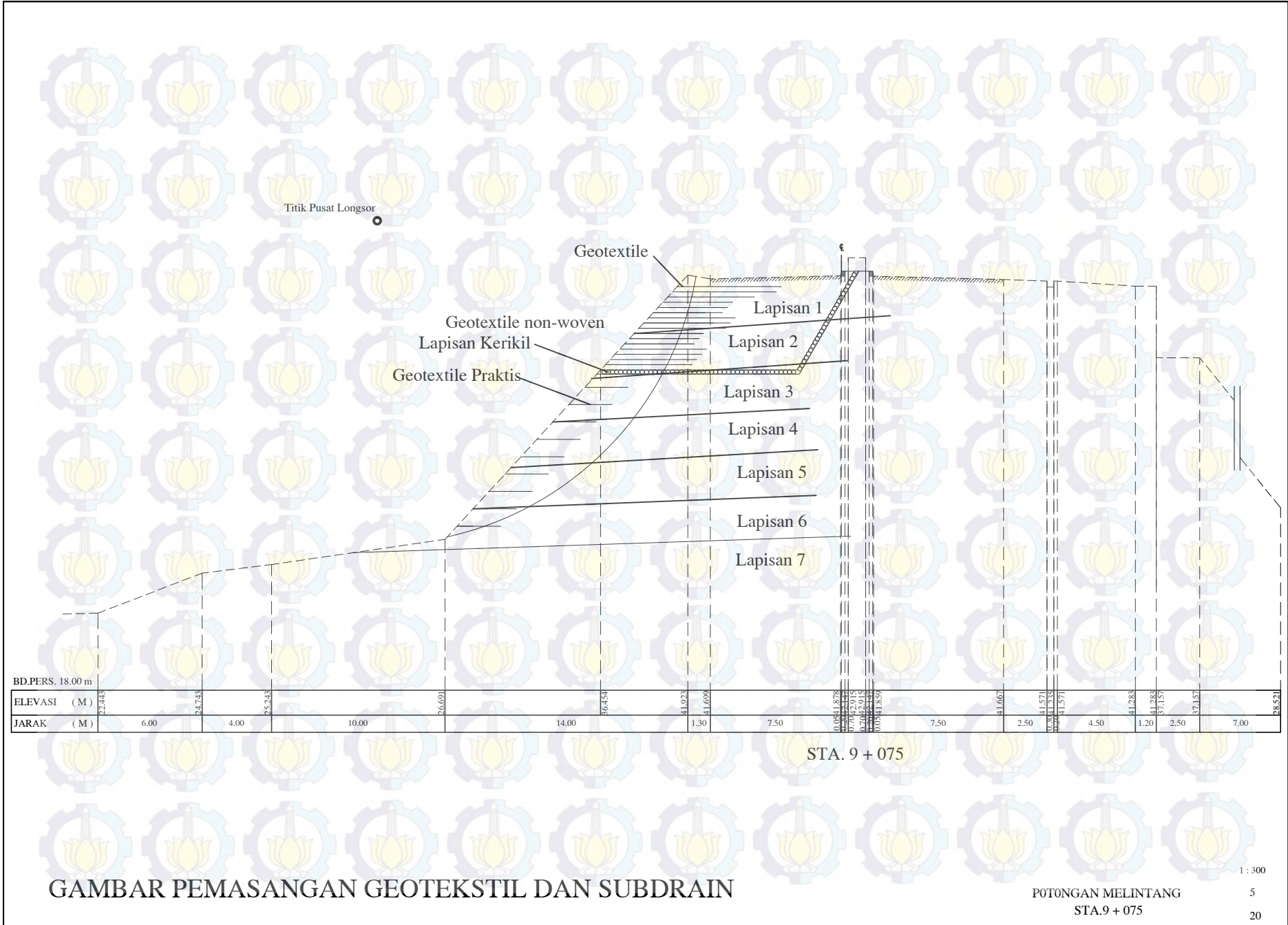


GAMBAR PEMASANGAN GEOTEKSTIL DAN SUBDRAIN

POTONGAN MELINTANG
STA.9 + 100

7
20





Lampiran 6

Perhitungan Geotektile dalam perkuatan Ground Anchor dan Geotekstil

STA. 9+110

No layer	Hi m	H m	Ti m	$\tan \theta$	C kN/m ²	σ_v	Ka	σ_h kN/m ²	τ_1 kN/m ²	τ_2 kN/m ²	Le m
(a)	(b)	(c)	(d)	(e)	(f)	(g)	(h)	(i)	(j)	(k)	
1	3,8	0,2	6,8	0,573	4	72,048	0,579	47,533	45,312	45,312	0,772
2	3,5	0,5	6,5	0,573	4	66,36	0,579	44,238	42,051	42,051	0,832
3	3,2	0,8	6,2	0,573	4	60,672	0,579	40,942	38,789	38,789	0,902
4	2,9	1,1	5,9	0,573	4	54,984	0,579	37,647	35,528	35,528	0,984
5	2,6	1,4	5,6	0,573	4	49,296	0,579	34,352	32,266	32,266	1,084
6	2,3	1,7	5,3	0,573	4	43,608	0,579	31,057	29,005	29,005	1,206
7	2	2	5	0,573	4	37,92	0,579	27,761	25,743	25,743	1,359
8	1,7	2,3	4,7	0,573	4	32,232	0,579	24,466	22,482	22,482	1,556
9	1,4	2,6	4,4	0,573	4	26,544	0,579	21,171	19,220	19,220	1,820
10	1,1	2,9	4,1	0,573	4	20,856	0,579	17,876	15,959	15,959	2,191
11	0,8	3,2	3,8	0,573	4	15,168	0,579	14,581	12,697	12,697	2,754

Lapisan tanah 1

Le pakai	Lo	Lr	L	Jumlah	ΔMR	ΔMR	L total
m	m	m	m	Lembar	komulatif		m
(l)	(m)	(n)	(o)	(p)	(q)	(r)	(s)
1	1	3,0	5	2	585,40	585,40	10
1	1	2,9	5	1	279,79	865,19	5
1	1	2,8	5	1	266,87	1132,06	5
1	1	2,6	5	1	253,96	1386,02	5
2	1	2,5	6	1	241,05	1627,07	6
2	1	2,4	6	1	228,13	1855,20	6
2	1	2,2	6	1	215,22	2070,42	6
2	1	2,0	5	1	202,31	2272,73	5
2	1	1,9	5	1	189,39	2462,12	5
3	1	1,7	6	1	176,48	2638,60	6
3	1	1,5	6	1	163,57	2802,17	6
					Panjang Total		65

STA. 9+100

No	Hi	H	Ti	$\tan \theta$	C	σ_v	Ka	σ_h	τ_1	τ_2	Le	
layer	m	m	m		kN/m ²	kN/m ²		kN/m ²	kN/m ²	kN/m ²	m	
	(a)	(b)	(c)	(d)	(e)	(f)	(g)	(h)	(i)	(j)	(k)	
Lapisan tanah 1.	1	3,6	0,2	6,86	0,573	4,5	68,256	0,579	45,336	43,638	43,638	0,801
	2	3,3	0,5	6,56	0,573	4,5	62,568	0,579	42,041	40,377	40,377	0,866
	3	3	0,8	6,26	0,573	4	56,88	0,579	38,746	36,615	36,615	0,955
	4	2,7	1,1	5,96	0,573	4	51,192	0,579	35,450	33,354	33,354	1,049
	5	2,4	1,4	5,66	0,573	4	45,504	0,579	32,155	30,092	30,092	1,162
	6	2,1	1,7	5,36	0,573	4	39,816	0,579	28,860	26,831	26,831	1,303
	7	1,8	2	5,06	0,573	4	34,128	0,579	25,565	23,569	23,569	1,484
	8	1,5	2,3	4,76	0,573	4	28,44	0,579	22,269	20,308	20,308	1,722
	9	1,2	2,6	4,46	0,573	4	22,752	0,579	18,974	17,046	17,046	2,052
	10	0,9	2,9	4,16	0,573	4	17,064	0,579	15,679	13,785	13,785	2,537
	11	0,6	3,2	3,86	0,573	4	11,376	0,579	12,384	10,523	10,523	3,324

Le pakai	Lo	Lr	L	Jumlah	ΔMR	ΔMR	L total
m	m	m	m	Lembar	komulatif		m
(l)	(m)	(n)	(o)	(p)	(q)	(r)	(s)
1	1	3,80	6	1	295,28	295,28	6
1	1	3,70	6	1	282,37	577,65	6
1	1	3,60	6	1	269,46	847,11	6
2	1	3,50	7	1	256,54	1103,65	7
2	1	3,30	7	1	243,63	1347,28	7
2	1	3,20	7	1	230,72	1578,00	7
2	1	3,10	7	1	217,80	1795,80	7
2	1	2,90	6	1	204,89	2000,69	6
3	1	2,70	7	1	191,98	2192,67	7
3	1	2,60	7	1	179,06	2371,73	7
4	1	2,40	8	1	166,15	2537,88	8
					Panjang Total	74	

No	Hi	H	Ti	$\tan \theta$	C	σ_v	Ka	σ_h	τ_1	τ_2	Le	
layer	m	m	m		kN/m ²	kN/m ²		kN/m ²	kN/m ²	kN/m ²	m	
	(a)	(b)	(c)	(d)	(e)	(f)	(g)	(h)	(i)	(j)	(k)	
Lapisan tanah 1.	1	3,3	0,2	7,25	0,573	4,5	62,568	0,579	42,041	40,377	40,377	0,866
	2	3	0,5	6,95	0,573	4	56,88	0,579	38,746	36,615	36,615	0,955
	3	2,7	0,8	6,65	0,573	4	51,192	0,579	35,450	33,354	33,354	1,049
	4	2,4	1,1	6,35	0,573	4	45,504	0,579	32,155	30,092	30,092	1,162
	5	2,1	1,4	6,05	0,573	4	39,816	0,579	28,860	26,831	26,831	1,303
	6	1,8	1,7	5,75	0,573	4	34,128	0,579	25,565	23,569	23,569	1,484
	7	1,5	2	5,45	0,573	4	28,44	0,579	22,269	20,308	20,308	1,722
	8	1,2	2,3	5,15	0,573	4	22,752	0,579	18,974	17,046	17,046	2,052
	9	0,9	2,6	4,85	0,573	4	17,064	0,579	15,679	13,785	13,785	2,537
	10	0,6	2,9	4,55	0,573	4	11,376	0,579	12,384	10,523	10,523	3,324
	11	0,3	3,2	4,25	0,573	4	5,688	0,579	9,089	7,262	7,262	4,816

Le pakai	Lo	Lr	L	Jumlah	ΔMR	ΔMR	L total
m	m	m	m	Lebar		komulatif	m
(l)	(m)	(n)	(o)	(p)	(q)	(r)	(s)
1	1	3,6	6	1	312,07	312,0696	6
1	1	3,6	6	1	299,156	611,2259	6
2	1	3,4	7	1	286,243	897,469	7
2	1	3,3	7	1	273,33	1170,799	7
2	1	3,2	7	1	260,417	1431,216	7
2	1	3,1	7	1	247,503	1678,719	7
2	1	2,9	6	1	234,59	1913,309	6
3	1	2,8	7	1	221,677	2134,986	7
3	1	2,7	7	1	208,764	2343,75	7
4	1	2,5	8	1	195,851	2539,601	8
5	1	2,4	9	1	182,937	2722,538	9
					Panjang Total		77

STA 9+075

	No	Hi	H	Ti	$\tan \theta$	C	σ_v	Ka	σ_h	τ_1	τ_2	Le
	layer	m	m	m		kN/m ²	kN/m ²		kN/m ²	kN/m ²	kN/m ²	m
		(a)	(b)	(c)	(d)	(e)	(f)	(g)	(h)	(i)	(j)	(k)
Lapisan 2	1	3	0,2	7	0,573	4,2	56,28	0,579	38,398	36,471	36,471	0,959
	2	2,7	0,5	6,7	0,573	4,2	50,652	0,579	35,138	33,044	33,244	1,055
Lapisan 1	3	2,4	0,8	6,4	0,573	4	45,024	0,579	31,877	29,817	29,817	1,173
	4	2,1	1,1	6,1	0,573	4	39,396	0,579	28,617	26,590	26,590	1,315
	5	1,8	1,4	5,8	0,573	4	33,768	0,579	25,356	23,363	23,363	1,497
	6	1,5	1,7	5,5	0,573	4	28,14	0,579	22,096	20,136	20,136	1,737
	7	1,2	2	5,2	0,573	4	22,512	0,579	18,835	16,908	16,908	2,068
	8	0,9	2,3	4,9	0,573	4	16,884	0,579	15,575	13,681	13,681	2,556
	9	0,6	2,6	4,6	0,573	4	11,256	0,579	12,314	10,454	10,454	3,345
	10	0,3	2,9	4,3	0,573	4	5,628	0,579	9,054	7,227	7,227	4,839

Le pakai	Lo	Lr	L	Jumlah	Δ MIR	Δ MR	L total
m	m	m	m	Lembar		komulatif	m
(l)	(m)	(n)	(o)	(p)	(q)	(r)	(s)
1	1	2,9	5	2	585,40	4356,06	10
1	1	2,7	6	2	559,57	4674,59	12
1	1	2,6	6	1	266,87	4980,20	6
1	1	2,4	6	1	253,96	585,40	6
2	1	2,2	6	1	241,05	1144,97	6
2	1	2	5	1	228,13	1411,85	5
2	1	1,9	6	1	215,22	1665,81	6
2	1	1,7	6	1	202,31	1906,85	6
2	1	1,5	7	1	189,39	2134,99	7
3	1	1,3	8	1	176,48	2350,21	8
						Panjang Total	72

LAMPIRAN 6

Kotrol PLAT

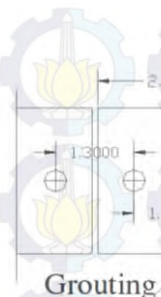
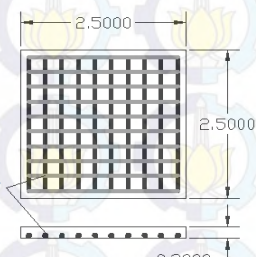
jarak = 2,6 m

N = 400 kN

B = 2,5 m

D = 0,2 m

SF = 2,5



Grouting

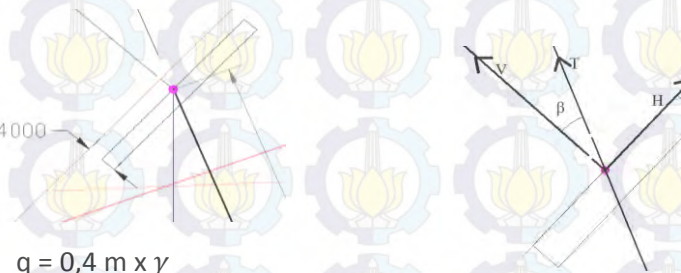
STA. 9+110

no	Lapisan	c'	phi	β	Nc	Nq	Ny	γ	Df	B	Q ult	SF	Q ijin	V	H	Qt	Ket
	(kN/m ²)		(derajat)				(kN/m ³)	(m)	(m)	(kN/m ²)		(kN/m ²)	(kN)	(kN)	(kN/m ²)		
1	2	3	29,83	2	18	8	5,5	18,96	0,2	2,5	177,082	2,5	70,8328	399,7563	13,9598	65,0331255	OK
2	2	3	29,83	11	18	8	5,5	18,96	0,2	2,5	177,082	2,5	70,8328	392,6509	76,3236	68,6857921	OK
3	3	3,2	29,83	16	18	8	5,5	18,96	0,2	2,5	181,762	2,5	72,7048	384,5047	110,2549	69,9883281	OK

Terzaghi bujur sangkar

$$Q_{ult} = 1,3 c' N_c + q N_q + 0,3 \gamma B N_y$$

$$Q_{ijin} = \frac{Q_{ult}}{SF}$$



$$Qt = \frac{P}{A} + \frac{My}{I}$$

$$Qt = \frac{V}{A} + \frac{(H \times D) \times y}{I}$$

$$Qt = \frac{T \times \cos \beta}{A} + \frac{(T \times \sin \beta \times D) \times y}{I}$$

STA. 9+100

no	Lapisan	c'	phi	β	Nc	Nq	Ny	γ	Df	B	Q ult	SF	Q ijin	V	H	Qt	Ket
	(kN/m ²)		(derajat)					(kN/m ³)	(m)	(m)	(kN/m ²)		(kN/m ²)	(kN)	(kN)	(kN/m ²)	
1	2	3	29,83	5	18	8	5,5	18,96	0,2	2,5	177,082	2,5	70,8328	398,4779	34,8623	66,4338851	OK
2	3	4,8	29,83	19	18	8	5,5	18,96	0,2	2,5	219,202	2,5	87,6808	378,2074	130,2273	70,5146425	OK
3	3 & 4	3,25	29,83	31	18	8	5,5	18,76	0,2	2,5	181,467	2,5	72,5868	342,8669	206,0152	70,6806769	OK

STA. 9+090

no	Lapisan	c'	phi	β	Nc	Nq	Ny	γ	Df	B	Q ult	SF	Q ijin	V	H	Qt	Ket
	(kN/m2)		(derajat)				(kN/m3)	(m)	(m)	(kN/m2)		(kN/m2)	(kN)	(kN)	(kN/m2)		
1	2	3	29,83	4	18	8	5,5	18,96	0,2	2,5	177,082	2,5	70,8328	399,0256	27,90259	65,9870181	OK
2	3	4,8	29,83	18	18	8	5,5	18,96	0,2	2,5	219,202	2,5	87,6808	380,4226	123,6068	70,3606191	OK
3	3 & 4	3,25	29,83	29	18	8	5,5	18,76	0,2	2,5	181,467	2,5	72,5868	349,8479	193,9238	70,8690128	OK

STA. 9+075

no	Lapisan	c'	phi	β	Nc	Nq	Ny	γ	Df	B	Q ult	SF	Q ijin	V	H	Qt	Ket
	(kN/m2)		(derajat)				(kN/m3)	(m)	(m)	(kN/m2)		(kN/m2)	(kN)	(kN)	(kN/m2)		
1	2	2,8	29,83	9	18	8	5,5	18,96	0,2	2,5	172,402	2,5	68,9608	395,0753	62,57379	68,0177206	OK
2	3	3,067	29,83	3	18	8	5,5	18,96	0,2	2,5	178,642	2,5	71,4568	399,4518	20,93438	65,5200508	OK
3	4	3,3	29,83	15	18	8	5,5	18,96	0,2	2,5	184,102	2,5	73,6408	386,3703	103,5276	69,7701739	OK
4	5	3,267	29,83	26	18	8	5,5	18,17	0,2	2,5	177,53525	2,5	71,0141	359,5176	175,3485	70,9895806	OK

► DESCRIPTION

TamCrete CGR is a dry powder form admixture specially developed high fluidity cement grout mix . It exhibits excellent pumping characteristics and high ultimate strengths with water cement ratios as low as 0.29.

TamCrete CGR will eliminates shrinkage of cement grout mix.

► KEY BENEFITS

- Increase fluidity of the mix
- Lower water demand
- Stable grout with zero bleed.
- Denser grout. Increase strength properties
- Shrinkage compensated
- Exhibits high ultimate strengths.

► TYPICAL APPLICATIONS

- Pressure Grouting of honeycomb
- Grouting of cable bolts.
- Backfill grout Tunnel applications.
- Encasement of pipe pile roofs in tunnels.
- Grouting of rock strata

► TECHNICAL DATA

TamCrete CGR	
Colour	Grey
Density	1.8
Form	Powder
Compressive Strength	
3 days	> 30N/mm ²
7 days	> 40N/mm ²
28 days	> 50N/mm ²
All at 25°C and 0.29 Water/ Cement ratio	

All technical data stated herein is based on tests carried out under laboratory conditions.

► APPLICATION GUIDELINES

To ensure optimum performance, always use fresh quality Portland cement

Equipment

Use a medium to high speed drill with suitable paddle mixer. For larger mixes, use a medium to high speed grout mixer 600 - 1,000rpm.

We recommend using a low pressure rotor/stator type pump.

Mixing

TamCrete CGR should be added to the Portland cement at a dosage level ranging from 3% - 6% by weight of the cement content in the mix.

Note: Dosage and water addition is dependent on cement quality and fineness.

Firstly add approx 95% of water to the mixing vessel (i.e. approx 22ltrs) and start mixer. Add 3% - 6% of TamCrete CGR to water and mix for 30 seconds. Add 100kg of Portland cement to the mixer and mix for approx 4 - 5 minutes, or until a lump free consistency is achieved. If required, add the remaining 5% of water (1ltr) and mix until correct consistency is achieved. Transfer the grout from the mixing vessel, into pump hopper.

► PACKAGING

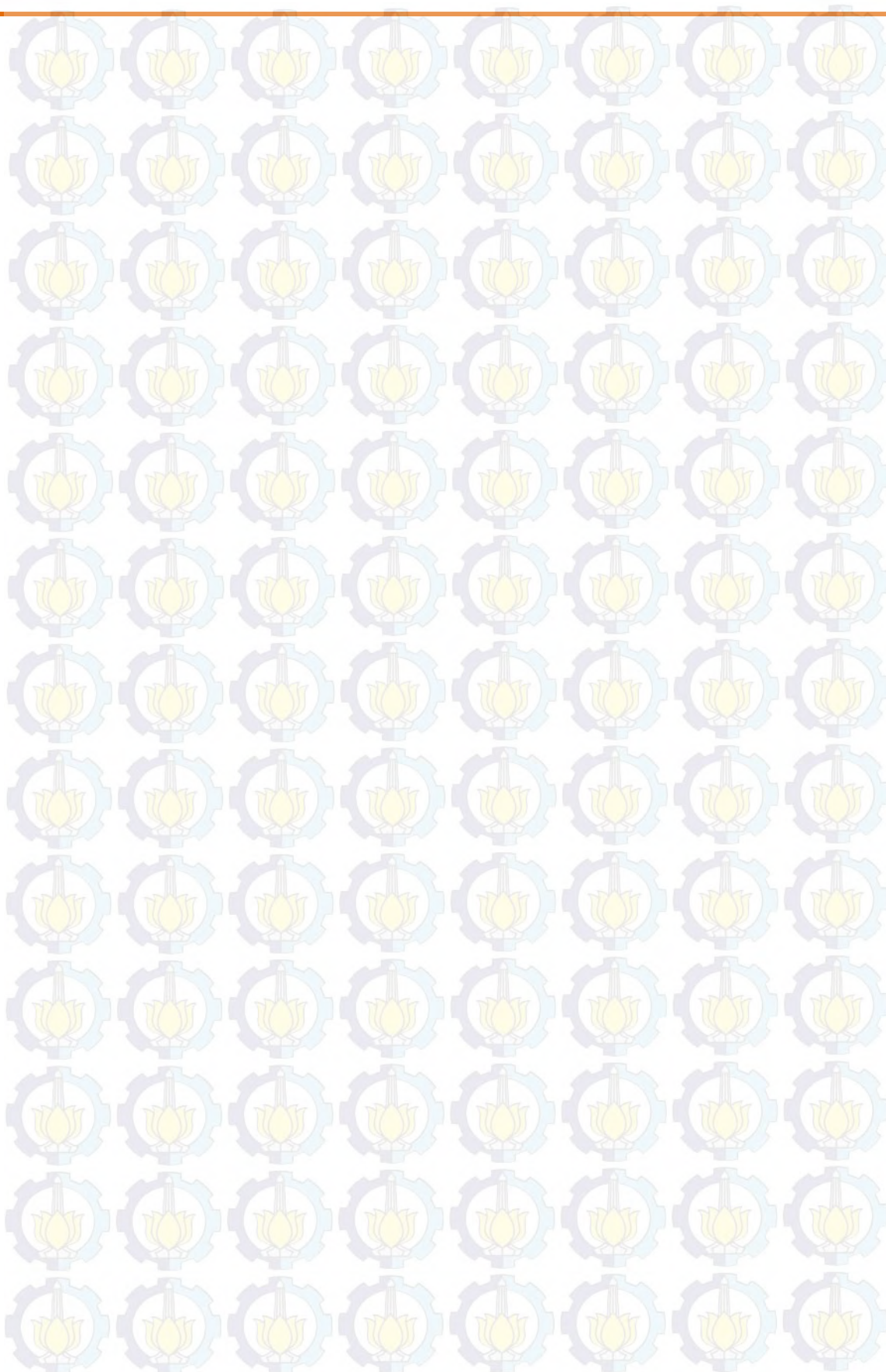
TamCrete CGR is supplied in 15kg per bag.

► STORAGE

TamCrete CGR should be stored at room temperature (min 10°C and max 38°C), kept dry and out of direct sunlight. If these conditions are maintained and the product packaging is unopened, then a shelf life of 1 year can be expected.

► HEALTH & SAFETY

TamCem CGR should only be used as directed. We always recommend that the Health & Safety data sheet is carefully read prior to application of the material. Our recommendations for protective equipment should be strictly adhered to for your personal protection. The Health & Safety datasheet is available upon request from your Normet representative.



Whilst any information and/or specification contained herein is to the best of our knowledge, true and accurate, we always recommend that a trial be carried out to confirm suitability of the product. Please note regional climatic conditions may cause a variation in the performance of the product. No warranty is given or implied in connection with any recommendations or suggestions made by us or our representatives, agents or distributors. The information in this data sheet is effective from the date shown and supersedes all previous data. Please check with your local Normet office to confirm that this is current issue. TamCrete CGR V1ID-13

Spesifikasi Kabel Pratekan.

Sumber: alibaba.com



Lihat gambar lebih besar

Spesifikasi

bs5896 1712.7 mm beton pratekan kawat kabel untuk konstruksi

Harga Fob: US \$ 650-700 / Metric ton | [Get Latest Price](#)

Pelabuhan: Xingang, Tianjin

Jumlah Pesanan Minimum: 5 Metric ton/metrik ton

Kemampuan Suplai: 300 Ton/ton per Hari

Waktu Pengiriman: dalam waktu 3 minggu kurang dari 500 ton

Ketentuan Pembayaran: L/C,D/PT/T,Western Union

[Hubungi Sekarang](#)



bs5896 1712.7 mm beton pratekan kawat kabel untuk konstruksi

PRODUCT DESCRIPTION

astm A416

kelas	diameter nominal . (in) (mm)	toleransi (mm)	luas penampang (s _n / mm ²)	kembali . massa per 1 m (g / m)	minimum massa per 1 m melanggar beban (f _m / kn)	min . beban di 1% ekstensi (f _{0.2} / kn)	(l ₀ ≥ 500mm) ^{gr} perpanjangan beban max tidak kurang dari (%)	relaksasi pada 1000 jam (r / %)
270	3/8 9.53		54.84	432	102.3	92.1		
	7/16 11.11	0.65	74.19	582	137.9	124.1		
	1/2 12.70	- 0.15	98.71	775	183.7	165.3	3.5	2.5
	3/5 15.24		140.00	1102	260.7	234.6		

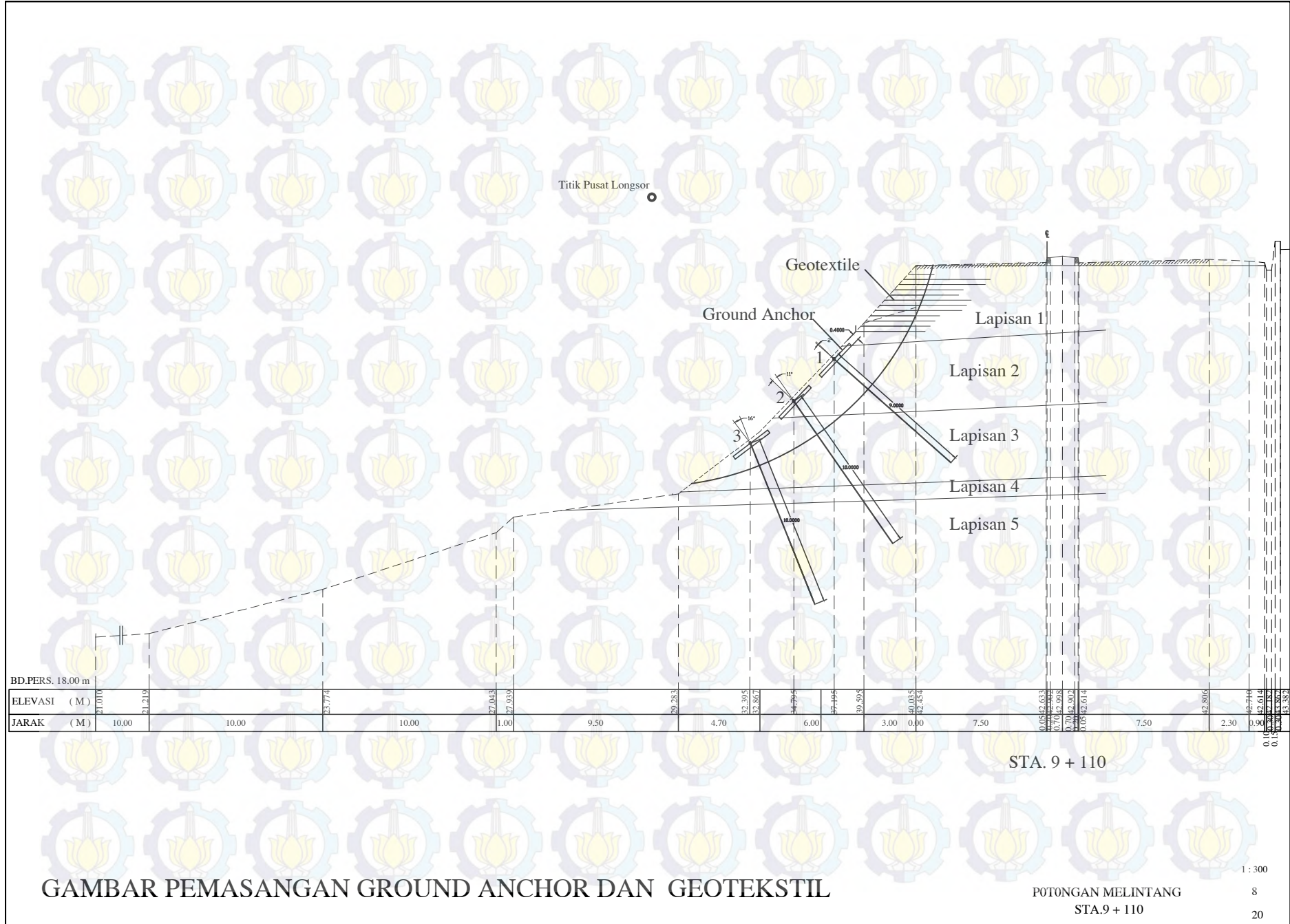
bs 5896

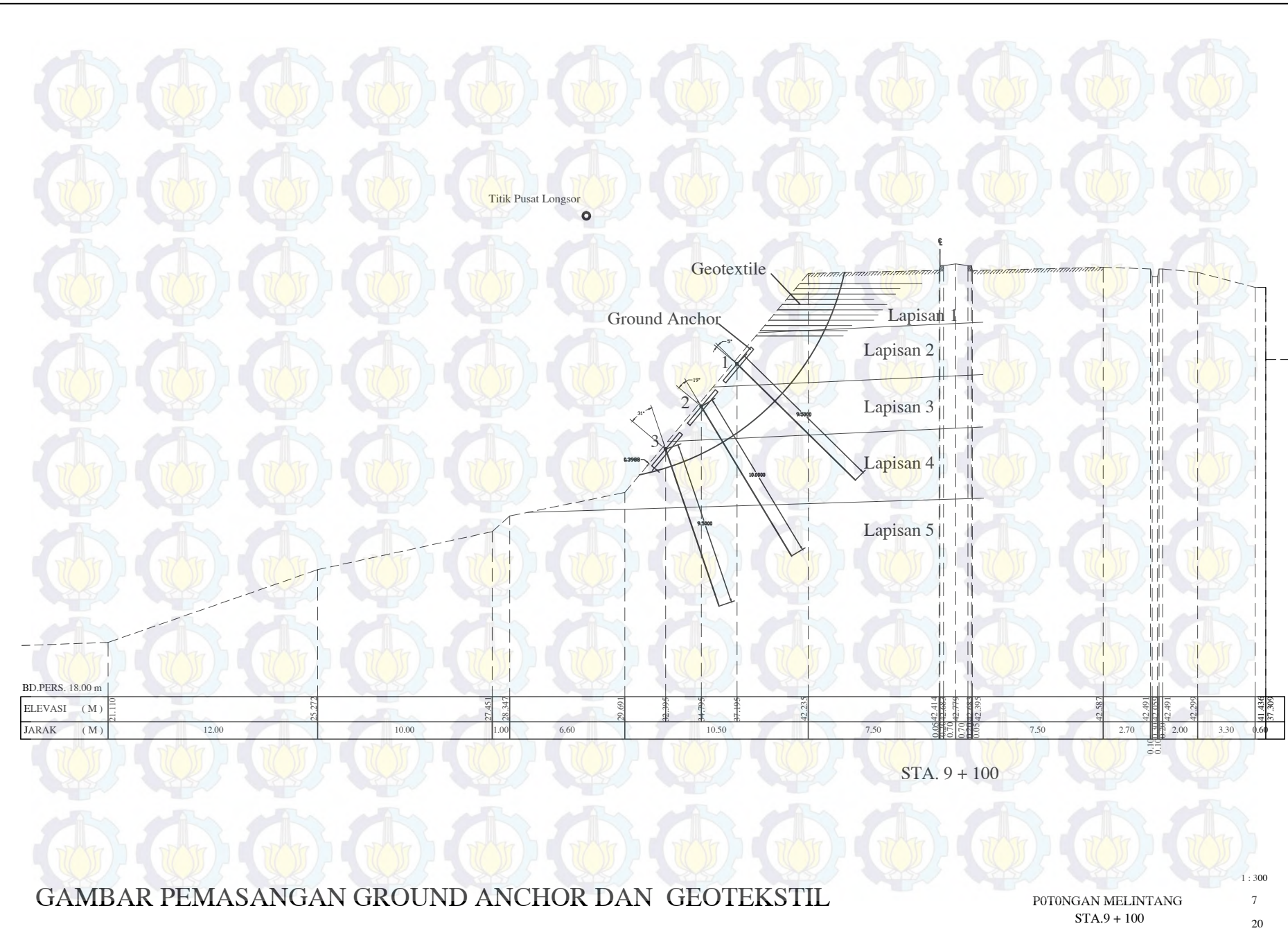
kelas	nominal dia . (mm)	toleransi (mm)	luas penampang (s _n / mm ²)	kembali . massa per 1 m (g / m)	tarik kekuatan tidak kurang dari (r _m / mpa)	minimum melanggar beban (f _m / kn)	min . beban di 1% ekstensi (f _{0.2} / kn)	(l ₀ ≥ 500mm) ^{gr} perpanjangan beban max tidak kurang dari (%)	relaksasi pada 1000 jam (r / %)
standar 7	9.3	0.3	52	408	1770	92	81		
	11.0	- 0.15	71	557	1770	125	110		
	12.5	0.4	93	730	1770	164	114		
	15.2	- 0.2	139	1090	1670	232	204	3.5	2.5
Super 7	9.6	0.3	55	432	1860	102	90		
	11.3	- 0.15	75	590	1860	139	122		
	12.9	0.4	100	785	1860	186	163		
	15.7	- 0.2	150	1180	1770	265	233		

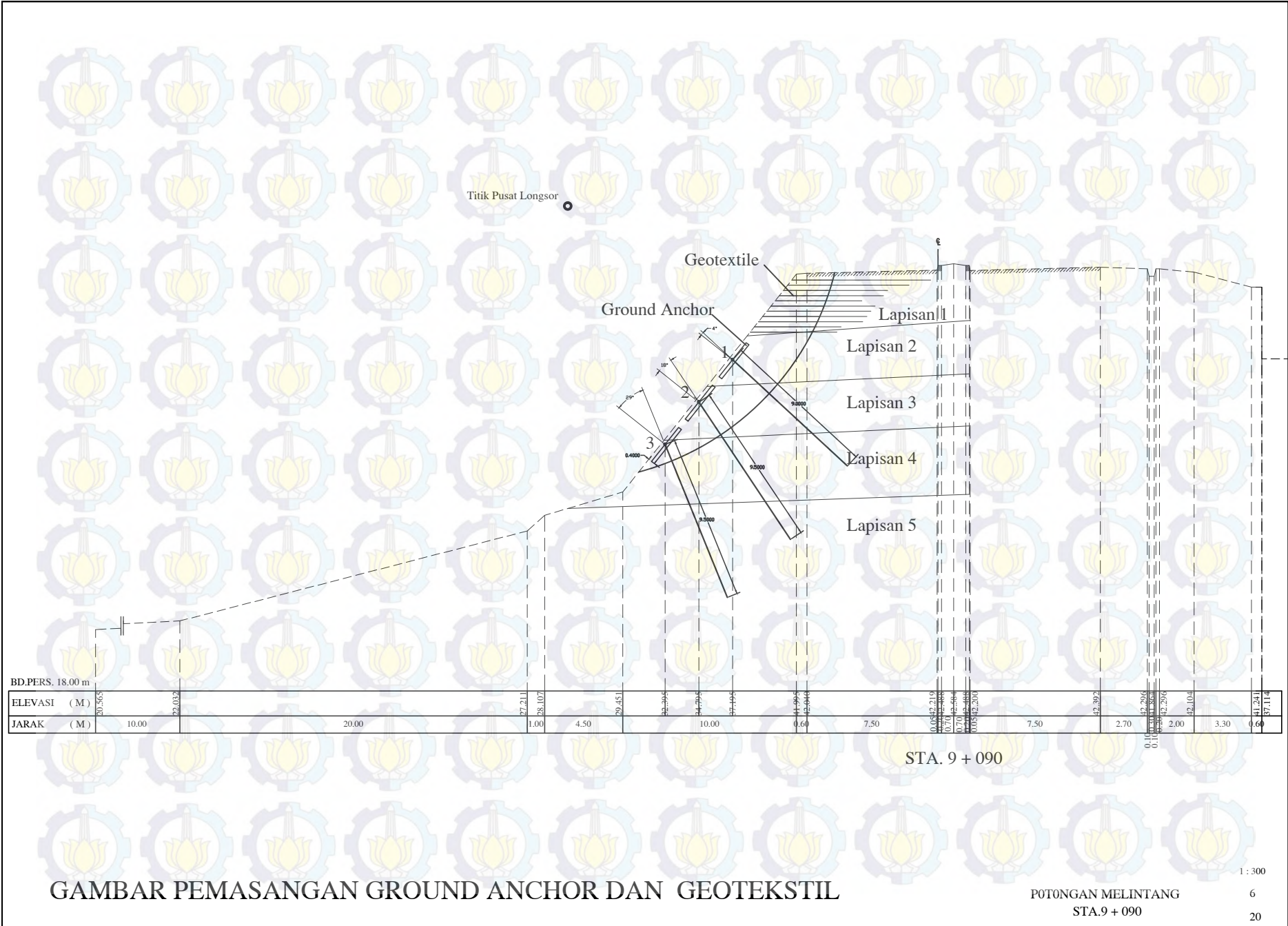
DAFTAR
HARGA DASAR SATUAN BAHAN

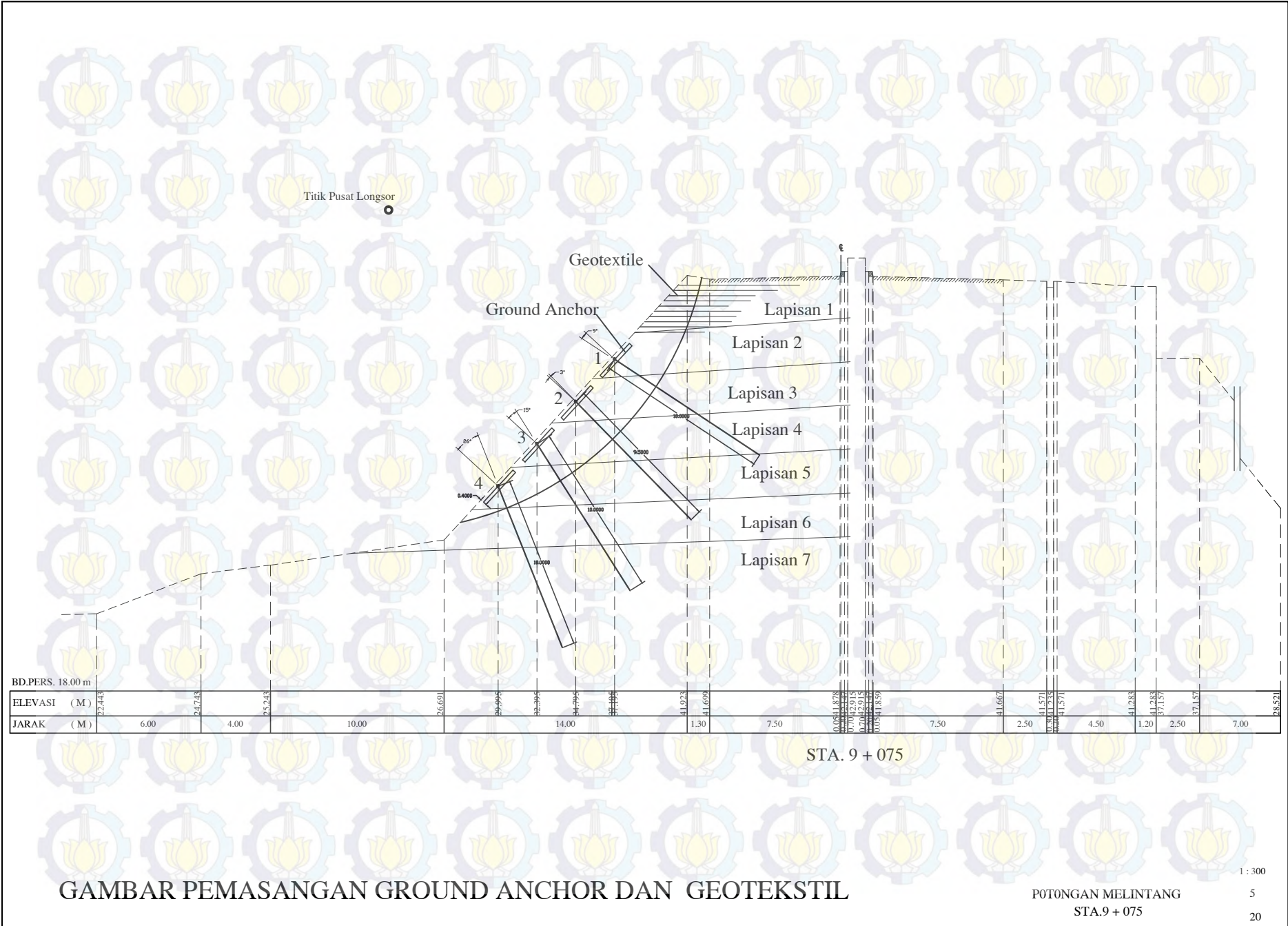
No.	URAIAN	KODE	SATUAN	HARGA SATUAN (Rp.)	KETERANGAN
1	Pasir Pasang (Sedang)	M01b	M3	342.400,00	Base Camp
2	Pasir Beton (Kasar)	M01a	M3	424.100,00	Base Camp
3	Pasir Halus (untuk HRS)	M01c	M3	466.510,00	Base Camp
4	Pasir Urug (ada unsur lempung)	M01d	M3	273.520,00	Base Camp
5	Batu Kali	M02	M3	374.000,00	Lokasi Pekerjaan
6	Agregat Kasar (ex-Palu)	M03	M3	485.000,00	Base Camp
7	Agregat Halus (ex-Palu)	M04	M3	485.000,00	Base Camp
8	F i l l e r	M05	Kg	2.017,71	Proses/Base Camp
9	Batu Belah / Kerakal	M06	M3	421.000,00	Lokasi Pekerjaan
10	G r a v e l	M07	M3	504.400,00	Base Camp
11	Bahan Tanah Timbunan	M08	M3	30.300,00	Borrow Pit/quarry
12	Bahan Pilihan	M09	M3	25.000,00	Quarry
13	Aspal	M10	KG	18.500,00	Base Camp
14	Kerosen / Minyak Tanah	M11	LITER	10.000,00	Base Camp
15	Semen / PC (50kg)	M12	Zak	80.000,00	Base Camp
16	Semen / PC (kg)	M12	Kg	1.600,00	Base Camp
17	Besi Beton	M13	Kg	7.000,00	Lokasi Pekerjaan
18	Kawat Beton	M14	Kg	26.450,00	Lokasi Pekerjaan
19	Kawat Bronjong	M15	Kg	44.275,00	Lokasi Pekerjaan
20	S i r t u	M16	M3	302.000,00	Lokasi Pekerjaan
21	Cat Marka (Non Thermoplas)	M17a	Kg	63.250,00	Lokasi Pekerjaan
22	Cat Marka (Thermoplastic)	M17b	Kg	78.200,00	Lokasi Pekerjaan
23	P a k u	M18	Kg	23.000,00	Lokasi Pekerjaan
24	Kayu Perancah	M19	M3	2.460.000,00	Lokasi Pekerjaan
25	B e n s i n	M20	LITER	11.000,00	Pertamina
26	S o l a r	M21	LITER	12.100,00	Pertamina
27	Minyak Pelumas / Olie	M22	LITER	44.275,00	Pertamina
28	Plastik Filter	M23	M2	20.125,00	Lokasi Pekerjaan
29	Pipa Galvanis Dia. 1.6"	M24	Batang	124.200,00	Lokasi Pekerjaan
30	Pipa Porus	M25	M'	64.400,00	Lokasi Pekerjaan
31	Bahan Agr.Base Kelas A	M26	M3	465.383,95	Base Camp
32	Bahan Agr.Base Kelas B	M27	M3	409.941,28	Base Camp
33	Bahan Agr.Base Kelas C	M28	M3	410.193,61	Base Camp
34	Bahan Agr.Base Kelas C2	M29	M3	0,00	Tidak tersedia
35	Geotextile	M30	M2	27.500,00	Lokasi Pekerjaan
36	Aspal Emulsi	M31	Kg	10.850,00	Base Camp
37	Gebalan Rumput	M32	M2	8.400,00	Lokasi Pekerjaan
38	Thinner	M33	LITER	23.575,00	Lokasi Pekerjaan
39	Glass Bead	M34	Kg	26.105,00	Lokasi Pekerjaan
40	Pelat Rambu (Eng. Grade)	M35a	BH	926.900,00	Lokasi Pekerjaan
41	Pelat Rambu (High I. Grade)	M35b	BH	1.059.150,00	Lokasi Pekerjaan
42	Rel Pengaman	M36	M'	874.460,00	Lokasi Pekerjaan
43	Beton K-250	M37	M3	2.330.320,03	Lokasi Pekerjaan
44	Baja Tulangan (Polos) U24	M39a	Kg	11.845,00	Lokasi Pekerjaan
45	Baja Tulangan (Ulir) D32	M39b	Kg	12.880,00	Lokasi Pekerjaan
46	Kapur	M40	M3	17.825,00	Hasil Proses
47	Chipping	M41	M3	485.000,00	Base Camp
48	Chipping (kg)	M41kg	Kg	257,32	Base Camp
49	Cat	M42	Kg	47.840,00	Base Camp
50	Pemantul Cahaya (Reflector)	M43	Bh.	17.825,00	Base Camp
51	Pasir Urug	M44	M3	235.700,00	Base Camp
52	Arbocell	M45	Kg.	20.737,00	Base Camp
53	Baja Bergelombang	M46	Kg	34.155,00	Lokasi Pekerjaan
54	Beton K-125	M47	M3	1.681.365,82	Lokasi Pekerjaan
55	Baja Struktur	M48	Kg	24.935,00	Pelabuhan terdekat
56	Tiang Pancang Baja	M49	M'	25.247,37	Lokasi Pekerjaan
57	Tiang Pancang Beton Pratekan	M50	M3	9.775.000,00	Pelabuhan terdekat
58	Kawat Las	M51	Dos	203.665,00	Lokasi Pekerjaan
59	Pipa Baja	M52	Kg	24.150,00	Pelabuhan terdekat
60	Minyak Fluks	M53	Liter	25.300,00	Base Camp

61	Bunker Oil	M54	Liter	3.565,00	Base Camp
62	Asbuton Halus	M55	Ton	384.962,00	Base Camp
63	Baja Prategang	M56	Kg	29.325,00	Base Camp
64	Baja Tulangan (Polos) U32	M57a	Kg	12.225,00	Lokasi Pekerjaan
65	Baja Tulangan (Ulir) D39	M39c	Kg	19.700,00	Lokasi Pekerjaan
66	Baja Tulangan (Ulir) D48	M39d	Kg	20.425,00	Lokasi Pekerjaan
67	PCI Girder L=17m	M58a	Buah	101.867.000	Pelabuhan terdekat
68	PCI Girder L=21m	M58b	Buah	114.896.500	Pelabuhan terdekat
69	PCI Girder L=26m	M58c	Buah	146.878.000	Pelabuhan terdekat
70	PCI Girder L=32m	M58d	Buah	185.966.500	Pelabuhan terdekat
71	PCI Girder L=36m	M58e	Buah	198.966.000	Pelabuhan terdekat
72	PCI Girder L=41m	M58f	Buah	227.424.000	Pelabuhan terdekat
73	Beton K-300	M59	M3	2.350.177,74	Lokasi Pekerjaan
74	Beton K-175	M60	M3	1.803.374,09	Lokasi Pekerjaan
75	Cerucuk	M61	M	54.000	
76	Elastomer	M62	buah	362.250	
77	Bahan pengawet: kreosot	M63	liter	5.923	
78	Mata Kucing	M64	buah	153.985	
79	Anchorage	M65	buah	1.670.145	
80	Anti stripping agent	M66	liter	93.150,00	
81	Bahan Modifikasi	M67	Kg	64.400,00	
82	Beton K-500	M68	M3	3.695.963,00	
83	Beton K-400	M69	M3	2.934.891,00	
84	Ducting (Kabel prestress)	M70	M'	177.675	
85	Ducting (Strand prestress)	M71	M'	59.225	
86	Beton K-350	M72	M3	2.957.447,00	
87	Multiplex 12 mm	M73	Lbr	149.500,00	
88	Elastomer jenis 1	M74a	buah	410.962,00	Base Camp
89	Elastomer jenis 2	M74b	buah	692.532,00	Base Camp
90	Elastomer jenis 3	M74c	buah	893.350,00	Base Camp
91	Expansion Tipe Joint Asphaltic Plug	M75d	M	1.134.500,00	Base Camp
92	Expansion Join Tipe Rubber	M75e	M	1.421.400,00	Base Camp
93	Expansion Join Baja Siku	M75f	M	325.737,00	Base Camp
94	Marmer	M76	Buah	1.863.000,00	Base Camp
95	Kerb Type A	M77	Buah	53.302,00	Base Camp
96	Paving Block	M78	Buah	144.236,00	Lokasi Pekerjaan
97	Mini Timber Pile	M79	Buah	31.981,50	Lokasi Pekerjaan
98	Expansion Joint Tipe Torma	M80	M1	1.421.400,00	Lokasi Pekerjaan
99	Strip Bearing	M81	Buah	271.842,00	Lokasi Pekerjaan
100	Joint Socket Pile 35x35	M82	Set	719.583,75	Lokasi Pekerjaan
101	Joint Socket Pile 16x16x16	M83	Set	79.953,00	Lokasi Pekerjaan
102	Mikro Pile 16x16x16	M84	M1	71.959,00	Lokasi Pekerjaan
103	Matras Concrete	M85	Buah	479.722,50	Lokasi Pekerjaan
104	Assetilline	M86	Botol	446.200,00	Lokasi Pekerjaan
105	Oxygen	M87	Botol	179.300,00	Lokasi Pekerjaan
106	Batu Bara	M88	Kg	906,40	Lokasi Pekerjaan
107	Pipa Galvanis Dia 3"	M24a	M	415.756,00	
108	Pipa Galvanis Dia 1,5"	M24b	M	222.122,00	
109	Agregat Pecah Mesin 0-5 mm	M91	M3	485.000,00	Base Camp
110	Agregat Pecah Mesin 5-10 & 10-20 mm	M92	M3	485.000,00	Base Camp
111	Agregat Pecah Mesin 20-30 mm	M93	M3	485.000,00	Base Camp
112	Joint Sealant	M94	Kg	40.351,00	
113	Cat Anti Karat	M95	Kg	42.346,00	
114	Expansion Cap	M96	M2	7.166,23	
115	Polytene 125 mikron	M97	Kg	22.802,00	
116	Curing Compound	M98	Ltr	45.603,00	
117	Kayu Acuan	M99	M3	2.400.000,00	
118	Additive	M67a	Ltr	45.603,25	
119	Casing	M100	M2	10.660,50	



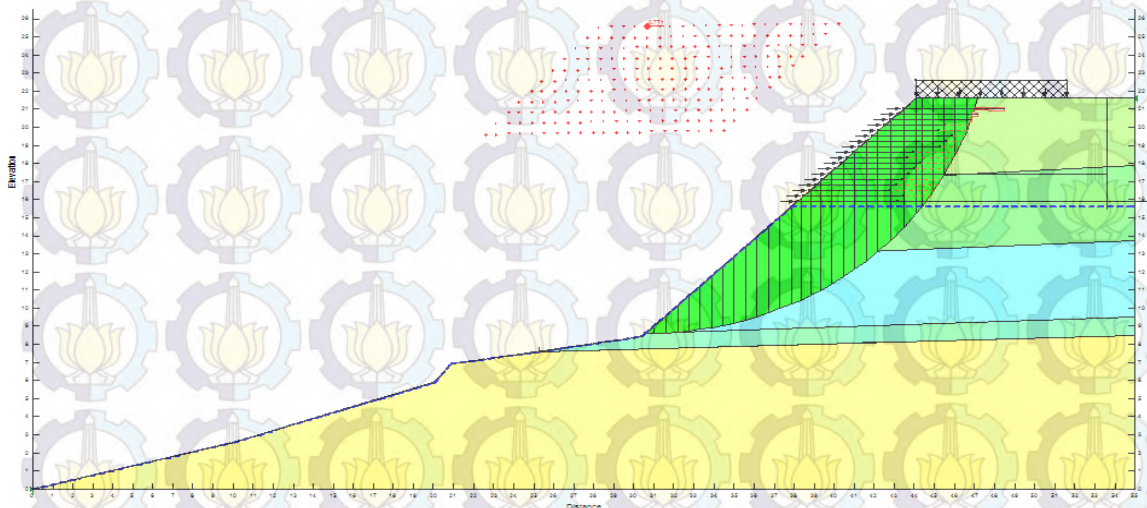






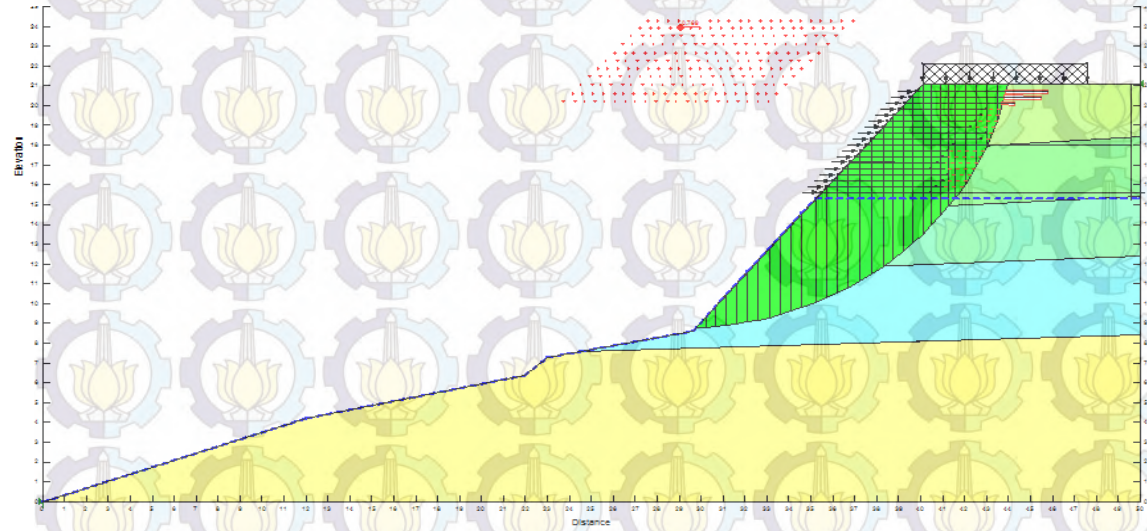
Gambar bidang longsor uji Geoslope

9+110



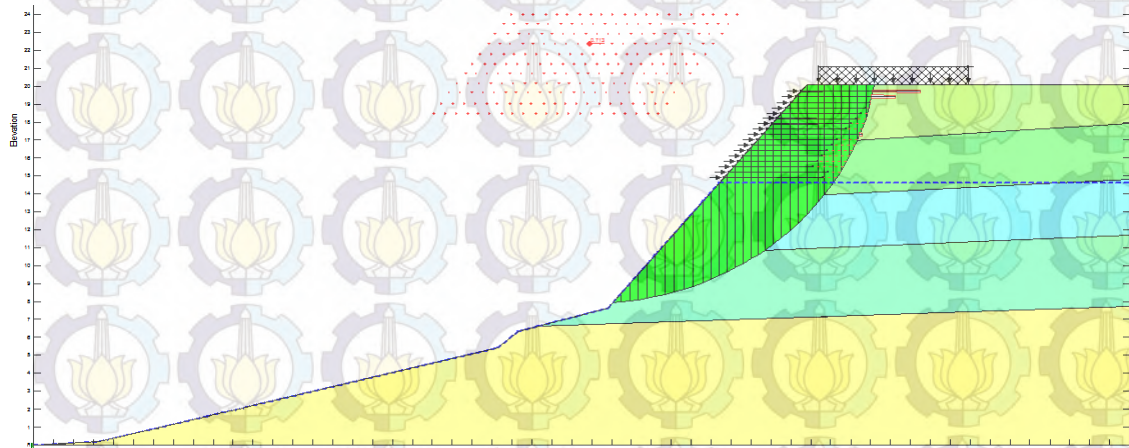
Metode	SF
Ordinary	0,707
Bishop	0,767
Morgenster-Price	0,771

9+100



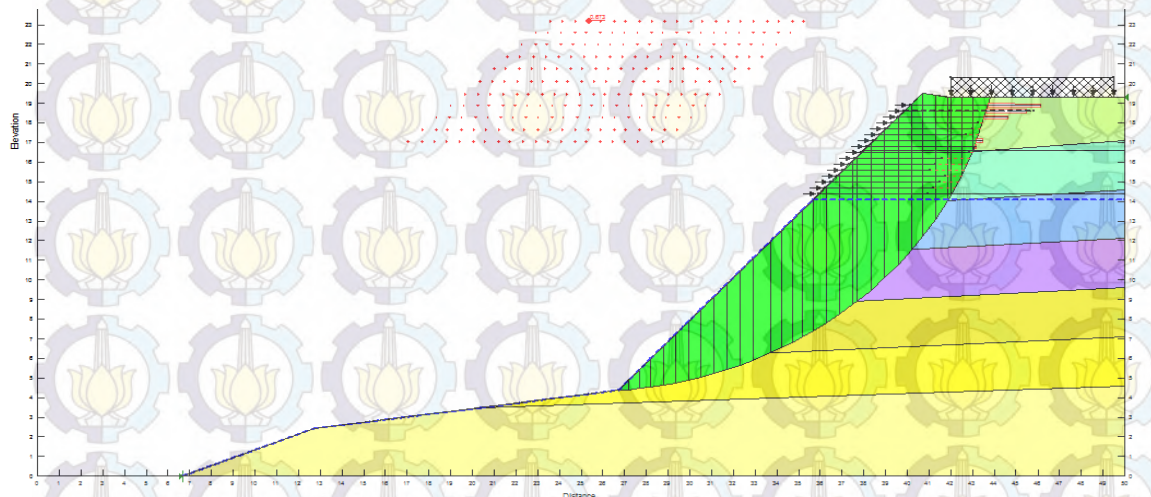
Metode	SF
Ordinary	0,747
Bishop	0,774
Morgenster-Price	0,769

9+090



Metode	SF
Ordinary	0,694
Bishop	0,719
Morgenster-Price	0,713

9+075



Metode	SF
Ordinary	0,654
Bishop	0,679
Morgenster-Price	0,673

Penambahan Perkuatan Geotekstile

STA. 9+110

mat (-6)

Lapisan 2
Lapisan 1

No Layer	Hi m	Lo m	Le+Lr m	L m	Jumlah Lembar	L total m
1	5,7	1	13	14	2	28
2	5,4	1	13	14	2	28
3	5,1	1	13	14	2	28
4	4,8	1	13	14	2	28
5	4,5	1	13	14	2	28
6	4,2	1	13	14	2	28
7	3,9	1	13	14	2	28
8	3,6	1	13	14	2	28
9	3,3	1	11	12	1	12
10	3	1	11	12	1	12
11	2,7	1	11	12	1	12
12	2,4	1	11	12	1	12
13	2,1	1	11	12	1	12
14	1,8	1	11	12	1	12
15	1,5	1	11	12	1	12
16	1,2	1	11	12	1	12
17	0,9	1	11	12	1	12
18	0,6	1	11	12	1	12
Panjang Total					344	

STA. 9+100

mat (-6)

Lapisan 2

Lapisan 1

No Layer	Hi	Lo	Le+Lr	L	Jumlah	L total
	m	m	m	m	Lembar	m
1	5,5	1	13	14	2	28
2	5,2	1	13	14	2	28
3	4,9	1	13	14	2	28
4	4,6	1	13	14	2	28
5	4,3	1	13	14	2	28
6	4	1	13	14	2	28
7	3,7	1	13	14	2	28
8	3,4	1	13	14	2	28
9	3,1	1	11	12	1	12
10	2,8	1	11	12	1	12
11	2,5	1	11	12	1	12
12	2,2	1	11	12	1	12
13	1,9	1	11	12	1	12
14	1,6	1	11	12	1	12
15	1,3	1	11	12	1	12
16	1	1	11	12	1	12
17	0,7	1	11	12	1	12
18	0,4	1	11	12	1	12
Panjang Total					344	

STA. 9+090

mat (-6)

Lapisan 1

Lapisan 2

No	Hi	Lo	Le+Lr	L	Jumlah	L total
Layer	m	m	m	m	Lembar	m
1	5,2	1	13	14	2	28
2	4,9	1	13	14	2	28
3	4,6	1	13	14	2	28
4	4,3	1	13	14	2	28
5	4	1	13	14	2	28
6	3,7	1	13	14	2	28
7	3,4	1	13	14	2	28
8	3,1	1	13	14	2	28
9	2,8	1	11	12	1	12
10	2,5	1	11	12	1	12
11	2,2	1	11	12	1	12
12	1,9	1	11	12	1	12
13	1,6	1	11	12	1	12
14	1,3	1	11	12	1	12
15	1	1	11	12	1	12
16	0,7	1	11	12	1	12
17	0,4	1	11	12	1	12
					Panjang Total	332

STA. 9+075

mat (-6)

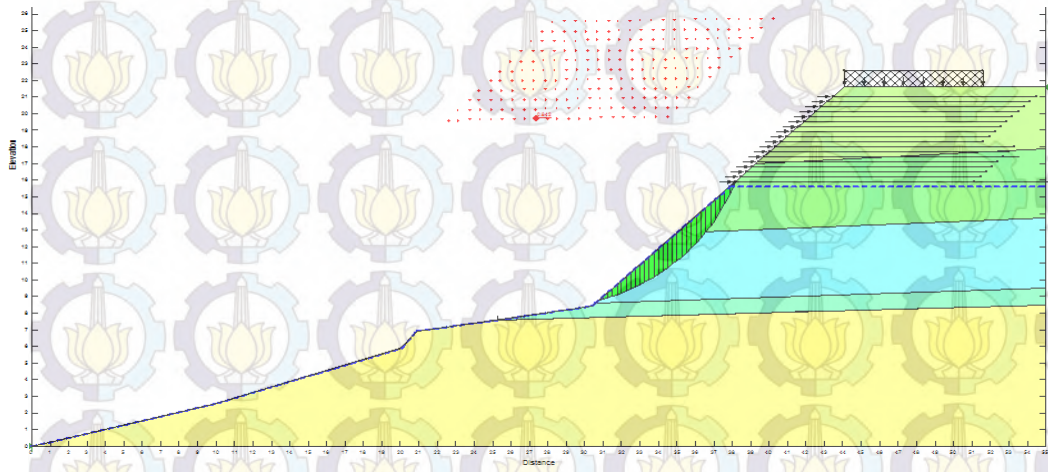
Lapisan 1

Lapisan 2

No	Hi	Lo	Le+Lr	L	Jumlah	L total
Layer	m	m	m	m	Lembar	m
1	1,3	1	13	14	2	28
2	1	1	13	14	2	28
3	0,7	1	13	14	2	28
4	0,4	1	13	14	2	28
5	0	1	13	14	2	28
6	0	1	13	14	2	28
7	0	1	13	14	2	28
8	luar	1	13	14	2	28
9	35,9	1	11	12	2	24
10	36,2	1	11	12	2	24
11	36,5	1	11	12	2	24
12	36,8	1	11	12	2	24
13	37	1	11	12	2	24
14	37,3	1	11	12	2	24
15	37,6	1	11	12	2	24
16	37,9	1	11	12	2	24
Panjang Total					416	

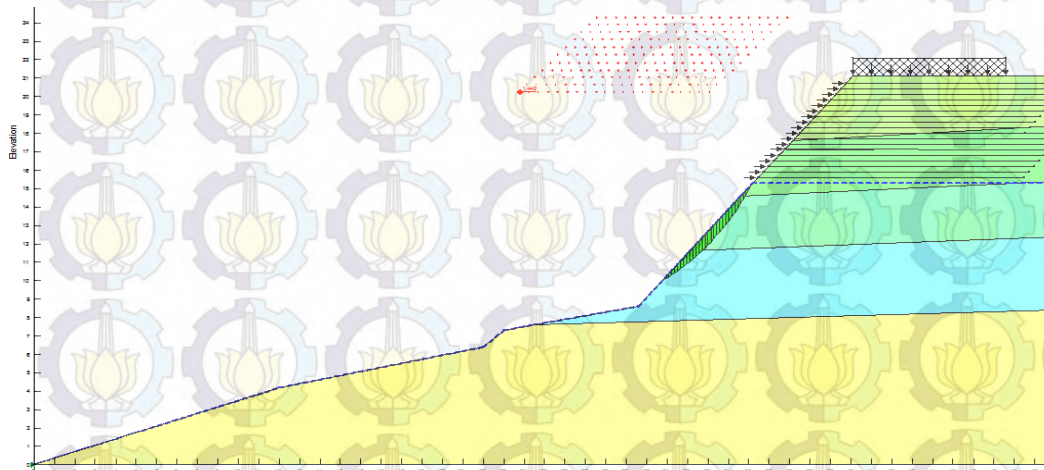
Gambar bidang longsor uji Geoslope (Geotekstil diperkuat)

9+110



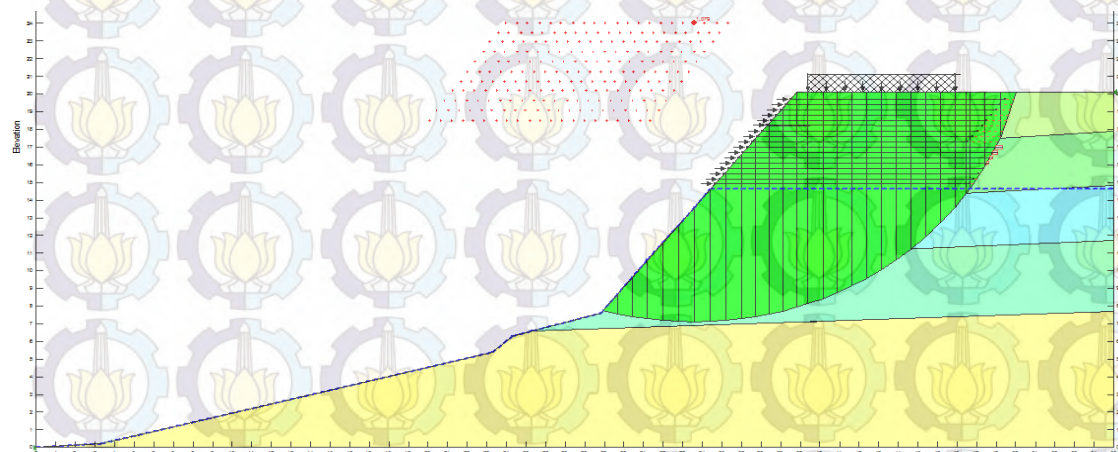
Metode	SF
Ordinary	0,799
Bishop	0,848
Morgenste	0,842

9+100



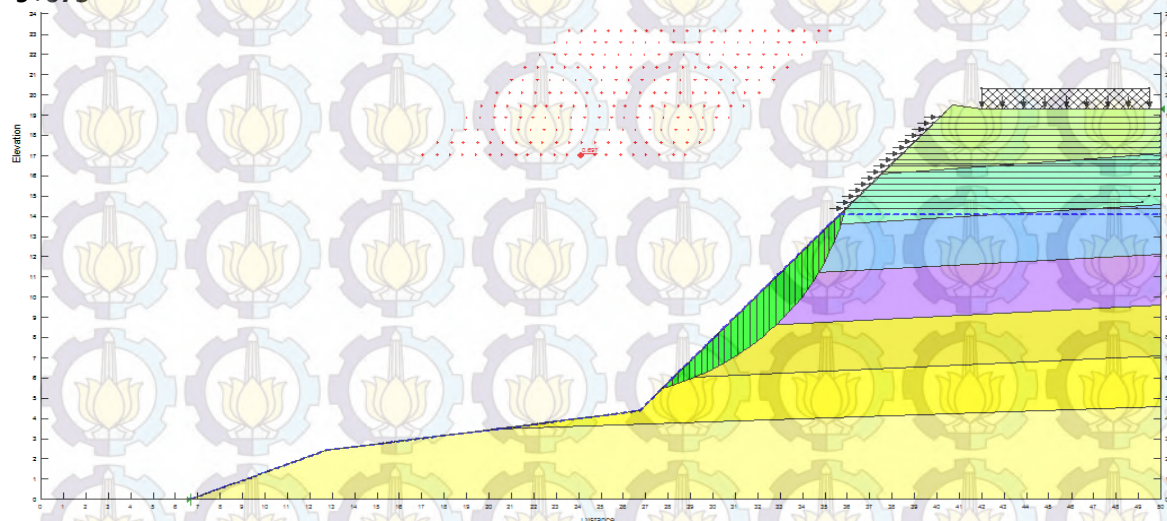
Metode	SF
Ordinary	1,43
Bishop	1,444
Morgenste	1,442

9+090



Metode	SF
Ordinary	1,079
Bishop	1,21
Morgenste	1,215

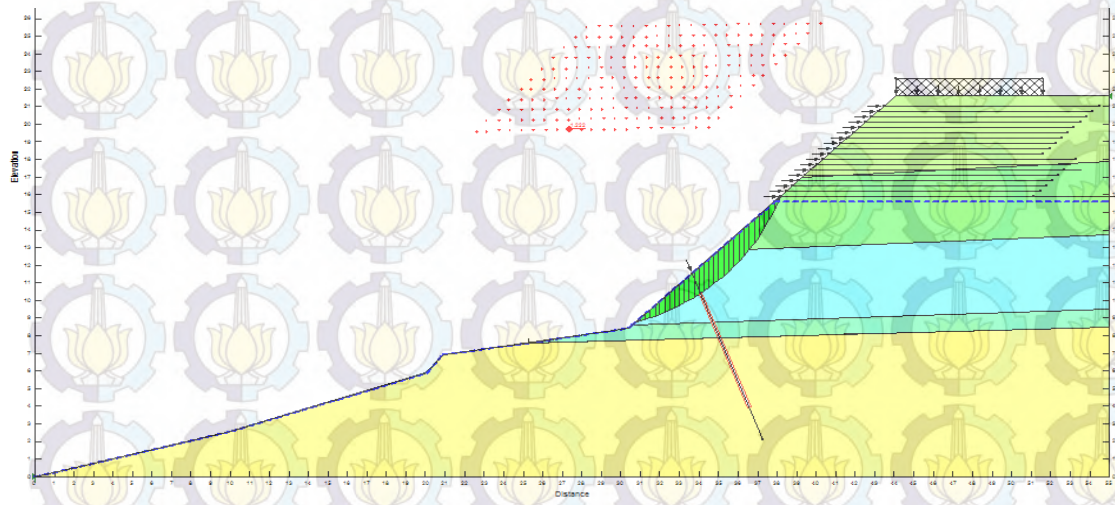
9+075



Metode	SF
Ordinary	0,638
Bishop	0,7
Morgenste	0,697

Gambar bidang longsor uji Geoslope (Geotekstil diperkuat dan ditambah Anchor)

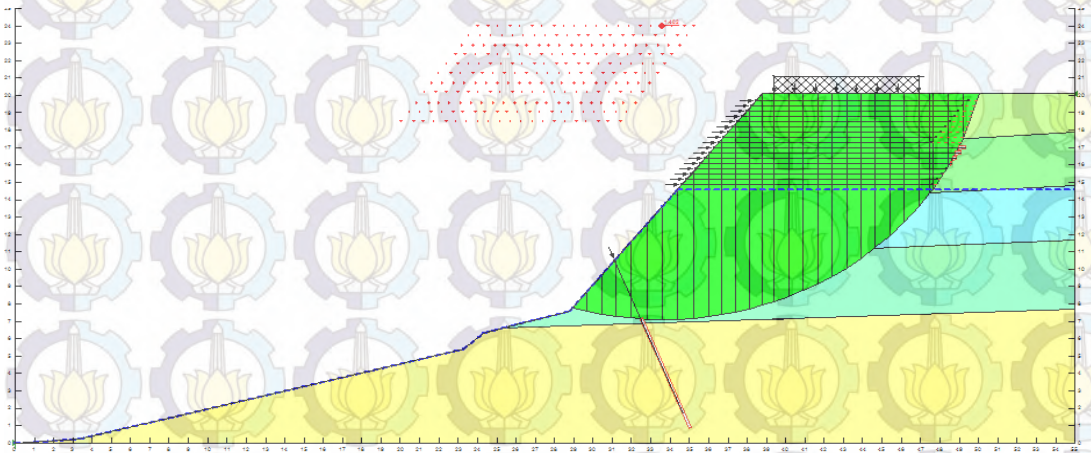
9+110



Metode	SF
Ordinary	1,182
Bishop	1,235
Morgenste	1,222

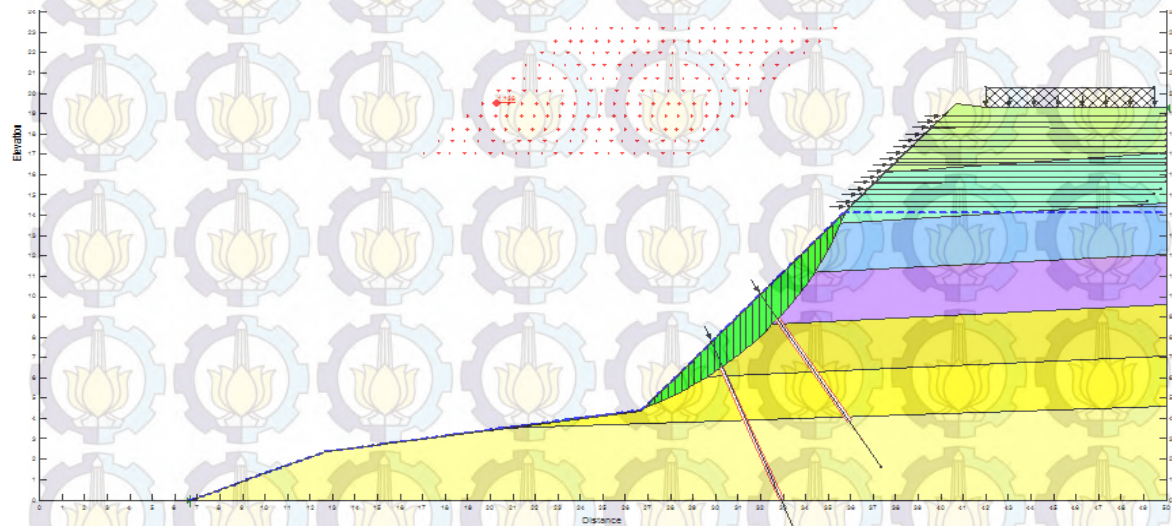
9+090

Evaluati

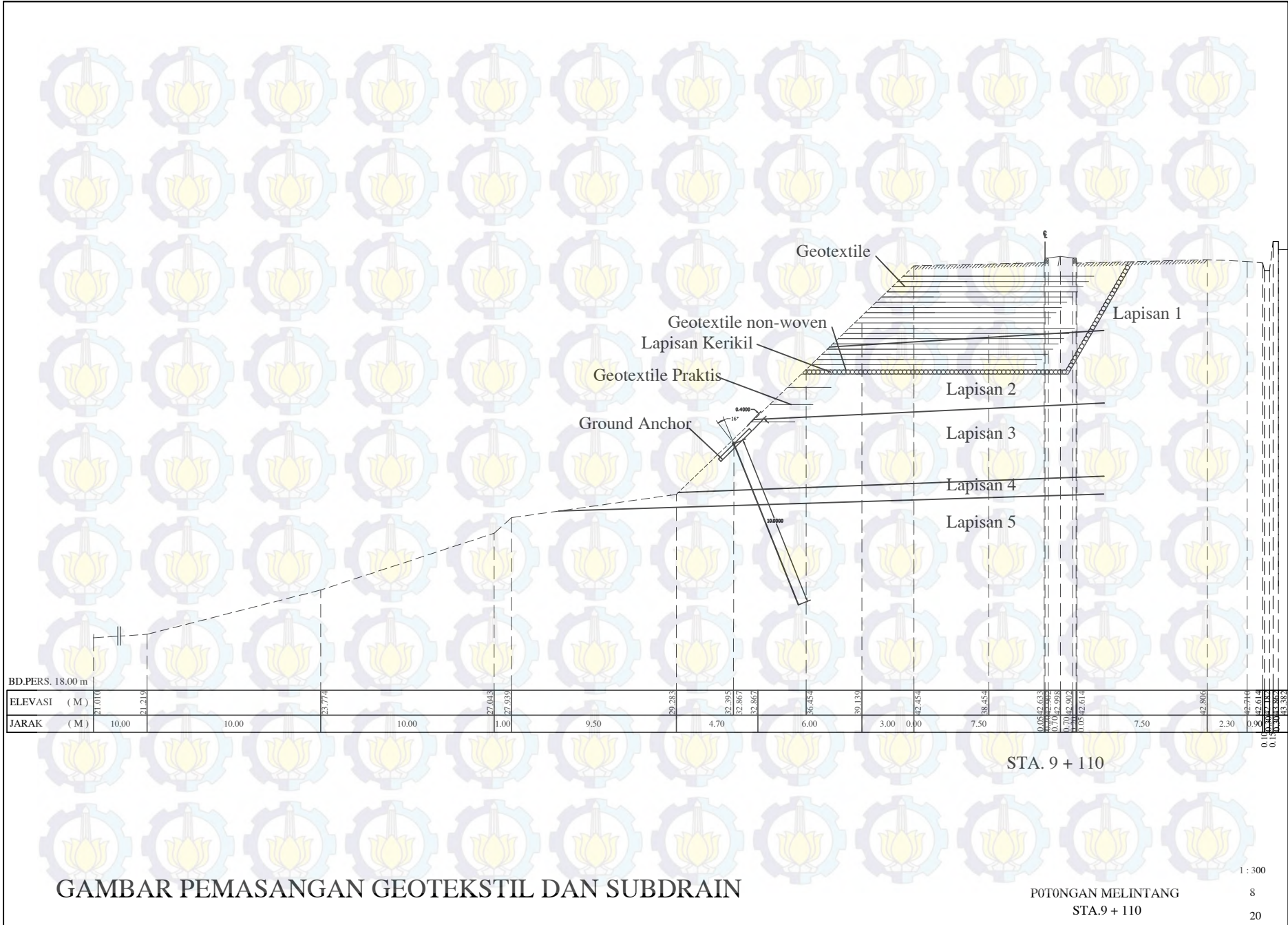


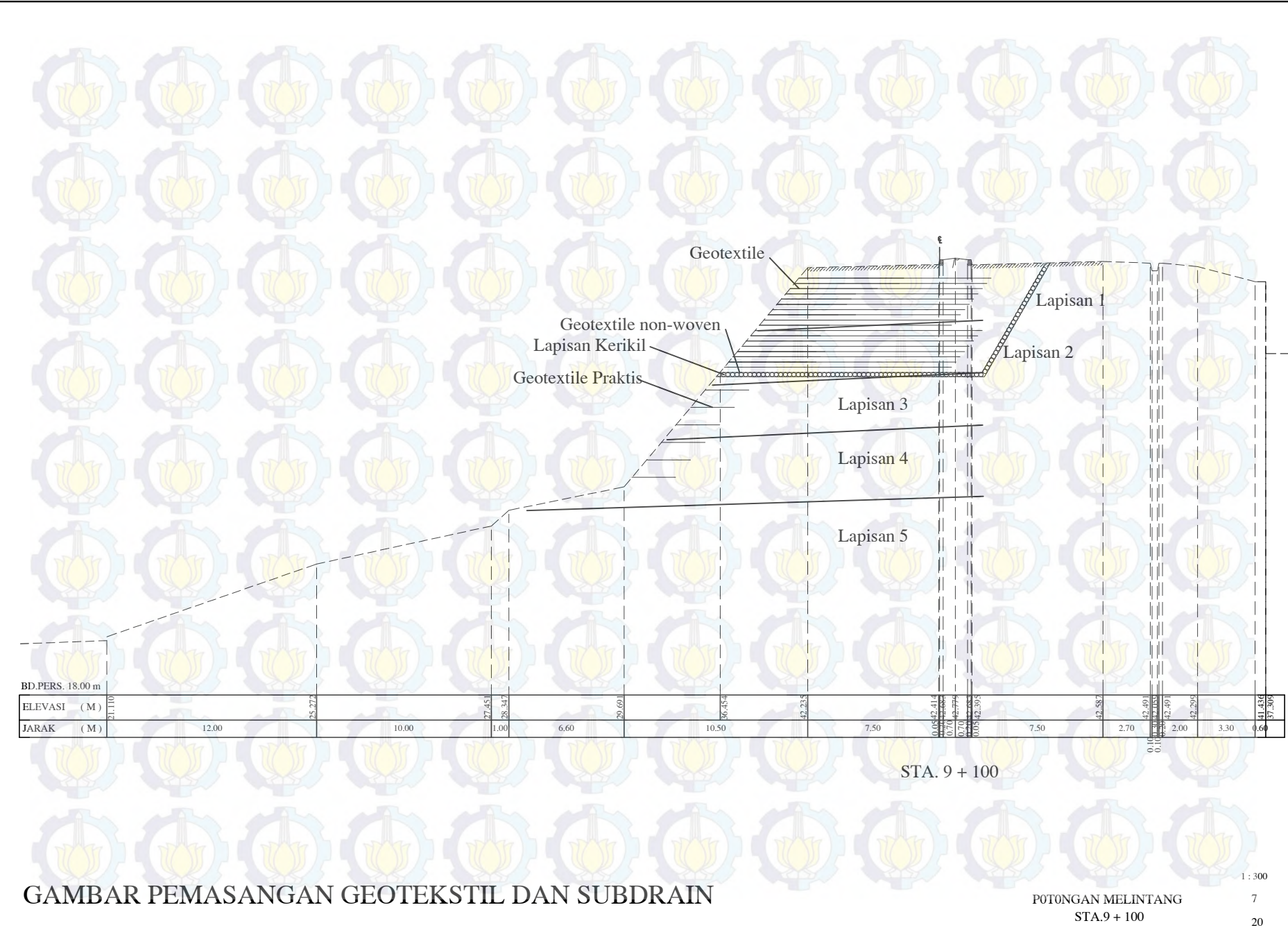
Metode	SF
Ordinary	1,221
Bishop	1,399
Morgenste	1,402

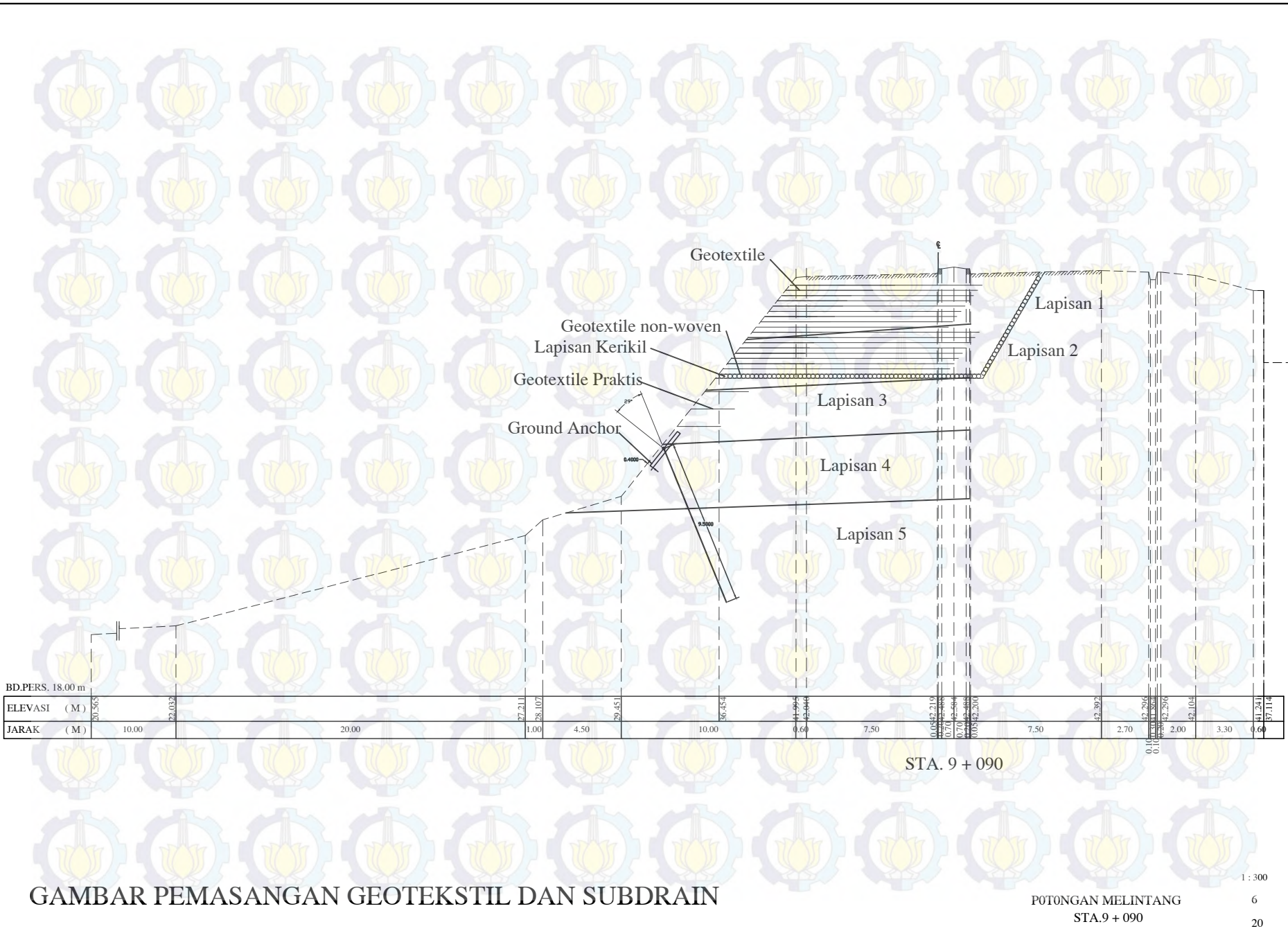
9+075

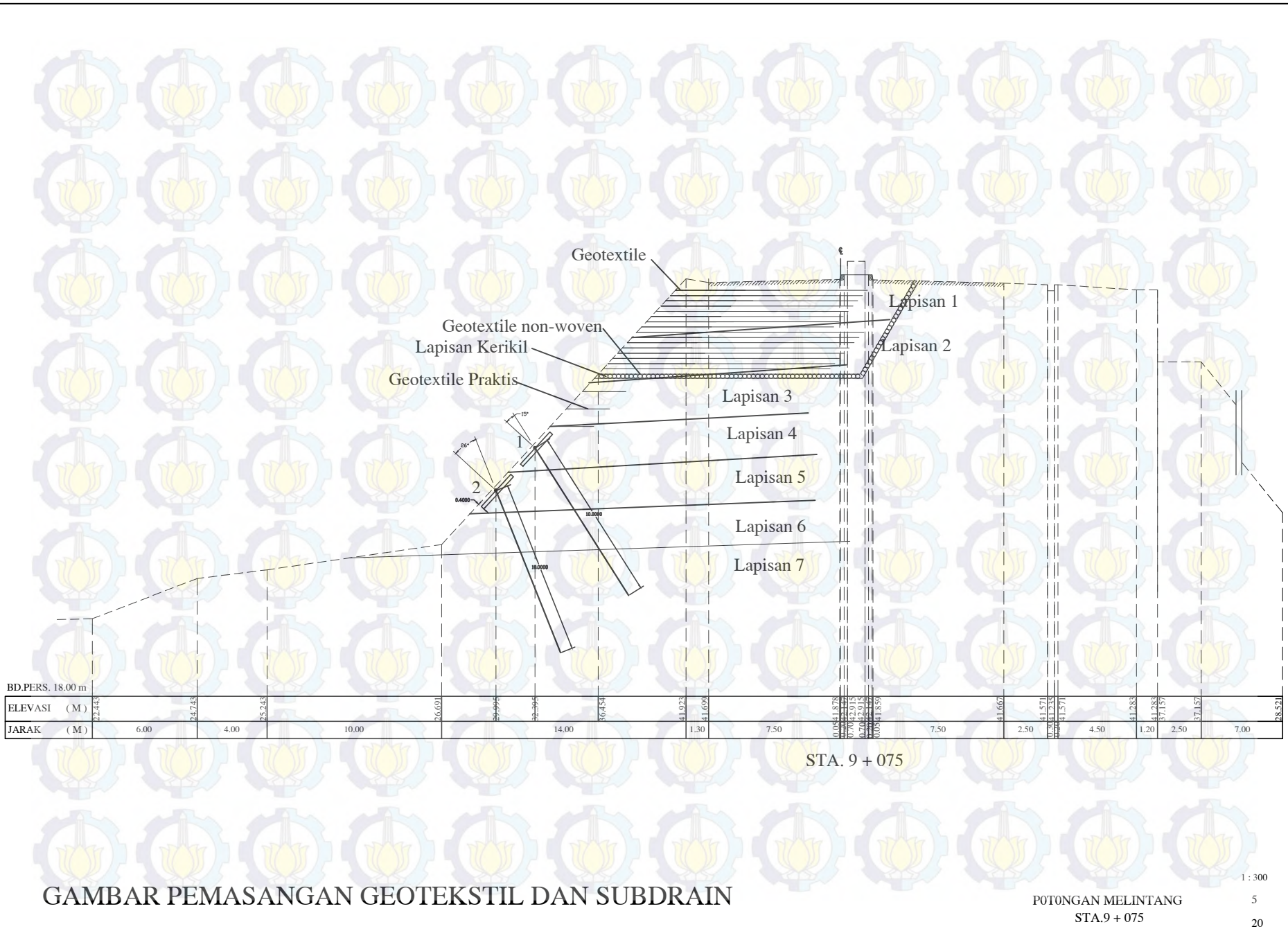


Metode	SF
Ordinary	1,115
Bishop	1,146
Morgenste	1,138



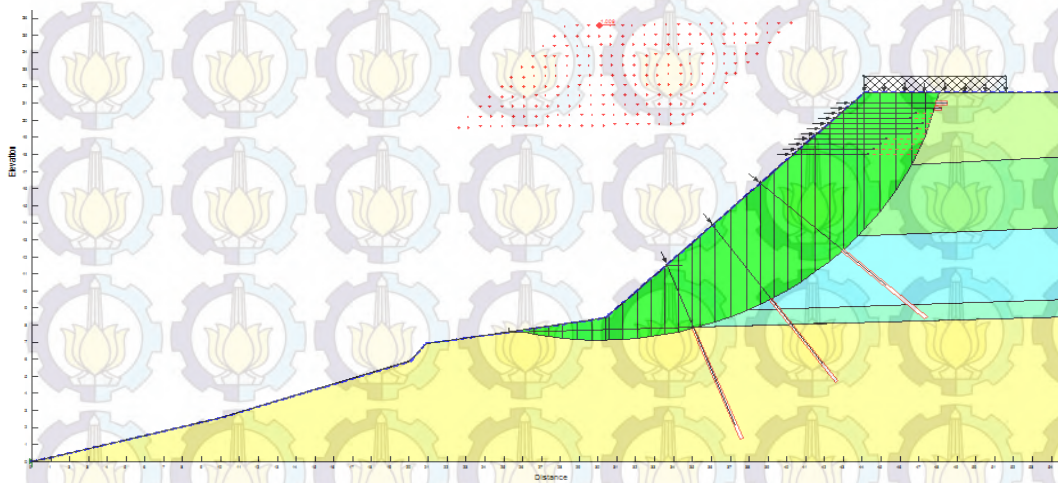






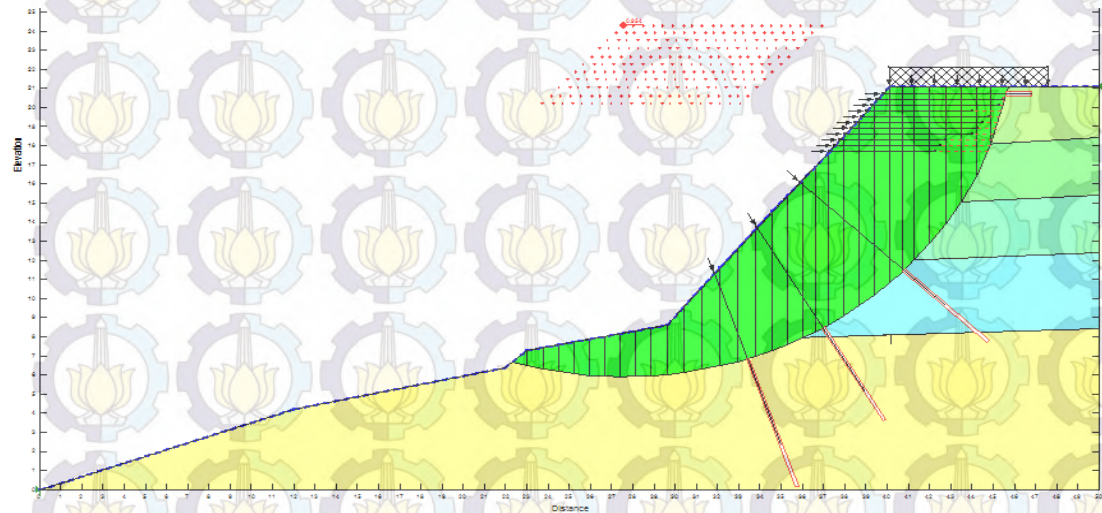
Gambar bidang longsor uji Geoslope

9+110



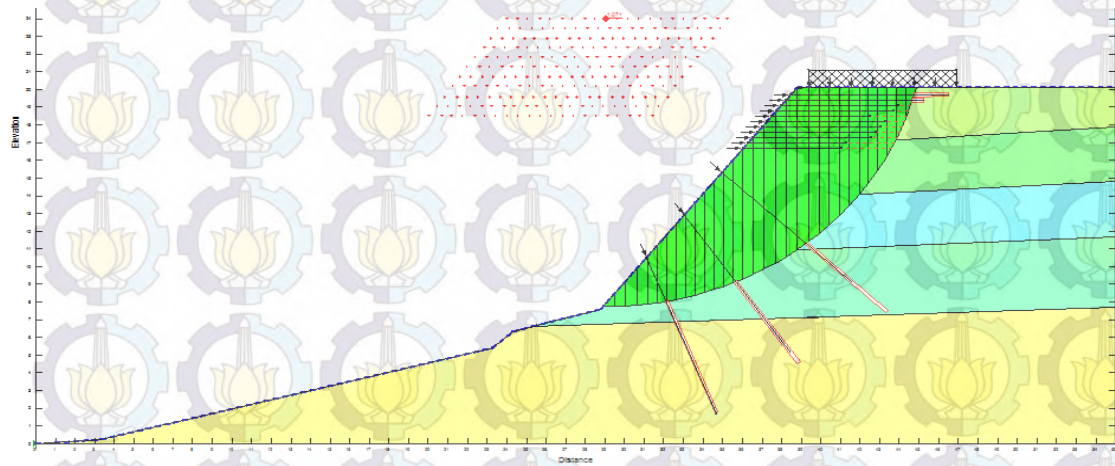
Metode	SF
Ordinary	0,821
Bishop	1,008
Morgenste	1,009

9+100



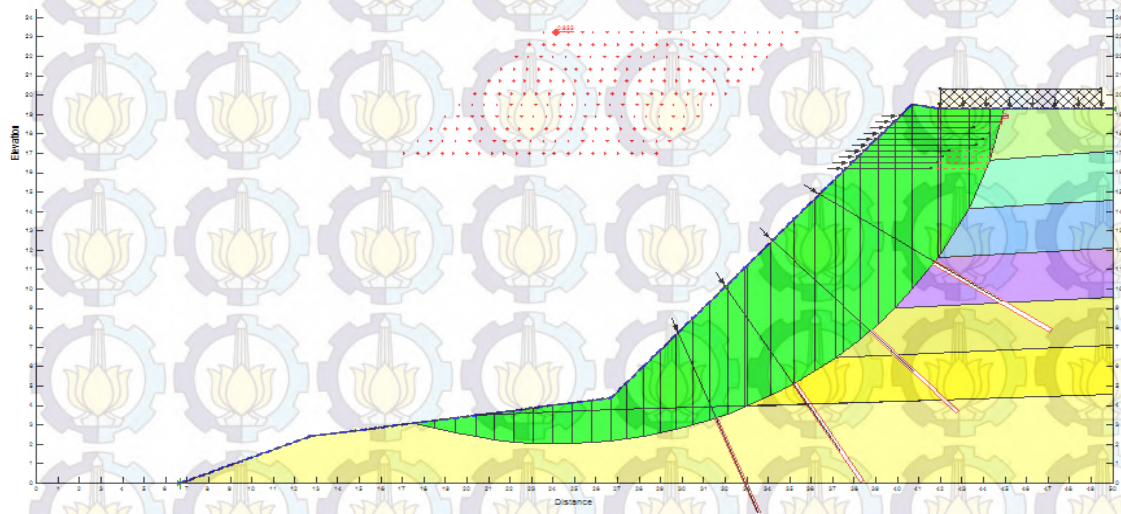
Metode	SF
Ordinary	0,743
Bishop	0,944
Morgenste	0,954

9+090



Metode	SF
Ordinary	0,897
Bishop	1,078
Morgenste	1,071

9+075



Metode	SF
Ordinary	0,757
Bishop	0,946
Morgenste	0,955

Penambahan Perkuatan Geotekstile

STA. 9+110

No layer	Hi	Lo	Le+Lr	L	Jumlah	L total
	m	m	m	m	Lembar	m
Lapisan tanah 1	1	3,8	1	11	12	24
	2	3,5	1	11	12	24
	3	3,2	1	11	12	24
	4	2,9	1	11	12	24
	5	2,6	1	11	12	24
	6	2,3	1	11	12	24
	7	2	1	11	12	24
	8	1,7	1	11	12	24
	9	1,4	1	11	12	24
	10	1,1	1	11	12	24
	11	0,8	1	11	12	24
Panjang Total				264		

STA. 9+100

No layer	Hi	Lo	Le+Lr	L	Jumlah	L total
	m	m	m	m	Lembar	m
Lapisan tanah 1	1	3,6	1	11	12	24
	2	3,3	1	11	12	24
	3	3	1	11	12	24
	4	2,7	1	11	12	24
	5	2,4	1	11	12	24
	6	2,1	1	11	12	24
	7	1,8	1	11	12	24
	8	1,5	1	11	12	24
	9	1,2	1	11	12	24
	10	0,9	1	11	12	24
	11	0,6	1	11	12	24
Panjang Total				264		

STA 9+090

No	Hi	Lo	Le+Lr	L	Jumlah	L total
layer	m	m	m	m	Lembar	m
1	3,3	1	11	12	1	12
2	3	1	11	12	1	12
3	2,7	1	11	12	1	12
4	2,4	1	11	12	1	12
5	2,1	1	11	12	1	12
6	1,8	1	11	12	1	12
7	1,5	1	11	12	1	12
8	1,2	1	11	12	1	12
9	0,9	1	11	12	1	12
10	0,6	1	11	12	1	12
11	0,3	1	11	12	1	12
Panjang Total					132	

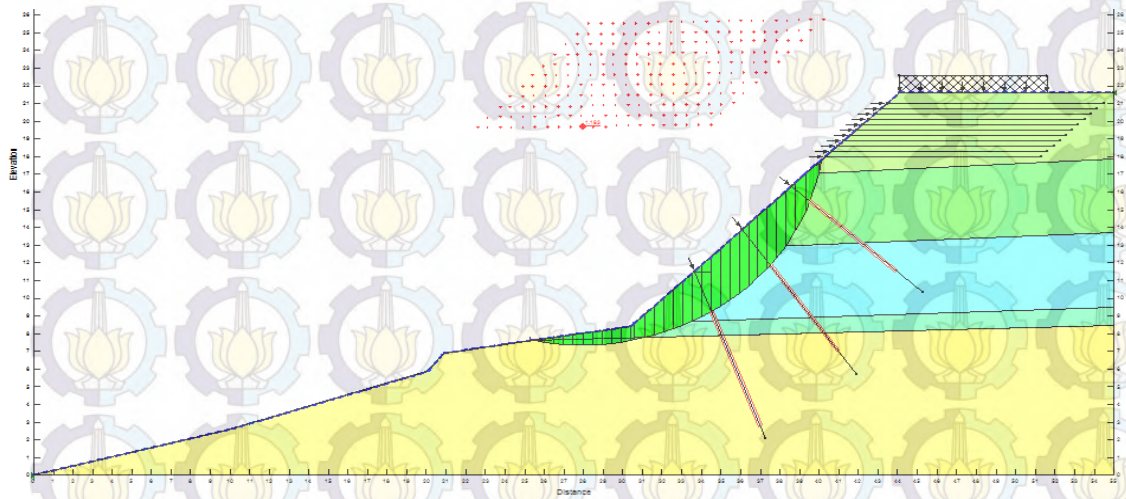
STA 9+075

No	Hi	Lo	Le+Lr	L	Jumlah	L total
layer	m	m	m	m	Lembar	m
1	3	1	11	12	2	24
2	2,7	1	11	12	2	24
3	2,4	1	11	12	2	24
4	2,1	1	11	12	2	24
5	1,8	1	11	12	2	24
6	1,5	1	11	12	2	24
7	1,2	1	11	12	2	24
8	0,9	1	11	12	2	24
9	0,6	1	11	12	2	24
10	0,3	1	11	12	2	24
Panjang Total					240	

Lapisan tanah 1

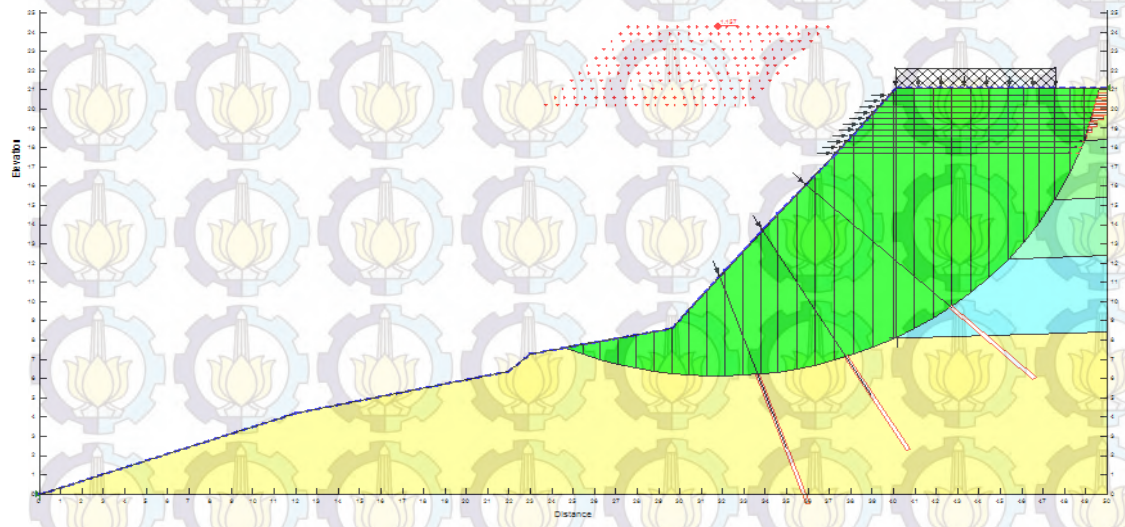
Gambar bidang longsor uji Geoslope (Geotekstil diperkuat)

9+110



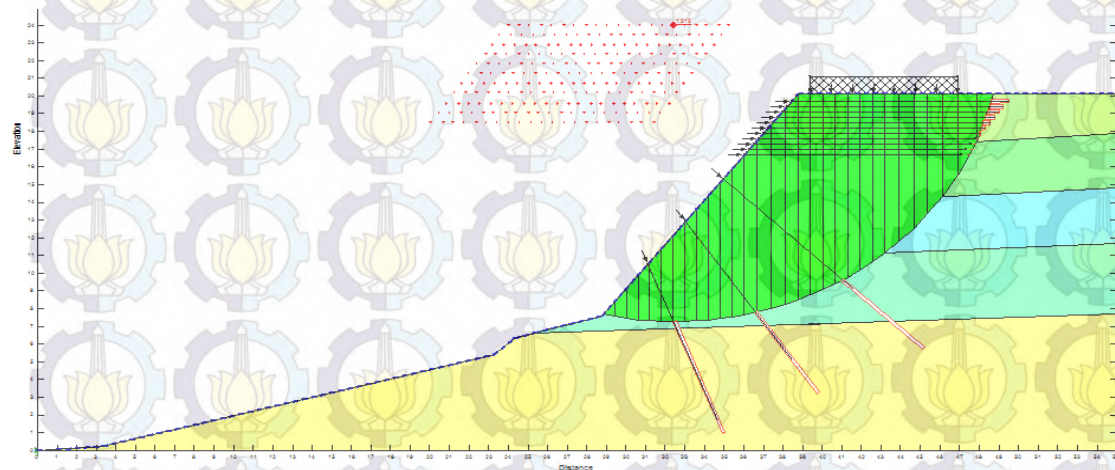
Metode	SF
Ordinary	1,087
Bishop	1,189
Morgenste	1,183

9+100



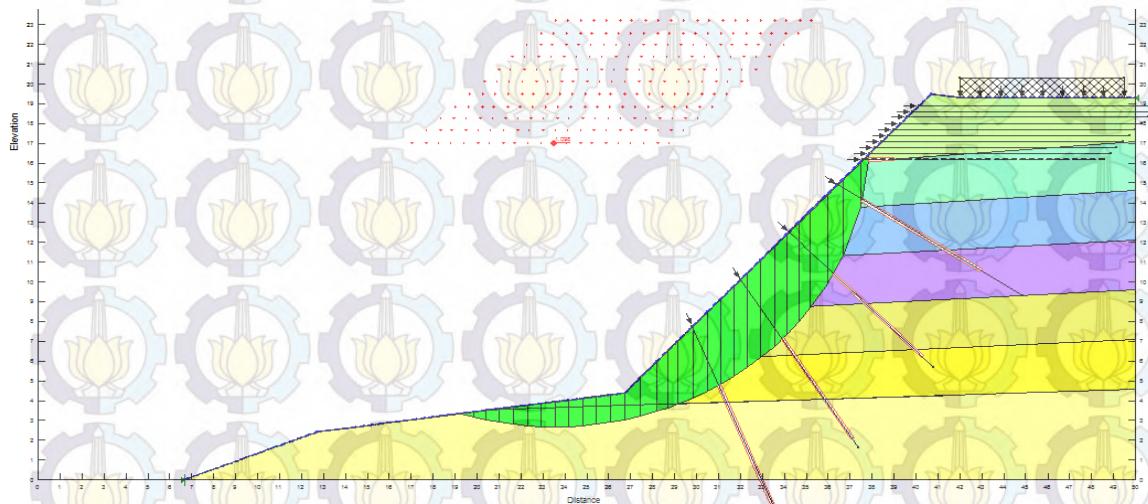
Metode	SF
Ordinary	0,924
Bishop	1,15
Morgenste	1,157

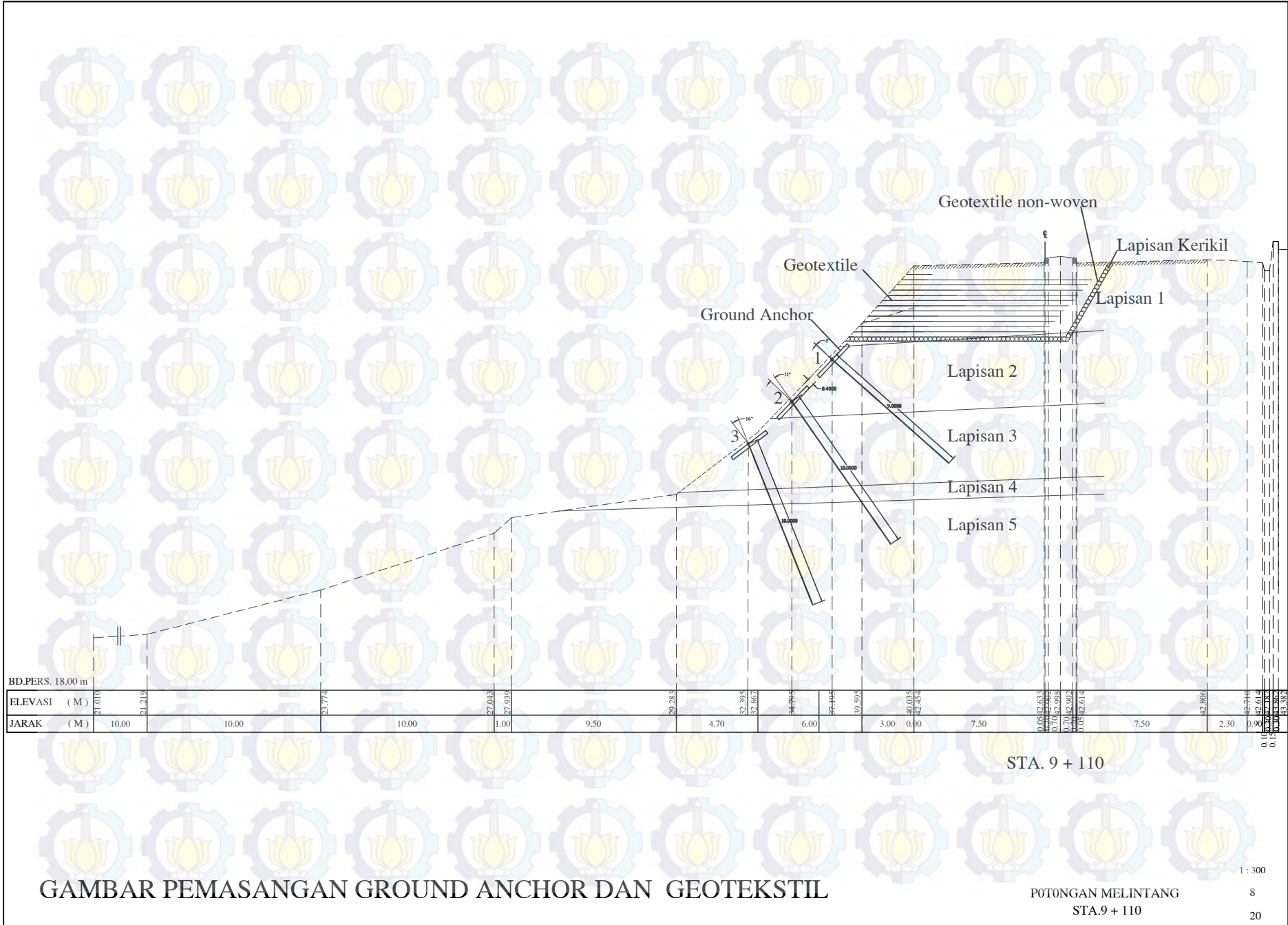
9+090

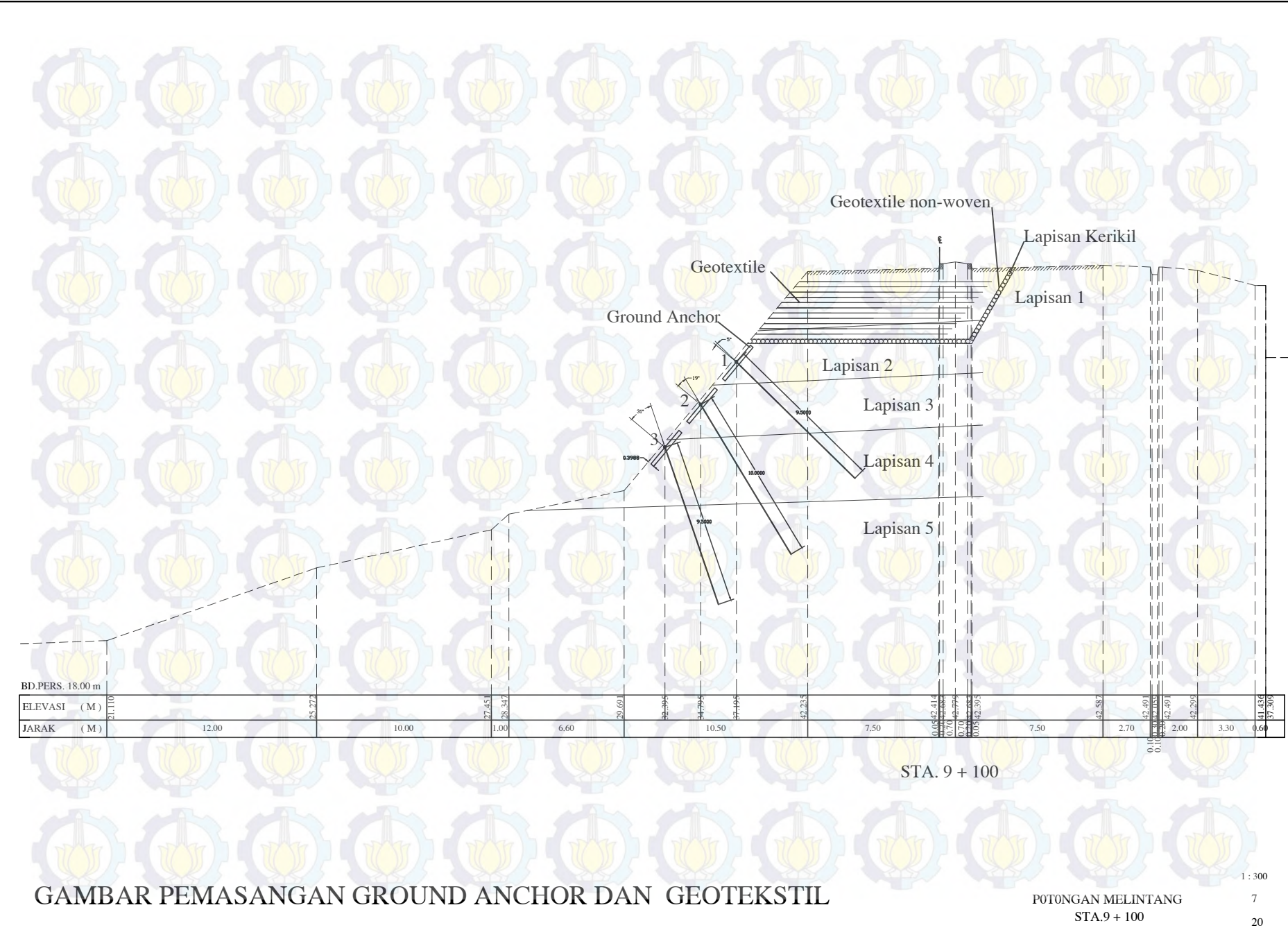


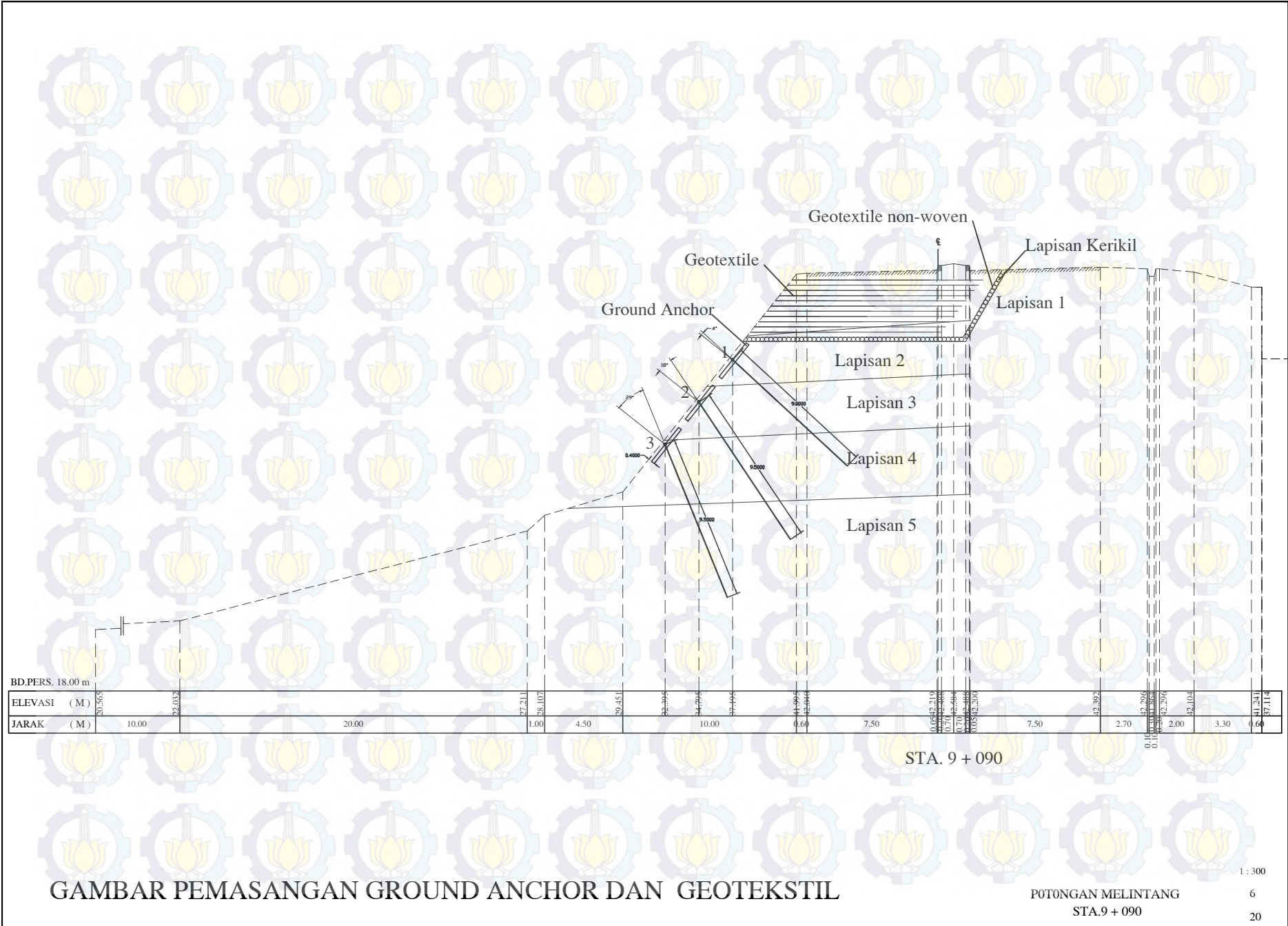
Metode	SF
Ordinary	1,074
Bishop	1,315
Morgenste	1,313

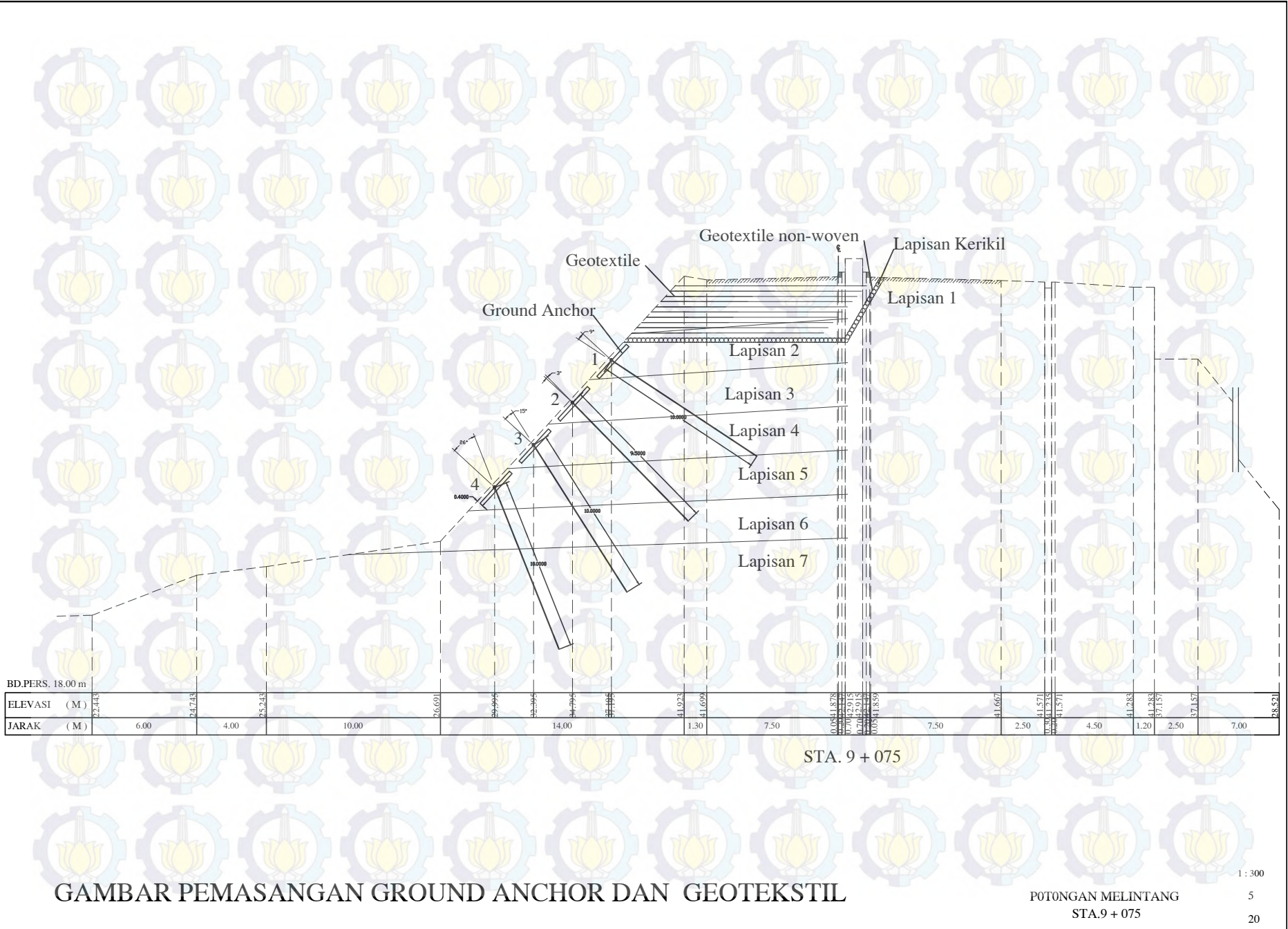
9+075











BIODATA PENULIS



Penulis dilahirkan di Sidoarjo pada tanggal 02 Oktober 1993, merupakan anak pertama dari tiga bersaudara dengan nama lengkap Raditya Widitama. Penulis telah menempuh pendidikan formal pada TK Tunas Mekar Tenggarong, SDN 02 Tenggarong, SMP Negeri 1 Tenggarong, SMAN 10 Melati Samarinda, dan terdaftar sebagai mahasiswa Teknik Sipil pada tahun 2011 dengan NRP 3111100114.

Selama kuliah di jurusan Teknik Sipil, penulis mendalami bidang studi Geologi Teknik. Pada semester 7, penulis memutuskan untuk mengambil tugas akhir mengenai kelongsoran dan perkuatan lereng karena menarik untuk di pelajari.

email: rhadit0210@gmail.com

no Telp : 082157561356